

สำนักงานบัณฑิตศึกษา มหาวิทยาลัยแม่โจ้	
ระดับการประเมินคุณภาพ	
<input checked="" type="checkbox"/> ดีเยี่ยม	<input type="checkbox"/> ดีมาก
<input type="checkbox"/> ดี	<input type="checkbox"/> ปานกลาง





กลไกการเกิดอนุภาคสีขาวในเต้าเจี้ยวและการหมักเต้าเจี้ยวรสเค็มน้อย

มหาวิทยาลัยแม่โจ้

นนทรี จันทร์อนันต์

MAE JO UNIVERSITY
มหาวิจัยและศึกษา

วิทยานิพนธ์นี้เป็นส่วนหนึ่งของความสมบูรณ์ของการศึกษาตามหลักสูตร

ปริญญาวิทยาศาสตร์มหาบัณฑิต สาขาวิชาเทคโนโลยีทางอาหาร

สำนักบริหารและพัฒนาวิชาการ มหาวิทยาลัยแม่โจ้

พ.ศ. 2554

ลิขสิทธิ์ของมหาวิทยาลัยแม่โจ้



ในรั้วมหาวิทยาลัยแม่โจ้
สำนักบริหารและพัฒนาวิชาการ มหาวิทยาลัยแม่โจ้
ปริญญาวิทยาศาสตร์มหาบัณฑิต สาขาวิชาเทคโนโลยีทางอาหาร

ชื่อเรื่อง

กลไกการเกิดอนุภาคสีขาวในเด็กเจี้ยงและการมักเต้าเจี้ยวยารสเคิม้ออย

โดย

นนท์ จันทร์อนันต์

พิจารณาที่นี่ของโดย

ประธานกรรมการที่ปรึกษา

.....

(ผู้ทรงคุณวุฒิ ดร.สิทธิศิน บัวสมบัติ)
วันที่ ๒๕ เดือน กันยายน พ.ศ. ๒๕๖๔

กรรมการที่ปรึกษา

.....

(ผู้ช่วยศาสตราจารย์ ดร.สกุณณิ บัวสมบัติ)
วันที่ ๒๕ เดือน กันยายน พ.ศ. ๒๕๖๔

กรรมการที่ปรึกษา

.....

(ดร.วิระศักดิ์ เพพจันทร์)
วันที่ ๒๕ เดือน กันยายน พ.ศ. ๒๕๖๔

ประธานกรรมการประจำหลักสูตร

.....

(อาจารย์ ดร.ฉวีวรรณ พันธ์ไชยศรี)
วันที่ ๒๕ เดือน กันยายน พ.ศ. ๒๕๖๔

สำนักบริหารและพัฒนาวิชาการรับรองแล้ว

.....

(ผู้ช่วยศาสตราจารย์ ดร.จำเนียร ยศราษ)

ประธานกรรมการบัณฑิตศึกษา
วันที่ ๒๖ เดือน ๙ ๑ พ.ศ. ๒๕๖๔

ชื่อเรื่อง	กลไกการเกิดอนุภาคสีขาวในเต้าเจี้ยวและการหมักเต้าเจี้ยวสารสกัดน้ำอ้อย
ชื่อผู้เขียน	นางสาวนนทรี จันทร์อนันต์
ร่องปริญญา	วิทยาศาสตรมหาบัณฑิต สาขาวิชาเทคโนโลยีทางอาหาร
ประธานกรรมการที่ปรึกษา	รองศาสตราจารย์ ดร.สิทธิธนิ บวรสมบัติ

บทคัดย่อ

ผลิตภัณฑ์เต้าเจี้ยวเป็นเครื่องปรุงรสชนิดหนึ่งที่ผลิตจากถั่วเหลืองเป็นวัสดุต้น การผลิตเต้าเจี้ยวจะทำได้โดยอาศัยการหมักด้วยถุงลมหรือหอยลายชนิด ปัญหาที่ประสบได้ในผลิตภัณฑ์เต้าเจี้ยวที่วางแผนนำเข้าในห้องคลอดคือ ลักษณะปราภูที่เป็นจุดหรือกลุ่มวัสดุสีขาวในเนื้อเต้าเจี้ยว และ/หรือรสชาติที่เก็บจัดเกินไป ซึ่งคุณลักษณะทั้งสองประการนี้เป็นสิ่งที่ผู้บริโภคไม่พึงประสงค์ การศึกษาวิจัยนี้ได้มีจุดมุ่งหมายเพื่อศึกษากลไกการเกิดจุดสีขาวหรืออนุภาคสีขาวในเต้าเจี้ยว และ การผลิตเต้าเจี้ยวสารสกัดน้ำอ้อย โดยเริ่มต้นจากการผลิตสปอร์ของรา *Aspergillus oryzae* M-01 จำนวนมากบนวัสดุแข็งหอยลายชนิด เพื่อใช้เป็นเชื้อเริ่มต้นในการหมักโดย ซึ่งพบว่าเมล็ดข้าวเจ้าสามารถให้สปอร์ที่ผ่านการทำแห้งและเหลือรอดชีวิตจำนวนมากถึง $10.15 \log \text{cfu/g}$

สำหรับกลไกการเกิดจุดขาว จะเริ่มจากการศึกษาความหนาของโภชิที่เหมาะสมต่อการผลิตໂປຣດีโอสตัวอย่าง *Aspergillus oryzae* M-01 พบร้าโภชิที่ระดับความหนา 2.5 เซนติเมตร จะให้กิจกรรมโปรดีโอสสูงสุดเท่ากับ 52.89 ยูนิตต่อกรัม เมื่อหมัก 48 ชั่วโมง เมื่อนำมาโภชิทได้ปริมาณร้อยละ 100 50 และ 30 ไปหมักกับถั่วเหลืองต้มสุกในน้ำเกลือเข้มข้นร้อยละ 22 หรือเรียกว่าขันตอนการหมักโนโรมินาน 8 สัปดาห์ จะพบอนุภาคสีขาวจำนวนหนึ่งเกิดขึ้นในทุกทริทเมนท์ โดยเฉพาะเต้าเจี้ยวที่หมักโดยใช้โภชิปริมาณร้อยละ 100 จะให้อนุภาคสีขาวมากที่สุด ผลิตภัณฑ์เต้าเจี้ยวที่ผ่านการต้มนาน 30 นาที แล้วบรรจุในขวดแก้วปิดผนึก ยังคงพบอนุภาคสีขาวบ้างซึ่งคำนวณในรูปของร้อยละของพื้นที่ที่พบอนุภาคสีขาวต่อพื้นที่ทั้งหมดของผิวขวดแก้วที่ใช้บรรจุ จะมีจำนวนเพิ่มขึ้นตามระยะเวลาการเก็บรักษา โดยโภชิปริมาณร้อยละ 100 ยังคงให้จำนวนพื้นที่ที่พบอนุภาคสีขาวมากที่สุด แต่ก็ยังได้รับการยอมรับจากผู้ทดสอบชิมในระดับของมากที่สุด การลดจำนวนอนุภาคสีขาวสามารถกระทำได้โดยการเติมน้ำสุก玲ในเต้าเจี้ยว 0.5 เท่า ซึ่งจะส่งผลทำให้อนุภาคสีขาวลดลงจากร้อยละ 100 เหลือร้อยละ 1.15 แต่ผลิตภัณฑ์ที่ได้ยังคงมีสัดส่วนของแข็งกับของเหลวอยู่ในระดับที่ใกล้เคียงกับผลิตภัณฑ์เต้าเจี้ยวที่วางแผนนำเข้าในห้องคลอด อนุภาคสีขาวสามารถแบ่งออกได้เป็น 3 ประเภท คือ ชนิดแผ่นนุ่ม ชนิดแผ่นแข็ง และชนิดเม็ดเล็กๆ ส่วนประกอบของโภชิทร้างของ

อนุภาคสีขาวคือ ผลึกญูปร่างคล้ายเข็มหรือญูปร่างสีเหลี่ยมนิ่มผืนผ้า สมบัติทางเคมีและทางกายภาพของอนุภาคสีขาว ระบุว่าอนุภาคสีขาวทุกชนิดประกอบด้วยกรดอะมิโน ไฮโรชินเป็นส่วนใหญ่หรือทั้งหมด

การศึกษาเกี่ยวกับการหมักเต้าเจี้ยวสารเคมีน้อยโดยใช้โคจิข้าวเหนียว พบร่วมระยะเวลาที่ใช้ในการนึ่งข้าวเหนียว และความนานของ โคจินผลัดอุณหภูมิของ โคจิที่ได้ โดยระยะเวลาที่นาน 40 นาที และความนานของข้าวเหนียวในตะกร้าบ่ม โคจิเท่ากับ 5 เซนติเมตร ให้กิจกรรมอะไมเลส และกิจกรรมโปรดต่อสูงสุดเท่ากับ 58.01 และ 95.06 ยูนิตต่อกรัม ตามลำดับในระยะเวลา 60 ชั่วโมง การหมักเต้าเจี้ยวโดยใช้โคจิข้าวเหนียวปริมาณที่แตกต่างกัน พบร่วมโคจิข้าวเหนียวปริมาณร้อยละ 50 ในน้ำเกลือเข้มข้นร้อยละ 18 นาน 12 สัปดาห์ แล้วผ่านการต้มนาน 30 นาที จะทำให้ได้ผลิตภัณฑ์เต้าเจี้ยวที่แตกต่างไปจากเดิม คือเต้าเจี้ยวมีรสเปรี้ยว มีกลิ่นอัลกอฮอล์ และมีสารเคมีน้อย แต่เป็นที่ยอมรับของผู้ทดสอบจำนวนมากที่สุด และสามารถเก็บรักษาได้นาน ไม่น้อยกว่า 6 สัปดาห์การหมักเต้าเจี้ยวโดยใช้โคจิข้าวเหนียวร้อยละ 50 ในน้ำเกลือที่มีความเข้มข้นแตกต่างกัน พบร่วมจะทำให้ได้ผลิตภัณฑ์เต้าเจี้ยวที่ยังคงเป็นที่ยอมรับของผู้ทดสอบจำนวนมาก และสามารถเก็บรักษาได้นาน ไม่น้อยกว่า 6 สัปดาห์

Title	Mechanism of white particles formation and the fermentation of less salty fermented soybean (Tao Chieo)
Author	Miss Nonsee Jananan
Degree of	Master of Science in Food Technology
Advisory Committee Chairperson	Associate Professor Dr. Sittisin Bovonsombut

ABSTRACT

Fermented soybean (Tao Chieo) product is a kind of condiment produced from soybean as the main raw material using many types of microorganisms. However, major problems concerned with product quality as observed in the market consisted of the presence of white spots or their clusters and the too salty taste of the product. These two characteristics are negative attributes as disliked by consumers. This research aimed toward the study of the mechanism of white particle occurrence and the method of producing less salty product. The first part of the study was concerned with the massive spore production of *Aspergillus oryzae* M-01 on solid substrates used as starter in koji fermentation. It was shown that rice grains had a high yield of spore survival after drying at 10.15 log cfu/g.

For mechanism of white particles formation, the study started with the trial on the thickness of soybean koji for protease production by *Aspergillus oryzae* M-01. Suitable thickness of soybean koji (2.5cm) was found to produce the highest protease activity at 52.89 unit/g at 48 hours of fermentation time. The koji obtained was mixed with well boiled soybean in the amount of 100, 50 and 30% in 22% salt water (moromi stage) which was made to stand for 8 weeks. Certain amount of white particles occurred in all treatments especially with 100% soybean koji, giving the largest amount of white particles. Some amounts could still be found in the sealed bottle product after boiling for 30 minutes prior to filling in. The amount of white particles was calculated in the percentage area of white particles compared with the total area of bottle surface of the container. The size of area increased with time of storage. One hundred percent of koji gave the highest amount of white particles area but got the highest acceptance from the taste panels. Elimination of white particles could be achieved by adding boiled water into the mash in a

ratio of 0.5:1.0 but which could still be accepted by the taste panel. The white particles could be classified into 3 categories: soft flakes, hard flakes and small grains. Most of their structures were composed of a certain amount of needle-like shape or rectangular-shape crystals. Chemical and physical properties of these white particles indicated that most or all of them were tyrosine amino acid.

The study of producing less salty Tao Chieo by using glutinous rice koji revealed that the steaming time of glutinous rice and the thickness of koji exerted effects on the quality of koji obtained. The steaming time of 40 minutes accompanied with the thickness of 5 cm gave the maximum amylase and protease activities at 58.01 and 95.06 unit/g, respectively, at 60 hours of incubation. The use of different quantities of glutinous rice koji in Tao Chieo making was also investigated and results showed that the product of 50% of glutinous rice koji in 18% salt water as fermented in 12 weeks and then boiled for 30 minutes, caused some changes in their characteristics. The product had a sour taste, alcoholic smell and less salty. However, the product was accepted by taste panel and had a high storage period of at least 6 weeks. The variation of salt concentration for making Tao Chieo with 50% glutinous rice koji found that 16% salt concentration could still give an acceptable product which could have a shelf life of at least 6 weeks.

กิตติกรรมประกาศ

ข้าพเจ้าขอขอบพระคุณ รองศาสตราจารย์ ดร.สิทธิสิน บวรสมบัติ ประธานกรรมการที่ปรึกษา ที่ได้กรุณาให้คำปรึกษาและแนะนำในการทำวิจัยครั้งนี้ ตลอดจนให้ความเอาใจใส่และค่อยดีดามการทำวิจัย รวมถึงช่วยตรวจสอบแก้ไขงานกระทั้งงานวิจัยเสร็จสมบูรณ์ลุล่วงไปได้ด้วยดี

ขอขอบพระคุณ ผู้ช่วยศาสตราจารย์ ดร.สกุณณี บวรสมบัติ และ ดร.วิรัศักดิ์ เทพจันทร์ กรรมการที่ปรึกษา ที่ได้กรุณาให้คำปรึกษา และแนะนำในการทำวิจัย ตลอดจนช่วยตรวจสอบแก้ไขงานวิจัยในครั้งนี้เป็นอย่างดีและลุล่วงจนสำเร็จไปได้ด้วยดี

ขอขอบพระคุณ ผู้ช่วยศาสตราจารย์ ดร.ยิ่งณี ศรากุลพัว ประธานกรรมการสอน วิทยานิพนธ์ที่ได้กรุณาให้คำปรึกษาแนะนำ และแก้ไขงานวิจัยเพื่อให้มีความสมบูรณ์มากยิ่งขึ้น

ขอขอบคุณสาขาวิชาเทคโนโลยีทางอาหาร คณะวิศวกรรมและอุตสาหกรรมเกษตร มหาวิทยาลัยแม่โจ้ ที่ช่วยอำนวยความสะดวกด้านสถานที่ในการดำเนินการทดลองจนกระทั้ง งานวิจัยนี้สำเร็จลุล่วงไปได้ด้วยดี รวมถึงบริษัท เลมอนฟาร์ม จำกัด และ กลุ่มแม่บ้านสันป่าบาง ที่สนับสนุนวัสดุคุณภาพและเงินทุนวิจัย และขอขอบคุณสำนักวิจัยและส่งเสริมวิชาการการเกษตร มหาวิทยาลัยแม่โจ้ ประจำปี 2553 และสำนักงานกองทุนสนับสนุนการวิจัย ทุนวิจัยมหาบัณฑิต 硕. สาขาวิทยาศาสตร์และเทคโนโลยี ประจำปี 2553 และสำนักงานกองทุนสนับสนุนการวิจัย ทุนวิจัยมหาบัณฑิต 硕. - อุดสาหกรรม ประจำปี 2553 ใน การสนับสนุนทุนวิจัยครั้งนี้ โดยความเห็นในรายงาน ผลการวิจัยเป็นของผู้รับทุน สำนักงานกองทุนสนับสนุนการวิจัยไม่จำเป็นต้องเห็นด้วยเสมอไป

ขอกราบขอบพระคุณ คุณเตียบอุดมศักดิ์ และ คุณแม่มารี จันทร์อนันต์ ที่ได้ส่งเสริม สนับสนุน ให้กำลังใจ กำลังทรัพย์ ตลอดจนค่อยดีดามงานวิจัยจนกระทั้งงานวิจัยนี้สำเร็จลุล่วงไปได้ด้วยดี

สุดท้ายนี้ขอขอบคุณพี่ๆ เพื่อนๆ และน้องๆ ทุกคนในสาขาวิชาเทคโนโลยีทางอาหาร คณะวิศวกรรมและอุตสาหกรรมเกษตร มหาวิทยาลัยแม่โจ้ ที่ช่วยสนับสนุน เป็นกำลังใจและให้ ความช่วยเหลือที่ดีเสมอมา

นนท์ จันทร์อนันต์

ตุลาคม 2554

สารบัญ

	หน้า
บทคัดย่อ	(3)
ABSTRACT	(5)
กิตติกรรมประกาศ	(7)
สารบัญ	(8)
สารบัญตาราง	(10)
สารบัญภาพ	(12)
สารบัญตารางผนวก	(14)
สารบัญภาพผนวก	(16)
บทที่ 1 บทนำ	
ที่มาและความสำคัญของปัญหา	1
วัตถุประสงค์ของการวิจัย	2
ประโยชน์ที่คาดว่าจะได้รับ	2
บทที่ 2 การตรวจเอกสาร	
เด็กเจี๊ยะ	3
เด็กเจี้ยว	4
วัตถุคุณสำหรับการผลิตเด็กเจี้ยว	5
การผลิตเด็กเจี้ยว	8
จุลินทรีย์ที่เกี่ยวข้องกับการหมักเด็กเจี้ยว	9
เอนไซม์ที่มีบทบาทต่อการหมักเด็กเจี้ยว	11
อนุภาคสีขาว	14
ไทโรซีน	15
บทที่ 3 วิธีดำเนินการวิจัย	17
วัสดุอุปกรณ์	17
วิธีการวิจัย	20
ตอนที่ 1 ศึกษาปัจจัยที่เกี่ยวข้องกับการเกิดอนุภาคสีขาวในเด็กเจี้ยว	20
ตอนที่ 2 การผลิตเด็กเจี้ยวรสเค็มน้อย	28

	หน้า
บทที่ 4 ผลการวิจัย และวิจารณ์	33
ตอน 1 ปัจจัยที่เกี่ยวข้องกับการเกิดอนุภาคสีขาวในเต้าเจี้ยว	33
1. ปริมาณเชื้อตัวตันที่เหมาะสมต่อการผลิตสปอร์ของ <i>A. oryzae</i> M-01	33
2. กิจกรรมของร้านในระหว่างการหมักโโคจิ	35
2.1 อุณหภูมิและค่าความเป็นกรด-ค่างในโโคจิถั่วเหลือง	35
2.2 กิจกรรมเอนไซม์ในโโคจิถั่วเหลือง	36
3. ปริมาณโโคจิถั่วเหลืองต่อการเกิดอนุภาคสีขาวในกระบวนการหมัก	38
3.1 จำนวนเชื้อตัวเจี้ยวในโโนโรมิ	38
3.2 จำนวนแบนก์ที่เริ่มกรดแลคติกในโโนโรมิและการสร้างกรด	40
3.3 กิจกรรมเอนไซม์	42
3.4 สีของเต้าเจี้ยว	45
3.5 การเกิดอนุภาคสีขาวในระหว่างการหมัก โนโรมิ	47
3.6 ผลของการหมักโนโรมิระยะเวลาสั้นต่อการเกิดอนุภาคสีขาว	48
3.7 ผลของการระยะเวลาในการฆ่าเชื้อเต้าเจี้ยวต่อการเกิดอนุภาคสีขาว	51
3.8 ผลของการการเจือจากเต้าเจี้ยวต่อการเกิดอนุภาคสีขาว	57
3.9 ผลของสัดส่วนของแข็งและของเหลวในผลิตภัณฑ์เต้าเจี้ยวต่อ	63
การเกิดอนุภาคสีขาว	64
4. อนุภาคสีขาวในผลิตภัณฑ์เต้าเจี้ยวที่วางแผนนำยในท้องตลาด	64
4.1 คุณลักษณะและสัดส่วนของแข็งและของเหลวของเต้าเจี้ยว	64
4.2 จำนวนพื้นที่ที่พบอนุภาคสีขาวทั้งหมดที่เกิดขึ้นบริเวณพื้นผิว	65
4.3 สัดส่วนของแข็งและของเหลวในผลิตภัณฑ์เต้าเจี้ยว	66
4.4 ชนิดและปริมาณของอนุภาคสีขาว	67
5. การระบุชนิดของอนุภาคสีขาว	68
5.1 โครงสร้างทางกายภาพของอนุภาคสีขาว	68
5.2 การทดสอบเบื้องต้นของอนุภาค	71
5.3 การทดสอบการละลายในสารละลายกรดไฮโดรคลอริก	71
5.4 การทดสอบการวัดค่าคุณลักษณะทางเคมี	73

	หน้า
ตอนที่ 2 การผลิตเต้าเจี้ยวสารคีนน้อบ	74
1. การเตรียมโภจข้าวเหนียว	74
1.1 ระยะเวลาในการนึ่งข้าวเหนียวที่มีผลต่อสมบัติโภจ	74
1.2 ความหนานของข้าวเหนียวที่มีผลต่อสมบัติโภจ	77
2. การหมักโน้มโรม尼	79
2.1 ปริมาณโภจที่เหมาะสมต่อการหมักโน้มโรม尼	79
2.2 ความเข้มข้นน้ำเกลือที่เหมาะสมต่อการหมักโน้มโรม尼	89
2.3 ผลของการเก็บรักษาผลิตภัณฑ์เต้าเจี้ยว	98
บทที่ 5 สรุปผลการวิจัย และข้อเสนอแนะ	100
สรุปผลการวิจัย	100
ข้อเสนอแนะ	101
บรรณานุกรม	102
ภาคผนวก	106
ภาคผนวก ก ขั้นตอนการผลิตเต้าเจี้ยว	107
ภาคผนวก ข การวิเคราะห์ภายในภาพ	109
ภาคผนวก ค การวิเคราะห์ทางเคมี	111
ภาคผนวก ง การวิเคราะห์ชุดชีววิทยา	120
ภาคผนวก จ การวิเคราะห์ทางประสาทสัมผัส	124
ภาคผนวก ฉ ข้อมูลการวิเคราะห์ผลการทดลอง	127
ภาคผนวก ช ประวัติผู้วิจัย	154

สารบัญตาราง

ตาราง	หน้า
1 การใช้งานเอนไซม์ปอร์ตีอส	14
2 จำนวนสปอร์ของรา <i>A. oryzae</i> M-01 ที่เหลือรอดช่วงบนรำข้าวเจ้าและข้าวเจ้า ภายหลังการอบให้แห้ง เมื่อใช้ปริมาณสปอร์ซัพเพนชันแตกต่างกัน	35
3 การเกิดอนุภาคสีขาวในเต้าเจี้ยวที่หมักโดยใช้โคลิคั่ล์เหลืองในปริมาณแตกต่าง กัน	47
4 จำนวนพื้นที่ที่พ่นอนุภาคสีขาวและชนิดอนุภาคสีขาวในตัวอย่างเต้าเจี้ยวที่วาง จำานวนย่างในห้องคลาด	48
5 จำนวนผู้ทดสอบที่เรียงลำดับความชอบในผลิตภัณฑ์เต้าเจี้ยวทั้ง 3 ตัวอย่าง	50
6 ผลสรุปของการเรียงลำดับความชอบผลิตภัณฑ์เต้าเจี้ยว จำนวน 3 ตัวอย่าง	51
7 จำนวนพื้นที่ที่พ่นอนุภาคสีขาวในผลิตภัณฑ์เต้าเจี้ยวที่ผ่านการต้มในเวลาที่ แตกต่างกัน	52
8 ชนิดอนุภาคสีขาวในผลิตภัณฑ์เต้าเจี้ยวที่ผ่านการต้มในเวลาที่แตกต่างกัน	53
9 จำนวนผู้ทดสอบที่เรียงลำดับความชอบในผลิตภัณฑ์เต้าเจี้ยวทั้ง 3 ตัวอย่าง	57
10 ผลสรุปของการเรียงลำดับความชอบผลิตภัณฑ์เต้าเจี้ยว จำนวน 3 ตัวอย่าง	57
11 จำนวนพื้นที่ที่พ่นอนุภาคสีขาวในผลิตภัณฑ์เต้าเจี้ยวที่ผ่านการต้มในเวลาที่ แตกต่างกัน	59
12 ชนิดอนุภาคสีขาวในผลิตภัณฑ์เต้าเจี้ยวที่ผ่านการต้มในเวลาที่แตกต่างกัน	60
13 จำนวนผู้ทดสอบที่เรียงลำดับความชอบในผลิตภัณฑ์เต้าเจี้ยวทั้ง 3 ตัวอย่าง	64
14 ผลสรุปของการเรียงลำดับความชอบผลิตภัณฑ์เต้าเจี้ยว จำนวน 3 ตัวอย่าง	64
15 ลักษณะปรากฏของผลิตภัณฑ์เต้าเจี้ยวที่วางจำานวนย่างในห้องคลาด	65
16 จำนวนพื้นที่ที่พ่นอนุภาคสีขาวและชนิดอนุภาคสีขาวในผลิตภัณฑ์เต้าเจี้ยวที่ วางจำานวนย่างในห้องคลาด	66
17 ผลการทดสอบแป้งของอนุภาคสีขาว	71
18 ความสามารถในการละลายของอนุภาคสีขาว	72
19 ค่าคูคอกลีนແส่ง(λ_{max}) ของอนุภาคสีขาว	73
	หน้า

ตาราง

20	จำนวนผู้ทดสอบที่เรียงลำดับความชอบในผลิตภัณฑ์เต้าเจี๊ยะทั้ง 3 ตัวอย่าง	88
21	ผลสรุปของการเรียงลำดับความชอบผลิตภัณฑ์เต้าเจี๊ยะ จำนวน 3 ตัวอย่าง	88
22	การเปลี่ยนแปลงของเต้าเจี๊ยะระหว่างการเก็บรักษานาน 6 สัปดาห์	98
23	จำนวนผู้ทดสอบที่เรียงลำดับความชอบในผลิตภัณฑ์เต้าเจี๊ยะทั้ง 3 ตัวอย่าง	99
24	ผลสรุปของการเรียงลำดับความชอบผลิตภัณฑ์เต้าเจี๊ยะ จำนวน 3 ตัวอย่าง	99

สารบัญภาพ

ภาพ	หน้า
1 เต้าเจี้ยวพร้อมบริโภค : เต้าเจี้ยวในปรุงกับน้ำ (a) ลักษณะเนื้อเต้าเจี้ยว(b)	4
2 เม็ดถั่วเหลือง	5
3 โครงสร้างทางเคมีของไทโรชีน	11
4 การผลิตสปอร์ของรา <i>A. oryzae</i> M-01 บนสับสเตรท 2 ชนิด เมื่อหมักโดยจีนาน 72 ชั่วโมง: รำข้าวเจ้า (a) และข้าวเจ้า (b)	33
5 พงสปอร์ที่ได้จากการเดินสปอร์ซัสเพนชั่นของรา <i>A. oryzae</i> M-01 ในปริมาณที่แตกต่างกันบนรำข้าวเจ้า: 0.5 มิลลิลิตร (a) 1.0 มิลลิลิตร (b) และ 1.5 มิลลิลิตร (c)	34
6 พงสปอร์ที่ได้จากการเดินสปอร์ซัสเพนชั่นของรา <i>A. oryzae</i> M-01 ในปริมาณที่แตกต่างกันบนข้าวเจ้า: 0.5 มิลลิลิตร (a) 1.0 มิลลิลิตร (b) และ 1.5 มิลลิลิตร (c)	34
7 การเปลี่ยนแปลงของอุณหภูมิในระหว่างการหมักโคลิถั่วเหลืองที่มีความหนาแนกต่างกัน	36
8 การเปลี่ยนแปลงของค่าความเป็นกรด-เบส ในระหว่างการหมักโคลิถั่วเหลืองที่มีความหนาแนกต่างกัน	36
9 การเปลี่ยนแปลงของกิจกรรมอะไนเมเลสในระหว่างการหมักโคลิถั่วเหลืองที่มีความหนาแนกต่างกัน	37
10 การเปลี่ยนแปลงของกิจกรรมโปรตีโอสในระหว่างการหมักโคลิถั่วเหลืองที่มีความหนาแนกต่างกัน	38
11 การเปลี่ยนแปลงของปริมาณโซเดียมคลอไรด์ในระหว่างการหมักโอมิที่ใช้โคลิถั่วเหลืองในปริมาณที่แตกต่างกัน	39
12 การเปลี่ยนแปลงของจำนวนยีสต์ (a) และรา (b) ในระหว่างการหมักโอมิที่ใช้โคลิถั่วเหลืองในปริมาณที่แตกต่างกัน	40
13 การเปลี่ยนแปลงของจำนวนแบคทีเรียกรดแลคติกในระหว่างการหมักโอมิที่ใช้โคลิถั่วเหลืองในจำนวนที่แตกต่างกัน	41

ก้าว	หน้า
14 การเปลี่ยนแปลงของปริมาณกรดแอลกอติกในระหว่างการหมักโนโรมิที่ใช้โภชน์ถั่วเหลืองในปริมาณที่แตกต่างกัน	41
15 การเปลี่ยนแปลงของค่าความเป็นกรด-เบสในระหว่างการหมักโนโรมิที่ใช้โภชน์ถั่วเหลืองในปริมาณที่แตกต่างกัน	42
16 การเปลี่ยนแปลงของกิจกรรมอะไมเลสต์ในระหว่างการหมักโนโรมิที่ใช้โภชน์ถั่วเหลืองในปริมาณที่แตกต่างกัน	43
17 การเปลี่ยนแปลงของปริมาณน้ำตาลรีดิวช์ในระหว่างการหมักโนโรมิที่ใช้โภชน์ถั่วเหลืองในปริมาณที่แตกต่างกัน	43
18 การเปลี่ยนแปลงกิจกรรมของโปรดีเอสในระหว่างการหมักโนโรมิที่ใช้โภชน์ถั่วเหลืองในปริมาณที่แตกต่างกัน	44
19 การเปลี่ยนแปลงของปริมาณกรดอะมิโนอิสระในระหว่างการหมักโนโรมิที่ใช้โภชน์ถั่วเหลืองในปริมาณที่แตกต่างกัน	45
20 การเปลี่ยนแปลงค่าสี L* a* และ b* ในระหว่างการหมักโนโรมิที่ใช้โภชน์ถั่วเหลืองในปริมาณที่แตกต่างกัน (ร้อยละ): 100 (a) 50 (b) และ 30 (c)	46
21 กิจกรรมโปรดีเอสและปริมาณกรดอะมิโนอิสระในผลิตภัณฑ์เต้าเจี้ยว	49
22 ค่าสีของผลิตภัณฑ์เต้าเจี้ยวที่ที่หมักด้วยโภชน์ถั่วเหลืองในปริมาณที่แตกต่างกัน	50
23 กิจกรรมโปรดีเอสและปริมาณกรดอะมิโนอิสระในผลิตภัณฑ์เต้าเจี้ยวอายุ 8 สัปดาห์ที่ผ่านการต้มให้เดือดนาน: 20 นาที (a) 30 นาที (b) และ 40 นาที (c)	54
24 ผลิตภัณฑ์เต้าเจี้ยวที่หมักด้วยโภชน์ถั่วเหลืองในปริมาณที่แตกต่างกัน (ร้อยละ): 100 (a) 50 (b) และ 30 (c)	55
25 ค่าสีในผลิตภัณฑ์เต้าเจี้ยวที่ผ่านการต้มนาน: 20 นาที (a) 30 นาที (b) และ 40 นาที (c)	56
26 ผลิตภัณฑ์เต้าเจี้ยวที่ผ่านการปรับสัดส่วนของเหลวแล้วซึ่งหมักด้วยโภชน์ถั่วเหลืองในปริมาณที่แตกต่างกัน (ร้อยละ): 100 (a) 50 (b) และ 30 (c)	58
27 กิจกรรมโปรดีเอสและปริมาณกรดอะมิโนอิสระในผลิตภัณฑ์เต้าเจี้ยวอายุ 8 สัปดาห์ที่ผ่านการปรับสัดส่วนของเหลวและผ่านการต้มนาน: 20 นาที (a) 30 นาที (b) และ 40 นาที (c)	61
28 ค่าสีของผลิตภัณฑ์เต้าเจี้ยวที่ผ่านการต้มนาน: 20 นาที (a) 30 นาที (b) และ 40 นาที	62

ภาค	หน้า
29 สัดส่วนของแข็งและของเหลวในผลิตภัณฑ์เด้าเจี้ยว	63
30 สัดส่วนของแข็งและของเหลวในผลิตภัณฑ์เด้าเจี้ยว	67
31 สัดส่วนของอนุภาคสีขาวชนิดต่างๆ ที่พบในผลิตภัณฑ์เด้าเจี้ยวที่วางแผนจาน่ายในห้องคลาด	68
32 อนุภาคสีขาวในผลิตภัณฑ์เด้าเจี้ยวที่มีน้ำหนักตัวอย่างโดยรวมร้อยละ 100.50 และ 30 ส่องภายใต้กล้องจุลทรรศน์ชนิด 3 มิติ (20X): แบบแผ่นนุ่มน (a) แบบแผ่นแข็ง (b) และแบบเม็ดเล็กๆ (c)	68
33 อนุภาคสีขาวของเด้าเจี้ยวที่วางแผนจาน่ายในห้องคลาดส่องภายใต้กล้องจุลทรรศน์ชนิด 3 มิติ (20X): แบบแผ่นนุ่มน (a), แบบแผ่นแข็ง (b) และแบบเม็ดเล็กๆ (c)	69
34 ผลึกไทโรชีนบริสุทธิ์และอนุภาคสีขาวชนิดต่างๆ ภายใต้กล้องจุลทรรศน์ (40X): ผลึกไทโรชีนบริสุทธิ์ (a) แบบแผ่นนุ่มน (b) แบบแผ่นแข็ง (c) และแบบเม็ดเล็กๆ (d)	69
35 ผลึกไทโรชีนบริสุทธิ์และอนุภาคสีขาวชนิดต่างๆ ภายใต้กล้องจุลทรรศน์ อิเล็กตรอนชนิดส่องกราฟ: ผลึกไทโรชีนบริสุทธิ์ (500X) (a), แบบแผ่นนุ่มน (3500X) (b), แบบแผ่นแข็ง (3500X) (c) และแบบเม็ดเล็กๆ (500X) (d)	70
36 ขั้นส่วนเปลือกเมล็ดถั่วเหลืองส่องภายใต้กล้องจุลทรรศน์ 3 มิติ (a) และ ภายใต้กล้องจุลทรรศน์ (40X) (b)	73
37 การเปลี่ยนแปลงของอุณหภูมิในโภชิที่ใช้ข้าวเหนียวที่ผ่านการนึ่งในเวลาที่แตกต่างกัน	75
38 การเปลี่ยนแปลงทางเคมีของโภชิที่ใช้ที่ใช้ข้าวเหนียวที่ผ่านการนึ่งในเวลาที่แตกต่างกัน: ค่าความเป็นกรด-เบส (a) ปริมาณน้ำตาลรีดิวซ์ (b) กิจกรรมอะไนเลส (c) และ กิจกรรม โปรดีโอส (d)	76
39 การเจริญของรา <i>A. oryzae</i> M-01 ในโภชิข้าวเหนียวอายุ 72 ชั่วโมง ความหนา 5 เซนติเมตร (ภาพดัดขาว)	77
40 การเปลี่ยนแปลงทางเคมีของเด้าเจี้ยวในระหว่างการหมักไม่รมิที่หมักด้วย โภชิข้าวเหนียวที่มีความหนาแตกต่างกัน: ค่าความเป็นกรด-เบส (a) ปริมาณ น้ำตาลรีดิวซ์ (b) กิจกรรมอะไนเลส (c) และ กิจกรรม โปรดีโอส (d)	78

ภาค	หน้า
41 การเปลี่ยนแปลงของปริมาณ โซเดียมคลอไรด์ในระหว่างการหมักโนโรมิที่ใช้ โภชนาณในปริมาณที่แตกต่างกัน	80
42 การเปลี่ยนแปลงของจำนวนจุลินทรีย์ในระหว่างการหมักโนโรมิที่ใช้โภชนาณ ในปริมาณที่แตกต่างกัน: บีสต์ (a) และรา (b)	81
43 การเปลี่ยนแปลงของปริมาณอัลกอฮอล์ในระหว่างการหมักโนโรมิที่ใช้โภชนาณ ในปริมาณที่แตกต่างกัน	82
44 การเปลี่ยนแปลงของค่าความเป็นกรด-เบสในระหว่างการหมักโนโรมิที่ใช้ โภชนาณในปริมาณที่แตกต่างกัน	82
45 การเปลี่ยนแปลงของปริมาณกรดแลคติกและปริมาณเบคทีเริยกรดแลคติกใน ระหว่างการหมักโนโรมิที่ใช้โภชนาณในปริมาณที่แตกต่างกัน: ปริมาณ กรดแลคติก (a) และปริมาณเบคทีเริยกรดแลคติก (b)	83
46 การเปลี่ยนแปลงของกิจกรรมอะไมเคสในระหว่างการหมักโนโรมิที่ใช้โภชนาณ ในปริมาณที่แตกต่างกัน	84
47 การเปลี่ยนแปลงของปริมาณน้ำตาลรีดิวซ์ในระหว่างการหมักโนโรมิที่ใช้โภชนาณ ในปริมาณที่แตกต่างกัน	85
48 การเปลี่ยนแปลงของกิจกรรมโปรดีเตอส์ในระหว่างการหมักโนโรมิที่ใช้โภชนาณ ในปริมาณที่แตกต่างกัน	86
49 การเปลี่ยนแปลงของปริมาณกรดอะมิโนอิสระในระหว่างการหมักโนโรมิที่ใช้ โภชนาณในปริมาณที่แตกต่างกัน	86
50 การเปลี่ยนแปลงของค่า L* a* และ b* ในระหว่างการหมักโนโรมิที่ใช้โภชนาณ ในปริมาณที่แตกต่างกัน (ร้อยละ): 30 (a) 40 (b) และ 50 (c)	87
51 การเปลี่ยนแปลงของปริมาณ โซเดียมคลอไรด์ในระหว่างการหมักโนโรมิที่ใช้ น้ำเกลือที่มีความเข้มข้นแตกต่างกัน	89
52 การเปลี่ยนแปลงของจำนวนจุลินทรีย์ในระหว่างการหมักโนโรมิที่ใช้น้ำเกลือ ที่มีความเข้มข้นแตกต่างกัน: บีสต์ (a) และรา (b)	90
53 การเปลี่ยนแปลงของความเป็นกรด-เบสในระหว่างการหมักโนโรมิที่ใช้ น้ำเกลือที่มีความเข้มข้นแตกต่างกัน	91
54 การเปลี่ยนแปลงของปริมาณอัลกอฮอล์ในระหว่างการหมักโนโรมิที่ใช้ น้ำเกลือที่มีความเข้มข้นแตกต่างกัน	92

ภาค	หน้า
55 การเปลี่ยนแปลงของปริมาณกรดแลคติกและปริมาณแบนคที่เรียกรดแลคติกในระหว่างการหมักโนโรมิที่ใช้น้ำเกลือที่มีความเข้มข้นแตกต่างกัน: ปริมาณกรดแลคติก (a) และจำนวนแบนคที่เรียกรดแลคติก (b)	93
56 การเปลี่ยนแปลงของกิจกรรมอะไนเลสในระหว่างการหมักโนโรมิที่ใช้น้ำเกลือที่มีความเข้มข้นแตกต่างกัน	94
57 การเปลี่ยนแปลงของปริมาณน้ำตาลรีดิวช์ในระหว่างการหมักโนโรมิที่ใช้น้ำเกลือที่มีความเข้มข้นแตกต่างกัน	94
58 การเปลี่ยนแปลงของกิจกรรมโปรดีโอสต์ในระหว่างการหมักโนโรมิที่ใช้น้ำเกลือที่มีความเข้มข้นแตกต่างกัน	95
59 การเปลี่ยนแปลงของปริมาณกรดอะมิโนอิสระในระหว่างการหมักโนโรมิที่ใช้น้ำเกลือที่มีความเข้มข้นแตกต่างกัน	96
60 การเปลี่ยนแปลงของค่าสี L* a* และ b* ในระหว่างการหมักโนโรมิที่ใช้น้ำเกลือที่มีความเข้มข้นแตกต่างกัน (ร้อยละ): 10 (a) 13 (b) และ 16 (c)	97

สารบัญตารางผนวก

ตารางผนวก	หน้า
1 การเปลี่ยนแปลงของอุปกรณ์และค่าความเป็นกรด-เบสของโภชิถัว เหลืองที่มีความหนาแนกต่างกัน	128
2 การเปลี่ยนแปลงของกิจกรรมจะไม่เลสและโปรดีโอส ของที่ใช้น้ำเกลือ ที่มีความเข้มข้นแตกต่างกัน	128
3 การเปลี่ยนแปลงของปริมาณโซเดียมคลอไรด์ ค่าความเป็นกรด-เบส และปริมาณกรดแอลกอฮอล์ ของเต้าเจี้ยวในระหว่างการหมักโนโรมิที่ใช้ โภชิถัวเหลืองในปริมาณที่แตกต่างกัน	129
4 การเปลี่ยนแปลงของปริมาณน้ำตาลรีวิช กิจกรรมจะไม่เลสและโปรดี โอส ของเต้าเจี้ยวในระหว่างการหมักโนโรมิที่ใช้โภชิถัวเหลืองใน ปริมาณที่แตกต่างกัน	130
5 การเปลี่ยนแปลงของกิจกรรมโปรดีโอสและปริมาณกรดอะมิโน ของ เต้าเจี้ยวในระหว่างการหมักโนโรมิที่ใช้โภชิถัวเหลืองในปริมาณที่ แตกต่างกัน	131
6 การเปลี่ยนแปลงของปริมาณ บีสต์ รา และ แบคทีเรียกรดแอลกอฮอล์ ของ เต้าเจี้ยวในระหว่างการหมักโนโรมิที่ใช้โภชิถัวเหลืองในปริมาณที่ แตกต่างกัน	132
7 การเปลี่ยนแปลงของค่าสี ของโภชิในระหว่างการหมักโนโรมิที่ใช้โภชิ ถัวเหลืองในปริมาณที่แตกต่างกัน	133
8 ค่าสี กิจกรรมโปรดีโอส กรดอะมิโนอิสระ และปริมาณจุลินทรีย์ทั้งหมด บีสต์ และ รา ในผลิตภัณฑ์เต้าเจี้ยว	134
9 ค่าสี กิจกรรมโปรดีโอส กรดอะมิโนอิสระและปริมาณจุลินทรีย์ทั้งหมด บีสต์ และ รา ในผลิตภัณฑ์เต้าเจี้ยวที่เพิ่มสัดส่วนของเหลว	135
10 ค่าสี กิจกรรมโปรดีโอส กรดอะมิโนอิสระและปริมาณจุลินทรีย์ทั้งหมด บีสต์ และ รา ในผลิตภัณฑ์เต้าเจี้ยวที่เพิ่มสัดส่วนของเหลว	136
11 สัดส่วนของเหลวและของแข็งในผลิตภัณฑ์เต้าเจี้ยวที่วางจำหน่ายใน ท้องตลาด	137

ตารางผนวก	หน้า
12 การเปลี่ยนแปลงของอุณหภูมิและค่าความเป็นกรด-เบสของโภจที่ใช้ข้าวเหนียวที่ผ่านการนึ่งในเวลาที่แตกต่างกัน	138
13 การเปลี่ยนแปลงของปริมาณน้ำตาลรีดิวช์และกิจกรรมอะไไมเลสของโภจที่ใช้ข้าวเหนียวที่ผ่านการนึ่งในเวลาที่แตกต่างกัน	139
14 การเปลี่ยนแปลงของกิจกรรมโปรดีของโภจที่ใช้ข้าวเหนียวที่ผ่านการนึ่งในเวลาที่แตกต่างกัน	140
15 การเปลี่ยนแปลงของอุณหภูมิ ค่าความเป็นกรด-เบสและปริมาณน้ำตาลรีดิวช์ของโภจที่มีความหนาแนกต่างกัน	141
16 การเปลี่ยนแปลงกิจของกรรมอะไไมเลสและกิจกรรมโปรดีอสของโภจที่มีความหนาแนกต่างกัน	142
17 การเปลี่ยนแปลงของค่าความเป็นกรด-เบส ปริมาณกรดแอลกอติกของเต้าเจี้ยวในระหว่างการหมักโนโรมิที่ใช้โภจข้าวเหนียวในปริมาณที่แตกต่างกัน	143
18 การเปลี่ยนแปลงของน้ำตาลรีดิวช์ กิจกรรมอะไไมเลสและโปรดีอสของเต้าเจี้ยวในระหว่างการหมักโนโรมิที่ใช้โภจข้าวเหนียวในปริมาณที่แตกต่างกัน	144
19 การเปลี่ยนแปลงของปริมาณกรดอะมิโนอิสระและปริมาณอัลกอฮอล์ของเต้าเจี้ยวในระหว่างการหมักโนโรมิที่ใช้โภจข้าวเหนียวในปริมาณที่แตกต่างกัน	145
20 การเปลี่ยนแปลงของจำนวนจานวนจุลินทรีย์ส์ต์ รา แบคทีเรียกรดแอลกอติกและของเต้าเจี้ยวในระหว่างการหมักโนโรมิที่ใช้โภจข้าวเหนียวในปริมาณที่แตกต่างกัน	146
21 การเปลี่ยนแปลงของค่าสีของเต้าเจี้ยวในระหว่างการหมักโนโรมิที่ใช้โภจข้าวเหนียวในปริมาณที่แตกต่างกัน	147
22 การเปลี่ยนแปลงของปริมาณโซเดียมคลอไรด์ ค่าความเป็นกรด-เบสและปริมาณกรดแอลกอติกของเต้าเจี้ยวในระหว่างการหมักโนโรมิโดยใช้ความเข้มข้นของน้ำเกลือที่แตกต่างกัน	148

ตารางผนวก	หน้า
23 การเปลี่ยนแปลงของน้ำตาลรีดิวซ์ กิจกรรมอะไมเลสและโปรดีเอส ของเด็กเจี้ยวในระหว่างการหมักโนโรมิโดยใช้ความเข้มข้นของน้ำเกลือที่แตกต่างกัน	149
24 การเปลี่ยนแปลงของปริมาณกรดอะมิโนอิสระ และปริมาณอัลกอรอกซ์ของเด็กเจี้ยวในระหว่างการหมักโนโรมิโดยใช้ความเข้มข้นของน้ำเกลือที่แตกต่างกัน	150
25 การเปลี่ยนแปลงของจำนวนชุลินทรีย์ บีสต์ รา และแบคทีเรียกรดแลกติก ของเด็กเจี้ยวในระหว่างการหมักโนโรมิโดยใช้ความเข้มข้นของน้ำเกลือที่แตกต่างกัน	151
26 การเปลี่ยนแปลงของค่าสีของเด็กเจี้ยวในระหว่างการหมักโนโรมิโดยใช้ความเข้มข้นของน้ำเกลือที่แตกต่างกัน	152
27 การเปลี่ยนแปลงทางกายภาพ และชุลินทรีย์ ของผลิตภัณฑ์เด็กเจี้ยวตลอดอายุการเก็บรักษานาน 6 สัปดาห์	153

(21)

สารบัญภาพพนวก

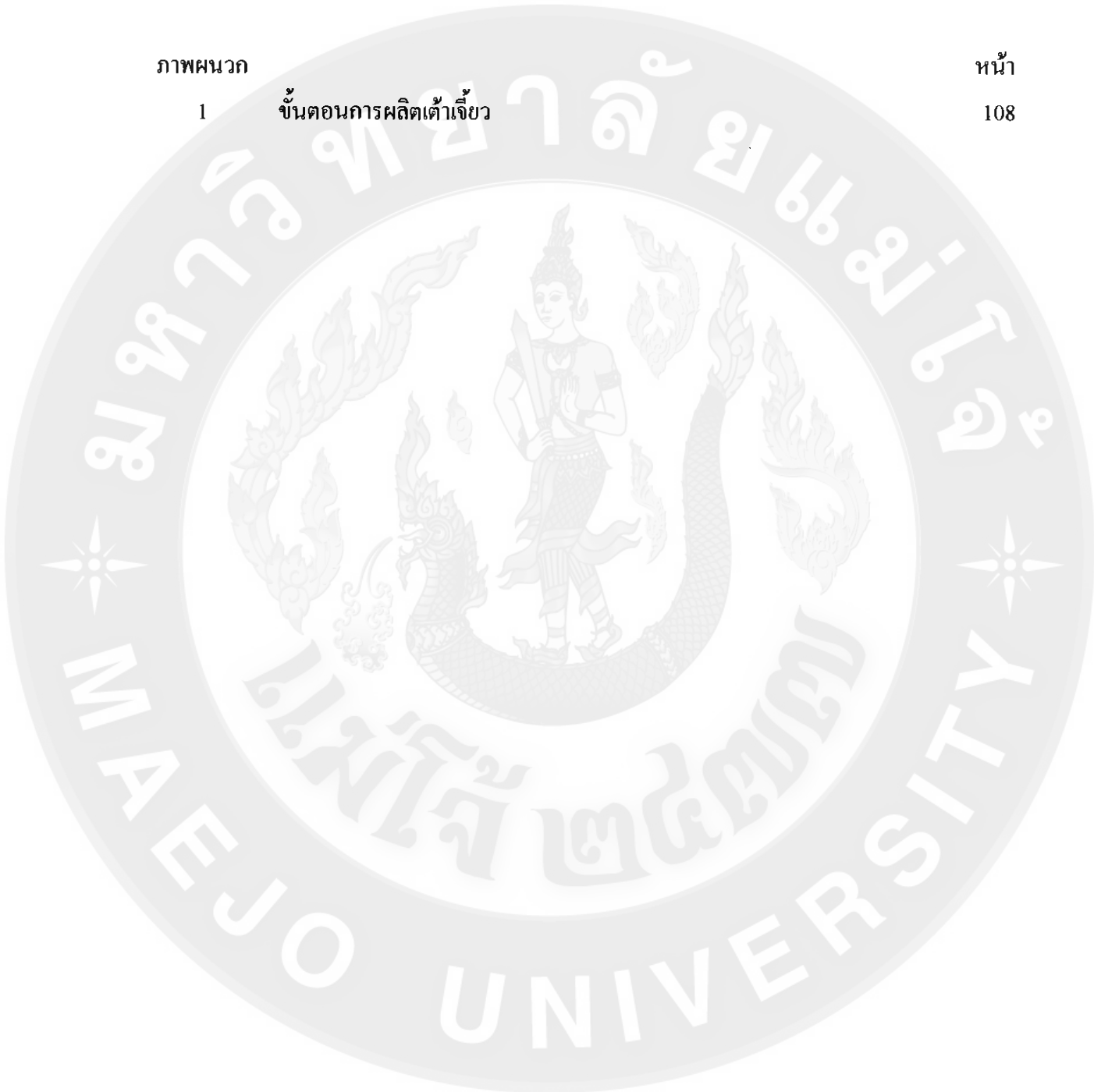
ภาพพนวก

1

ขั้นตอนการผลิตเต้าเจี้ยว

หน้า

108



บทที่ 1

บทนำ

ที่มาและความสำคัญของปัจจัย

เต้าเจี้ยว (Tao Chieo or soybean paste) จัดเป็นอาหารหมักพื้นเมืองที่นิยมบริโภคกันมากในประเทศไทยและเชียบคละวันออก ลักษณะของเต้าเจี้ยวโดยทั่วไปจะมีองค์ประกอบเป็นเม็ดถั่วเหลืองและเนื้อแป้งสุก ลอบยหรือกระชาดตัวอยู่ในน้ำเกลือเข้มข้น ยกเว้นเต้าเจี้ยวญี่ปุ่นหรือมิโซะ (miso) ที่ถั่วเหลืองถูกบดพร้อมกับแป้งและเกลือจนมีลักษณะเป็นของกึ่งแข็งกึ่งเหลว ผลิตภัณฑ์เต้าเจี้ยวที่ผลิตในประเทศไทยบางส่วน ได้ประสบกับปัจจัยการเกิดอนุภาคสีขาว (white particles) ที่มีขนาดต่างๆ กัน กระชาดตัวอยู่ในเนื้อเต้าเจี้ยว อนุภาคเหล่านี้ถ้ามีจำนวนมาก จะทำให้สังเกตเห็นได้ชัดเจน ซึ่งผู้บริโภคส่วนใหญ่พิจารณาว่าเป็นคำหานิหรือเชื้อร้าย ที่ทำให้เต้าเจี้ยวไม่เหมาะสมกับการบริโภค งานวิจัยที่เกี่ยวข้องกับการเกิดอนุภาคสีขาวดังกล่าวมีน้อยมาก และกล่าวอ้างว่าอนุภาคสีขาวหรือจุดขาวที่พบในเต้าเจี้ยว เกิดจากผลลัพธ์ของกรดอะมิโนไทโรซีน (tyrosine) ซึ่งกรดชนิดนี้เกิดจากโปรตีนในถั่วเหลืองถูกย่อยสลาย (hydrolyze) ด้วยเอนไซม์โปรตีเซอส (protease) ที่ถูกผลิตขึ้นโดยราในสกุล *Aspergillus* ได้แก่ *A. oryzae*, *A. flavus* และ *A. sojae* ในขั้นตอนการหมักโคจิ (koji) (Flegel et al., 1981; Bhumiratana, 1988; Oyashiki et al., 1989)

ปัจจุบันการหนึ่งของเต้าเจี้ยวที่ทางจำหน่ายในท้องตลาด คือ ปริมาณเกลือที่ใช้ในการหมักเต้าเจี้ยวในขั้นตอนการหมักโมโนมิ (moromi) ซึ่งเป็นขั้นตอนการหมักที่ต่อเนื่องจากการหมักโคจิ มีความเข้มข้นสูงมาก คือประมาณร้อยละ 22 เป็นต้นไป การใช้เกลือที่ความเข้มข้นสูงมาก ดังกล่าว มีวัตถุประสงค์เพื่อป้องกันเต้าเจี้ยวไม่ให้เน่าเสีย ในระหว่างการหมักโมโนมิ และในระหว่างการเก็บรักษา แต่เมื่อเป็นผลิตภัณฑ์พร้อมบริโภคปริมาณเกลือที่สูงมากดังนี้ กลับทำให้ผู้บริโภคส่วนใหญ่ปฏิเสธรากษากลับที่เค็มจัด นอกจากนี้ผู้ป่วยที่เป็นโรคความดันโลหิตสูงอาจมีความกังวลใจเกี่ยวกับปัจจัยสุขภาพ ถ้าต้องบริโภคเต้าเจี้ยวที่มีปริมาณเกลือสูง แนวทางแก้ปัจจัยรากษากลับที่เค็มเกินไปของเต้าเจี้ยว คือ การเติมน้ำตาลลงไปประมาณร้อยละ 5 หรือมากกว่า เพื่อให้ความหวานกลับรสเค็มของเต้าเจี้ยว

ดังนั้นงานวิจัยนี้ได้มุ่งศึกษากลไกของการเกิดอนุภาคสีขาว เพื่อหาแนวทางป้องกันการเกิดอนุภาคสีขาวในเต้าเจี้ยวสำเร็จรูป และวิธีการหมักเต้าเจี้ยวที่มีรากษากลับที่เค็มน้อย เพื่อให้ได้ผลิตภัณฑ์ที่ใกล้เคียงกับธรรมชาติโดยมีการเติมน้ำตาลที่สูด และเพื่อให้ผู้บริโภคได้รับรากษากลับที่เค็มน้อยของเต้าเจี้ยว ทำให้มีการนำเต้าเจี้ยวไปใช้ประกอบอาหารเพิ่มขึ้น

วัตถุประสงค์ของการวิจัย

1. เพื่อศึกษาปัจจัยที่มีผลต่อการเกิดอนุภาคสีขาวในกระบวนการหมักเต้าเจี้ยว
2. เพื่อศึกษาองค์ประกอบของอนุภาคสีขาวที่เกิดในเต้าเจี้ยว
3. เพื่อศึกษาวิธีการหมักเต้าเจี้ยวที่มีรสเด่นน้อย

ประโยชน์ที่คาดว่าจะได้รับ

1. ได้ทราบปัจจัยที่มีผลต่อการเกิดอนุภาคสีขาวในเต้าเจี้ยว
2. สามารถลดจำนวนอนุภาคสีขาวในเต้าเจี้ยวที่บรรจุขวดได้
3. ได้เต้าเจี้ยวที่มีรสเด่นน้อย
4. ได้ผลิตภัณฑ์เต้าเจี้ยวที่มีคุณภาพโดยรวมดีขึ้นกว่าเดิม

บทที่ 2

การตรวจเอกสาร

ปัจจุบันผู้บริโภคให้ความสำคัญกับสุขภาพร่างกายมากขึ้น ดังนั้นจึงมีการคิดกันอาหารชนิดใหม่จำนวนมากขึ้นมา เพื่อตอบสนองความต้องการของผู้บริโภค ทั้งในด้านรสชาติ คุณค่าทางโภชนาการ และความปลอดภัยในการบริโภคอาหาร เด็กเจ้าเรียนเป็นอีกหนึ่งผลิตภัณฑ์ที่มีคุณค่าทางโภชนาการสูง เนื่องจากวัตถุดีบดลักษณะของการทำเด็กเจ้าเรียน คือถั่วเหลืองซึ่งเป็นแหล่งสารอาหารประเภทโปรตีน ขั้นตอนการผลิตเด็กเจ้าเรียนมีกระบวนการทางชีวเคมีค่อนข้างซับซ้อน เนื่องจากต้องเก็บข้อมูลกับกิจกรรมของจุลินทรีย์หลายชนิด (สุทธิศักดิ์, 2520; พินพาร, 2521)

ปัจจุบันผลิตภัณฑ์เด็กเจ้าเรียนที่วางขายตามห้องตลาดสำหรับผู้ผลิตบางราย ต้องประสบกับปัญหาที่เกี่ยวข้องกับคุณลักษณะประกายของผลิตภัณฑ์ ซึ่ง ได้แก่ การเกิดอนุภาคสีขาวในเนื้อเด็กเจ้าเรียน ซึ่งสังเกตเห็นได้ชัดเจนที่มีปริมาณมากในระดับหนึ่ง ประกายการณ์ตั้งกล่าวทำให้ผู้บริโภคเกิดความไม่นั่นใจในคุณภาพของผลิตภัณฑ์ และปฏิเสธการซื้อผลิตภัณฑ์ในที่สุด นอกจากนี้แล้วบังพบร่วมกับเด็กเจ้าเรียนที่จำหน่ายทั่วไปในห้องตลาดมีรสชาติที่เค็มมากเกินไป ซึ่งการแก้ไขปัญหาดังกล่าว

ของผู้ประกอบการส่วนใหญ่ ได้แก่การเติมน้ำตาลลงไปในผลิตภัณฑ์ในปริมาณที่แตกต่างกัน ซึ่งบางรายการอาจสูงถึงร้อยละ 15 ทำให้รสชาติที่ดีของเด็กเจ้าเรียนลดลง และบังการทำให้เด็กเจ้าเรียนมีสีคล้ำขึ้น

ดังนั้นจึงได้วางแนวทางการศึกษากลไกที่ทำให้เกิดอนุภาคสีขาวในผลิตภัณฑ์เด็กเจ้าเรียน เพื่อทำให้จำนวนและขนาดอนุภาคสีขาวลดลงในระดับที่ยอมรับได้ และทำการพัฒนาผลิตภัณฑ์เด็กเจ้าเรียนสกัดน้อย เพื่อให้ได้เด็กเจ้าเรียนที่มีปริมาณเกลือลดลงจากระดับทั่วไป แต่ยังคงมีรสชาติที่ยอมรับได้โดยที่ไม่ต้องเติมน้ำตาลกราย

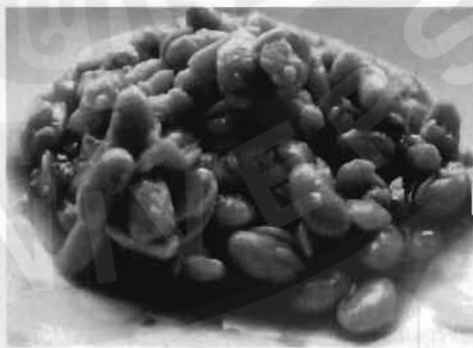
เต้าเจี้ยว

เต้าเจี้ยว (มิโซะ) เป็นเครื่องปูรุงรสอาหารชนิดหนึ่ง ที่ได้จากการหมักถั่วเหลือง และข้าวหรือแป้ง ในน้ำเกลือที่มีความเข้มข้นสูง มีชื่อเรียกกันหลายอย่างตามแต่ละประเทศผลิตกัน เช่น chiang (จีน), jang หรือ doenjang (เกาหลี), tauco (อินโดนีเซีย), tao-si (ฟิลิปปินส์), tao-chieo (ประเทศไทย) เป็นต้น (วรรณพิมและรุ่งนภา, 2532) ขั้นตอนการผลิตเต้าเจี้ยวมีความคล้ายคลึงกับกระบวนการผลิตซีอิ๊วเป็นส่วนใหญ่ และมีความเกี่ยวข้องกับกิจกรรมของจุลินทรีย์ทลายชนิด ทั้งราบีสต์ และแบคทีเรีย ที่มีบทบาทในการเปลี่ยนแปลงสารอาหารต่างๆ ในวัตถุคุณที่ใช้หมัก ให้กลายเป็นสารอาหารที่ร่างกายนำไปใช้ได้ง่าย และกลิ่นหอมที่มีลักษณะเฉพาะตัว (สุทธิศักดิ์, 2520; พิมพาร, 2521)

การผลิตเต้าเจี้ยวและซีอิ๊วเกี่ยวข้องกับกระบวนการหมัก 2 ขั้นตอน คือ ขั้นตอนการหมักถั่วเหลืองและข้าวสาลีด้วยราในสกุล *Aspergillus* เรียกว่า โโคจิ (koji) ซึ่งจะเจริญและสร้างเอนไซม์ทลายชนิดคั่วขังทำให้เกิดการย่อยสลายวัตถุคุณ ให้กลายเป็นสารชีวโมโนเกลูลที่มีขนาดเล็กลง ขั้นตอนที่ 2 คือขั้นตอนการหมักโโคจิที่ได้ในน้ำเกลือที่มีความเข้มข้นสูง เรียกว่า โมโร米 (moromi) โดยจุลินทรีย์อีก 2 ชนิด คือแบคทีเรียกรดแลคติก (lactic acid bacteria) และบีสต์ ควบคู่ไปกิจกรรมของเอนไซม์ที่สร้างขึ้นในขั้นตอนการหมักโโคจิ ทำให้ได้ผลิตภัณฑ์สุดท้ายที่มีกลิ่นหอมและรสชาติดี (Yokotsuka, 1986)



(a)



(b)

ภาพ 1 เต้าเจี้ยวพร้อมบริโภค: เต้าเจี้ยวในบรรจุภัณฑ์ (a) ลักษณะเนื้อเต้าเจี้ยว (b)
ที่มา: lemonfarm, 2011

ผู้บริโภคคนไทยมักนำเต้าเจี้ยว (ภาพ 1) มาใช้เป็นผลิตภัณฑ์ปฐกรสสำหรับอาหารชนิดต่างๆ เนื่องจากเต้าเจี้ยวช่วยเพิ่มรสชาติให้แก่อาหาร และยังมีคุณค่าทางโภชนาการอีกด้วย ซึ่งประกอบด้วยสารอาหารต่างๆ โปรตีน (protein) ไขมัน (fat) คาร์โบไฮเดรต (carbohydrate) และเดา (ash) ร้อยละ 19.4 9.4 13.2 และ 13.0 ตามลำดับ (Rehm and Reed, 1983)

วัตถุดินสำหรับการผลิตเต้าเจี้ยว

ถั่วเหลือง

ถั่วเหลืองมีชื่อทางวิทยาศาสตร์ว่า *Glycine max* (L) Merr. เมล็ดถั่วเหลือง(ภาพ 2) แต่ละพันธุ์จะมีสีเปลือก (seed coat) สีจมูก (hilum) ปริมาณความชื้น โปรตีน และไขมันแตกต่างกัน ถั่วเหลืองของไทยจะมีสีเปลือกเป็นสีเหลืองอ่อน สีจมูกเป็นสีน้ำตาลเข้มถึงสีดำ มีปริมาณความชื้น โปรตีน และไขมันร้อยละ 10-17 และ 34 ตามลำดับ (กองโภชนาการ, 2530)



ภาพ 2 เมล็ดถั่วเหลือง

ที่มา: ประพศรี, 2553

ถั่วเหลืองจากสหราชอาณาจักรพันธุ์ต่างๆ มีเปลือกสีน้ำตาล ไม่มันเงา จมูกถั่วเหลืองมีสีเหลือง สีดำ หรือสีเนื้อ มีปริมาณความชื้น โปรตีน และไขมันอยู่ระหว่างร้อยละ 7.7-8.1 45.1 และ 17.9-18.9 ตามลำดับ ในขณะที่ถั่วเหลืองจากญี่ปุ่นพันธุ์ต่างๆ สีของเปลือกมีน้ำตาลอ่อนเขียว จมูกของถั่วเหลืองมีสีน้ำตาลเข้ม สีเหลือง มีปริมาณความชื้น โปรตีน และไขมันอยู่ระหว่างร้อยละ 7.9-8.2 40.8-45.2 และ 17.3-19.4 ตามลำดับ (Wang et al., 1983) องค์ประกอบของถั่วเหลืองมีความ

แตกต่างกันตามสภาพของแหล่งเพาะปลูก (Smith et al., 1960) การใช้ประโยชน์จากถั่วเหลืองในการทำผลิตภัณฑ์อาหาร ในบางครั้งมีความจำเป็นที่จะต้องคัดเลือกใช้สายพันธุ์ให้เหมาะสมกับผลิตภัณฑ์ เช่น การใช้ถั่วเหลืองสายพันธุ์ที่มีเปลือกสีเหลืองอ่อน และมีโปรตีนสูงมาทำเป็นเต้าหู้ เป็นต้น

Sakaki (1996) กล่าวว่า ชิอิวที่มีกลิ่นหอมและรสชาติ ส่วนหนึ่งเกิดจากการประกอบที่มีชื่อเรียกว่า HEMF (4-hydroxy-2(or5)-ethyl-5(or2)-methyl-3(2H)-furanone) สารดังกล่าวเกิดจากสารตั้งต้น (precursor) ที่พบได้ในถั่วเหลืองและข้าวสาลีเท่านั้น และเกิดขึ้นในขั้นตอนการหมักไม่ろย มิโดยอาศัยกิจกรรมของยีสต์

ข้าวและแป้ง

ข้าวและแป้ง จัดเป็นแหล่งคาร์โบไฮเดรทที่สำคัญ และมีความสำคัญเป็นอันดับสองรองจากถั่วเหลือง ในการนำเข้าหมักเต้าเจี้ยว เนื่องจากความสามารถใช้แหล่งคาร์โบไฮเดรทได้จากหั่นเมล็ดข้าวบดหรือแป้งที่ใช้ในการคลุกกับถั่วเหลือง นอกจากนี้จากคาร์โบไฮเดรทในถั่วเหลือง ในการหมักเต้าเจี้ยวทางอุดสาหกรรม นิยมใช้แป้งสาลี (wheat flour) หรือแป้งข้าวเจ้า (rice flour) หรืออาจใช้ในรูปของเมล็ดข้าวสาลีหรือเมล็ดข้าวเจ้าก็ได้

อรอนงค์ (2547) ได้กล่าวถึงองค์ประกอบทางเคมีของข้าวว่า มีผลมาจากการสายพันธุ์ สภาวะการปลูก-การเก็บเกี่ยว และกระบวนการแปรรูปจากข้าวเปลือกเป็นข้าวกล้องและข้าวสาร

ประเทศไทยส่วนใหญ่นิยมใช้แป้งข้าวเจ้ามากกว่าแป้งสาลี เพราะราคาถูกกว่า แต่ การใช้แป้งสาลีจะทำให้ผลิตภัณฑ์ที่ได้มีกลิ่นสด นิ่งจากแป้งสาลีหรือข้าวสาลีมีปริมาณโปรตีนสูง คือประมาณ 8-14 เบอร์เซ็นต์ และประกอบด้วยปริมาณกรดกลูตามิกที่สูงกว่ากรดอะมิโนชนิดอื่นๆ จึงก่อให้เกิดรสชาติที่ดี (เพญลักษ์, 2521) แต่ผลิตภัณฑ์จะมีสีเข้มกว่าการใช้แป้งข้าวเจ้า เพื่อ ลดเชย ข้อเสียเบริ่งของแป้งทั้ง 2 ชนิด จึงอาจมีการใช้แป้งสาลีผสมกับแป้งข้าวเจ้าในอัตราร่วมที่แตกต่างกัน

การใช้ประโยชน์จากข้าวเพื่อให้เป็นแหล่งอาหารของราในกระบวนการหมักโคลิ จึงมีรูปแบบที่หลากหลาย เช่น การใช้ข้าวเหนียวแทนข้าวเจ้าหรือแป้งข้าวเจ้า เช่น ข้าวเหนียวพันธุ์ กข 6 ซึ่งเป็นข้าวเหนียวสายพันธุ์ที่มีลำต้นสูง ในเขตภาคเหนือและภาคตะวันออกเฉียงเหนือของประเทศไทย เกษตรกรได้รับการส่งเสริมให้ทำการปลูกข้าวเหนียวพันธุ์ กข 6 ในลักษณะเดียวกับการปลูกข้าว

ข้าวเหนียวพันธุ์ กข 6 ได้มาจากการปรับปรุงพันธุ์โดยวิธีการซักน้ำให้เกิดการเปลี่ยนแปลงทางพันธุกรรม โดยรังสีแกมมา (gamma) ขนาด 20 KRad อาบเมล็ดข้าวพันธุ์ข้าวตอก มะลิ 105 ให้กลาบพันธุ์เป็นข้าวเหนียว และนำมาปลูกคัดเลือกที่สถานีทดลองข้าวบางเขน และ

สถานีทดลองข้าวพิมาย จากการคัดเลือกได้ข้าวเหนียวลายสายพันธุ์ด้วยกัน ในต้นข้าวช่วงที่ 2 แด่สายพันธุ์ที่ให้ผลผลิตมากที่สุดคือ ข้าวคอกนมะลิ 105 65-G2 U-68-254 เป็นข้าวเหนียวหอมที่มีคุณภาพดี พันธุ์แรกที่ได้จากการอบรังสีปรับตัวได้ดี เป็นที่นิยมปลูกและรับประทานมาก (สถาบันวิจัยข้าวกรมวิชาการเกษตร, 2540)

เกลือ

เกลือเป็นส่วนประกอบที่สำคัญของการผลิตเต้าเจี้ยว สามารถป้องกันป้องกันการเสื่อมเสีย และเป็นแหล่งให้รสเด็ด นอกจากรสเกลือยังเป็นวัตถุคิดในการผลิตสารเคมีบางตัว เกลือมีอยู่ 2 ชนิด คือเกลือสินธาร์ (rock salt) และเกลือทะเล (sea salt) โดยทั่วไปการผลิตเต้าเจี้ยวจะใช้เกลือทะเลซึ่งมีปริมาณโซเดียมคลอไรด์มากกว่าร้อยละ 95 (Yokotsuka, 1986) โดยโซเดียมคลอไรด์นี้หน้าที่สมูนกับสารบันยัน และคัดเลือกเชื้อจุลินทรีย์ในขั้นการหมักโโนโนะ นอกจากนี้เกลือยังช่วยในการป้องกันการเสื่อมเสียของเต้าเจี้ยวด้วย (Yong and Wood, 1974)

ความเข้มข้นของน้ำเกลือที่ใช้หมักเต้าเจี้ยวมักกำหนดให้อยู่ในช่วงร้อยละ 18-22 เพราะเป็นความเข้มข้นที่สูงพอที่จะสามารถขับยั้งการเจริญของจุลินทรีย์ที่เป็นอันตราย และจุลินทรีย์ที่ทำให้เต้าเจี้ยวเน่าเสียได้ ส่วนแบนคที่เรียกว่าแลคติก (lactic acid bacteria: LAB) และบีสต์ที่ทนเกลือได้จะเจริญได้ดี และผลิตสารที่ทำให้เกิดกลิ่นรสที่ดีของซีอิ๊ว (Bhumiratana et al., 1988) แต่สำหรับซีอิ๊วที่ผลิตในประเทศไทยมีคุณภาพจากเกลือประมาณร้อยละ 17-19 (Yong and Wood, 1974)

ภาคธีรา (2550) ได้ศึกษาการหมักซีอิ๊วจากถั่วน้ำและถั่วเหลือง โดยใช้น้ำเกลือเข้มข้นร้อยละ 20 และไม่มีการเติมน้ำตาลทรายลงไปในผลิตภัณฑ์สุดท้าย พบว่าซีอิ๊วที่หมักได้มีรสชาติที่ดีมาก

ศิริพร (2538) ได้ศึกษาผลของปริมาณเกลือในน้ำเกลือต่อการปรับเปลี่ยนกระบวนการหมักซีอิ๊ว โดยใช้น้ำเกลือเข้มข้นร้อยละ 26 เติมน้ำในโภชที่มีน้ำผึ้งอยู่ก่อนแล้วเพื่อให้ได้ความเข้มข้นสุดท้ายของเกลือในน้ำเกลือเท่ากับร้อยละ 17.53-18.70

น้ำ

น้ำเป็นส่วนประกอบที่สำคัญของเต้าเจี้ยวมาก น้ำที่ใช้กับการผลิตเต้าเจี้ยวใช้น้ำครัวของน้ำดื่มทั่วๆไป ไม่มีสี กลิ่น รส และไส เช่น น้ำที่ผ่านการกรอง หรือน้ำที่ผ่านการดู๊ด แต่ถ้าใช้น้ำประปาจะมีผลทำให้ต้องใส่กลิ่นเพิ่มเนื่องจากคลอรินไปทำลายจุลินทรีย์บางส่วน น้ำที่ใช้ควร

มีสภาพเป็นกลางหรือเป็นค่างเล็กน้อย ดังนี้จึงต้องควบคุมคุณภาพของน้ำ เพราะจะมีผลต่อคุณภาพของเต้าเจี้ยว (วารุณี, 2545)

การผลิตเต้าเจี้ยว

การหมักโภช

โภช ซึ่งเป็นแหล่งสำคัญของเย็นไชม์ โปรดีโอส และอะไมโนเลส สามารถเตรียมได้จากถั่วเหลืองต้มสุก หรือจากข้าวสุก เช่น ข้าวเมล็ดสัน หรือข้าวนาร์เดีย (คุณณี, 2546) ขั้นตอนการเตรียมโภชจากข้าวหรือจากถั่วเหลืองจะมีความคล้ายคลึงกัน ซึ่งทำได้โดยการนำข้าวมาแห้งน้ำขานคืนแล้วนึ่งให้นิ่น ข้าวต้องสุกพอตี มีความชื้นประมาณร้อยละ 35-40 จากนั้นนำมาแห้งบนกระดังหรือถาดที่รองด้วยผ้าขาวบาง แล้วเกลี่ยให้หนาประมาณ 3-5 เซนติเมตร จากนั้นนำสปอร์ของเชื้อรา *A. oryzae* หรือ *A. sojae* ใส่ให้ทั่ว บ่มที่อุณหภูมิประมาณ 30 องศาเซลเซียส ประมาณ 3-5 วัน โภจิที่ดีต้องมีเส้นใยสีขาวคลุนรอบโภจและต้องไม่มีการปนเปื้อนจากการนิคอื่น เรียกว่าโภจข้าว (rice koji)

สำหรับการเตรียมโภจจากถั่วเหลือง สามารถทำได้โดยนำถั่วเหลืองมาแห้งในน้ำ เพื่อทำให้ถั่วเหลืองนิ่นขึ้น และช่วยลดเวลาในการทำให้สุก หลังจากแห้งน้ำแล้วถั่วเหลืองจะมีน้ำหนักเพิ่มขึ้น 2.1-2.15 เท่า (Yokotsuka, 1986; Yong and Wood, 1974; Bhumiratana et al., 1988) หลังจากนั้นจึงต้มถั่วให้สุก แล้วรีบลดอุณหภูมิให้ต่ำกว่า 40 องศาเซลเซียส เพื่อป้องกันการเจริญของจุลทรรศ์ที่หลงเหลืออยู่ (Yong and Wood, 1974) ทำการเติมพงสปอร์ของราเข่นเดียวกับการเตรียมโภจจากข้าว

อุณหภูมิที่เหมาะสมต่อการบ่ม โภจจะอยู่ระหว่าง 28-35 องศาเซลเซียส และโภจควรมีความชื้นประมาณร้อยละ 55-60 เพื่อให้เหมาะสมสำหรับการเจริญของรา *A. oryzae* การปล่อยให้ความชื้นของโภจสูงเกินไป จะทำให้มีโอกาสเกิดการปนเปื้อนด้วยแบคทีเรียได้ (Beuchat, 1987) การควบคุมอุณหภูมิและความชื้น จัดเป็นปัจจัยที่สำคัญที่สุดในการหมัก เพราะจะช่วยลดการเจริญและสร้างเส้นใยได้ดีที่อุณหภูมิประมาณ 30-35 องศาเซลเซียส เมื่อเส้นใยมีปริมาณมากแล้ว จึงให้ทำการลดอุณหภูมิให้ต่ำกว่า 30 องศาเซลเซียส คือ ประมาณ 25 องศาเซลเซียส เพื่อให้ราสร้างโปรดีโอสให้มากขึ้น (Wood, 1998)

การหมัก โนโรมิ (moromi)

คุณณี (2546) กล่าวถึงวิธีการหมักโนโรมิ ซึ่งทำได้โดยการนำถั่วเหลืองมาแช่น้ำเป็นเวลา 18-22 ชั่วโมงในระหว่างการแช่ต้องเปลี่ยนน้ำหลายๆ ครั้ง เพื่อลดการเจริญเติบโตของแบคทีเรีย นำถั่วเหลืองไปต้มหรือนึ่งให้สุก หรือนึ่งที่อุณหภูมิ 115 องศาเซลเซียส ประมาณ 20 นาที แล้วทิ้งไว้ให้เย็น เพื่อรอนำไปใช้ในการหมัก โดยอาจใช้อัตราส่วนระหว่างถั่วเหลืองต่อโภชินท่ากัน 2:1 จากนั้นเติมน้ำเกลือที่มีความเข้มข้นร้อยละ 17-22 บ่มที่อุณหภูมิห้อง โดยใส่น้ำเกลือต่อโภชินท่ากันอัตราส่วน เท่ากัน 2:1 น้ำเกลือที่มีความเข้มข้นสูงกว่าร้อยละ 16 จะช่วยป้องกันไม่ให้จุลินทรีย์ที่เน่าเสียเจริญได้ในถังหมัก (Yong and Wood, 1974)

ขั้นตอนการหมักโนโรมิ จะเป็นช่วงการทำงานของเอนไซม์ที่เรียกว่าสร้างขึ้นควบคู่ไปกับกิจกรรมการหมักโดยจุลินทรีย์ อีก 2 ชนิด คือ แบคทีเรียกรดแคลคติก และยสต์ ทำให้เด้าเจี้ยวที่ได้ในขั้นตอนสุดท้ายมีกลิ่นและรสชาติที่ดี การใช้ปริมาณเกลือที่ความเข้มข้นที่สูงขึ้นนี้ จะส่งผลให้ผลิตภัณฑ์ที่ได้มีรสเด็ดจัด

Chioua (1999) รายงานว่าสามารถหมักมิโซะโดยการใช้เกลือที่มีความเข้มข้นต่ำ คือ มิโซเดียมคลอไรต์ร้อยละ 5 (low sodium chloride) พร้อมกับเติมโซเดียมอลูมิเนียมไฮดรอกไซด์ร้อยละ 7.5 เพื่อป้องกันการเน่าเสียจากแบคทีเรีย

ช่วงของการหมักโนโรมิ ต้องทำการกวนผสมโนโรมิเป็นครั้งคราว เพื่อเป็นการเติมอากาศให้แก่เด้าเจี้ยว โดยเฉพาะอย่างยิ่งในช่วงสัปดาห์แรกนับวันมีความจำเป็นอย่างยิ่ง ซึ่งนอกจากจะช่วยให้ส่วนผสมของวัตถุติดเข้ากันดีแล้ว ยังช่วยทำให้ปฏิกิริหาระหว่างเอนไซม์กับสับสเตรต เป็นไปได้ดี และยังช่วยทำลายจุลินทรีย์ที่ไม่ทนเกลือที่ติดมากับโภชินได้อีกด้วย (Wood, 1998)

การหมักโนโรมิจะใช้เวลานาน 1-3 เดือน สำหรับการหมักกลางแจ้ง (Bhumiratana et al., 1988) แต่เวลาจะนานขึ้นหากนำไปเป็น 3 เดือน-1 ปี ถ้าเป็นการหมักในที่ร่ม (Yong and Wood, 1974)

จุลินทรีย์ที่เกี่ยวข้องในการหมักเด้าเจี้ยว

๑

ราที่มีความสำคัญและนิยมใช้ในการผลิตเชื้อจุลินทรีย์และเด้าเจี้ยว คือ *A. oryzae*, *A. flavus* และ *A. sojae (sojae)* จัดเป็นราในสกุล Deuteromycetes (Oyashiki et al., 1980) ซึ่งนิยมใช้ในการทำผลิตภัณฑ์อาหารหมักทั้งในแบบประเทศไทยและประเทศอื่นๆ (Jones, 1993) มีหน้าที่ในการสร้างเอนไซม์โปรตีอีส (protease) และอะมายลีส (amylase) โดยเอนไซม์โปรตีอีสจะย่อยโปรตีนในถั่ว

เหลืองให้เป็นกรดอะมิโน (amino acids) ซึ่งบางส่วนจะถูกนำไปเคลือบของกรดอะมิโน เช่น โซเดียมกลูตามาต (sodium glutamate) และทำให้เกิดผลิตภัณฑ์ต่อเต้าเจี้ยวในด้านรสชาติ ส่วนอื่นๆ ในเลส จะบ่อบาร์โบไนเตรตในถัวเหลือง ให้เป็นสารประกอบที่มีโมเลกุลขนาดเล็กลง และสุดท้ายได้เป็นน้ำตาล maltose และกลูโคส (glucose) ซึ่งจุลินทรีย์สามารถนำไปใช้เป็นแหล่งพลังงานในการเจริญเติบโตและการหมัก (Rehm and Reed, 1983)

A. oryzae และ *A. sojae* เป็นราษฎรพืชที่เพาะเลี้ยงให้เจริญได้ง่าย และพบว่ามีประสิทธิภาพสูงในการสร้างเอนไซม์ที่มีบทบาทสำคัญ และเหมาะสมในการทำโคจิ นอกจากนั้นรา *Aspergillus* ยังมีส่วนร่วมในการก่อให้เกิดกลิ่นและรสชาติที่ดีในเชื้อจิ้วอีกด้วย (Yokotsuka, 1960a; Yokotsuka, 1986; Yong and Wood, 1974)

Oyashiki et al. (1989) ทดลองใช้ราษฎรพืชพันธุ์ในการเครื่องจากข้าวที่นึ่งสุก และพบว่า *A. oryzae* สามารถให้เอนไซม์ อัลฟ่าอะไมเลส (α - amylase) และนิวทรัลโปรตีอสที่สูงที่สุด (neutral protease)

Wood (1998) ได้กล่าวถึงสมบัติที่ดีของราษฎรพืชที่จะนำมาใช้ในการการทำโคจิ ดังนี้ คือ มีความสามารถที่ดีในการให้รสชาติและสีแก่ผลิตภัณฑ์สุดท้าย มีความสามารถในการสร้างสปอร์ได้มาก ซึ่งจะมีความสำคัญต่อการเตรียมเป็นเชื้อริ่นต้น (starter) หรือท่านโคจิ (tane koji) ความสามารถในการเจริญได้อ่อนแรงเร็วและให้กรรมเอนไซม์ที่สูง โดยเฉพาะอย่างยิ่งเอนไซม์ที่เกี่ยวข้องกับการย่อยสลายโปรตีน และเอนไซม์ย่อยสลายเนื้อเยื่อพืช มีอัตราการใช้สารอาหารในระหว่างการเจริญที่ต่ำ มีความคงตัวทางพันธุกรรมสูง มี conidiophore สัน ซึ่งจะช่วยให้โคจิไม่จับตัวเป็นก้อนแน่นเกินไป ทำให้มีการถ่ายเทอากาศที่ดีกว่า และไม่สร้างสารพิษ

ในอุตสาหกรรมการผลิตเต้าเจี้ยวและซีอิ๊ว ราที่คัดเกือบแล้ว จะถูกนำมาเพาะบนสับسطรroph (substrate) ที่เหมาะสม เช่น ปลาข้าวคหบยานฯ ผสมกับน้ำ แล้วนำไปปั่นผ่าเชือก ก่อนที่จะเติมสปอร์ของราที่ต้องการลงไป เพื่อผลิตสปอร์จำนวนมากสำหรับใช้เป็นหัวเชื้อริ่นต้น ซึ่งสามารถนำไปใช้ได้ทันที หรือนำไปเก็บรักษาไว้โดยวิธีการที่แตกต่างกัน เช่น การแช่เย็น การอบให้แห้งในที่อุณหภูมิ 50 องศาเซลเซียส หรืออาจนำไปผสมกับแป้งในอัตราส่วนแป้งต่อผงสปอร์ เท่ากับ 20:1 (วิลาวัณย์, 2536)

แบคทีเรีย

แบคทีเรียที่พบและมีความสำคัญในการหมักเต้าเจี้ยว ได้แก่ แบคทีเรียที่ผลิตกรดโคเบเพาะพวงที่ทนกรดได้สูง ได้แก่ *Pediococcus sojae* ซึ่งเป็นแบคทีเรียที่มีบทบาทสำคัญในการหมักโอมิโน โดยแบคทีเรียจะใช้น้ำตาลกลูโคส และมอลตอส ที่ได้จากการย่อยสลาย

การโบไไซเดรท เพื่อผลิตกรดอินทรีบี (organic acids) เอสเทอร์ (esters) เอทานอล (ethanol) และกรดไขมันอิสระ (free fatty acids) ทำให้กลิ่นและรสชาติของเด้าเจี้ยวดีขึ้น (Beuchat, 1987) ลักษณะที่สำคัญที่สุดของแบคทีเรียกลุ่มนี้ คือ สามารถหมักน้ำตาลให้ได้กรดแอลกอติก ทำให้ค่าความเป็นกรด-เบสของน้ำหมักลดลงจาก 6.0-7.0 เป็น 4.0-5.0 ซึ่งช่วงที่มีความสมดุลของการเจริญของยีสต์ ที่มีบทบาทสำคัญในการหมักช่วงต่อไป

ยีสต์

ยีสต์ มีความสำคัญต่อการให้กลิ่นรสในการหมักเด้าเจี้ยว โดยทำการเปลี่ยนน้ำตาลในน้ำหมักให้เป็นเอธิลอลกออล (ethyl alcohol) บิวทิลอลกออล (butyl alcohol) และเอมิลอลกออล (amyl alcohol) และเมื่อทำปฏิกิริยา กับกรดอินทรีบี จะได้ออสเทอร์ ซึ่งช่วยส่งเสริมให้เด้าเจี้ยวมีกลิ่นรสที่ดี (Beuchat, 1987) ยีสต์ที่พบ ได้แก่ *Zygosaccharomyces rouxii*, *Debaryomyces*, *Pichia* และ *Candida*

Sugiyama (1984) ได้แนะนำว่าในการคัดเลือกสายพันธุ์ของยีสต์เพื่อใช้ในการผลิตชีวิวแบบญี่ปุ่นควรจะใช้ *Z. rouxii* ซึ่งมีความสามารถในการผลิตแอลกออลและให้สารประกอบให้กลิ่นรสที่ดีในความเข้มข้นแก่สูง

เอนไซม์ที่มีบทบาทต่อการหมักเด้าเจี้ยว

กระบวนการหมักโไม่โรม ดำเนินไปภายใต้กิจกรรมของเอนไซม์หลายชนิด แล้วบทบาทหลักขึ้นอยู่กับเอนไซม์ 2 กลุ่ม คือ อะไนเลส และ โปรตีอส ที่จะทำหน้าที่เปลี่ยนสารอาหารขนาดโไมเลกุลใหญ่ให้เป็นสารโไมเลกุลขนาดเล็กลง

อะไนเลส

อะไนเลสเป็น extracellular enzyme ซึ่งประกอบด้วย exoamylase และ endomylase (Ingle and Erickson, 1978) สามารถย่อยสลายแป้งให้เป็นกลูโคส พนได้ในแบคทีเรียและราหลาภสกุล เช่น *Bacillus* spp., *Pseudomonas* spp., *Streptomyces* spp., *Actinomyces* spp..

Thermomonospora spp., *Mucor* spp., *Rhizopus* spp. และ *Aspergillus* spp. (Upton and Forgyat, 1977)

อะไนเลสที่ผลิตได้จากแบคทีเรียมักเป็นเอนไซม์ชนิด α -amylase ซึ่งเป็น endoamylase ขอยแยกได้ด้วยเอนไซม์ที่ทนความร้อนได้ อะไนเลสอีกประเภท

หนึ่งคือ exoamylase ได้แก่ β -amylase ซึ่งจะย่อยเป็นได้นอลโคลส และ เด็กสทริน (dextrin) และถ้าทำงานร่วมกับ glucoamylase จะย่อยเป็นได้อบายสมบูรณ์ คือ ให้ผลกลูโคสเพียงอย่างเดียว (Medda and Chandra, 1980)

ประเภทของอะไมเลส

อะไมเลสซึ่งได้จากสิ่งที่มีชีวิตหลายชนิด สามารถแบ่งออกได้เป็นหลายประเภท ดังนี้คือ

- การแบ่งตามชนิดของพันธะที่ถูกย่อยสถาบัน สามารถแบ่งได้ 2 ประเภท คือ endoamylase และ exoamylase

1.1 Endoamylase

เป็นเอนไซม์ที่จะย่อยสถาบันพันธะชนิด α -1,4-glucosidic linkage ภายในโมเลกุลของแป้งแบบสุ่ม ได้ผลิตภัณฑ์ dextrin ซึ่งเป็นกลูโคสที่มีขนาดแตกต่างกัน เอ็นไซม์กลุ่มนี้ได้แก่ 1,4-dextrinase และ α -amylase ที่มีชื่อตามระบบสากลว่า α -1,4-glucanglucanohydrolase ชื่อสามัญว่า diastase และชื่อทางการค้าว่า termamyl α -amylase ซึ่งหมายถึง อะไมเลสที่สถาบันสับสเตรทที่เป็นแป้ง แล้วได้น้ำตาลรีคิวส์ที่มี optical α -form และมีค่า mutarotation ต่ำกว่าเดิม

กิจกรรมของ α -amylase ต่อการย่อยสถาบันสับสเตรทที่ประกอบด้วยอะไมโลส (amylose) และอะไมโลเพคติน (amylopectin) จะเกิดขึ้นอย่างรวดเร็วและเป็นแบบสุ่ม ถ้าเป็นการย่อยสถาบันอะไมโลส จะส่งผลทำให้ได้สารประกอบที่มีโมเลกุลเล็กลงกว่าเดิม ได้แก่ dextrin ซึ่งให้สารสีม่วงแดงเมื่อทำปฏิกิริยากับสารละลายน้ำ ไอโซดีน และถ้าปล่อยให้มีการย่อยสถาบันต่อไป จะทำให้ได้สารประกอบที่มีขนาดโมเลกุลลดลง ไปอีกจนในที่สุด ได้ maltotriose และ maltose เป็นผลิตภัณฑ์สุดท้าย ซึ่งไม่ทำให้สารละลายน้ำ ไอโซดีนเปลี่ยนสีได้ ถ้าเป็นการย่อยสถาบันอะไมโลเพคติน เอ็นไซม์ α -amylase จะไม่สามารถย่อยสถาบันพันธะ α -1,6 glucosidic linkage ได้ทำให้ได้สารประกอบ limit dextrin ที่มีขนาดโมเลกุลเล็กกว่า dextrin

1.2 Exoamylase

เป็นเอนไซม์ที่จะย่อยสถาบันโมเลกุลของแป้งจากปลายด้าน non-reducing end การย่อยสถาบันอาจสถาบันทั้ง α -1,4-glucosidic linkage และ α -1,6-glucosidic linkage เอ็นไซม์ในกลุ่มนี้ได้แก่ β -amylase และ γ -amylase หรือ glucoamylase เอ็นไซม์ในกลุ่มนี้สามารถย่อยสถาบันอะไมโลส และอะไมโลเพคตินในลักษณะที่คล้ายคลึงกันจะได้น้ำตาลรีคิวส์ที่เป็น β -form และมีค่า mutarotation ในทางที่สูงขึ้น การย่อยสถาบันจะกระทำที่พันธะ α -1,4-glucosidic linkage จากปลายด้าน non-reducing อย่างเป็นลำดับขั้นที่ละ 2 โมเลกุล ทำให้ได้น้ำตาล maltose เมื่อการย่อยสถาบัน

พันธะค่านินไปจนกระทั่งถึงบริเวณโไมเลกุล เอ็นไซม์จะหดคปภิกิริยาและไม่สลายอีกต่อไป ผลิตภัณฑ์สุดท้ายที่ได้คือ β -maltose กับ limit dextrin ที่มีขนาดโไมเลกุลใหญ่ซึ่ง γ -amylase จะย่อยสลาย α -1,4, α -1,6 และ α -1,3-glucosidic linkage โดยสลายพันธะ α -1,6 และสลายพันธะ α -1,3 ได้ร้อยละ 3-5 และ 5-10 ของอัตราการสลายพันธะ α -1,4 ได้ ตามลำดับ รูปแบบของการคัดพันธะ จะเกิดขึ้นจากปลายด้าน non-reducing เช่นเดียวกับ β -amylase แต่จะคัดจากด้านปลายเข้าไปครึ่งละ 1 หน่วยกูลโคลส และคัดพันธะ α -1,6 อย่างช้าๆ และได้กูลโคลสอย่างสมบูรณ์ในที่สุด ผลิตภัณฑ์ส่วนใหญ่ที่ได้จะเป็น β -configuration เช่น β -D-glucose และ limit dextrin ที่มีขนาดโไมเลกุลเล็กลง

2. การแบ่งโดยอาศัยปรากฏการณ์เปลี่ยนแปลงของสับสเตรท

สามารถแบ่งได้เป็น 2 ประเภท คือ dextrinizing amylase และ saccharifying amylase โดยที่ dextrinizing amylase สามารถลดความหนืดของแป้งได้อย่างรวดเร็ว ลดสมบัติการเกิดสีน้ำเงินของอะไมโลเพคตินได้อย่างรวดเร็วจนกระทั่งสีจางหายไป และลดความชุ่มของไกลโโคเจนได้อย่างรวดเร็ว ส่วน saccharifying amylase สามารถลดความหนืดของแป้งและลดความชุ่มของไกลโโคเจนได้อย่างช้าๆ สามารถทำให้สีน้ำเงินของอะไมโลเพคติน กับไอโซดีนเปลี่ยนแปลงเป็นสีม่วงอย่างช้าๆ แต่ไม่จางหายไป

โปรตีอีส

โปรตีอีสเป็นกลุ่มเอนไซม์ที่มีคุณสมบัติในการย่อยสลายพันธะเปปไทด์ (peptide bond) ของโปรตีน จึงถูกเรียกว่าเอนไซม์ย่อยโปรตีน โดยจะย่อยโปรตีนที่มีโไมเลกุลขนาดใหญ่ให้กลาวยเป็นสารโไมเลกุลเล็กๆ ดำเนินการย่อยในโไมเลกุลของโปรตีนขึ้นกับชนิดของเอนไซม์ในกลุ่มนี้ (Reed, 1975 ; Yokotsuka, 1986; Yong and Wood, 1974)

โปรตีอีสสามารถสร้างขึ้นได้โดยจุลินทรีย์หลายชนิดทั้งราเชิสต์ และแบคทีเรีย เช่น ราในสกุล *Aspergillus* ได้แก่ *A. niger*, *A. parasiticus* และ *A. oryzae* เอ็นไซม์โปรตีอีสจากรา *A. oryzae* มีอัตราทั่วไป 3 ประเภท คือ แอซิดโปรตีอีส (acid protease) นิวทรัล (neutral protease) และอัลคาไลน์โปรตีอีส (alkaline protease)

ราสกุล *Rhizopus* เช่น *R. oryzae* และ *R. oligosporous* หรือจากเชื้อราในสกุล *Saccharomyces* เช่น *S. cerevisiae*, *S. italicus* และ *S. carlsbergensis* หรือจาก *Candida* เช่น *C. pseudotropicalis* หรือจาก *Bacillus subtilis* ที่สามารถผลิตเอนไซม์กลุ่มโปรตีอีสได้ เช่น โปรตีอีส และเปปติดีส (peptidase) เป็นต้น

โปรตีอีสได้ถูกนำมาใช้งานกันอย่างกว้างขวาง ในงานอุตสาหกรรมอาหารชนิดโดยเฉพาะอุตสาหกรรมอาหาร (ตาราง 1)

Wood (1998) รายงานว่า โปรตีโอสเตอร์อยละ 80 ที่ผลิตจากราที่ใช้ทำโคจิ จะเป็นอัลคาไลน์ โปรตีโอส์ ซึ่งทำงานได้ดีที่ช่วงค่าความเป็นกรด-เบสเท่ากับ 9-10 และที่เหลือจะเป็นส่วนของแอซิด โปรตีโอส์ (acid proteases) 3 ชนิด ทำงานได้ดีที่ค่าความเป็นกรด-เบสเท่ากับ 3 นิวทรอล โปรตีโอส์ (neutral proteases) 2 ชนิด ทำงานได้ดีที่ช่วงค่าความเป็นกรด-เบสเท่ากับ 6-7 และ เชมิอัลคาไลน์ โปรตีโอส์ (semi-alkaline protease) อีกหนึ่งชนิด

ตาราง 1 การใช้งานเอนไซม์ โปรตีโอส์

เอนไซม์	อุตสาหกรรม	การประยุกต์ใช้
โปรตีโอส	ขนมนอบและเย็น เบียร์ ผลิตภัณฑ์นม อาหารสัตว์ เครื่องหนัง	ปรับปรุงเนื้อสัมผัสของเบิงหมัก Chillproofing ผลิตโปรตีนสกัด ทำให้นมระเหยมีค่าคงตัว
	ผลิตภัณฑ์เนื้อสัค้ว	Pig starter rations
	เกลเชอร์รี่	การบ่มไข่นม การเตรียมโปรตีนจากปลาชนิดเข้มข้น
	การสกัดโปรตีน	Digestive aids
		การเตรียมโปรตีนเข้มข้น

ที่มา: สาโรจน์ และประวิทย์ (2538)

อนุภาคสีขาว

อนุภาคสีขาว หรืออุดขาว หรืออาจมีชื่อเรียกแบบอื่น คือ ลักษณะปรากฏนิคหนึ่งที่อาจพบได้ในผลิตภัณฑ์เต้าเจี้ยว ในปริมาณที่มากหรือน้อยแตกต่างกัน อนุภาคเหล่านี้ถ้ามีจำนวนมาก จะทำให้สังเกตเห็นได้ง่าย ซึ่งผู้บริโภคส่วนใหญ่พิจารณาว่าเป็นด้านนิหรือเชื้อรา ที่ทำให้เต้าเจี้ยวไม่เหมาะสมกับการบริโภค สาเหตุหลักของการเกิดอนุภาคสีขาวในเต้าเจี้ยว คือ การรวมตัวกันของผลึกไทโรซีน (tyrosine crystal) ที่เกิดจากการย่อยสลายโปรตีนด้วย โปรตีโอส์ ที่ถูกผลิตขึ้นในขั้นตอนการหมักโคจิ (koji fermentation) (Flegel et al., 1981 และ Bhumiratana et al., 1988) โดยเชื้อราในสกุล *Aspergillus*. *Oryzae*, *A. flavus*; *A. sojae* (Oyashiki et al, 1989) ดังนั้นเมื่อกิจกรรม โปรตีโอสมีค่าสูงประกอบกับกรดอะมิโนไทด์ในไทโรซีนมีความสามารถในการละลายน้ำได้ดี จึงทำให้เกิดการตกผลึกไทโรซีนในเต้าเจี้ยวได้ง่ายขึ้น และบังมีการพับผลึกสีขาวดังกล่าวในน้ำปลาอีกด้วย (Gilberg , 1984)

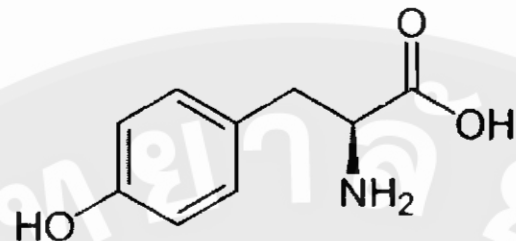
บุทธนาและจารุณี (2541) รายงานว่า พนผลีกรูปเข็มขาว และพนผลีกรูปเข็มอ้วนในเด้าเจี้ยว และผลจากการทดสอบ ทำให้สันนิษฐานได้ว่า พนผลีกทั้งสองชนิด คือพนผลีไทโรซีน

สาเหตุที่ไทโรซีนคงพนลีกเนื่องจากกรรมที่สูงของเอนไซม์โปรตีอสร่วมกับการที่ไทโรซีนไม่ละลายน้ำจึงตกพนลีกออกมา นอกจากนี้ยังมีข้อมูลว่า การที่ตกพนลีกอาจเนื่องมาจากกระบวนการทำเด้าเจี้ยวที่มีลักษณะขั้นและการเตรียมวัตถุดินที่มีการนึ่งถั่วเหลืองที่ใช้วลามานาและความร้อนสูงเกินไป จนเมล็ดถั่วเหลืองมีลักษณะและ นอกจากนี้ยังมีรายงานว่า การหมักน้ำปลา และเคนบักนัด กระบวนการหมักที่เกิดขึ้นอย่างรวดเร็ว (rapid process) จะเกี่ยวข้องกับการใช้ โปรตีอสจากแหล่งต่างๆ เช่น พืช สัตว์ และจุลินทรีย์ ทำให้เกิดการเร่ง การไอโตรไลซีสโปรตีน และนำไปสู่ความเข้มข้นสูงๆ ของกรดอะมิโนอิสระ (free amino acid) รูปแบบใหม่ (newly form) ในน้ำปลา เช่นเดียวกับรายงานของ Gilberg et al (1984) รายงานว่า พนลีกสีขาวนี้เป็นไทโรซีน

กิจกรรมที่สูงของ โปรตีอสร่วมกับการที่ไทโรซีนไม่ละลายน้ำจึงตกพนลีกออกมา นอกจากนี้ยังมีรายงานว่า อาจเนื่องมาจากกระบวนการทำเด้าเจี้ยวที่มีลักษณะขั้นและการเตรียมวัตถุดินที่มีการนึ่งถั่วเหลืองที่ใช้วลามานาและความร้อนสูงเกินไป จนเมล็ดถั่วเหลืองมีลักษณะและ นอกจากนี้ยังมีรายงานว่า การหมักน้ำปลา และเ肯บักนัด (Thongthai et al., 1973) กระบวนการหมักที่เกิดขึ้นอย่างรวดเร็ว (rapid process) จะเกี่ยวข้องกับการใช้ โปรตีอสจากแหล่งต่างๆ เช่น พืช สัตว์ และจุลินทรีย์ ทำให้เกิดการเร่ง การไอโตรไลซีสโปรตีน และนำไปสู่ความเข้มข้นสูงๆ ของกรดอะมิโนอิสระ (free amino acid) รูปแบบใหม่ (newly form) ในน้ำปลา เช่นเดียวกับรายงานของ (Gilberg et al., 1984) รายงานว่า พนลีกสีขาวนี้เป็นไทโรซีน

ไทโรซีน (Tyrosine)

ไทโรซีนเป็นกรดอะมิโน (amino acid) ที่มีขั้วแต่ไม่มีประจุ (polar, uncharged) เป็นกรดอะมิโนที่ชอบน้ำ (hydrophilic) เพราะ หมู่ R มี หมู่ไฮดรอกซิล (hydroxyl group ,OH) สามารถสร้างพันธะไอ์โตรเจน กับน้ำได้ดี สามารถดูดกลืนแสงในช่วงคลื่นอัลตราไวโอเลตและไหแสง พลูออร์เรสเซนด์ได้ในช่วง 250-350 nm จะมีความว่องไวในปฏิกิริยาเคมีมาก เพราะมีหมู่ไฮดรอกซิลที่หมุนข้าง ซึ่งหมู่ไฮดรอกซิลจะทำให้หมุนแหวนเกิดปฏิกิริยาการแทนที่ได้ดี สารกลุ่มนิวคลีโอไฟล์ เช่น สารกลุ่มใบเครดิชิงหรือกลุ่มของไอโอดีด จะทำปฏิกิริยากับไทโรซีนแล้วเกิดเป็นไนโตรไทโรซีนที่ตัวแทนง 3,5 ทำให้คุณสมบัติการเป็นกรด-เบส ของวงแหวนเปลี่ยนไป โดยมีความเป็นกรดมากขึ้น และยังเกิดพันธะไอ์โตรเจนได้จากหมู่ไฮดรอกซิล



ภาพ 3 โครงสร้างทางเคมีของไทโรซีน

ที่มา: Tyrosine_sulfation , 2001

ไทโรซีน เป็นกรดอะมิโนที่มีหมู่ฟีนอล ซึ่งเป็นสารตั้งต้นในปฏิกิริยาการเกิดสีน้ำตาล ที่เกิดขึ้นกับเอนไซม์ (enzymatic browning reaction) ในแม่โภชนาการ ไทโรซีน เป็น กรดอะมิโนที่ ร่างกายสังเคราะห์ได้ จัดเป็น กรดอะมิโนที่ไม่จำเป็น (non essential amino acid) ไทโรซีน เป็น สารตั้งต้นในการผลิตสารประกลบที่สำคัญ เช่น Epinephrin และ norepinephrine ซึ่งเป็นฮอร์โมนที่ ควบคุมเมตาบólism ของการ์โนบอี้เดรทและลิปิด

บทที่ 3

วิธีดำเนินการวิจัย

วัสดุอุปกรณ์

1. วัสดุดิบ

- 1.1 ถั่วเหลืองพันธุ์ เชียงใหม่ 60
- 1.2 ข้าวเหนียวพันธุ์ กข 6
- 1.3 แป้งสาลี (ตราวัว)
- 1.4 เกลือเม็ด

2. จุลทรรศน์

A. *oryzae* M-01 คณะวิศวกรรมและอุตสาหกรรมเกษตร มหาวิทยาลัยแม่โจ้ เก็บรักษาบน PDA slant ที่อุณหภูมิประมาณ 4 องศาเซลเซียส

3. วัสดุและอุปกรณ์ที่ใช้ในเคราะห์

- 3.1 กล้องจุลทรรศน์ (Olympus CO 11, Japan)
- 3.2 กล้องจุลทรรศน์ 3 มิติ (SZ-ST Olympus, Japan)
- 3.3 อ่างน้ำควบคุมอุณหภูมิ (Polyscience 8306, U.S.A)
- 3.4 ตู้บ่มเกี้ยว (Heraeus B12, Germany)
- 3.5 ตู้อบลมร้อน (WTB Binder BD 115, Germany)
- 3.6 ตู้อบสุญญากาศ (WTB binder 78532 TUTTLINGEN/GERMANY)
- 3.7 เครื่องหมุนเหวี่ยง (Sorvall RC 5C , U.S.A)
- 3.8 เครื่องยับขบค่าอาหาร (Seward stomacher 400, England)
- 3.9 เครื่องวัดค่าสี (Juki Tri-Stimulus Colorimeter JC801, Japan)
- 3.10 เครื่องวัดค่าการดูดกลืนแสง (Bio-tek , U.S.A.)
- 3.11 เครื่องวัดความเป็นกรด-ด่าง (Metrohm 744 , Switzerland)
- 3.12 เครื่องผสม (Vortex: Genie 2™ G-560E, U.S.A)
- 3.13 เครื่องชั่งขนาด 1 กิโลกรัม (Kitchen scale, Thailand)
- 3.14 เครื่องชั่งทศนิยม 4 ตำแหน่ง (Sartorius LA 230S, Germany)

- 3.15 เครื่องชั่งทศนิยม 2 ตัวແහນ່າງ (Sartorius BP 610, Germany)
- 3.16 เทอร์โมคัปเปิล (Thermocouple: Yokogawa 2544 model, Japan)
- 3.17 ໜ້ອນື່ງຄວາມດັນໄອໝາຍີນິດໃຫ້ໄຟຟ້າ (Hirayama HV 50. Japan)
- 3.18 ໜ້ອນື່ງຄວາມດັນໄອ (All Amerieans)
- 3.19 Hand-Held refractomete (Brix 0-32%) (Atago)
- 3.20 Hand-Held refractometer (Salt 0-28%) (Atago)
- 3.21 ແຜ່ນໃຫ້ຄວາມຮັບພັກມະນະບັກວນ (Morat M22/1)
- 3.22 ຂວາດວັດປົຣນາຕໍາ 5 10 25 50 100 ແລະ 500 ມິລລິລິຕົຣ
- 3.23 ນຶກເກອຮົບນາຕໍາ 50 100 250 600 ແລະ 1000 ມິລລິລິຕົຣ
- 3.24 ກະບອກຕົວນາຕໍາ 50 100 ແລະ 500 ມິລລິລິຕົຣ
- 3.25 ພລາສັກນາຕໍາ 250 ມິລລິລິຕົຣ
- 3.26 ໄລດອດທຄລອງນາຕໍາ 16X150 ມິລລິລິຕົຣ
- 3.27 ໄນໂໂຄປີປີຕ (Micropipette) ນາຕໍາ 0.2 ,1 ແລະ 5 ມິລລິລິຕົຣ
- 3.28 ຈານເພາະເຊື້ອ (Petri dish)
- 3.29 ກະດາຍກຮອງ (Whatman No.1)

4. ອາຫາຣເດືອນເຊື້ອ

- 4.1 Agar (Union science, Thailand)
- 4.2 Yeast extract (Merck)
- 4.3 Dichloran Rose-Bengal Chloramphenicol Agar (DRBC) (Merck)
- 4.4 Peptone (Difco)
- 4.5 Plate Count Agar (Merck)

5. ສາຣເຄມີ

- 5.1 Calcium chloride (Ajax)
- 5.2 Casein from Bovine milk (Fluka)
- 5.3 Calcium carbonate (ວິທຍາສຽນ)
- 5.4 3,5-dinitrosalicylic acid (DNS) (Fluka)
- 5.5 D-Glucose (Merck)
- 5.6 Ethanol (Merck)

- 5.7 Ferrous sulphate (Merck)
- 5.8 Folin-Ciocalteu phenol reagent (Merck)
- 5.9 Glacial acetic (Lab-Scan)
- 5.10 Glycine (Ajax)
- 5.11 Hydrochloric acid (Merck)
- 5.12 Hydrindantin (Aldrich)
- 5.13 Maltose (Ajax)
- 5.14 Ninhydrin (Fluka)
- 5.15 O-phenanthroline (Fisher scientific)
- 5.16 Phenolphthalein (Ajax)
- 5.17 Potassium chloride (Ajax)
- 5.18 Potassium chromate (Fisher scientific)
- 5.19 Potassium dichromate (Fisher scientific)
- 5.20 Potassium dihydrogen phosphate (Merck)
- 5.21 Potassium hydrogenphthalate (Ajax)
- 5.22 Potassium persulphate (Ajax)
- 5.23 Potassium sodium tartrate (Ajax)
- 5.24 Silver nitrate (Merck)
- 5.25 Sodium carbonate (Merck)
- 5.26 Sodium chloride (Merck)
- 5.27 Sodium hydroxide (Merck)
- 5.28 Sodium hydrogen phosphate (Merck)
- 5.29 Sodium tartrate (Fluka)
- 5.30 Sodium acetate (Merck)
- 5.31 Starch soluble (BDH)
- 5.32 Sulfuric acid 98% (Merck)
- 5.33 Trichloroacetic acid (Merck)
- 5.34 Tyrosine (Fluka)
- 5.35 Tween 80 (Merck)

วิธีการวิจัย

ตอน 1 ปัจจัยที่เกี่ยวข้องกับการเกิดอนุภาคสีขาวในเต้าเจี้ยว

1. ปริมาณเชื้อตั้งต้นที่เหมาะสมต่อการผลิตสปอร์ของ *A. oryzae* M-01

1.1 นำรากขาวและข้าวเจ้าอย่างละ 20 กรัม ใส่ในฟลาส์ก ขนาด 250 มิลลิลิตร เดินน้ำกัดลั่นปริมาตร 6 มิลลิลิตร ลงบนข้าวแล้วคลุกผสมให้ทั่วถึง อุดคงขวดคั่วยกุสำลี นำไปปั่นจน่า เชื้อคั่วยหนานึ่งความดันไว้ ที่อุณหภูมิ 121 องศาเซลเซียส เป็นเวลา 15 นาที ทิ้งไว้ให้เย็น แล้วจึงใส่ สปอร์ซัสเพนชัน (spores suspension) ของเชื้อ *A. oryzae* M-01 ที่มี tween 80 ผสมอยู่ร้อยละ 0.1 ปริมาตร 0.5 1.0 และ 1.5 มิลลิลิตร บ่มที่อุณหภูมิ 30 องศาเซลเซียส นาน 72 ชั่วโมง แล้วนำไปอบให้แห้งในตู้อบสูญญากาศที่อุณหภูมิ 45 องศาเซลเซียส จนได้ความชื้นน้อยกว่าร้อยละ 6 บดข้าวให้มีขนาดเล็กลงด้วยเครื่องปั่นผสม (Waring blender) ที่ปราศจากเชื้อ นำผงสปอร์ที่ได้ไปวิเคราะห์

1.1.1 ปริมาณสปอร์ภายนอกล้องจุลทรรศน์

โดยการใช้ counting chamber (Neubauer)

1.1.2 ปริมาณสปอร์ที่รอดชีวิต (AOAC, 1995)

ชั้งด้วอย่าง 10 กรัม นำมาทำการเจือจางด้วยแบบอนุกรม จนได้ความเจือจางที่เหมาะสม แล้วทำการ spread plate บนอาหาร DRBC (ภาชนะ) ทำการทดสอบ 3 ชั้ง

2. กิจกรรมของราในระหว่างการหมักโโคจิ

2.1 อุณหภูมิและค่าความเป็นกรด-ด่างในโโคจิถ่วงเหลือง

นำถ่วงเหลืองนาแห่น้ำนานประมาณ 12 ชั่วโมง ขัดขูเพื่อทำให้เปลือกถ่วงเหลืองบางส่วนหลุดออกประมาณร้อยละ 40-60 ต้มให้สุก แล้วทิ้งให้สะเด็คน้ำบนตะกร้าพลาสติกถ่ายถ่วงเหลืองลงสู่ภาชนะที่เป็นโลหะ แล้วเดินแบ่งสาลีที่มีผงสปอร์ผสมอยู่ร้อยละ 0.1 (น้ำหนักน้ำหนักน้ำหนัก) ในปริมาณร้อยละ 50 (น้ำหนักน้ำหนักน้ำหนัก) ของน้ำหนักถ่วงเหลืองแห้ง คลุกส่วนผสมทั้งหมดให้เข้ากัน แล้วนำไปโรยลงบนถ่วงเหลืองสุกในภาชนะโลหะ แล้วนำไปเกลี่ยลงในตะกร้าพลาสติกชนิดโปรดร์ที่มีเส้นผ่านศูนย์กลาง 28 เซนติเมตร และมีผ้าขาวบางกรุอยู่ด้านใน ปรับความสูงของกองถ่วงเหลืองประมาณ 2.5 และ 5.0 เซนติเมตร แล้วปิดทับหน้าด้วยผ้าขาวบาง บ่มทิ้งไว้ที่อุณหภูมิห้องนาน 72 ชั่วโมง ทำการวิเคราะห์ตัวอย่างทุก ๆ 12 ชั่วโมง ดังนี้คือ

2.1.1 วัดอุณหภูมิโดยทางแผ่นโโคจิจำนวน 3 แห่ง ด้วยเทอร์โมคัปปิล

2.1.2 ค่าความเป็นกรด-เบส (AOAC, 1995)

ชั้งตัวอย่าง 10 กรัม ใส่ลงในฟลาสก์ขนาด 250 มิลลิลิตร เดินน้ำกัดล้าน 90 มิลลิลิตร ความผ่อนให้เข้ากัน ตั้งทึ้งไว้ให้ตกร่อง ก่อนนำของเหลวส่วนใหญ่ทำการวัดค่าความเป็นกรด-เบส ด้วยเครื่องวัดค่าความเป็นกรด-เบส

ทำการทดลอง 3 ชั้น

2.2 กิจกรรมเอนไซม์ในโภชนาชีวเหลือง

2.2.1 กิจกรรมอะไนเมลส์ (Nahar et al., 2008)

ชั้งตัวอย่างหนัก 5 กรัม ใส่ลงในฟลาสก์ขนาด 250 มิลลิลิตร เดิน 0.1 M acetate buffer pH 5.0 ปริมาตร 45 มิลลิลิตร ผ่อนให้เข้ากันด้วยเครื่องเบเยอร์ที่ความเร็วรอบ 120 รอบต่อนาที นาน 30 นาที นำของผ่อนทั้งหมดไปปั่นให้เขียวที่ความเร็วรอบ 12000 รอบต่อนาที ที่ อุณหภูมิ 4 องศาเซลเซียส นาน 10 นาที นำสารสกัดเอนไซม์ที่เป็นส่วนใหญ่ ปริมาตร 1 มิลลิลิตร ผ่อนกับน้ำเปล่าที่มีความเข้มข้นร้อยละ 2 ปริมาตร 2 มิลลิลิตร บ่มในอ่างน้ำที่ควบคุมอุณหภูมิที่ 40 องศาเซลเซียส นาน 10 นาที เติมสารละลายน้ำ ปริมาตร 3 มิลลิลิตร ผ่อนให้เข้ากันปิดปากหลอดแล้วนำหลอดทดลองไปต้มในน้ำเดือดนาน 15 นาที ทำให้เย็นในอ่างน้ำเย็น เดินน้ำกัดล้าน 10 มิลลิลิตร ผ่อนให้เข้ากันวัดค่าการคูคูกลีนแสงของสารละลายน้ำที่ได้ที่ความยาวช่วงคลื่น 540 นาโนเมตร เปรียบเทียบค่าคูคอกลีนแสงที่ได้กับกราฟมาตรฐานที่ใช้มอลโทสเป็นค่าอ้างอิง (ภาคผนวก ก)

2.2.2 กิจกรรมໂປຣດීເອສ (Anson, 1938 ; Folin and Ciocalteau, 1929)

ชั้งตัวอย่าง 5 กรัม ใส่ลงในฟลาสก์ขนาด 250 มิลลิลิตร เดิน 50 มิลลิโนล potassium phosphate buffer pH 7 ปริมาตร 45 มิลลิลิตร ผ่อนให้เข้ากันด้วยเครื่องเบเยอร์ที่ความเร็วรอบ 120 รอบต่อนาที นาน 30 นาที นำของผ่อนทั้งหมดไปปั่นให้เขียวที่ 12000 รอบต่อนาที ที่ อุณหภูมิ 4 องศาเซลเซียส นาน 10 นาที นำสารสกัดเอนไซม์ที่เป็นส่วนใหญ่ ปริมาตร 1 มิลลิลิตร ผ่อนกับสารละลายน้ำ casein ร้อยละ 0.65 ปริมาตร 5 มิลลิลิตร บ่มในอ่างน้ำที่ควบคุมอุณหภูมิที่ 37 องศาเซลเซียส นาน 10 นาที เดิน TCA 110 มิลลิโนล ปริมาตร 5 มิลลิลิตร ผ่อนให้เข้ากัน แล้วบ่มต่อไปที่อุณหภูมิ 37 องศาเซลเซียส นาน 30 นาที แยกของเหลวที่เป็นส่วนใหญ่ ปริมาตร 2 มิลลิลิตร ใส่สารละลายน้ำ Na_2CO_3 ปริมาตร 5 มิลลิลิตร และสารละลายน้ำ Folin ปริมาตร 1 มิลลิลิตร ผ่อนให้เข้ากันนำไปให้ความร้อนในอ่างน้ำควบคุมอุณหภูมิ 37 องศาเซลเซียส 30 นาที วัดค่าการคูคอกลีนแสงที่ 660 นาโนเมตร เปรียบเทียบค่าคูคอกลีนแสงที่ได้กับกราฟมาตรฐานที่ใช้ไทโรมีนเป็นค่าอ้างอิง (ภาคผนวก ก)

ทำการทดลอง 3 ชั้น

3. ปริมาณโภคจิถัวเหลืองต่อการเกิดอนุภาคสีขาวในกระบวนการหั่นกโน่นรูนิ

3.1 จำนวนยีสต์และราในโภนิ

เครื่องโภคจิถัวเหลืองที่ให้กิจกรรมเอนไซม์โปรดีอสสูงสุดจากการทดลองข้อ 4.1 โดยใช้อัตราส่วนโภคจิถัวเหลืองด้มสูก เท่ากับร้อยละ 100 50 และ 30 ถ่ายส่วนผสมทั้งหมดลงในถังพลาสติกขนาด 14 ลิตร เดินน้ำเกลือที่มีความเข้มข้นประมาณร้อยละ 22 (วัดค่า Hand-Held refractometer (Salt 0-28%) (Atago)) ในอัตราส่วนโภคจิถัวเหลืองด้มสูก:น้ำเกลือ เท่ากับ 1:2 กลุ่มผสมให้แผ่นโภคจุគชันน้ำเกลือพอสมควร แล้วปิดฝาถัง บ่มที่อุณหภูมิห้องนาน 8 สัปดาห์ โดยทำการคนเดือนเขียวทุกวันใน 2 สัปดาห์แรก และคนวันเว้นวันในสัปดาห์ถัดไปจนถึงอายุการหั่น สุ่มเก็บตัวอย่างเด้าเจี้ยวทุก ๆ สัปดาห์ เพื่อวิเคราะห์

3.1.1 ปริมาณยีสต์และรา (Yeast and Mold) (AOAC, 1995)

ชั้งตัวอย่าง 10 กรัม นำมาทำการเจือจากตัวอย่างแบบอนุกรม จนได้ความเจือจากที่เหมาะสม แล้วทำการ spread plate บนอาหาร DRBC (ภาคผนวก ๑)

3.1.2 ปริมาณโซเดียมคลอไรด์ (ดัดแปลงจาก Mohr, 1980)

ชั้งตัวอย่างในส่วนที่เป็นของเหลว 1 มิลลิลิตร ใส่ลงในขวดปรับปริมาตร 25 มิลลิลิตร เดินน้ำเกลือน้ำกรน 25 มิลลิลิตร ดึงทึ่งไว้ให้ติดตะกอน นำของเหลวส่วนที่สามปริมาตร 10 มิลลิลิตร เดินสารละลายน้ำ K_2CrO_4 เข้มข้นร้อยละ 5 ปริมาตร 1 มิลลิลิตร ไถเตรทกับสารละลายน้ำ $AgNO_3$ (0.1 N) จนถึงจุดบุตติ โดยสังเกตจากตะกอนสีแดงอิฐ คำนวณร้อยละของโซเดียมคลอไรด์ (ภาคผนวก ๑)

ทำการทดลอง 3 ชั้ง

3.2 จำนวนแบคทีเรียกรดแอลกอติกในโภนิและการสร้างกรดแอลกอติก

3.2.1 วิเคราะห์หาปริมาณกรดแอลกอติกด้วยวิธีการ Titration (AOAC, 1995)

ชั้งตัวอย่าง 10 กรัม ใส่ลงในพลาสติกขนาด 250 มิลลิลิตร เดินน้ำเกลือน้ำ 90 มิลลิลิตร กวนผสมให้เข้ากัน ดึงทึ่งไว้ให้ติดตะกอน นำของเหลวส่วนที่สามปริมาตร 10 มิลลิลิตร หยดสารละลายน้ำฟอกฟ้าลินประมวล 3 หยด ไถเตรทกับสารละลายน้ำ $NaOH$ ความเข้มข้น 0.1 N จนถึงจุดบุตติ โดยสังเกตจากสารละลายน้ำเปลี่ยนเป็นสีชมพู คำนวณหาปริมาณกรดในรูปของกรดแอลกอติก (ภาคผนวก ๑)

3.2.2 ปริมาณแบคทีเรียกรดแอลกอติก โดยวิธี (AOAC, 1995)

ชั้งตัวอย่าง 10 กรัม นำมาทำการเจือจากตัวอย่างแบบอนุกรม จนได้ความเจือจากที่เหมาะสม แล้วทำการ pour plate บนอาหาร GYP (ภาคผนวก ๑)

3.2.3 ค่าความเป็นกรด-เบส (AOAC, 1995)

วิธีการเช่นเดียวกับข้อ 2.1.2

ทำการทดลอง 3 ช้ำ

3.3 กิจกรรมเอนไซม์

3.3.1 กิจกรรมอะไมเดส (Nahar et al., 2008)

วิธีการเช่นเดียวกับข้อ 2.2.1

3.3.2 ปริมาณน้ำตาลรีดิวช์ โคลบิวช์ DNS (Miller, 1959)

ชั่งตัวอย่างหนัก 10 กรัม ใส่ลงในฟลาสก์ขนาด 250 มิลลิลิตร เติมน้ำกลั้น ปริมาตร 90 มิลลิลิตร ผสมให้เข้ากันด้วยเครื่องเทบ่าที่ความเร็วรอบ 120 รอบต่อนาที นาน 30 นาที นำของผสมทั้งหมดไปปั่นให้เข้ากัน 12000 รอบต่อนาที นาน 10 นาที นำของเหลวที่เป็นส่วนประกอบ 2 มิลลิลิตร ผสมกับสารละลาย DNS (ภาคผนวก ค) ปริมาตร 2 มิลลิลิตร ผสมให้เข้ากันปีกปากหลอดแล้วนำหลอดทดลองไปต้มในน้ำเดือดนาน 15 นาที ทำให้เย็นในอ่างน้ำเย็น เติมน้ำกลั้น 10 มิลลิลิตร ผสมให้เข้ากันวัดค่าการคุณลักษณะของสารละลายที่ได้ที่ความยาวช่วงคลื่น 540 นาโนเมตร

3.3.3 กิจกรรมโปรดีโซส (Anson, 1938 ; Folin and Ciocalteau, 1929)

วิธีการเช่นเดียวกับข้อ 2.2.2

3.3.4 ปริมาณกรดอะมิโนทั้งหมด โคลบิวช์ photometric ninhydrin

ชั่งตัวอย่าง 5 กรัม ใส่ลงในฟลาสก์ขนาด 250 มิลลิลิตร เติมสารละลายเอทานอลร้อยละ 50 ปริมาตร 45 มิลลิลิตร ผสมให้เข้ากันด้วยเครื่องเทบ่าที่ความเร็วรอบ 120 รอบต่อนาที นาน 20 นาที นำของผสมทั้งหมดไปปั่นให้เข้ากัน 12000 รอบต่อนาที ที่อุณหภูมิ 4 องศาเซลเซียส นาน 10 นาที นำสารสกัดที่เป็นส่วนใหญ่ ปริมาตร 1 มิลลิลิตร ผสมกับสารละลาย นินไฮดริน (ninhydrin colour reagent) (ภาคผนวก ค) ปริมาตร 1 มิลลิลิตร ในหลอดทดลองแล้วผสมให้เข้ากัน นำหลอดทดลองไปต้มในน้ำเดือดนาน 10 นาที ทิ้งให้เย็นต่อจากนั้นเติมสารละลาย stabilizing solvent (ภาคผนวก ค) ปริมาตร 5 มิลลิลิตร ลงไว้ผสมให้เข้ากัน แล้วนำไปวัดค่าการคุณลักษณะที่ 570 นาโนเมตร เปรียบเทียบค่าคุณลักษณะที่ได้กับกราฟมาตรฐานที่ใช้ไกลซินเป็นค่าอ้างอิง (ภาคผนวก ค)

ทำการทดลอง 3 ช้ำ

3.4 สีของเต้าเจี้ยว

3.4.1 ค่าสี (colorimeter: tri-stimulus colorimeter)

นำส่วนใสของตัวอย่างไปวัดค่าสีด้วยเครื่องวัดค่าสี (ภาคผนวก ข)
ทำการทดลอง 3 ชั้้า

3.5 การเกิดอนุภาคสีขาวในระหว่างการหมักโนโรมิ
จากการสังเกตการเกิดอนุภาคสีขาวในเด้าเจี้ยวในระหว่างการหมักถังหมักด้วยตา
เปล่า^๑
ทำการทดลอง 3 ชั้้า

3.6 ผลของการหมักโนโรมิระยะเวลาสั้นคือการเกิดอนุภาคสีขาว
นำเด้าเจี้ยวที่มีอายุการหมัก 4 สัปดาห์ มาดับให้เดือดนาน 30 นาที บรรจุใส่ขวดที่
ผ่านการลวกด้วยน้ำเดือดแล้วทำแห้ง เก็บรักษาที่อุณหภูมิห้อง ถุงเก็บตัวอย่างทุก ๆ 3 วัน นาน 15
วัน เพื่อทำการวิเคราะห์

3.6.1 จำนวนพื้นที่ที่พ่นอนุภาคสีขาวที่เกิดขึ้นบริเวณพื้นผิวผลิตภัณฑ์
เด้าเจี้ยว

นำตัวอย่างเด้าเจี้ยว มาสังเกตลักษณะปรากฏ วิเคราะห์จำนวนอนุภาคสีขาว
โดยไม่มีการเทตัวอย่างออก ทำการแบ่งพื้นที่ผิวขวดออกเป็นตารางเล็กๆ ขนาด (กว้างยาว) เท่ากับ
0.5x0.5 เซนติเมตร คิดเป็นพื้นที่ โดยใช้แผ่นพลาสติกใสเป็นอุปกรณ์สำหรับขีดเส้นตาราง แล้ว
นำไปหุ้มที่ผิวขวดด้านนอก นับจำนวนช่องที่มีอนุภาคสีขาวปรากฏอยู่ คำนวณหาร้อยละของ
จำนวนช่องที่ตรวจพบอนุภาคสีขาว ทำการตรวจนับ 5 ชุด และทำการทดสอบ 3 ชั้้า

3.6.2 ปริมาณแบบที่เรียกวัสดุ (AOAC, 1995)
ชั้งตัวอย่าง 10 กรัม นำมาทำการเจือจางตัวอย่างแบบอนุกรม จนได้ความ
เจือจางที่เหมาะสม แล้วทำการ pour plate บนอาหาร PCA (ภาคผนวก ง)

3.6.3 กิจกรรมโปรดีโอส (Anson, 1938 ; Folin and Ciocalteau, 1929)

วิธีการเช่นเดียวกับข้อ 2.2.2

3.6.4 ปริมาณกรดอะมิโนทั้งหมด โดยวิธี photometric ninhydrin

วิธีการเช่นเดียวกับข้อ 3.3.4

3.6.5 ค่าสี (colorimeter: tri-stimulus colorimeter)

วิธีการเช่นเดียวกับข้อ 3.4.1

3.6.6 การทดสอบทางประสาทสัมผัส แบบ Ranking for preference

ทำการทดลอง 3 ชั้้า

3.7 ผลของระยะเวลาในการผ่าเนื้อเด้าเจี้ยวต่อการเกิดอนุภาคสีขาว

นำเด้าเจี้ยวที่มีอายุการหมัก 8 สัปดาห์ มาต้มให้เดือดนาน 20 30 และ 40 นาที บรรจุใส่ขวดที่ผ่านการลวกด้วยน้ำเดือดและแห้ง สูญเสียตัวอย่างทุก ๆ 3 วัน นาน 15 วัน เพื่อวิเคราะห์

3.7.1 จำนวนพื้นที่ที่พบอนุภาคสีขาวที่เกิดขึ้นบริเวณพื้นผิวผลิตภัณฑ์เด้าเจี้ยว

วิธีการเช่นเดียวกับข้อ 3.6.1

3.7.2 ปริมาณแบบคที่เรียทั้งหมด (AOAC, 1995)

วิธีการเช่นเดียวกับข้อ 3.6.2

3.7.3 กิจกรรมโปรดีเอส (Anson, 1938 ; Folin and Ciocalteau, 1929)

วิธีการเช่นเดียวกับข้อ 2.2.2

3.7.4 ปริมาณกรดอะมิโนทั้งหมด โดยวิธี photometric ninhydrin

วิธีการเช่นเดียวกับข้อ 3.3.4

3.7.5 ค่าสี (colorimeter: tri-stimulus colorimeter)

วิธีการเช่นเดียวกับข้อ 3.4.1

3.7.6 การทดสอบทางประสาทสัมผัส แบบ Ranking for preference

วิธีการเช่นเดียวกับข้อ 3.6.6

ทำการทดลอง 3 ช้ำ

3.8 ผลของการการเจือจางเด้าเจี้ยวต่อการเกิดอนุภาคสีขาว

นำเด้าเจี้ยวที่มีอายุการหมัก 8 สัปดาห์ มาต้มให้เดือดนาน 20 30 และ 40 นาที การเจือจางเด้าเจี้ยว โดยเดินน้ำสะอาดที่ด่มสุกแล้ว 0.5 เท่าของน้ำหนักเด้าเจี้ยว บรรจุใส่ขวดที่ผ่านการลวกด้วยน้ำเดือดแล้วและแห้ง สูญเสียตัวอย่างทุก ๆ 3 วัน นาน 15 วัน เพื่อวิเคราะห์

3.8.1 จำนวนพื้นที่ที่พบอนุภาคสีขาวที่เกิดขึ้นบริเวณพื้นผิวเด้าเจี้ยว

วิธีการเช่นเดียวกับข้อ 3.6.1

3.8.2 ปริมาณแบบคที่เรียทั้งหมด (AOAC, 1995)

วิธีการเช่นเดียวกับข้อ 3.6.2

3.8.3 กิจกรรมโปรดีเอส (Anson, 1938 ; Folin and Ciocalteau, 1929)

วิธีการเช่นเดียวกับข้อ 2.2.2

3.8.4 ปริมาณกรดอะมิโนทั้งหมด โดยวิธี photometric ninhydrin

วิธีการ測นเดียวกับข้อ 3.3.4

3.8.5 ค่าสี (colorimeter: tri-stimulus colorimeter)

วิธีการ測นเดียวกับข้อ 3.4.1

3.8.6 การทดสอบทางประสาทสัมผัส แบบ Ranking for preference

วิธีการ測นเดียวกับข้อ 3.6.6

ทำการทดลอง 3 ช้ำ

3.9 ผลของสัดส่วนของแข็งและของเหลวในผลิตภัณฑ์เดียวกับด้วยการเกิดอนุภาค

สีขาว

นำตัวอย่างเดียวกับ มาสังเกตลักษณะปรากฏ วิเคราะห์จำนวนอนุภาคสีขาว และ ปริมาณของแข็งและของเหลวต่อบรรจุภัณฑ์ สังเกตลักษณะปรากฏของเนื้อเดียวกับในขวด และทำการหาสัดส่วนของของแข็งต่อของเหลว

3.9.1 โดยการเทเดียวกับผ่านกระชอน และปล่อยทิ้งไว้นานประมาณ 5 นาที นำเนื้อเดียวกับที่แยกออกได้ไปทำการซั่งพร้อมกันน้ำ ทำการทดลอง 3 ช้ำ

ทำการทดลอง 3 ช้ำ

4. อนุภาคสีขาวในผลิตภัณฑ์เดียวกับที่วางจำหน่ายในห้องคลาด

4.1 คุณลักษณะและสัดส่วนของแข็งและของเหลวของเดียวกับ

นำตัวอย่างเดียวกับที่จำหน่ายในห้องคลาดจำนวน 10 สูตร มาสังเกตลักษณะ ปรากฏ วิเคราะห์จำนวนอนุภาคสีขาว และปริมาณของแข็งและของเหลวต่อบรรจุภัณฑ์ พบว่า เดียวกับเดลลี่ห้อจะมีลักษณะปรากฏที่แตกต่างกัน 2 ประการ คือ เดียวกับที่มีเม็ดถ้วงขายตัว หัวทั้งบรรจุภัณฑ์ มีลักษณะขั้นเนื่องจากส่วนที่เป็นของเหลวมีน้อย และมีการใช้แป้งเป็นส่วนผสม มาก และอีกลักษณะคือเม็ดถ้วงขายตัวอยู่ในของเหลวที่มีปริมาณแตกต่างกัน เนื่องจากมีแป้งเป็น ส่วนประกอบน้อยกว่า นำเดียวกับที่วางจำหน่ายในห้องคลาด โดยเลือกใช้ตัวอย่างที่มีส่วนผสม แตกต่างกัน 10 สูตร เพื่อทำการวิเคราะห์

ทำการทดลอง 3 ช้ำ

4.2 จำนวนพื้นที่ที่พับอนุภาคสีขาวทั้งหมดที่เกิดขึ้นบริเวณพื้นผิวของเนื้อเด้าเจี้ยว

วิธีการ測นเดียวกัน ข้อ 3.6.1

ทำการทดลอง 3 ช้ำ

4.3 สัดส่วนของของแข็งและของเหลวของเด้าเจี้ยว

วิธีการ測นเดียวกัน ข้อ 3.9.1

ทำการทดลอง 3 ช้ำ

4.4 ชนิดปริมาณของอนุภาคสีขาว

นำผลิตภัณฑ์เด้าเจี้ยวที่วางจำหน่ายในห้องคลาคามา 10 สูตร เพื่อวิเคราะห์ชนิดและปริมาณอนุภาคสีขาวแต่ละชนิด โดยไม่มีการเทตัวอย่างออก การแบ่งพื้นที่ผิวขาวแก้วเพื่อคำนวณปริมาณของอนุภาคสีขาว ทำวิธีการ測นเดียวกัน ข้อ 3.6.1

ทำการทดลอง 3 ช้ำ

5. การระบุชนิดของอนุภาคสีขาว

5.1 โครงสร้างทางกายของอนุภาคสีขาว

เด้าเจี้ยวออกจากขวด แล้วทำการแยกอนุภาคสีขาวออกโดยการใช้พายโลหะและปากคีบ รวบรวมจำนวนจุดขาวที่ได้ ส่องด้วยกล้องจุลทรรศน์ กล้องจุลทรรศน์ชนิด 3 มิติ และกล้องจุลทรรศน์อิเล็กตรอนแบบส่องกราด (scanning electron microscope: SEM) เพื่อศึกษาส่วนประกอบของอนุภาคสีขาว ทำการสังเกตอนุภาคสีขาวเพื่อกำจัดเกลือและสิ่งปนเปื้อนต่างๆ ปล่อยให้แห้ง แล้วนำมาส่องด้วยกล้องจุลทรรศน์ชนิด 3 มิติ และกล้องจุลทรรศน์ แล้วจึงนำทดสอบคุณสมบัติทางเคมี ดังต่อไปนี้คือ

ทำการทดลอง 3 ช้ำ

5.2 การทดสอบแป้งในอนุภาคสีขาว

ทำการหยดสารละลายน้ำมัน (ภาคผนวก ค) จำนวน 1-2 หยด ลงบนด้าวอย่างอนุภาคสีขาวที่ทำความสะอาดแล้ว ปล่อยทิ้งไว้สักพักหนึ่ง ถังเกดปฏิกริยาการเกิดเป็นสีม่วงหรือสีม่วงน้ำเงิน ทำการทดลองกับอนุภาคสีขาวที่มีลักษณะแตกต่างกัน 3 ประเภท

ทำการทดลอง 3 ช้ำ

5.3 การทดสอบการละลายในสารละลายกรดไฮโดรคลอริก (ดัดแปลงจาก Flegel, 1981)

ชั้งอนุภาคสีขาวน้ำหนักประมาณ 0.5 กรัม ใส่ลงในบิกเกอร์ขนาด 10 มิลลิลิตร แล้วเติมสารละลายกรดไฮโดรคลอริก เข้มข้น 1 นอร์มัล (1N HCl) แล้วนำไปกวนผสมด้วยเครื่อง กวนผสม นานไม่น้อยกว่า 15 นาที

ทำการทดลอง 3 ช้ำ

5.4 ทดสอบการวัดค่าคุณภาพลีนแสลงส่องกระจก

ชั้งอนุภาคสีขาวน้ำหนักประมาณ 0.5 กรัม ใส่ลงในบิกเกอร์ขนาด 10 มิลลิลิตร แล้วเติมสารละลายกรดไฮโดรคลอริก เข้มข้น 1 นอร์มัล (1N HCl) แล้วนำไปกวนผสมด้วยเครื่อง กวนผสม นานไม่น้อยกว่า 15 นาที นำไปกรองบนกระดาษกรอง นำส่วนที่ใสไปวัดหาค่าการ คุณภาพลีนแสลง

ทำการทดลอง 3 ช้ำ

ตอนที่ 2 การผลิตเต้าเจี้ยวสารเดิมน้อย

1. การเตรียมโภจข้าวเหนียว

1.1 ระยะเวลาในการนึ่งข้าวเหนียวที่มีผลต่อสมบัติโภจ

ชั้งข้าวเหนียวหนัก 500 กรัม แข่น้ำประมาณ 12 ชั่วโมง แล้วนำไปนึ่งให้สุกนาน 20 30 40 และ 50 นาที สังข้าวเหนียวและทิ้งให้สะเด็ดน้ำ 5 นาที ร่อนข้าวเหนียวมีอุณหภูมิ ลดลง แล้วจึงเติมแป้งข้าวเจ้า ปริมาณร้อยละ 3 (น้ำหนักต่อน้ำหนัก) ของน้ำหนักข้าวเหนียวแห้ง ซึ่ง ในแป้งมีพองสปอร์ของรา *A. oryzae* M-01 ผสมอยู่ร้อยละ 0.1 (น้ำหนักต่อน้ำหนัก) ถ่ายข้าวเหนียวลง ในตะกร้าพลาสติกชนิดโปร่งที่มีเส้นผ่าศูนย์กลาง 28 เซนติเมตร และมีผ้าขาวบางกรุญญ่าด้านใน โดยปรับให้กองข้าวเหนียวมีความสูงประมาณ 3 เซนติเมตร และปิดคลุมผ้าหน้าด้วยผ้าขาวบาง บ่ม ที่อุณหภูมิห้องเป็นเวลา 72 ชั่วโมง ทำการวิเคราะห์ตัวอย่างทุก ๆ 12 ชั่วโมง ดังนี้คือ

1.1.1 วัดอุณหภูมิของโภจจำนวน 3 แห่ง ด้วยเทอร์โมคัปเปิล

วิธีการเช่นเดียวกับตอนที่ 1 ข้อ 2.1.1

1.1.2 คำความเป็นกรด-เบส (AOAC, 1995)

วิธีการเช่นเดียวกับตอนที่ 1 ข้อ 2.1.2

1.1.3 ปริมาณน้ำตาลรีดิวช์ โคลบิช DNS (Miller, 1959)

วิธีการเช่นเดียวกับตอนที่ 1 ข้อ 3.3.2

1.1.4 กิจกรรมอะไนเลส (Nahar et al., 2008)

วิธีการเช่นเดียวกับตอนที่ 1 ข้อ 2.2.1

1.1.5 กิจกรรมโปรดตีอส (Anson, 1938 ; Folin and Ciocalteau, 1929)

วิธีการเช่นเดียวกับตอนที่ 1 ข้อ 2.2.2

ทำการทดลอง 3 ช้ำ

1.2 ความหนาของข้าวเหนียวที่มีผลต่อสมบัติโภช

ชั้งข้าวเหนียวหนัก 800 1100 และ 1400 กรัม แข่น้ำประมาณ 12 ชั่วโมง แล้วนำไปปั่นใน ตามเวลาที่เหมาะสมในข้อ 2.1 ถังข้าวเหนียวและทึ่งให้สะเด็ดน้ำ 5 นาที รожนข้าว เนื้อข้าวมีอุณหภูมิลดลง แล้วจึงเติมน้ำเปล่า ปริมาณร้อยละ 3 (น้ำหนักต่อน้ำหนัก) ของน้ำหนัก ข้าวเหนียวแห้ง ซึ่งในแป้งมีผงสปอร์ของรา *A. oryzae* M-01 ผสมอยู่ร้อยละ 0.1 (น้ำหนักต่อน้ำหนัก) ถ่ายข้าวเหนียวลงในตะกร้าพลาสติกขนาด โปร่งที่มีเส้นผ่าศูนย์กลาง 28 เซนติเมตร และมี ผ้าขาวบางกรุยผู้ด้านใน โดยปรับให้ชั้นข้าวเหนียวมีความหนาประมาณ 5 7 และ 9 เซนติเมตร และ ปิดคลุมผิวน้ำด้วยผ้าขาวบาง บ่มท่ออุณหภูมิห้องเป็นเวลา 72 ชั่วโมง ทำการวิเคราะห์ตัวอย่างทุกๆ 12 ชั่วโมง ดังนี้คือ

1.2.1 วัดอุณหภูมิของโภชจำนวน 3 แห่ง ด้วยเทอร์โมคัปเปิล

วิธีการเช่นเดียวกับตอนที่ 1 ข้อ 2.1.1

1.2.2 ค่าความเป็นกรด-เบส (AOAC, 1995)

วิธีการเช่นเดียวกับตอนที่ 1 ข้อ 2.1.2

1.2.3 ปริมาณน้ำตาลเร็ววิช โดยวิธี DNS (Miller, 1959)

วิธีการเช่นเดียวกับตอนที่ 1 ข้อ 3.3.2

1.2.4 กิจกรรมอะไนเลส (Nahar et al., 2008)

วิธีการเช่นเดียวกับตอนที่ 1 ข้อ 2.2.1

1.2.5 กิจกรรมโปรดตีอส (Anson, 1938 ; Folin and Ciocalteau, 1929)

วิธีการเช่นเดียวกับตอนที่ 1 ข้อ 2.2.2

ทำการทดลอง 3 ช้ำ

2. การหมักโนรมิ

2.1 ปริมาณโภจที่เหมาะสมต่อการหมักโนรมิ

ชั้งโภจข้าวเหนียวที่ให้ผลลัพธ์ที่ดีที่สุดจากข้อ 2 ผสมกับถั่วเหลืองดิบสุกใน ปริมาณร้อยละ 30 40 และ 50 (น้ำหนักต่อน้ำหนัก) ในถังพลาสติกขนาด 14 ลิตร เติมน้ำเกลือที่มี

ความเข้มข้นร้อยละ 18 (วัดค่า Hand-Held refractometer (Salt 0-28%) (Atago)) ในอัตราส่วน โภช และถั่วเหลืองค่อน้ำเกลือ เท่ากับ 2 ต่อ 1 คลุกให้ผสมให้เข้ากัน แล้วปิดฝาถังด้งไว้ที่อุณหภูมิห้องงาน 12 สัปดาห์ โดยทำการคนเต้าเจียวทุกวันใน 2 สัปดาห์แรก และคนวันเวนวันในสัปดาห์ถัดไปจนสิ้นอายุการหมัก สรุมเก็บด้วยย่างเต้าเจียวทุกๆ สัปดาห์เพื่อทำการวิเคราะห์

2.1.1 ค่าความเป็นกรด-เบส (AOAC, 1995)

วิธีการเช่นเดียวกับตอนที่ 1 ข้อ 2.1.2

2.1.2 ปริมาณโซเดียมคลอไรด์ (ดัดแปลงจาก Mohr, 1980)

วิธีการเช่นเดียวกับตอนที่ 1 ข้อ 3.2.1

2.1.3 วิเคราะห์หาปริมาณกรดแอลกออลด้วยวิธีการ Titration (AOAC, 1995)

วิธีการเช่นเดียวกับตอนที่ 1 ข้อ 3.2.1

2.1.4 ปริมาณน้ำตาลรีดิวซ์โดยวิธี DNS (Miller, 1959)

วิธีการเช่นเดียวกับตอนที่ 1 ข้อ 3.3.2

2.1.5 กิจกรรมอะไมಡ์ (Nahar et al., 2008)

วิธีการเช่นเดียวกับตอนที่ 1 ข้อ 2.2.1

2.1.6 กิจกรรมโปรดีเอส (Anson, 1938 ; Folin and Ciocalteau, 1929)

วิธีการเช่นเดียวกับตอนที่ 1 ข้อ 2.2.2

2.1.7 ปริมาณกรดอะมิโนทั้งหมด (โดยวิธี photometric ninhydrin)

วิธีการเช่นเดียวกับตอนที่ 1 ข้อ 3.3.4

2.1.8 ปริมาณอัลกออล (Amerine and Ough, 1974; AOAC, 1990)

นำด้วยย่างปริมาตร 1 มิลลิลิตร ปรับปริมาตรให้เป็น 100 มิลลิลิตร ด้วยน้ำกลั่นในขวดปรับปริมาตร ถ่ายด้วยด้วย 100 มิลลิลิตร ใส่ลงในขวดแก้วก้นกลมของชุดกลั่น เติมสารละลายน้ำมันไดโอดิเมต (ภาคผนวก ค) ปริมาตร 25 มิลลิลิตร แล้วทำการกลั่นที่อุณหภูมิ 80-85 องศาเซลเซียส เก็บของเหลวที่กลั่นได้ใหม่ปริมาตร 40 มิลลิลิตร ใน flask ขนาด 125 มิลลิลิตร ปิดปากฟลาสก์ด้วยขุกยาง แล้วนำไปวางไว้ในอ่างน้ำควบคุมอุณหภูมิที่อุณหภูมิ 60 องศาเซลเซียส นาน 20 นาที นำด้วยย่างมาใส่สารละลายน้ำ 1,10-菲แนนโกรลีนเฟอร์สชัลเฟต (ภาคผนวก ค) 1 มิลลิลิตร ໄไตเรตที่ด้วยสารละลายน้ำ 1,10-菲แนนโกรลีนเฟอร์สชัลเฟต (ภาคผนวก ค) จนถึงจุดครื้น โดยสังเกตจากสารละลายน้ำเปลี่ยนเป็นสีเขียว แล้วหยดสารละลายน้ำ 1,10-菲แนนโกรลีนเฟอร์สชัลเฟตอีก 3 หยด ໄไตเรตท่อจนถึงจุดครื้นโดยสังเกตจากสารละลายน้ำเปลี่ยนจากสีเขียว เป็นสีน้ำตาลม่วง แล้วคำนวณปริมาณอัลกออล

2.1.9 ปริมาณยีสต์และรา (Yeast and Mold) (AOAC, 1995)

วิธีการเช่นเดียวกับตอนที่ 1 ข้อ 3.1.1

2.1.10 ปริมาณแบนค์ทีเรียกรดแลคติกโคลบวิช (AOAC, 1995)

วิธีการเช่นเดียวกับตอนที่ 1 ข้อ 3.2.2

2.1.11 ค่าสี (colorimeter : tri-stimulus colorimeter)

วิธีการเช่นเดียวกับตอนที่ 1 ข้อ 3.4.1

2.1.12 การทดสอบทางประสาทสัมผัสแบบ Ranking for preference

วิธีการเช่นเดียวกับตอนที่ 1 ข้อ 3.6.6

ทำการทดลอง 3 ช้ำ

2.2 ความเข้มข้นน้ำเกลือที่เหมาะสมต่อการหมักโนรอมิ

เตรียมโภชนาหารที่ให้ผลลัพธ์ที่ดีที่สุดจากข้อ 2 มาผสมกับถั่วเหลืองต้มสุก ใน อัตราส่วนที่ให้ผลลัพธ์ที่ดีที่สุดจากข้อ 3.1 ในถังพลาสติกขนาด 14 ลิตร เติมน้ำเกลือที่มีความ เข้มข้นร้อยละ 10 13 และ 16 (วัดค่า Hand-Held refractometer (Salt 0-28%) (Atago)) ในอัตราส่วน โภชนาหารที่ห้องน้ำ 12 สัปดาห์ โคลbatch การคนเต้าเจียวทุกวันใน 2 สัปดาห์แรก และคนวันเว้นวันใน สัปดาห์ถัดไปจนสิ้นอายุการหมัก สูงเกินด้วยย่างเต้าเจียวทุก ๆ สัปดาห์ เพื่อวิเคราะห์

2.2.1 ค่าความเป็นกรด-เบส (AOAC, 1995)

วิธีการเช่นเดียวกับตอนที่ 1 ข้อ 2.1.2

2.2.2 ปริมาณโซเดียมคลอไรด์ (ดัดแปลงจาก Mohr, 1980)

วิธีการเช่นเดียวกับตอนที่ 1 ข้อ 3.1.2

2.2.3 วิเคราะห์หาปริมาณกรดแลคติกด้วยวิธีการ Titration (AOAC, 1995)

วิธีการเช่นเดียวกับตอนที่ 1 ข้อ 3.2.1

2.2.4 ปริมาณน้ำตาลรีดิวซ์โดยวิธี DNS (Miller, 1959)

วิธีการเช่นเดียวกับตอนที่ 1 ข้อ 3.3.2

2.2.5 กิจกรรมอะไนเดส (Nahar et al., 2008)

วิธีการเช่นเดียวกับตอนที่ 1 ข้อ 2.2.1

2.2.6 กิจกรรมโปรดีเอส (Anson, 1938 ; Folin and Ciocalteau, 1929)

วิธีการเช่นเดียวกับตอนที่ 1 ข้อ 2.2.2

2.2.7 ปริมาณกรดอะมิโนทั้งหมด (โดยวิธี photometric ninhydrin)

วิธีการ เช่นเดียวกับตอนที่ 1 ข้อ 3.3.4

2.2.8 ปริมาณอัลกอฮอล์ (Amerine and Ough, 1974; AOAC, 1990)

วิธีการ เช่นเดียวกับข้อ 2.1.8

2.2.9 ปริมาณเบียสต์และรา (Yeast and Mold) (AOAC, 1995)

วิธีการ เช่นเดียวกับตอนที่ 1 ข้อ 3.1.1

2.2.10 ปริมาณแบคทีเรียกรดแลคติก โอดิวิช (AOAC, 1995)

วิธีการ เช่นเดียวกับตอนที่ 1 ข้อ 3.2.2

2.2.11 ค่าสี (colorimeter: tri-stimulus colorimeter)

วิธีการ เช่นเดียวกับตอนที่ 1 ข้อ 3.4.1

2.2.12 การทดสอบทางประสาทสัมผัสแบบ Ranking for preference

วิธีการ เช่นเดียวกับตอนที่ 1 ข้อ 3.6.6

ทำการทดลอง 3 ช้ำ

2.3 ผลของการเก็บรักษาผลิตภัณฑ์เต้าเจี้ยว

นำเต้าเจี้ยวที่มีกรอบอายุการหมัก 12 สัปดาห์ มาต้มให้เดือดนาน 30 นาที บรรจุใส่ขวดแก้ว เก็บรักษาที่อุณหภูมิห้อง และทำการสุ่มเก็บตัวอย่างทุก ๆ 2 สัปดาห์ นาน 6 สัปดาห์ เพื่อทำการวิเคราะห์

2.3.1 ปริมาณแบคทีเรียทั้งหมด (AOAC, 1995)

วิธีการ เช่นเดียวกับตอนที่ 1 ข้อ 3.6.2

2.3.2 ค่าสี (colorimeter: tri-stimulus colorimeter)

วิธีการ เช่นเดียวกับตอนที่ 1 ข้อ 3.4.1

2.3.4 การทดสอบทางประสาทสัมผัส แบบ Ranking for preference

วิธีการ เช่นเดียวกับตอนที่ 1 ข้อ 3.6.6

ทำการทดลอง 3 ช้ำ

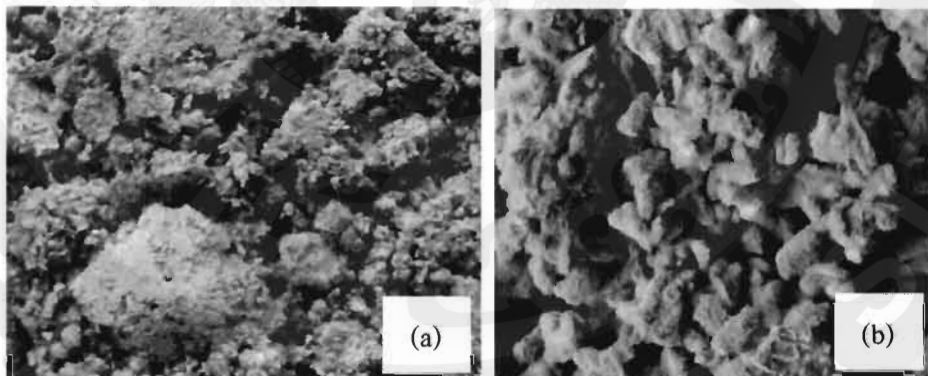
บทที่ 4

ผลการวิจัยและวิจารณ์

ตอน 1 ปัจจัยที่เกี่ยวข้องกับการเกิดอนุภาคสีขาวในเตาเจียว

1. ปริมาณเชื้อตั้งต้นที่เหมาะสมต่อการผลิตสปอร์ของ *A. oryzae* M-01

การเติมสปอร์ซัสเพนชันของรา *A. oryzae* M-01 ปริมาณ 0.5 ล. และ 1.5 มิลลิลิตร ลงบนรำข้าวเจ้าและข้าวเจ้า พบร้า ทั้งรำข้าวและข้าวเจ้ามีความชื้นสูง เมื่อปล่อยทิ้งไว้นาน 12 ชั่วโมง จะสังเกตเห็นการสร้างเส้นใยของราบนผิวของสับสเตตรท (substrates) ได้ด้วยตาเปล่า เส้นใยจะแผ่กระจายเพิ่มขึ้น และราเริ่มนิการสร้างสปอร์สีเขียวอ่อนอมเหลืองเป็นบางบริเวณ ภายในระยะเวลา 24 ชั่วโมง (ภาพ 4) ในช่วงระยะเวลาดังกล่าว แผ่นโคลิจจะมีลักษณะแห้งลงและมีความแข็งเพิ่มขึ้น เรื่อยๆ เนื่องจากรำข้าวเจ้าและข้าวเจ้าสูญเสียความชื้นออกสู่บรรยากาศอย่างต่อเนื่อง ซึ่งสอดคล้องกับรายงานของ Wood (1998) ที่กล่าวว่า เชื้อราต้องการความชื้นในปริมาณที่ค่อนข้างสูงในช่วงแรกของการหมัก โคลิจถ้าเหลือง แต่หลังจากที่ราเริ่มสร้างสปอร์แล้ว ภายในระยะเวลาประมาณ 2-3 วัน ความชื้นของโคลิจจะมีค่าลดต่ำลง



ภาพ 4 การผลิตสปอร์ของรา *A. oryzae* M-01 บนสับสเตตรท 2 ชนิด เมื่อหมักโคลิจนาน 72 ชั่วโมง:
รำข้าวเจ้า (a) และข้าวเจ้า (b)

เมื่อนำรำข้าวเจ้าและข้าวเจ้าที่มีสปอร์เจริญอยู่ ไปอบให้แห้งภายในได้ความดันสูญญากาศและบดให้ละเอียด พบร้ารำข้าวเจ้าทุกทรีทเม้นท์จะให้ผลสปอร์สีเขียวปนน้ำตาล (ภาพ 5) ในขณะที่ข้าวเจ้าทุกทรีทเม้นท์จะให้ผลสปอร์ที่มีสีเขียวเข้ม (ภาพ 6) สปอร์ที่ยังมีชีวิตเหลือรอคายู่บนรำข้าวเจ้ามีจำนวนเท่ากับ 9.36 9.45 และ 9.26 log cfu/g ตามลำดับ และบนข้าวเจ้ามีจำนวน

เท่ากับ 9.98 10.15 และ 9.98 log cfu/g ตามลำดับ (ตาราง 2) ปริมาณสปอร์ที่ได้จากการสัมสารทั้งสองชนิด มีค่า



(a)

(b)

(c)

ภาพ 5 ผงสปอร์ที่ได้จากการเติมสปอร์ซัพเพนชันของรา *A. oryzae* M-01 ในปริมาณที่แตกต่างกัน บนรำข้าวเจ้า: 0.5 มิลลิลิตร (a) 1.0 มิลลิลิตร (b) และ 1.5 มิลลิลิตร (c)

ใกล้เคียงกัน แต่เมื่อย่างไรก็ตามปริมาณสปอร์ซัพเพนชัน 1 มิลลิลิตร ที่เติมลงบนรำข้าวเจ้า จะให้จำนวนสปอร์ที่เหลือรอดชีวิตสูงที่สุด จึงมีความเหมาะสมในการนำไปผลิตสปอร์ เพื่อการทดลองในขั้นตอนต่อไป



(a)

(b)

(c)

ภาพ 6 ผงสปอร์ที่ได้จากการเติมสปอร์ซัพเพนชันของรา *A. oryzae* M-01 ในปริมาณที่แตกต่างกัน บนรำข้าวเจ้า: 0.5 มิลลิลิตร (a) 1.0 มิลลิลิตร (b) และ 1.5 มิลลิลิตร (c)

ตาราง 2 จำนวนสปอร์ของรา *A. oryzae* M-01 ที่เหลือรอดชีวิตบนรำข้าวเจ้าและข้าวเจ้า ภายหลัง การอบให้แห้ง เมื่อใช้ปริมาณสปอร์ซัพเพนชันแตกต่างกัน

สปอร์ซัพเพนชัน (มลลิลิตร)	จำนวนสปอร์ที่เหลือรอดชีวิต ($\log \text{cfu/g}$)	
	รำข้าวเจ้า	ข้าวเจ้า
0.5	9.36 ± 0.17	9.98 ± 0.15
1.0	9.45 ± 0.4	10.15 ± 0.07
1.5	9.26 ± 0.53	9.98 ± 0.2

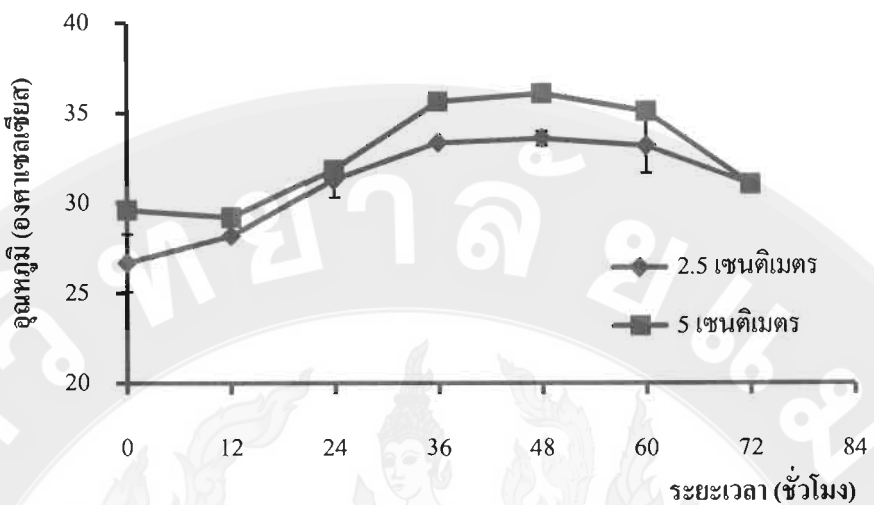
หมายเหตุ : ค่าของข้อมูลแสดงในรูปของค่าเฉลี่ย \pm ค่าเบี่ยงเบนมาตรฐาน

2. กิจกรรมของราในระหว่างการหมักโคลิ

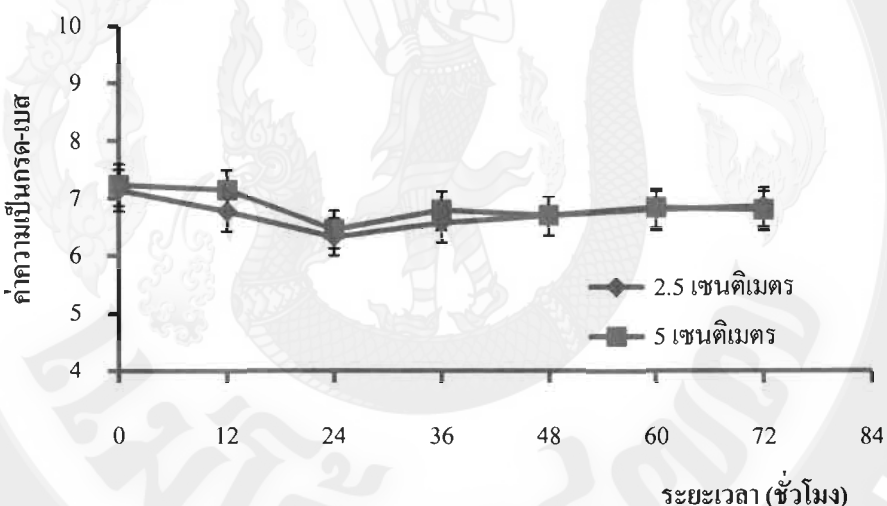
2.1 อุณหภูมิและค่าความเป็นกรด-ด่างในโคลิถัวเหลือง

จากการเตรียมโคลิถัวเหลือง โดยปรับความหนาของโคลิให้เท่ากับ 2.5 และ 5.0 เช่นเดียวกับ รามีรูปแบบการเจริญที่คล้ายคลึงกันในทุกทริพเมนท์ โดยที่สปอร์ราเริ่มออกเส้นในช่วงเดือนที่สามารถสังเกตเห็นได้ด้วยตาเปล่าภายใน 12 ชั่วโมง และดำเนินกิจกรรมการเจริญอย่างต่อเนื่อง ในช่วงที่ 24 เส้นไขของราจะมีปริมาณเพิ่มขึ้นจนเห็นเป็นปุยสีขาวปักคุณเมล็ดถัวเหลืองเป็นส่วนใหญ่ เส้นไขจะเจริญและเริ่มน้ำการสร้างสปอร์ขึ้นมา ทำให้มองเห็นเป็นหย่อมสีเหลือง กระจายตัวอยู่ในกองโคลิในช่วงที่ 36 หลังจากนี้การสร้างสปอร์ขังคงดำเนินต่อไปจนกระทั่งสิ้นสุดการหมัก ในช่วงเวลาดังกล่าว สปอร์บางส่วนเริ่มเปลี่ยนเป็นสีเขียวเหลือง และเปลี่ยนเป็นสีเขียวเข้มทั้งหมดในที่สุด ซึ่งหมายถึงรามีอายุแก่เต็มที่แล้ว การเจริญของราส่งผลให้เกิดการเปลี่ยนแปลงอุณหภูมิในระหว่างการบ่ม โคลิลดลงชั่วโมงที่ 0-72 โดยโคลิมีอุณหภูมิสูงสุดเท่ากับ 33.6 และ 36.1 องศาเซลเซียส ตามลำดับ ในช่วงที่ 48 (ภาพ 7)

การเปลี่ยนแปลงค่าความเป็นกรด-เบสของโคลิถัวเหลืองพบว่ามีการเปลี่ยนแปลงน้อยมาก โดยค่า ค่าความเป็นกรด-เบส อยู่ในช่วง 6.33-7.23 (ภาพ 8)



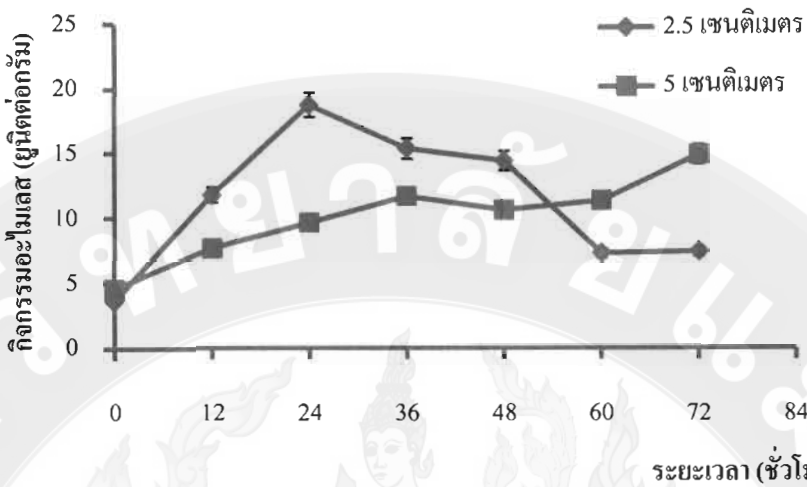
ภาพ 7 การเปลี่ยนแปลงของอุณหภูมิในระหว่างการหมักโโคจิถั่วเหลืองที่มีความหนาแตกต่างกัน



ภาพ 8 การเปลี่ยนแปลงของค่าความเป็นกรด-เบส ในระหว่างการหมักโโคจิถั่วเหลืองที่มีความหนาแตกต่างกัน

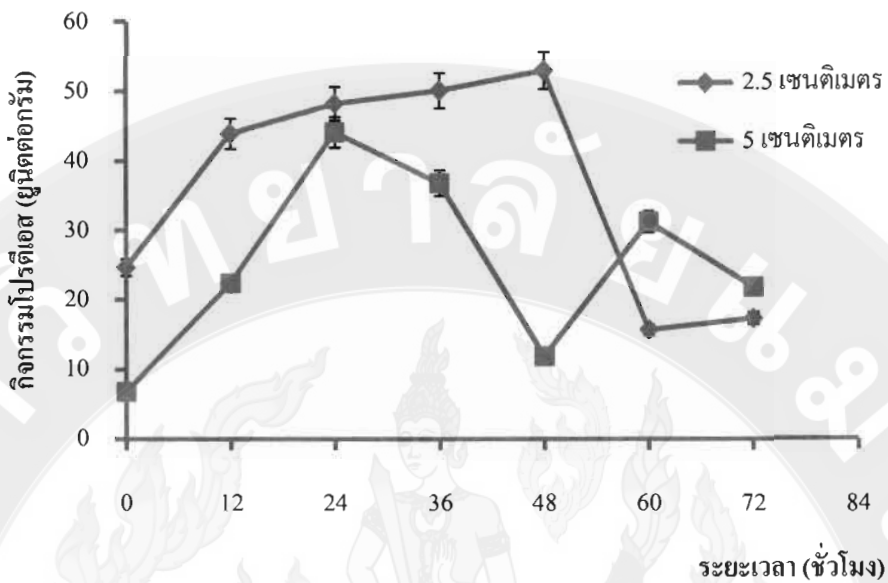
2.2 กิจกรรมเอนไซม์ในโโคจิถั่วเหลือง

ร้มีการสร้างเอนไซม์ควบคู่ไปกับการเจริญในระหว่างการหมักโโคจิ พนว่า กิจกรรมเอนไซม์ของโโคจิถั่วเหลืองมีแนวโน้มเพิ่มขึ้นในทั้ง 2 ทรีทเม้นท์ โดยโโคจิที่มีความหนา 2.5 และ 5.0 เซนติเมตร จะให้ กิจกรรมเอนไซม์สูงสุดเท่ากับ 18.74 และ 14.93 ยูนิตต่อกรัม ภายในระยะเวลา 24 และ 72 ชั่วโมง ตามลำดับ (ภาพ 9)



ภาพ 9 การเปลี่ยนแปลงของกิจกรรมอะไไมเลสในระหว่างการหมักโคจิถั่วเหลืองที่มีความหนาแตกต่างกัน

กิจกรรมโปรตีอสของโคจิมีรูปแบบการเปลี่ยนแปลงคล้ายคลึงกับกิจกรรมอะไไมเลส โดยจะมีค่าสูงสุดเท่ากับ 52.89 และ 44.09 ยูนิตต่อกรัม ในเวลา 48 และ 24 ชั่วโมง สำหรับโคจิหนา 2.5 และ 5.0 เซนติเมตร ตามลำดับ (ภาพ 10) การที่ความหนาของโคจิที่ระดับ 2.5 เซนติเมตร ให้กิจกรรมโปรตีอสสูงกว่าที่ระดับ 5.0 เซนติเมตร อาจเนื่องจากโคจิมีอุณหภูมิที่เหมาะสมต่อการผลิตโปรตีอสคือสูงไม่เกิน 35 องศาเซลเซียส ซึ่งสอดคล้องกับรายงานของ Wood (1998) ที่ระบุว่าอุณหภูมิช่วง 20-35 องศาเซลเซียส จะส่งเสริมให้รา *A. oryzae* เกิดการสร้างโปรตีอสได้ดี

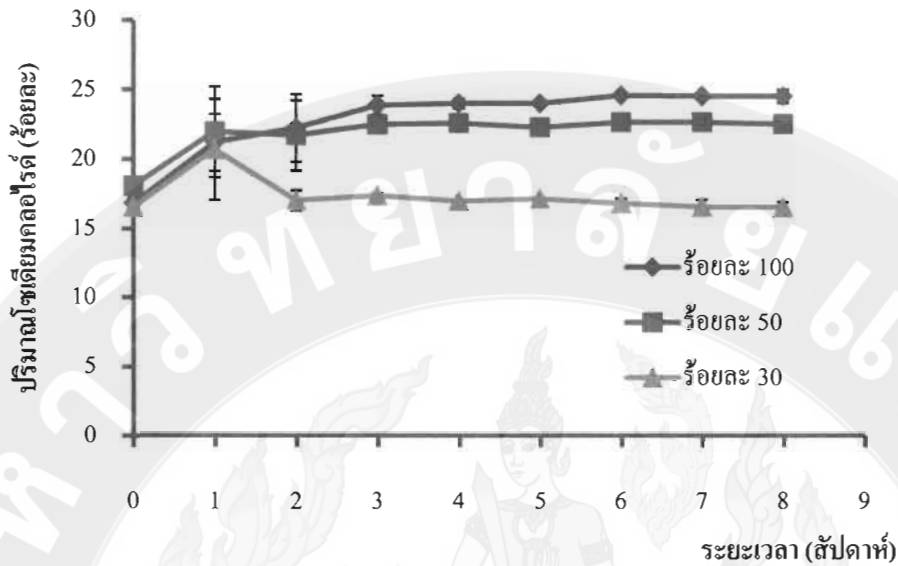


ภาพ 10 การเปลี่ยนแปลงของกิจกรรมโปรดติโอดส์ในระหว่างการหมักโดยถั่วเหลืองที่มีความหนาแตกต่างกัน

3. ปริมาณโดยถั่วเหลืองต่อการเกิดอนุภาคสีขาวในกระบวนการหมักโนโรมิ

3.1 จำนวนยีสต์และราโนโนโรมิ

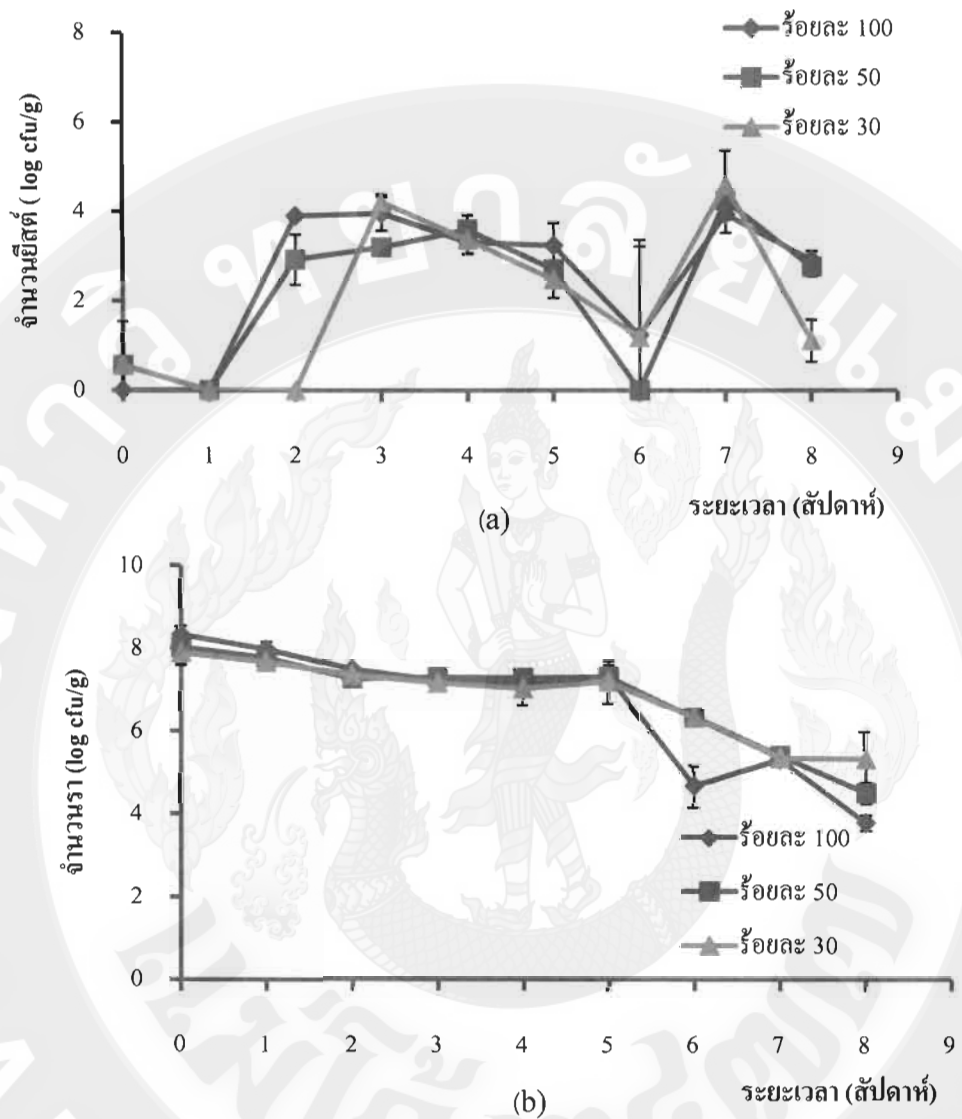
การหมักเด้าเจี้ยวโดยใช้โคจิร้อยละ 100 50 และ 30 ของน้ำหนักรวมทั้งหมด ในน้ำเกลือที่มีความเข้มข้นร้อยละ 22 บ่มที่อุณหภูมิห้องนาน 8 สัปดาห์ พบร่วมกับปริมาณโซเดียมคลอไรด์ในช่วงระยะเวลา 0-1 สัปดาห์แรก มีค่าเพิ่มขึ้นจากร้อยละ 16.85 18.09 และ 16.56 ตามลำดับ เป็นประมาณร้อยละ 21.23 21.99 และ 20.72 ตามลำดับ หลังจากนั้น โซเดียมคลอไรด์จึงมีปริมาณลดลงในสัปดาห์ที่ 2 ก่อนที่จะมีค่าเกือบคงที่จนสิ้นสุดระยะเวลาการหมัก (ภาพ 11)



ภาพ 11 การเปลี่ยนแปลงของปริมาณ โ祐เดียมคลอไรด์ในระหว่างการหมักโนโรมิที่ใช้โโคจิถัวเหลืองในปริมาณที่แตกต่างกัน

ปริมาณ โ祐เดียมคลอไรด์ที่เพิ่มขึ้นในช่วงแรก เกิดขึ้นเนื่องจากน้ำในน้ำเกลือส่วนหนึ่งถูกดูดซับโดยโโคจิที่ใช้หมัก เนื่องจากโโคจินิลักษณะที่แห้งมาก หลังจากนั้นจึงมีอัตราเร็วที่ลดลง ในขณะที่ความชื้นจากถัวเหลืองด้มสุก ได้เคลื่อนเข้าสู่น้ำเกลือเข้มข้นเพิ่มขึ้นเรื่อยๆ และทำให้น้ำเกลือกลับมีความเข้มข้นของ โ祐เดียมคลอไรด์ลดลง จนเกือบคงที่ซึ่งหมายถึงเกิดสภาพะสมดุลซึ่

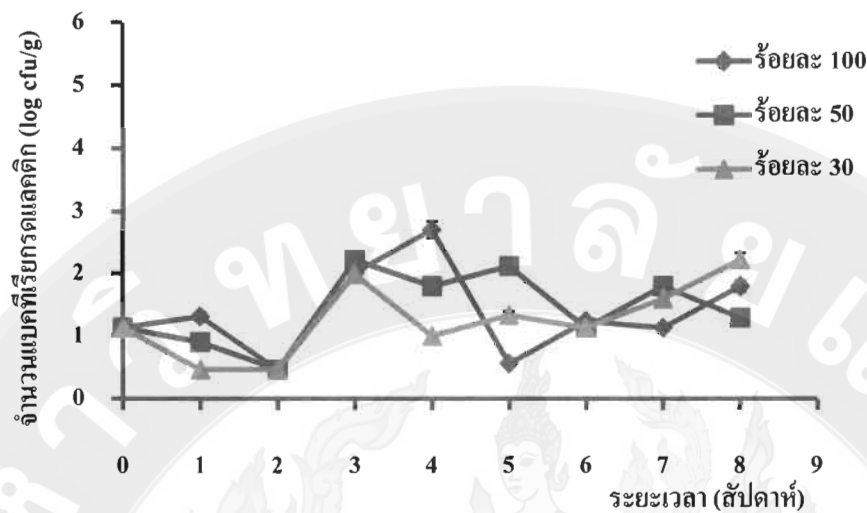
จากการวิเคราะห์จำนวนยีสต์และราในโนโรมิ พบร่วมกันว่า ยีสต์ในช่วงสัปดาห์แรกมีค่าต่ำมาก เนื่องจากค่าความเป็นกรด-ด่างของโนโรมิยังคงมีค่าเกินกว่า 5.0 ซึ่งไม่เหมาะสมต่อการเริญ หลังจากนั้นจำนวนยีสต์กลับมีค่าสูงขึ้นประมาณ 3.94 4.23 และ 4.58 log CFU/g ตามลำดับ เนื่องจากเป็นยีสต์ที่ทนต่อความเข้มข้นสูงๆ ได้สำหรับรา พบร่วมกันว่า ราสูงสุดอยู่ที่ระดับ 8.32 8.02 และ 7.88 log CFU/g ตามลำดับ (ภาพ 12) ซึ่งกับปริมาณโโคจิที่ใช้ รามีจำนวนลดลงตามลำดับ เนื่องจากสปอร์ราจำนวนมากไม่สามารถทนความเข้มข้นของน้ำเกลือที่สูงได้ วิเชียร (2526) กล่าวว่า ราอาจอยู่รอดได้ในระหว่างกระบวนการหมักซึ่งนานประมาณ 1-2 เดือน



ภาพ 12 การเปลี่ยนแปลงของจำนวนบีสต์ (a) และรา (b) ในระหว่างการหมักโน้มิที่ใช้โคจิถั่วเหลืองในปริมาณที่แตกต่างกัน

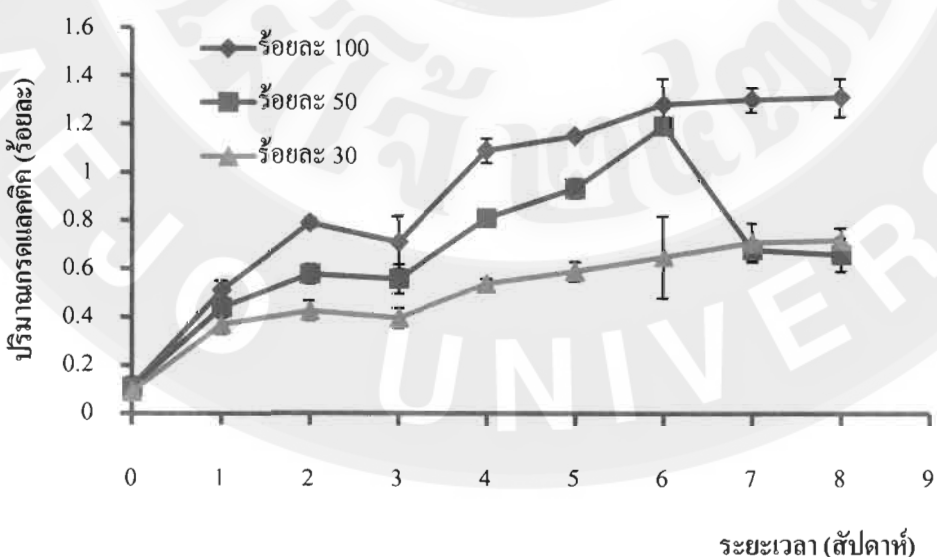
3.2 จำนวนแบคทีเรียกรดแลคติกในโน้มิและการสร้างกรด

แบคทีเรียแลคติกมีการเพิ่มจำนวนอย่างมากโดยเฉพาะในช่วง 3-4 สัปดาห์แรกของการหมักโน้มิ พบรอยalty พบจำนวนแบคทีเรียแลคติกสูงสุด 2.69 2.11 และ 2.21 log CFU/g ตามลำดับ (ภาพ 13)



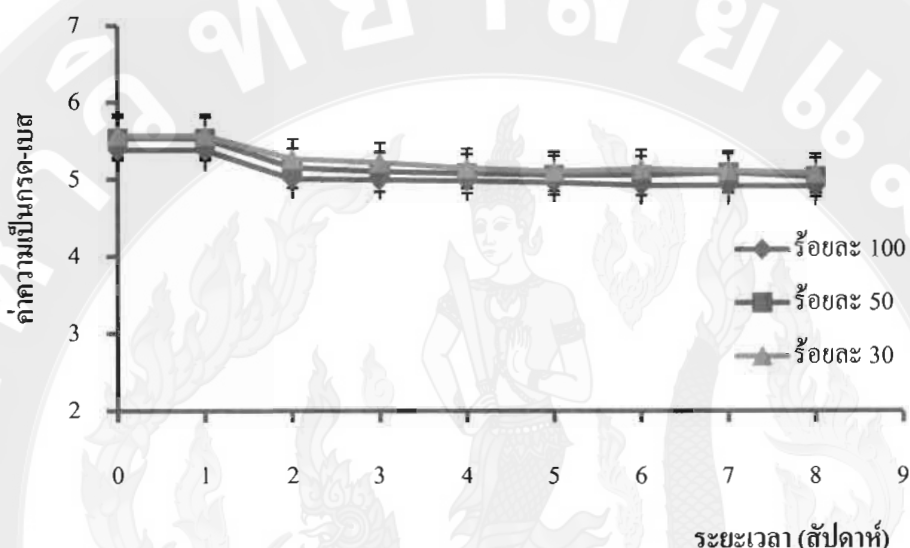
ภาพ 13 การเปลี่ยนแปลงของจำนวนแบคทีเรียกรดแลคติกในระหว่างการหมักโนโรมิที่ใช้โคจิถัวเหลืองในปริมาณที่แตกต่างกัน

แบคทีเรียแลคติกสามารถเจริญได้อย่างดีในเต้าเจี้ยว และผลิตกรดแลคติกออกมากในปริมาณมาก (ภาพ 14) แปรผันตามปริมาณโคจิที่ใช้หมัก คือได้ปริมาณร้อยละเท่ากับ 1.31, 1.19 และ 0.72 ตามลำดับ เนื่องจากได้แบคทีเรียกรดแลคติกได้รับสารอาหารที่สามารถนำไปใช้ได้จริงจากโคจิ



ภาพ 14 การเปลี่ยนแปลงของปริมาณกรดแลคติกในระหว่างการหมักโนโรมิที่ใช้โคจิถัวเหลืองในปริมาณที่แตกต่างกัน

ปริมาณกรดแอลกติกที่ถูกสร้างขึ้นโดยแบคทีเรียแอลกติก ส่งผลให้ค่าความเป็นกรด-เบสของเต้าเจี้ยวลดลงจนมีค่าต่ำสุดเท่ากับ 4.91 5.04 และ 5.09 ตามลำดับ และมีค่าเกือบคงที่ตลอดอายุการหมัก (ภาพ 15) ซึ่งเป็นผลเนื่องมาจากปริมาณกรดแอลกติกที่สะสมในเต้าเจี้ยว ค่าความเป็นกรด-เบส ที่ต่ำลงจะช่วยให้สต์ที่ในเต้าเจี้ยวสามารถเจริญได้ดีขึ้น



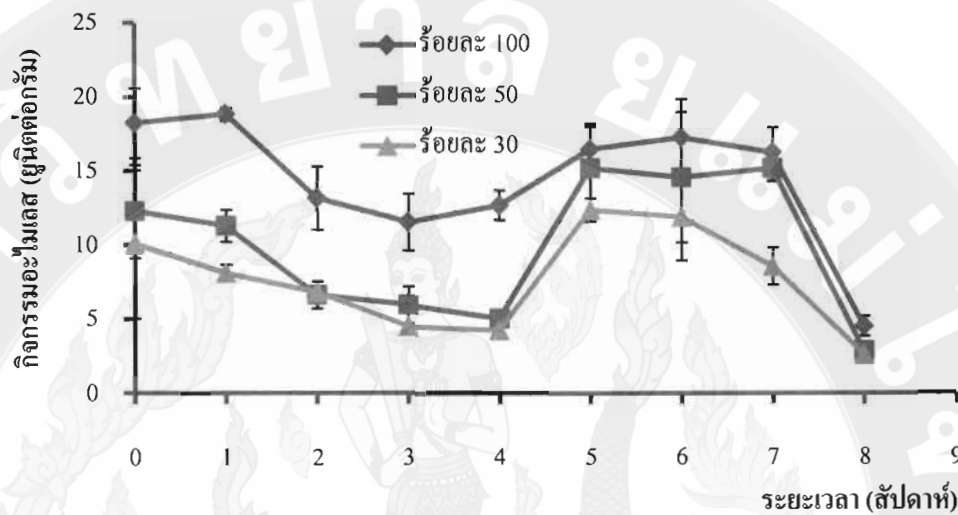
ภาพ 15 การเปลี่ยนแปลงของค่าความเป็นกรด-เบสในระหว่างการหมักโไม่โรมิที่ใช้โโคจิถั่วเหลืองในปริมาณที่แตกต่างกัน

3.3 กิจกรรมเอนไซม์

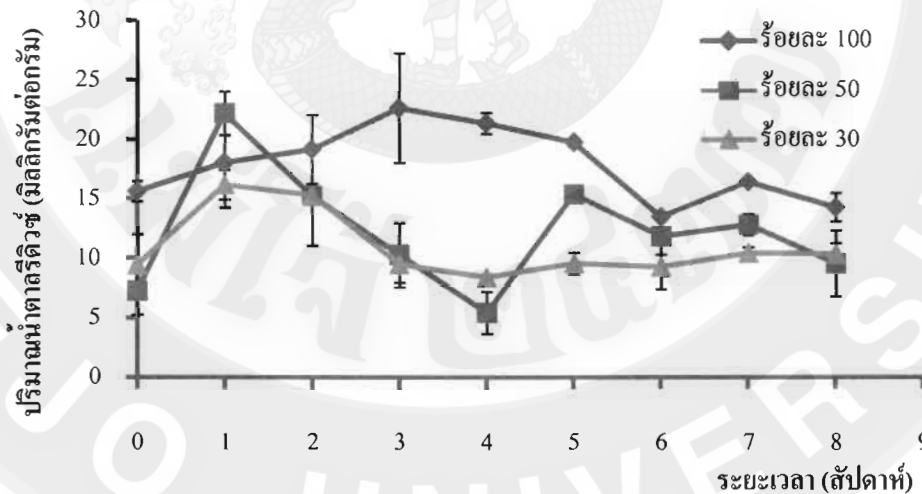
กิจกรรมอะไนเลสเกิดการเปลี่ยนแปลงตลอดระยะเวลาของการหมักโไม่โรมิ พบร่วมกิจกรรมอะไนเลสที่เกิดขึ้นในขั้นตอนการหมักโโคจิ ยังคงหลงเหลืออยู่ในขั้นตอนการหมักโไม่โรมิ ทำให้สามารถตรวจพบกิจกรรมดังกล่าวได้นับตั้งแต่สัปดาห์ที่ 0 แต่มีแนวโน้มลดต่ำลงตลอดช่วงระยะเวลาของการหมัก กิจกรรมอะไนเลสลดลงอย่างรวดเร็วในช่วง 3-4 สัปดาห์แรก หลังจากนั้นจะมีค่าเพิ่มขึ้นเล็กน้อย และมีค่าลดลงจนเกือบคงที่ตลอดอายุของการหมัก กิจกรรมอะไนเลสสูงสุดจะมีค่าเท่ากับ 18.84 15.14 และ 12.32 ยูนิตต่อกรัม ตามลำดับ (ภาพ 16) การลดลงของกิจกรรมอะไนเลสลดคล้องกับรายงานของ Yong and Wood (1974) ที่พบรการลดลงของอะไนเลสในกระบวนการหมักซีอิ๊ว

สำหรับน้ำตาลรีดิวซ์ พบร่วมกับการเปลี่ยนแปลงตลอดระยะเวลาการหมัก โดยมีค่าสูงสุดเท่ากับ 22.62 22.19 และ 16.16 มิลลิกรัมต่อกรัม ตามลำดับ (ภาพ 17) น้ำตาลรีดิวซ์ที่พบส่วนหนึ่งมาจากแป้งในโโคจิถูกย่อยสลายด้วยอะไนเลส อีกส่วนหนึ่งเกิดจากการกิจกรรมอะไนเลสที่ยังคงอยู่แม้จะอยู่สภาวะแวดล้อมที่มีเกลือความเข้มข้นสูง น้ำตาลรีดิวซ์ตั้งกล่าวจะไม่เพิ่มปริมาณ

มากนั้น เนื่องจากกิจกรรมอะไรมีเลสที่ลดลง และเนื่องจากกิจกรรมของแบคทีเรียกรดแอลกอติกและบีสต์ในช่วงการหมักโน้มิ ที่ใช้น้ำตาลรีดิวซ์ในการเจริญแล้วสร้างกรด และอัลกอฮอล์ออกมานในเดาเจี้ยว ตามลำดับ



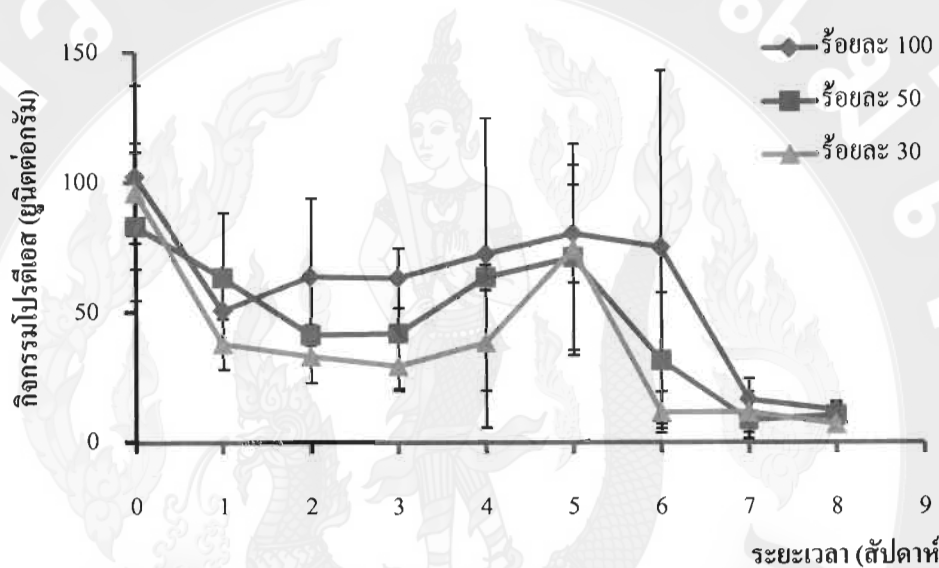
ภาพ 16 การเปลี่ยนแปลงของกิจกรรมอะไรมีเลสในระหว่างการหมักโน้มิที่ใช้โคจิถั่วเหลืองในปริมาณที่แตกต่างกัน



ภาพ 17 การเปลี่ยนแปลงของปริมาณน้ำตาลรีดิวซ์ในระหว่างการหมักโน้มิที่ใช้โคจิถั่วเหลืองในปริมาณที่แตกต่างกัน

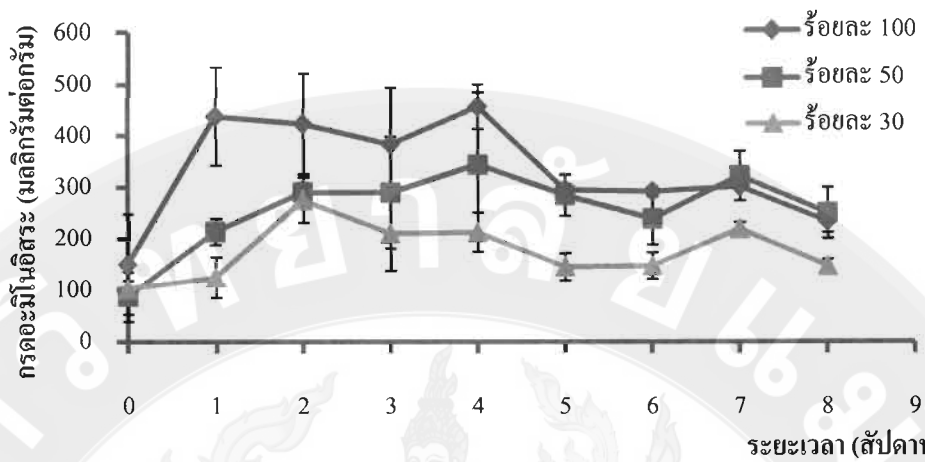
กิจกรรมโปรตีโอสปารากูจี้น์ในสัปดาห์ที่ 0 ซึ่งเป็นผลเนื่องมาจากการหมักที่ติดค้างอยู่ในโคจิ และหลังเหลือมาอยู่ในขั้นตอนการหมักโน้มิ แต่ยังไม่ได้ตามกิจกรรมโปรตีโอสเมื่อค่าลดลงจากเดิมในช่วง 1-2 สัปดาห์แรกของการหมัก และจึงเพิ่มขึ้นอีกเล็กน้อย โดยค่าสูงสุดที่พบ

คือ 102.12, 83.05 และ 95.98 ยูนิตต่อกรัม ตามลำดับ (ภาพ 18) การลดลงของโปรตีอีสเป็นผลเนื่องมาจากการเสื่อมสภาพตามธรรมชาติของโปรตีน (denaturation) และอาจเนื่องมาจากเอนไซม์ไปรวมตัวกับสารประกอบอย่างอื่นที่มีอยู่ในเต้าเจี้ยว ทำให้มีประสิทธิภาพในการย่อยสลายโปรตีนลดลง ส่วนการเพิ่มขึ้นของกิจกรรมโปรตีอีสอาจเนื่องมาจากการเส้นใย纖維ในรากฟันส่วนเกิดการย่อยสลายและปลดปล่อยโปรตีอีสออกมาน (Yong and Wood, 1974)



ภาพ 18 การเปลี่ยนแปลงกิจกรรมโปรตีอีสในระหว่างการหมักโโนโรมิที่ปริมาณโคจิถั่วเหลืองที่แตกต่างกัน

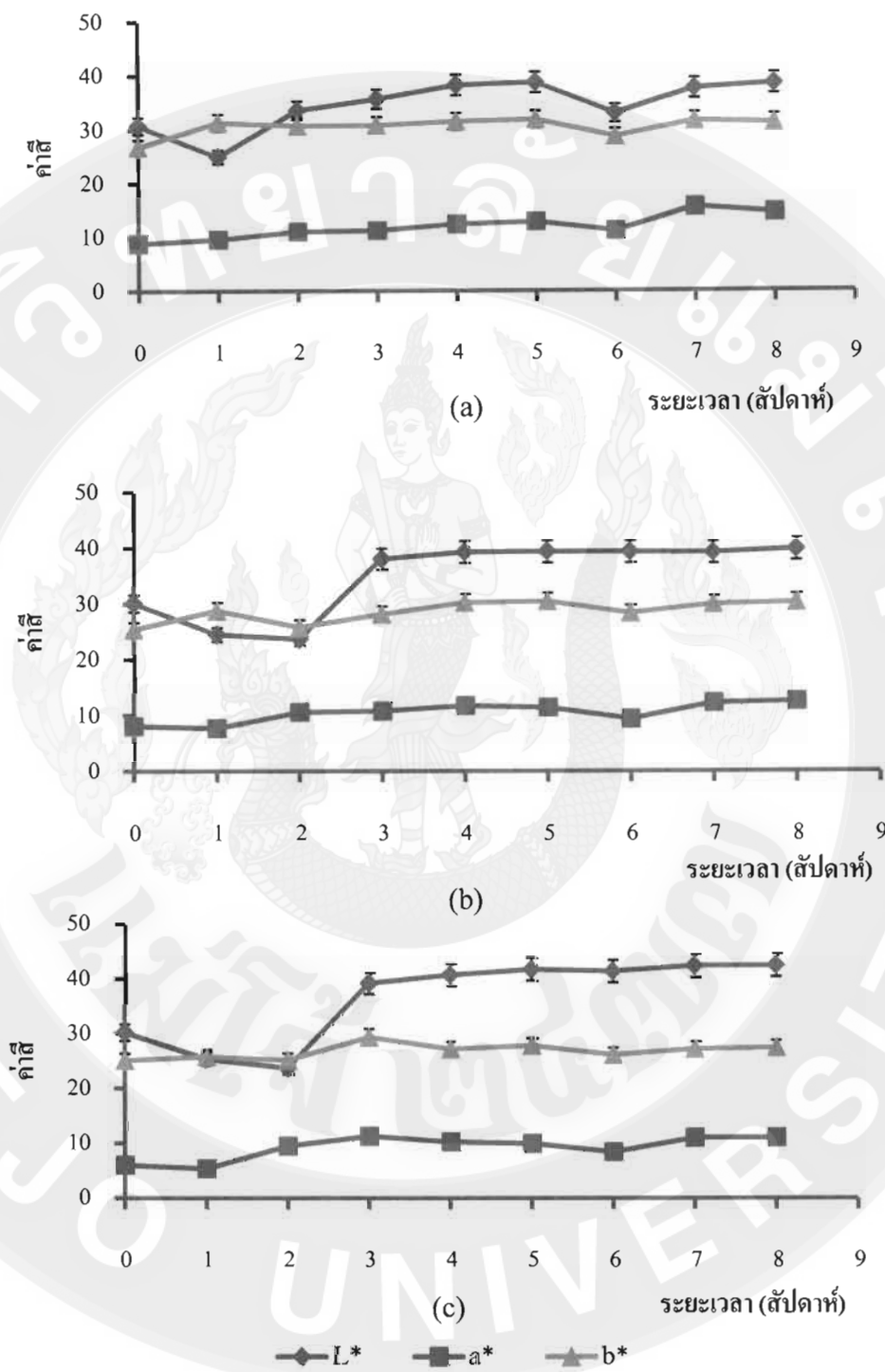
โปรตีอีสในขันตอนการหมักโโนโรมิจะย่อยโมเลกุลของโปรตีนในถั่วเหลืองให้กลายเป็นเปปไทด์ที่มีสายสั้นลง (short chain peptides) และกรดอะมิโนจำนวนหนึ่งที่มีปริมาณเพิ่มขึ้นในเต้าเจี้ยวต่อคลออาซุกการหมัก (ภาพ 19) การเพิ่มขึ้นของปริมาณกรดอะมิโนทั้งหมดสอดคล้องกับกิจกรรมโปรตีอีสกิจกรรมโปรตีอีส ซึ่งพบว่าปริมาณกรดอะมิโนอิสระที่สะสมมีค่าสูงสุดประมาณ 465.25, 343.75 และ 275.00 มิลลิกรัมต่อกรัม ตามลำดับ



ภาพ 19 การเปลี่ยนแปลงของปริมาณกรดอะมิโนอิสระในระหว่างการหมักโไม่โรมิที่ใช้โโคจิถัวเหลืองในปริมาณที่แตกต่างกัน

3.4 สีของเต้าเจี้ยว

เต้าเจี้ยวที่ผ่านการหมักนานา 8 สัปดาห์ พบร่วมกับสีเหลืองของถั่วเหลืองผสมกับสีของน้ำเกลือ แต่เมื่ออายุการหมักเพิ่มขึ้น เต้าเจี้ยวจะมีสีเข้มขึ้นเป็นสีน้ำตาลอ่อน และเข้มขึ้นเรื่อยๆ ในทุกทรีทเม้นท์ เต้าเจี้ยวที่หมักโดยใช้โโคจิปริมาณร้อยละ 100 จะให้สีน้ำตาลที่เข้มที่สุด โดยมีค่าสี L^* , a^* และ b^* เท่ากับ 38.61, 15.65 และ 31.77 รองลงมาได้แก่การใช้โโคจิปริมาณร้อยละ 50 และ 30 ตามลำดับ (ภาพ 20) การเกิดสีน้ำตาลของเต้าเจี้ยวเป็นผลเนื่องจากปฏิกิริยาเมล็ดลาร์ค ที่เป็นการรวมตัวกันระหว่างกรดอะมิโนและน้ำตาลรีดิวซ์ (Miller, 1959; Yokotsuka, 1986)



ภาพ 20 การเปลี่ยนแปลงค่าสี L^* a^* และ b^* ในระหว่างการหมักโน้มที่ใช้โคจิถั่วเหลืองในปริมาณที่แตกต่างกัน (ร้อยละ): 100 (a) 50 (b) และ 30 (c)

3.5 การเกิดอนุภาคสีขาวในระหว่างการหมักโนร์มิ

จากการสังเกตการเกิดอนุภาคสีขาวในเด้าเจี้ยว พนว่า เด้าเจี้ยวที่หมักโดยใช้โภจินปริมาณร้อยละ 100 จะก่อให้เกิดอนุภาคสีขาวในถังหมักได้ภายในระยะเวลา 2 สัปดาห์ โดยจำนวนและขนาดอนุภาคสีขาวจะเพิ่มขึ้นเรื่อยๆ และมักเกิดคิดอยู่กับผนังของถังหมัก อนุภาคสีขาวจะพบมากที่สุดในสัปดาห์ที่ 6 ในขณะที่เด้าเจี้ยวที่หมักโดยใช้ปริมาณโภจิร้อยละ 50 และ 30 จะให้ผลลัพธ์ที่คล้ายคลึงกัน แต่ระยะเวลาการเกิดอนุภาคสีขาวจะช้ากว่าเป็น 4 และ 6 สัปดาห์ ตามลำดับ แต่ต่ำกว่าไรก็ตามโภจิร้อยละ 30 ยังคงให้ออนุภาคสีขาวที่มีปริมาณน้อยที่สุด แม้จะหมักนานถึง 8 สัปดาห์ (ตาราง 3)

ตาราง 3 การเกิดอนุภาคสีขาวในเด้าเจี้ยวที่หมักโดยใช้โภจิร้อยละในปริมาณแตกต่างกัน

ปริมาณโภจิ (ร้อยละ)	อนุภาคสีขาว								
	ระยะเวลา (สัปดาห์)								
	0	1	2	3	4	5	6	7	8
100	-	-	+	+	++	++	+++	+++	+++
50	-	-	-	-	+	+	++	++	+++
30	-	-	-	-	-	-	+	+	++

หมายเหตุ: - = ไม่พบ

+ = พนเล็กน้อย

++ = พนมาก

การเกิดอนุภาคสีขาวในขั้นตอนการหมักโนร์มิ อาจเนื่องมาจากการใช้โภจิในปริมาณที่มาก ย่อมทำให้ได้กิจกรรมโปรดีเออส์ที่มากตามไปด้วย ซึ่งจะส่งผลให้ได้กรดอะมิโนไทรอซินจากโปรตีนของถัวเหลืองจำนวนมาก ไทรอซินเป็นกรดอะมิโนที่ละลายน้ำได้ยาก ตั้งนั้น จึงมีแนวโน้มมารวมตัวกันแล้วกลายเป็นผลึกสีขาวที่มีขนาดใหญ่ขึ้นเรื่อยๆ Flegel et al. (1981) และ Bhumiratana et al. (1988) รายงานว่าได้มีการพบจุดขาวในเด้าเจี้ยวที่ผลิตในประเทศไทย และกล่าวว่าจุดขาวที่พบคือ ไทรอซิน ที่เกิดจากการบ่อยสถาบันโปรดีนของถัวเหลืองคั่วเย็นใช้มีโปรดีเออส์

3.6 ผลของการหมักโนโรมิระยะเวลาสั้นต่อการเกิดอนุภาคสีขาว

นำเด้าเจี้ยวอายุ 4 สัปดาห์ บรรจุใส่ขวดแก้วปิดฝาขมะร้อน เพื่อศึกษาการเกิดอนุภาคสีขาว พนว่า ปริมาณโคจิที่ใช้หมักโนโรมิทุกระดับ ส่งผลให้เกิดอนุภาคสีขาวในเด้าเจี้ยวนับแต่เริ่มน้ำรุขวด โดยในวันที่ 0 พบนุภาคสีขาวในทุกทริพเมนท์ แต่จำนวนพื้นที่ที่พบนุภาคสีขาวและชนิดของอนุภาคสีขาวที่เกิดขึ้นมีความแตกต่างกัน เด้าเจี้ยวที่หมักด้วยโคจิร้อยละ 100 จะก่อให้เกิดพื้นที่ที่พบนุภาคสีขาวมากกว่าทริพเมนท์อื่นๆ คือ ร้อยละ 4.39 ในขณะที่โคจิร้อยละ 50 และ 30 ให้จำนวนพื้นที่ที่พบนุภาคสีขาวที่น้อยกว่า 20-40 เท่า คือเท่ากับร้อยละ 0.21 และ 0.10 ตามลำดับ จำนวนพื้นที่ที่พบนุภาคสีขาวมีค่าเพิ่มขึ้น随ผันตามอายุการเก็บรักษาจนกระทั่งถึงวันที่ 9 จำนวนพื้นที่ดังกล่าวมีค่าสูงเกินกว่าร้อยละ 95 ทุกทริพเมนท์ (ตาราง 4)

ตาราง 4 จำนวนพื้นที่ที่พบนุภาคสีขาวและชนิดอนุภาคสีขาวในผลิตภัณฑ์เด้าเจี้ยวน้ำรุขวด

ระยะเวลา (วัน)	จำนวนพื้นที่ที่พบนุภาคสีขาว (ร้อยละ)			ชนิดของอนุภาคสีขาว		
	ปริมาณถั่วเหลือง (ร้อยละ)			ปริมาณถั่วเหลือง (ร้อยละ)		
	100	50	30	100	50	30
0	4.39 ± 2.87	0.21 ± 0.19	0.10 ± 0.19	A, B	B	C
1	25.31 ± 6.77	1.12 ± 0.57	0.18 ± 0.12	A, B	B	C
3	4.98 ± 0.73	5.185 ± 3.34	3.17 ± 2.59	A, B	B	C
6	18.12 ± 5.51	18.35 ± 0.03	8.74 ± 4.59	A, B	B	C
9	95.86 ± 0.78	99.96 ± 0.00	96.43 ± 3.23	A, B	B, C	C
12	96.77 ± 1.14	100.00 ± 0.00	97.14 ± 2.52	A, B	B, C	C
15	100 ± 0.00	100.00 ± 0.00	99.13 ± 1.00	A, B	B, C	C

หมายเหตุ : ค่าของข้อมูลแสดงในรูปของค่าเฉลี่ย ± ค่าเบี่ยงเบนมาตรฐาน

A = อนุภาคสีขาวชนิดแผ่นนุ่ม

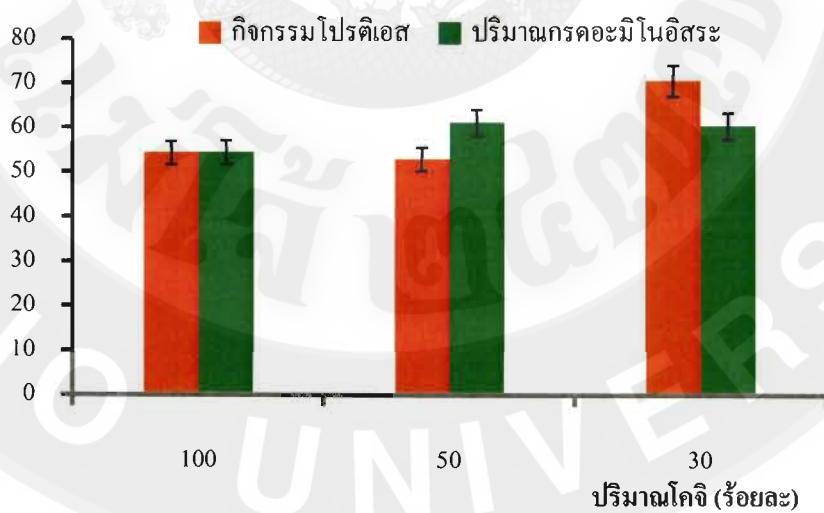
B = อนุภาคสีขาวชนิดแผ่นแข็ง

C = อนุภาคสีขาวชนิดเม็ดเล็กๆ

ทั้งนี้อาจเป็นผลเนื่องมาจากการเก็บรักษา อนุภาคสีขาวส่วนใหญ่ที่ได้เกิดขึ้นแล้วในถังหมักโนโรมิ ส่วนหนึ่งที่เหลือจากการละลายในช่วงของการต้มเด้าเจี้ยว ก่อนการบรรจุ ได้ถูกคลายเหลือมาขังขวดบรรจุผลิตภัณฑ์ และในขณะเดียวกันความร้อนในระหว่างการต้มได้ทำให้น้ำบางส่วนระเหขอออกจากเนื้อเด้าเจี้ยว ทำให้เนื้อเด้าเจี้ยวเข้มข้นขึ้น นอกจากนี้ขังอาจ

เนื่องจากกิจกรรมโปรดีเอสที่บังคงเหลืออยู่ในผลิตภัณฑ์ที่มีค่าเท่ากับ 54.21 52.71 และ 70.49 ยูนิตต่อกรัม และทำให้ได้ปริมาณกรดอะมิโนอิสระเท่ากับ 54.27 60.94 และ 60.21 มิลลิกรัมต่อกรัม ตามลำดับ (ภาพ 21) ส่งผลให้ปริมาณไทรอซินในเต้าเจี้ยวที่ต้มแล้วมีเพิ่มขึ้น จึงทำให้เห็นผลลัพธ์ ไทรอซินซึ่งเป็นสีขาวในวันถัดมา ผลลัพธ์กล่าวว่าจะมีจำนวนเพิ่มขึ้นและมีขนาดใหญ่ขึ้นตามระยะเวลาของการเก็บรักษาดังกล่าว

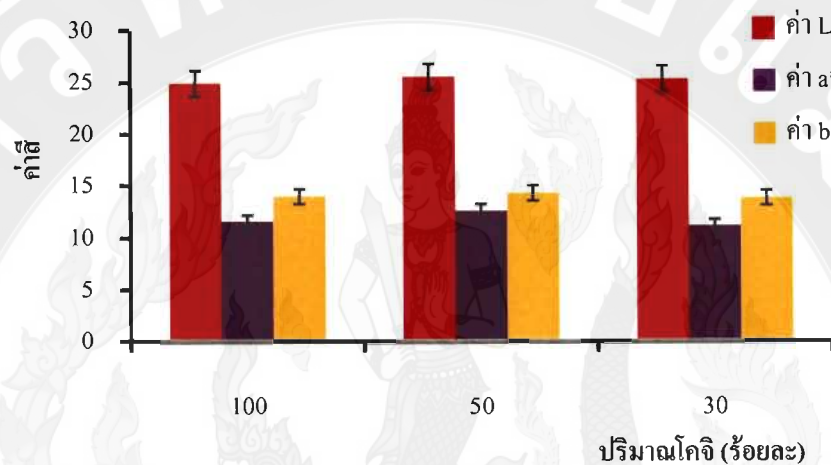
อนุภาคสีขาวที่พบเป็นชนิดแผ่นนุ่มและแผ่นแข็ง แผ่นแข็งและเม็ดเล็กๆ และชนิด เม็ดเล็กๆ สำหรับเต้าเจี้ยวที่หมักจากโภชิร้อยละ 100 50 และ 30 ตามลำดับ ชนิดของอนุภาคสีขาวจะ ขึ้นกับปริมาณโภชิที่ใช้หมักเต้าเจี้ยว โดยชนิดแผ่นแข็ง แผ่นนุ่ม และเม็ดเล็กๆ จะเกิดขึ้นได้ง่ายใน เต้าเจี้ยวที่หมักจากโภชิปริมาณร้อยละ 100 50 และ 30 ตามลำดับ อนุภาคสีขาวชนิดแผ่นนุ่มจะมี ขนาดที่กว้างกว่าชนิดแผ่นแข็ง และแบบเม็ดเล็กๆ ทั้งนี้อาจเนื่องมาจากปริมาณกิจกรรมโปรดีเอส ในช่วงการหมักโภชิที่แตกต่างกัน โดยกิจกรรมโปรดีเอสในเต้าเจี้ยวที่หมักจากโภชิร้อยละ 100 จะมีค่าสูงที่สุด ทำให้เกิดการย่อยโปรดีเอสได้กรดอะมิโนไทรอซินจำนวนมาก กระจายตัวกันอยู่ เป็นวงกว้าง เมื่อความเข้มข้นของไทรอซินมีสูงถึงระดับหนึ่งจึงเกิดการตกผลึก และมีการรวมตัวกัน ของผลึกจนมีขนาดใหญ่ขึ้น โดยลำดับ การกระจายตัวเป็นวงกว้างของไทรอซิน ทำให้ผลึกส่วนหนึ่ง ที่เกิดขึ้นไม่สะสมกันจนกลายเป็นแผ่นแข็ง



ภาพ 21 กิจกรรมโปรดีเอสและปริมาณกรดอะมิโนอิสระในผลิตภัณฑ์เต้าเจี้ยว

ค่า L* a* และ b* ของผลิตภัณฑ์เต้าเจี้ยว หลังจากการต้มเต้าเจี้ยวนาน 20 30 และ 40 นาที (ภาพ 22) พบว่า ระยะเวลาในการต้มนานขึ้นสีของเต้าเจี้ยวจะเข้มข้นตามลำดับ โดยแต่ละ ทรีทเมนท์เมื่อต้มนาน 40 นาที จะมีค่า L* a* และ b* สูงสุด คือ ค่า L* เท่ากับ 24.88 25.47 และ

25.24 ตามลำดับ ค่า a* เท่ากับ 11.62 12.62 และ 11.21 และ ค่า b* เท่ากับ 13.98 14.29 และ 13.80 ซึ่งค่าสี L* a* และ b* ทั้งสามทริเมนท์ การที่ผลิตภัณฑ์เต้าเจี้ยวมีสีคล้ำขึ้น ส่วนใหญ่เกิดเนื่องจากปฏิกริยาการเกิดสีน้ำตาลชนิดเมลาร์ด โดยกรดอะมิโนที่ได้จากการย่อยถั่วยาโพรตีนโดยโปรตีอส และน้ำตาลรีดิวช์ที่ได้จากการย่อยถั่วยาจะไม่เลส และยังคงหลงเหลืออยู่ในผลิตภัณฑ์ ทำปฏิกริยาเคมีกัน



ภาพ 22 ค่าสีของผลิตภัณฑ์เต้าเจี้ยวที่หมักด้วยโโคจิปริมาณแตกต่างกัน

การทดสอบทางประสาทสัมผัสของผลิตภัณฑ์เต้าเจี้ยว โดยผู้บริโภคจำนวน 100 คน ใช้วิธีการทดสอบแบบ Ranking for preference พบว่า ผลของการยอมรับของผู้ทดสอบต่อเต้าเจี้ยวทั้ง 3 สูตร ไม่มีความแตกต่างกันอย่างมีนัยสำคัญ ($p > 0.05$) พบว่า โโคจิปริมาณร้อยละ 100 ได้รับการยอมรับมากที่สุด รองลงมาได้แก่ ปริมาณโโคจิร้อยละ 50 และ 30 ตามลำดับ (ตาราง 5-6)

ตาราง 5 จำนวนผู้ทดสอบที่ให้คะแนนเรียงตามลำดับความชอบสำหรับเต้าเจี้ยวจำนวน 3 ตัวอย่าง

ปริมาณโโคจิที่ใช้ (ร้อยละ)	ระดับความชอบ		
	สเกล 3 ระดับ	1	2
100		56	12
50		32	45
30		34	12
			32
			23
			54

หมายเหตุ : สเกลระดับ 1 = ชอบมากที่สุด 2 = ปานกลาง 3 = ไม่ชอบ

ตาราง 6 ผลสรุปของการเรียงลำดับความชอบผลิตภัณฑ์เด้อเจี้ยว จำนวน 3 ตัวอย่าง

ปริมาณโคลิ (ร้อยละ)	สเกล 3 ระดับ	
	ผลรวม ^{ns}	ลำดับ
100	56	1
30	34	2
50	32	3

หมายเหตุ : “คือไม่แตกต่างกันของข้อมูลนัยสำคัญ ($p > 0.05$) ในแนวสมมติ

สเกลระดับ 1 = ชอบมากที่สุด 2 = ปานกลาง 3 = ไม่ชอบ

ซึ่งสอดคล้องกับ Sakaki (1996) กล่าวว่า ชีวิวที่มีกลิ่นหอมและรสชาด ส่วนหนึ่ง เกิดจากสารประกอบที่มีชื่อเรียกว่า HEMF(4-hydroxy-2(or5)-ethyl-5(or2)-methyl-3(2H)-furanone) สารดังกล่าวเกิดจากสารตั้งต้น (precursor) ที่พบได้ในถั่วเหลืองและข้าวสาลีเท่านั้น และ เกิดขึ้นในขั้นตอนการหมักโโนโรมิ โดยอาศัยกรรมของบีต์

3.7 ผลของระยะเวลาในการฆ่าเชื้อเด้อเจี้ยวต่อการเกิดอนุภาคสีขาว

นำเด้อเจี้ยวที่มีอายุการหมัก 8 สัปดาห์ มาต้มให้เดือดนาน 20 30 และ 40 นาที บรรจุใส่ขวดปิดฝาเก็บรักภายนาน 15 วัน พบรากุปแบบการเกิดอนุภาคสีขาว และชนิดของอนุภาคสีขาว เป็นไปในลักษณะเดียวกับการเด้อเจี้ยวอายุ 4 สัปดาห์ ที่ผ่านการต้มฆ่าเชื้อนาน 30 นาที โดย ระยะเวลาที่ใช้ในการต้มฆ่าเชื้อ ไม่ให้ผลลัพธ์ที่แตกต่างกันด้วยพื้นที่ที่เกิดอนุภาคสีขาว และชนิด ของอนุภาคสีขาว โดยอนุภาคสีขาวจะเกิดขึ้นครอบคลุมพื้นที่มากกว่าร้อยละ 95 ตั้งแต่อาชญาการเก็บ รักภายนาน 6 วันขึ้นไป (ตาราง 7) อนุภาคสีขาวที่พบเป็นชนิดแผ่นนุ่มนวลและแผ่นแข็ง แผ่นแข็ง และ เม็ดเล็กๆ และชนิดเม็ดเล็กๆ สำหรับเด้อเจี้ยวที่หมักจากโคลิร้อยละ 100 50 และ 30 ตามลำดับ (ตาราง 8)

ตาราง 7 จำนวนพื้นที่ที่พับอนุภาคสีขาวในผลิตภัณฑ์เดียวกันที่ผ่านการต้มในเวลาที่แตกต่างกัน

ระยะเวลา (วัน)	จำนวนพื้นที่ที่พับอนุภาคสีขาว (ร้อยละ)								
	ต้มนาน 20 นาที			ต้มนาน 30 นาที			ต้มนาน 40 นาที		
	ปริมาณโภชิ (ร้อยละ)			ปริมาณโภชิ (ร้อยละ)			ปริมาณโภชิ (ร้อยละ)		
	100	50	30	100	50	30	100	50	30
0	96.98 ± 3.65	3.87 ± 2.04	2.02 ± 2.74	97.49 ± 2.48	1.52 ± 0.7	0.76 ± 0.68	95.72 ± 5.02	1.43 ± 1.29	0.63 ± 0.86
1	96.98 ± 3.65	3.87 ± 2.04	2.02 ± 2.74	97.49 ± 2.48	1.52 ± 0.7	0.76 ± 0.68	95.72 ± 5.02	1.43 ± 1.29	0.63 ± 0.86
3	97.06 ± 4.45	4.09 ± 2.18	2.22 ± 2.87	97.09 ± 2.85	1.57 ± 0.73	0.79 ± 0.64	95.59 ± 4.96	1.50 ± 1.24	0.74 ± 0.86
6	98.84 ± 1.67	96.53 ± 0.57	95.95 ± 1.54	95.93 ± 1.28	97.92 ± 0.55	98.50 ± 0.51	97.85 ± 0.06	97.96 ± 1.45	98.28 ± 1.1
9	98.86 ± 1.64	97.43 ± 0.79	95.95 ± 1.54	97.94 ± 0.87	98.66 ± 0.86	98.88 ± 0.53	97.87 ± 0.59	98.12 ± 0.92	98.72 ± 1
12	100 ± 0.0	100 ± 0.0	100 ± 0.0	100 ± 0.0	100 ± 0.0	100 ± 0.0	100 ± 0.0	100 ± 0.0	100 ± 0.0
15	100 ± 0.0	100 ± 0.0	100 ± 0.0	100 ± 0.0	100 ± 0.0	100 ± 0.0	100 ± 0.0	100 ± 0.0	100 ± 0.0

หมายเหตุ : ค่าของข้อมูลแสดงในรูปของค่าเฉลี่ย ± ค่าเบี่ยงเบนมาตรฐาน

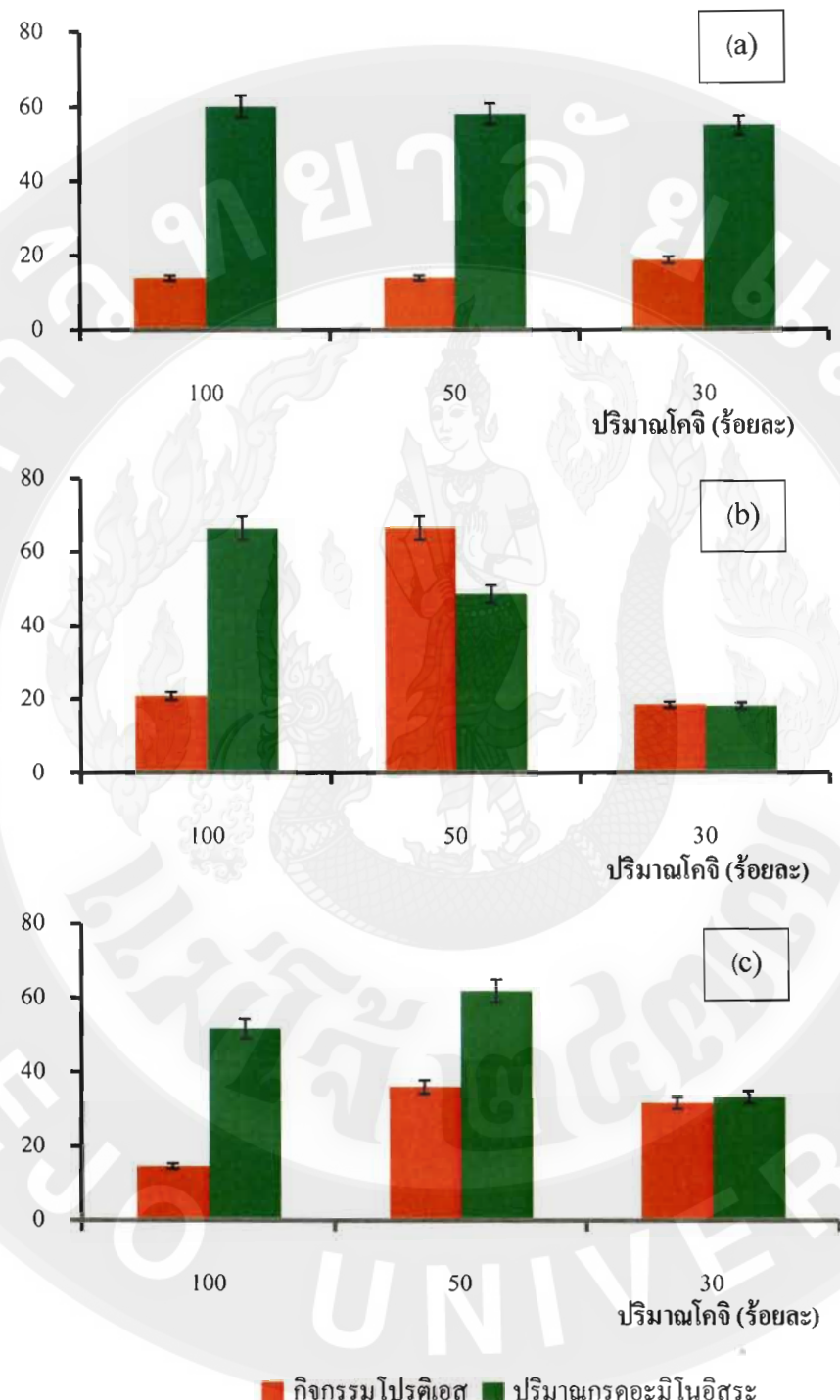
ตาราง 8 ชนิดอนุภาคสีขาวในผลิตภัณฑ์เด็กเจี้ยวที่ผ่านการต้มในเวลาที่แตกต่างกัน

ระยะเวลา (วัน)	จำนวนพื้นที่ที่พบอนุภาคสีขาว (ร้อยละ)								
	ต้มนาน 20 นาที			ต้มนาน 30 นาที			ต้มนาน 40 นาที		
	ปริมาณโภชิ (ร้อยละ)	ปริมาณโภชิ (ร้อยละ)	ปริมาณโภชิ (ร้อยละ)	ปริมาณโภชิ (ร้อยละ)	ปริมาณโภชิ (ร้อยละ)	ปริมาณโภชิ (ร้อยละ)	ปริมาณโภชิ (ร้อยละ)	ปริมาณโภชิ (ร้อยละ)	ปริมาณโภชิ (ร้อยละ)
	100	50	30	100	50	30	100	50	30
0	A, B	B	C	A, B	B	C	A, B	B	C
1	A, B	B	C	A, B	B	C	A, B	B	C
3	A, B	B,C	C	A, B	B,C	C	A, B	B,C	C
6	A, B	B,C	C	A, B	B,C	C	A, B	B,C	C
9	A, B	B,C	C	A, B	B,C	C	A, B	B,C	C
12	A, B	B,C	C	A, B	B,C	C	A, B	B,C	C
15	A, B	B,C	C	A, B	B,C	C	A, B	B,C	C

หมายเหตุ : A = อนุภาคสีขาวชนิดแผ่นนุ่ม

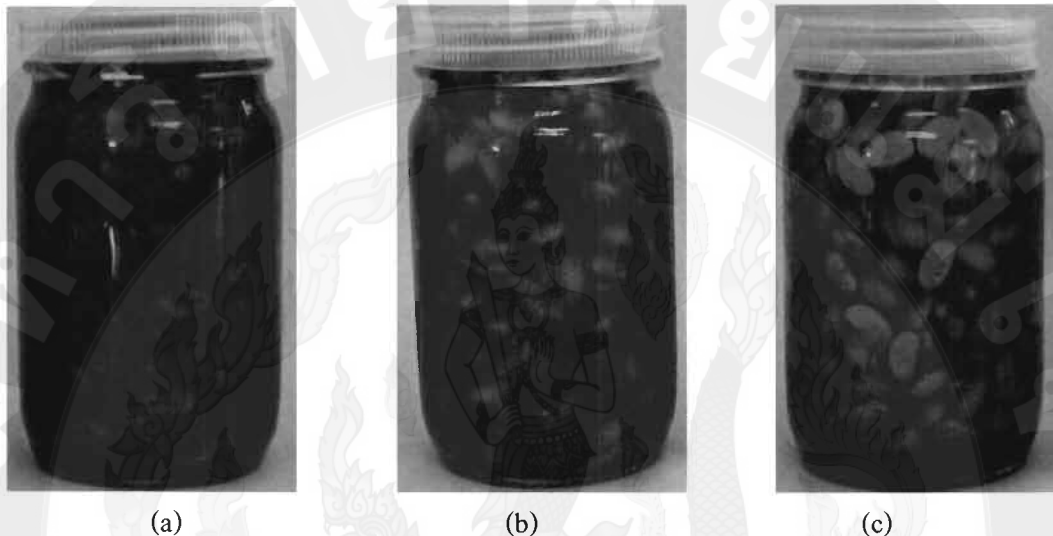
B = อนุภาคสีขาวชนิดแผ่นแข็ง

C = อนุภาคสีขาวชนิดเม็ดเล็กๆ



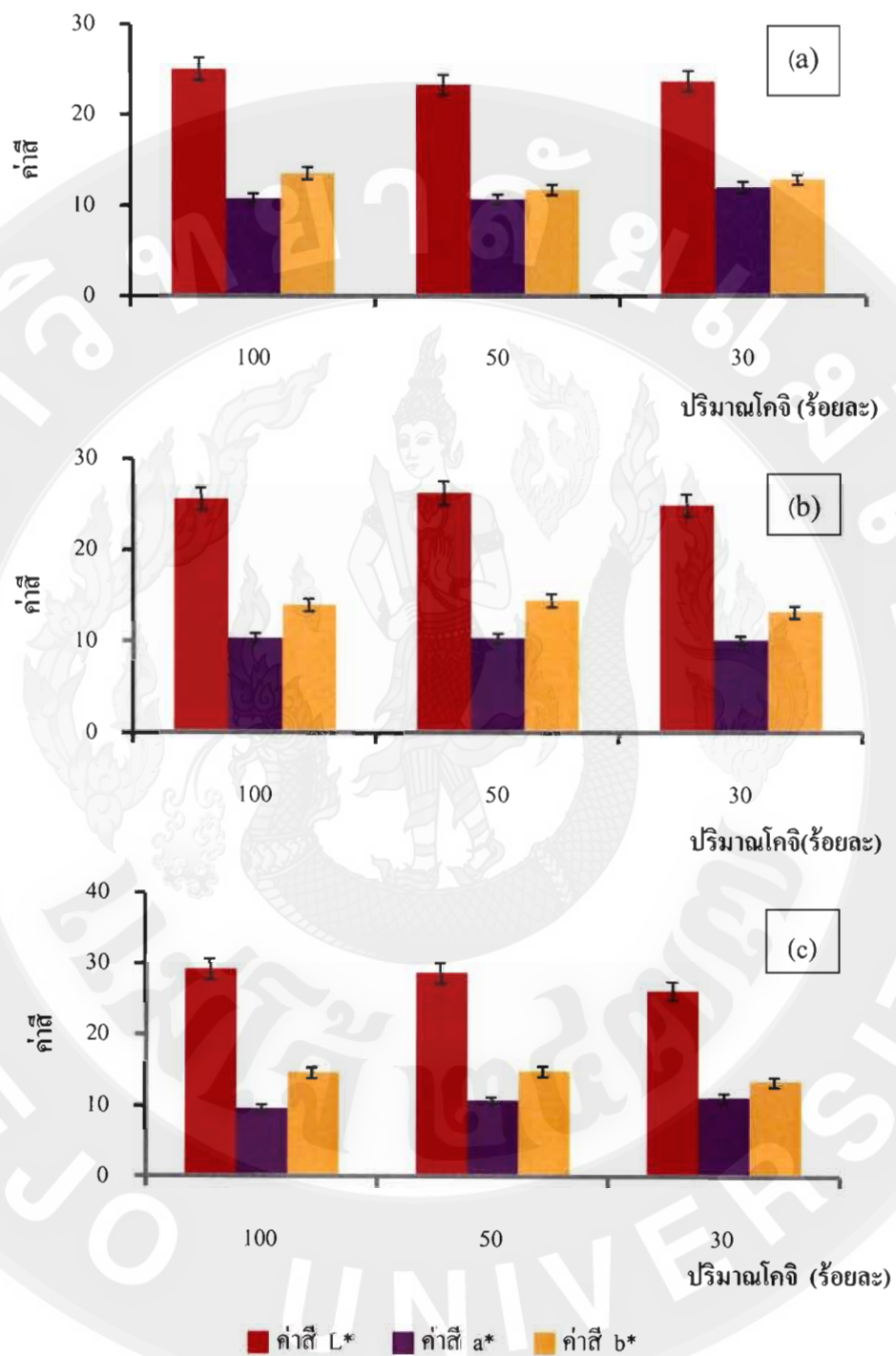
ภาพ 23 กิจกรรมโปรดิโอสและปริมาณการคุณโนอิสระในผลิตภัณฑ์เด็กเจี้ยวยุว 8 สัปดาห์ที่ผ่านมา
การต้มให้เดือด: นาน 20 นาที (a) นาน 30 นาที (b) และนาน 40 นาที (c)

กิจกรรมโปรดีເອສຂັງຄົງພບໄດ້ໃນຜລິຕກັນທີເຕົາເຈື້ວທຸກທຽບມັນທີ່ຕົ້ນນານ 20 ນາທີ (ກາພ 23a) ໂດຍມີຄ່າເທົ່າກັນ 13.93-20.81 ຍູນີຕ່ອກຮັນ ຕົ້ນນານ 30 ນາທີ (ກາພ 23b) 13.93-66.46 ຍູນີຕ່ອກຮັນ ແລະ ຕົ້ນນານ 40 ນາທີ (ກາພ 23c) 18.61-31.63 ຍູນີຕ່ອກຮັນ ຕາມລຳດັບ



ກາພ 24 ຜລິຕກັນທີເຕົາເຈື້ວ: ປຣມານໂຄຈີ້ວຂອບລະ 100 (a) 50 (b) ແລະ 30 (c)

ຄ່າສີ L* a* ແລະ b* ຂອງຜລິຕກັນທີເຕົາເຈື້ວ (ກາພ 25a) ພນວ່າ ຄ່າ L* ສູງສຸດ 29.19 28.68 ແລະ 26.15 ຕາມລຳດັບ (ກາພ 25b) ຄ່າ a* ສູງສຸດ 10.17 10.74 ແລະ 11.85 ແລະ (ກາພ 25c) ຄ່າ b* ສູງສຸດ 14.68 14.87 ແລະ 13.36 ຈຶ່ງຄ່າສີ L* a* ແລະ b* ທັງສານທຽບມັນທີ່ໄມ່ແຕກຕ່າງກັນອ່າງນີ້ ນັບສຳຄັນ ($p > 0.05$)



ภาพ 25 ค่าสีในผลิตภัณฑ์เต้าเจียว: ต้มนาน 20 นาที (a) ต้มนาน 30 นาที (b) และ ต้มนาน 40 นาที (c)

การทดสอบทางประสาทสัมผัสของเด็กเจี๊ยะที่ผลิตได้อาชญา 8 สัปดาห์ ต้มนาน 30 นาที โดยผู้บุริโภคจำนวน 100 คน ใช้วิธีการทดสอบแบบ Ranking for preference พนว่า ผลของการยอมรับของผู้ทดสอบต่อเด็กเจี๊ยะทั้ง 3 สูตร มีความแตกต่างกันอย่างมีนัยสำคัญ ($p < 0.05$) พนว่า โภคจิบริมาณร้อยละ 100 ได้รับการยอมรับมากที่สุด รองลงมาได้แก่ ปริมาณโภคจิร้อยละ 50 และ 30 ตามลำดับ (ตาราง 9-10)

ตาราง 9 จำนวนผู้ทดสอบที่ให้คะแนนเรียงตามลำดับความชอบสำหรับเด็กเจี๊ยะจำนวน 3 ตัวอย่าง

ปริมาณ โภคจิที่ใช้ (ร้อยละ)	ระดับความชอบ		
	1	2	3
100	44	24	28
50	28	50	26
30	28	26	46

หมายเหตุ : สเกลระดับ 1 = ชอบมากที่สุด 2 = ปานกลาง 3 = ไม่ชอบ

ตาราง 10 ผลสรุปของการเรียงลำดับความชอบผลิตภัณฑ์เด็กเจี๊ยะ จำนวน 3 ตัวอย่าง

ปริมาณ โภคจิ (ร้อยละ)	สเกล 3 ระดับ	
	ผลรวม	ลำดับ
100	44 ^a	1
50	28 ^b	2
30	28 ^b	3

หมายเหตุ : ^{a,b} คือ มีความแตกต่างกันอย่างมีนัยสำคัญ ($p < 0.05$) ในแนวสอดคล้อง

สเกลระดับ 1 = ชอบมากที่สุด 2 = ปานกลาง 3 = ไม่ชอบ

3.8 ผลของการการเจือจางเด็กเจี๊ยะต่อการเกิดอนุภาคสีขาว

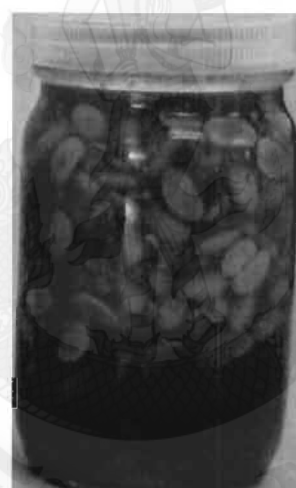
นำเด็กเจี๊ยะที่มีอายุการหมัก 8 สัปดาห์ มาต้มให้เคื่องนาน 20 30 และ 40 นาที แล้ว เดินน้ำดันสุกให้ได้สัดส่วนตามที่ต้องการ บรรจุใส่ขวดปิดฝา พนว่าผลิตภัณฑ์เด็กเจี๊ยะมีลักษณะ ใกล้เคียงกับเด็กเจี๊ยะบางยีห้อที่วางจำหน่ายในห้องคลาด นอกจากนี้จำนวนพื้นที่ที่พบอนุภาคสีขาว ได้ลดลงอย่างมาก เมื่อเปรียบเทียบกับการไม่เดินน้ำดันในเด็กเจี๊ยะจะต้นจากผลการทดลองก่อน หน้านี้ ระยะเวลาในการต้มนาน 40 นาที จะทำให้พื้นที่ที่พบอนุภาคสีขาวลดลงได้ดีที่สุดคือเหลือ

ร้อยละ 0.81 0.48 และ 0.27 ในระยะเวลา 15 วัน สำหรับการหมักด้วยโโคจิปริมาณร้อยละ 100 50 และ 30 ตามลำดับ (ตาราง 11) รองลงมาได้แก่ การต้มเดือดนาน 30 และ 20 นาที ตามลำดับ แต่อย่างไรก็ตามระยะเวลาในการต้ม เต้าเจี้ยวมีผลต่อจำนวนพื้นที่ที่พบรอนุภาคสีขาวที่ใกล้เคียงกัน (ตาราง 12) ในขณะที่ระยะเวลาในการต้มไม่มีผลต่อชนิดของอนุภาคสีขาวที่เกิดขึ้น

กิจกรรมโปรดตีເອສັງຄົງພບໄດ້ໃນຜລິກັນທີ່ເຕົາເຈົ້າທຸກທຽບມັນທີ່ ກາຣັມເດືອດນານ 20 นาທີ່ (ກາພ 27a) ມີຄ່າເຫຼັກກັບ 19.71-41.62 ຍູນີຕ່ອກຮັມ ກາຣັມເດືອດນານ 30 นาທີ່ (ກາພ 27b) 39.05-90.57 ຍູນີຕ່ອກຮັມ ແລະ ກາຣັມເດືອດນານ 40 นาທີ່ (ກາພ 27c) 58.48-94.69 ຍູນີຕ່ອກຮັມ ຕາມລຳດັບ ທຳໄໝກິຈການກາຍຂ່ອຍໂປຣດິນໃຫ້ກາລຍເປັນກາຣຄະນິໂນອີສະຍັງຄົງດຳເນີນອູ່ ແຕ່ໃນອັຕຣາທີ່ໜ້າລັງ



(a)



(b)



(c)

ກາພ 26 ຜລິກັນທີ່ເຕັມນຳຕົ້ມສຸກຕາມສັດສ່ວນທີ່ຕ້ອງການ: ປຣິມານ ໂຄຈີຮ້ອຍລະ 100 (a) 50 (b) ແລະ 30 (c)

ตาราง 11 จำนวนพื้นที่ที่เพบอนุภาคสีขาวในผลิตภัณฑ์เต้าเจี๊ยะที่ผ่านการต้มในเวลาที่แตกต่างกัน

ระยะเวลา (วัน)	จำนวนพื้นที่ที่เพบอนุภาคสีขาว (ร้อยละ)											
	ต้มนาน 20 นาที			ต้มนาน 30 นาที			ต้มนาน 40 นาที					
	ปริมาณโคลิ (ร้อยละ)	100	50	30	ปริมาณโคลิ (ร้อยละ)	100	50	30	ปริมาณโคลิ (ร้อยละ)	100	50	30
0	1.04 ± 2.37	1.08 ± 1.1	0.0 ± 0.0	1.17 ± 0.7	0.3 ± 0.3	0.0 ± 0.0	0.27 ± 0.7	0.03 ± 0.39	0.08 ± 0.5			
1	1.04 ± 2.37	1.08 ± 1.1	0.0 ± 0.0	1.17 ± 0.7	0.3 ± 0.3	0.0 ± 0.0	0.27 ± 0.7	0.03 ± 0.39	0.08 ± 0.5			
3	0.95 ± 2.22	1.87 ± 1.11	0.0 ± 0.0	1.22 ± 0.82	0.35 ± 0.31	0.0 ± 0.0	0.34 ± 0.74	0.12 ± 0.43	0.11 ± 0.69			
6	1.1 ± 2.3	1.89 ± 1.2	0.0 ± 0.0	1.3 ± 0.82	0.55 ± 0.6	0.0 ± 0.0	0.64 ± 0.74	0.34 ± 0.35	0.19 ± 0.59			
9	1.1 ± 12.3	2.16 ± 1.3	0.0 ± 0.0	1.31 ± 0.83	0.61 ± 0.51	0.0 ± 0.0	0.75 ± 0.67	0.44 ± 0.28	0.24 ± 0.53			
12	1.15 ± 2.39	2.38 ± 1.18	0.0 ± 0.0	1.33 ± 0.79	0.61 ± 0.51	0.0 ± 0.0	0.81 ± 0.62	0.48 ± 0.26	0.27 ± 0.51			
15	1.15 ± 2.39	2.38 ± 1.18	0.0 ± 0.0	1.33 ± 0.79	0.61 ± 0.51	0.0 ± 0.0	0.81 ± 0.62	0.48 ± 0.26	0.27 ± 0.51			

หมายเหตุ : ค่าของข้อมูลแสดงในรูปของค่าเฉลี่ย ± ค่าเบี่ยงเบนมาตรฐาน

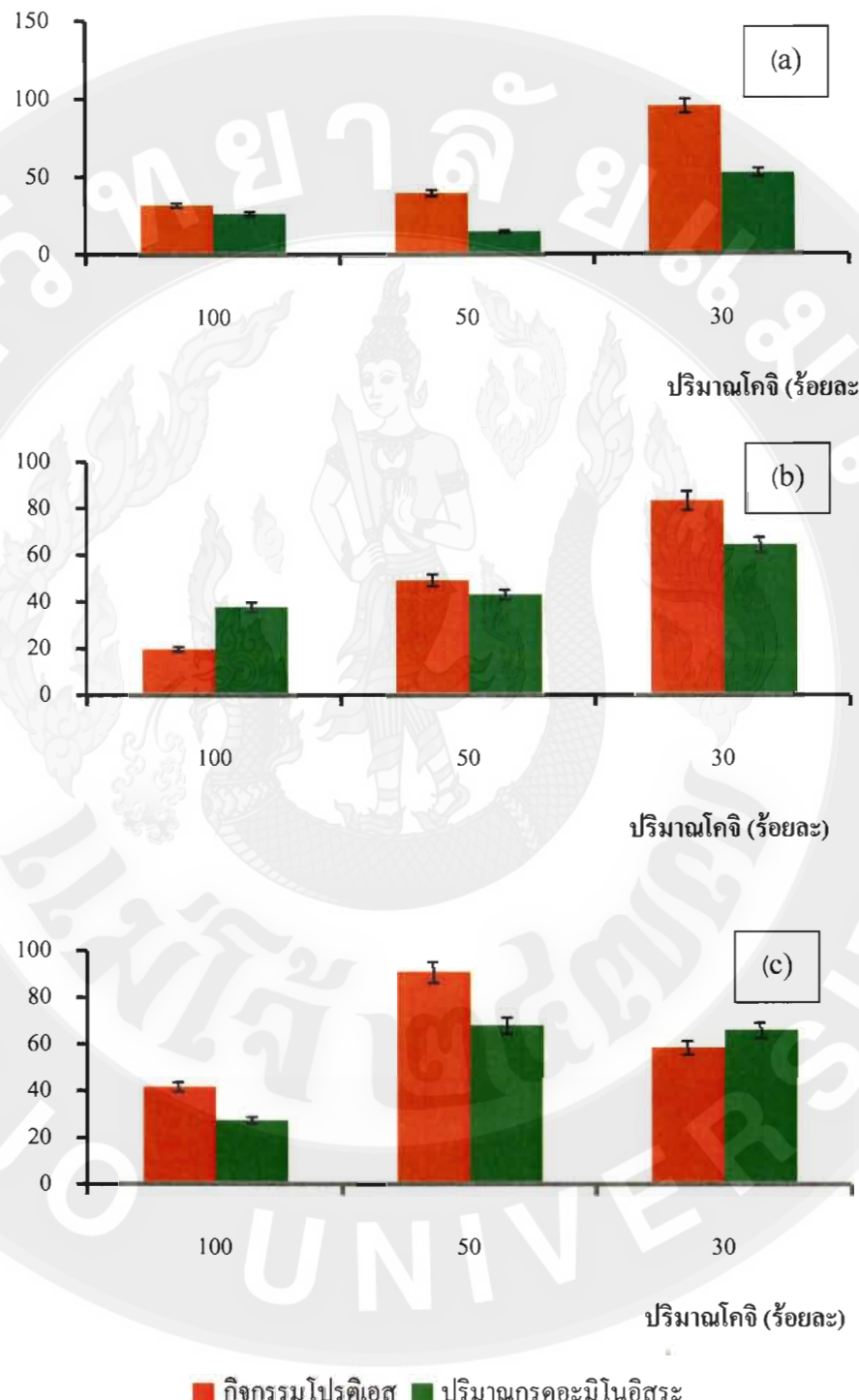
ตาราง 12 ชนิดอนุภาคสีขาวในเต้าเจี๊ยะที่ผ่านการต้มในเวลาที่แตกต่างกัน

ระยะเวลา (วัน)	จำนวนพื้นที่ที่พบอนุภาคสีขาว (ร้อยละ)								
	ต้มนาน 20 นาที			ต้มนาน 30 นาที			ต้มนาน 40 นาที		
	ปริมาณโภช (ร้อยละ)	ปริมาณโภช (ร้อยละ)	ปริมาณโภช (ร้อยละ)	ปริมาณโภช (ร้อยละ)	ปริมาณโภช (ร้อยละ)	ปริมาณโภช (ร้อยละ)	ปริมาณโภช (ร้อยละ)	ปริมาณโภช (ร้อยละ)	ปริมาณโภช (ร้อยละ)
0	A	B	C	A	B	C	A	B	C
1	A	B	C	A	B	C	A	B	C
3	A	B	C	A	B	C	A	B	C
6	A, B	B	C	A, B	B	C	A, B	B	C
9	A, B	B	C	A, B	B	C	A, B	B	C
12	A, B	B	C	A, B	B	C	A, B	B	C
15	A, B	B	C	A, B	B	C	A, B	B	C

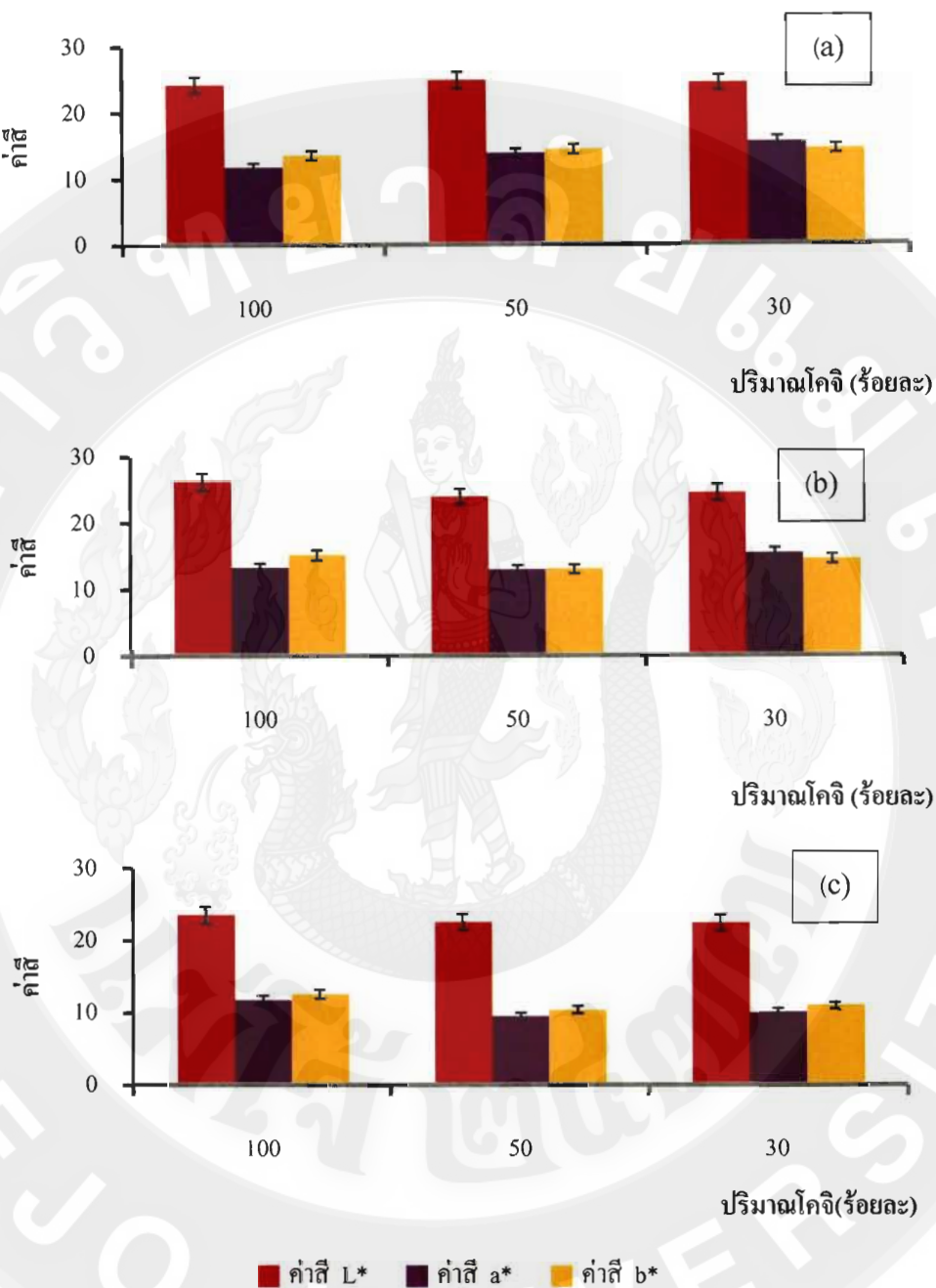
หมายเหตุ : A = อนุภาคสีขาวชนิดแผ่นนุ่ม

B = อนุภาคสีขาวชนิดแผ่นแข็ง

C = อนุภาคสีขาวชนิดเม็ดเล็กๆ



ภาพ 27 กิจกรรมโพรตีอีสและปริมาณกรดอะมิโนอิสระในผลิตภัณฑ์เต้าเจี้ยวอายุ 8 สัปดาห์ที่ผ่านการต้มให้เดือดแล้วเติมน้ำสุก: ต้มนาน 20 นาที (a) ต้มนาน 30 นาที (b) และต้มนาน 40 นาที (c)

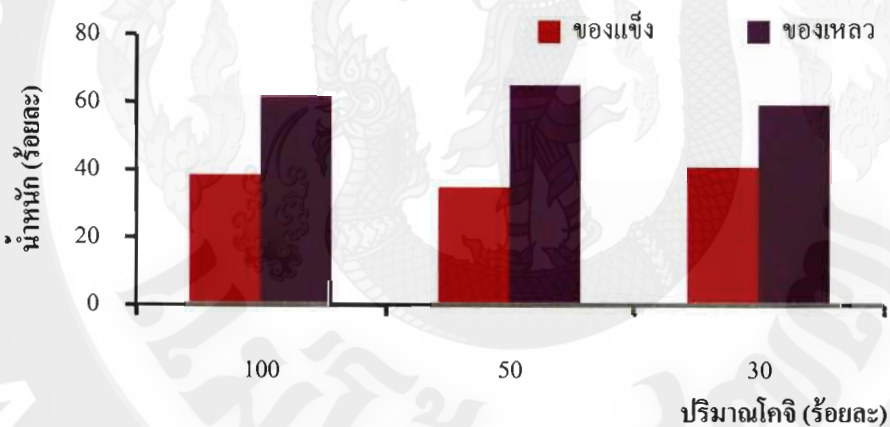


ภาพ 28 ค่าสีในผลิตภัณฑ์เต้าเจี้ยว: ต้มนาน 20 นาที (a) ต้มนาน 30 นาที (b) และ ต้มนาน 40 นาที (c)

ค่าสี L*, a*, และ b* ของผลิตภัณฑ์เต้าเจี้ยว ต้มนาน 20 นาที (ภาพ 28a) พบร่วมกับ ค่าสี L*, a*, และ b* ของผลิตภัณฑ์เต้าเจี้ยว ต้มนาน 30 นาที (ภาพ 28b) ค่า a* สูงสุด 11.79 13.79 และ ต้มนาน 40 นาที (ภาพ 28c) 15.34 ตามลำดับและ ค่า b* สูงสุด 13.57 14.39 และ 14.31 ซึ่งค่าสี L*, a*, และ b* ทั้งสามทรีทเม้นท์ คือไม่แตกต่างกันอย่างมีนัยสำคัญ ($p > 0.05$)

3.9 ผลของสัดส่วนของแข็งและของเหลวในผลิตภัณฑ์เต้าเจี้ยวต่อการเกิดอนุภาคสีขาว

การศึกษาสัดส่วนของของแข็งและของเหลวของเต้าเจี้ยว พบว่า เต้าเจี้ยวที่รีทเมนท์มีสัดส่วนของของแข็งต่อของเหลวที่แตกต่างกัน (ภาพ 29) โดยเต้าเจี้ยวเต่ล่ะทรีทเมนท์ มีลักษณะค่อนข้างขึ้นเล็กน้อยมีการแบ่งแยกชั้นของสัดส่วนของของแข็งและของเหลว ที่ใกล้เคียงกัน กับผลิตภัณฑ์เต้าเจี้ยวตามท้องตลาด ซึ่งปริมาณของแข็งอยู่ในช่วงร้อยละ 39.69 37.21 และ 33.17 ปริมาณของเหลวอยู่ในช่วงร้อยละ 60.31 62.79 และ 66.83 นอกจากนี้ยังมีข้อมูลของบุพชนาและจา魯ນี (2541) กล่าวว่าการที่ตอกผลักอาจเนื่องมาจากกระบวนการทำเต้าเจี้ยวที่มีลักษณะขึ้นและการเตรียมวัตถุที่มีการนึ่งถั่วเหลืองที่ใช้เวลานานและความร้อนสูงเกินไป จนเม็ดถั่วเหลืองมีลักษณะเดะ



ภาพ 29 สัดส่วนของแข็งและของเหลวในผลิตภัณฑ์เต้าเจี้ยว

การทดสอบทางประสาทสัมผัสของเต้าเจี้ยวที่ผลิตได้ โดยผู้บริโภคจำนวน 100 คน ใช้วิธีการทดสอบแบบ Ranking for preference พบว่า ผลของการยอมรับของผู้ทดสอบต่อเต้าเจี้ยวทั้ง 3 สูตร มีความแตกต่างกันอย่างมีนัยสำคัญ ($p < 0.05$) พบว่า โภชิปริมาณร้อยละ 100 ได้รับการยอมรับมากที่สุด รองลงมาได้แก่ ปริมาณโภชิร้อยละ 100 50 และ 30 ตามลำดับ (ตาราง 13-14)

ตาราง 13 จำนวนผู้ทดสอบที่ให้คะแนนเรียงตามลำดับความชอบสำหรับเด็กเจี๊ยบจำนวน 3

ตัวอย่าง

ปริมาณ โภจที่ใช้ (ร้อยละ)	ระดับความชอบ		
	สเกล 3 ระดับ		
	1	2	3
100	54	34	12
50	28	42	30
30	12	30	45

หมายเหตุ : สเกลระดับ 1 = ชอบมากที่สุด 2 = ปานกลาง 3 = ไม่ชอบ

ตาราง 14 ผลสรุปของการเรียงลำดับความชอบผลิตภัณฑ์เด็กเจี๊ยบ จำนวน 3 ตัวอย่าง

ปริมาณ โภจ (ร้อยละ)	สเกล 3 ระดับ	
	ผลรวม	ลำดับ
100	54 ^a	1
50	28 ^b	2
30	12 ^b	3

หมายเหตุ : ^{a,b} คือ มีแตกต่างกันอย่างมีนัยสำคัญ ($p < 0.05$) ในแนวสถิติ

สเกลระดับ 1 = ชอบมากที่สุด 2 = ปานกลาง 3 = ไม่ชอบ

4. อนุภาคสีขาวในผลิตภัณฑ์เด็กเจี๊ยบที่วางแผนจ้างหน่วยในห้องคลาด

4.1 คุณลักษณะและสัดส่วนของแข็งและของเหลวของเด็กเจี๊ยบ

นำตัวอย่างเด็กเจี๊ยบที่จำหน่ายในห้องคลาดจำนวน 10 ชิ้นห่อ มาสังเกตลักษณะ ปรากฏ วิเคราะห์จำนวนอนุภาคสีขาว และปริมาณของแข็งและของเหลวต่อบรรจุภัณฑ์ พบว่า เด็กเจี๊ยบแต่ละชิ้นห่อจะมีลักษณะปรากฏที่แตกต่างกัน 2 ประการ คือ เด็กเจี๊ยบที่มีเม็ดถั่วกระชาดตัว หัวหั้งบรรจุภัณฑ์ มีลักษณะขั้นเนื่องจากส่วนที่เป็นของเหลวมีน้อย และมีการใช้เป็นส่วนผสม มาก และอีกลักษณะคือเม็ดถั่วลดอยตัวอยู่ในของเหลวที่มีปริมาณแตกต่างกัน เนื่องจากมีแป้งเป็น ส่วนประกอบน้อยกว่า (ตาราง 15)

ตาราง 15 ลักษณะประภูมิของผลิตภัณฑ์เด้าเจี้ยวที่วางจำหน่ายในห้องคลาด

ตัวอย่าง เด้าเจี้ยว	ลักษณะประภูมิ
ร่วงเชียง	เนื้อเด้าเจี้ยวขันหนึด เมื่อเขย่าจะเกิดการกระจายตัวของเนื้อเด้าเจี้ยวเล็กน้อย
เด็กอ้วน	เนื้อเด้าเจี้ยวขันหนึดมากเมื่อเขย่าจะเกิดการกระจายตัวของเนื้อเด้าเจี้ยวแน่นอยมาก
เด็กสมบูรณ์	เนื้อเด้าเจี้ยวลายอยู่ค้านบนประมาณ $\frac{1}{2}$ ของของเหลวเมื่อเขย่าจะเกิดการกระจายตัวของเนื้อเด้าเจี้ยวมาก
UFC	เม็ดถั่วเหลืองลอยด้านบนมีส่วนของของเหลวประมาณ $\frac{1}{2}$ เมื่อเขย่าจะเกิดการกระจายตัวของเนื้อเด้าเจี้ยวเล็กน้อย
บิกซี	เนื้อเด้าเจี้ยวขันหนึด เมื่อเขย่าจะเกิดการกระจายตัวของเนื้อเด้าเจี้ยวเล็กน้อย
โลตัส	เนื้อเด้าเจี้ยวขันหนึด เมื่อเขย่าจะเกิดการกระจายตัวของเนื้อเด้าเจี้ยวเล็กน้อย
เล蒙อนฟาร์ม	เนื้อเด้าเจี้ยวขันหนึดมาก เมื่อเขย่าพบว่าเกิดการกระจายตัวของเนื้อเด้าเจี้ยวมาก
ศูนย์วิจัยพีช ไร่	เนื้อเด้าเจี้ยวขันหนึด เมื่อเขย่าจะเกิดการกระจายตัวของเนื้อเด้าเจี้ยวเล็กน้อย
ครัวทอง	เนื้อเด้าเจี้ยวขันหนึดมาก เมื่อเขย่าจะเกิดการกระจายตัวของเนื้อเด้าเจี้ยวแน่นอยมาก
ซ้อนทอง	เนื้อเด้าเจี้ยวขันหนึดมาก เมื่อเขย่าจะเกิดการกระจายตัวของเนื้อเด้าเจี้ยวมาก

4.2 จำนวนพื้นที่ที่พับอนุภาคสีขาวทั้งหมดที่เกิดขึ้นบริเวณพื้นผิวของเนื้อเด้าเจี้ยว

การนับจำนวนพื้นที่ที่พับอนุภาคสีขาวที่ประภูมิบนพื้นผิวของเด้าเจี้ยวในบรรจุภัณฑ์จำนวน 10 ชิ้นห่อ พบร่วมกับเด้าเจี้ยวจำนวน 6 ตัวอย่าง มีจำนวนพื้นที่ที่พับอนุภาคสีขาวประภูมิอยู่ภายในบรรจุภัณฑ์ และ 2 ตัวอย่างในจำนวนดังกล่าว มีจำนวนพื้นที่ที่พับอนุภาคสีขาวน้อยมาก คือต่ำกว่าร้อยละ 3 นอกเหนือจากนั้นพบสูงกว่าร้อยละ 74 (ตาราง 16) ซึ่งการพับอนุภาคสีขาวในผลิตภัณฑ์เด้าเจี้ยวบางชิ้นห่อเป็นไปเพื่อเด้งกับรายงานวิจัยของ บุญธรรมและชาญรุณี (2541) ที่พับจุดขาวจำนวนเดือน้อยในเด้าเจี้ยวของสถาบันวิจัยและฝึกอบรมการเกษตรลำปาง และเด้าเจี้ยวชิ้นห้ออื่นที่วางจำหน่ายตามห้องคลาด สำหรับเด้าเจี้ยวของสถาบันวิจัยและฝึกอบรมการเกษตรลำปาง พบรุ่ขขาวจำนวน 11 กลุ่ม คือพื้นที่ผิวทั้งหมดของเด้าเจี้ยว 1 ชุด ตัวยการสังเกตด้วยตาเปล่า และพบหลังจากการต้มให้เดือดเด้าเจี้ยวแล้วประมาณ 1-2 สัปดาห์ จุดขาวแกะติดแน่นกับเมล็ดถั่วเหลือง

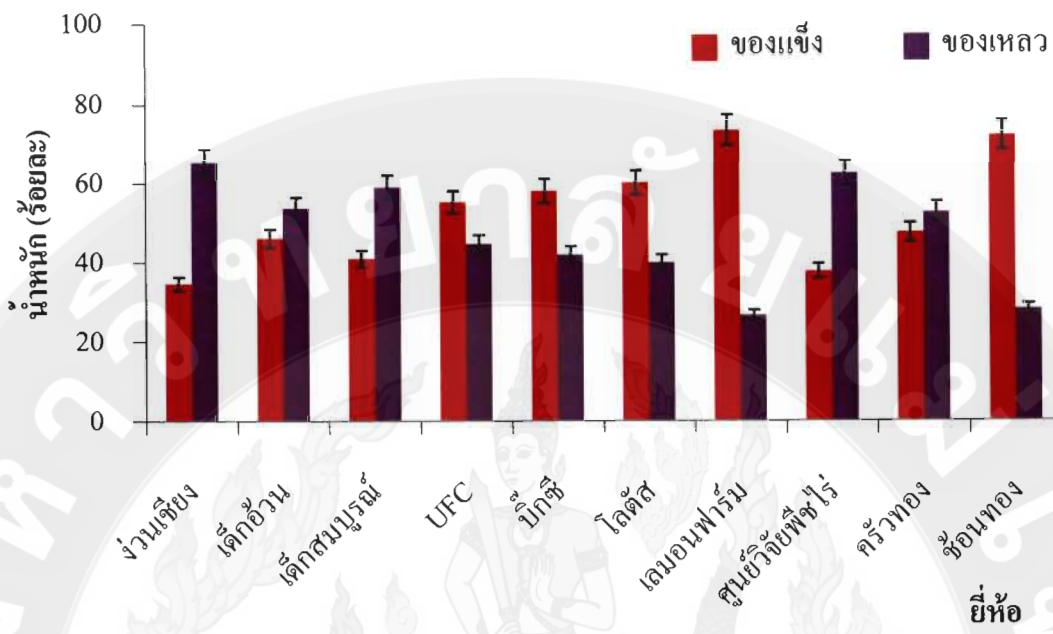
**ตาราง 16 จำนวนพื้นที่ที่พบรอนุภาคสีขาวและชนิดอนุภาคสีขาวในผลิตภัณฑ์เด้าเจี้ยวน้ำท่วง
จำนวนภายในห้องคลาด**

ตัวอย่างเด้าเจี้ยวน้ำท่วง	จำนวนพื้นที่ที่พบรอนุภาคสีขาว (ร้อยละ)
ง่วนเชียง	0.0 ± 0.0
เด็กอ้วน	0.0 ± 0.0
เด็กสมบูรณ์	0.33 ± 2.54
ขุออฟชี	0.0 ± 0.0
บีกซี	2.97 ± 4.83
โลตัส	0.0 ± 0.0
เลมนอนฟาร์ม	86.38 ± 53.32
ศุนย์วิจัยพืชไร่	74.35 ± 54.59
ครัวทอง	84.22 ± 39.24
ช้อนทอง	84.55 ± 17.91

หมายเหตุ : ค่าของข้อมูลแสดงในรูปของค่าเฉลี่ย ± ค่าเบี่ยงเบนมาตรฐาน

4.3 สัดส่วนของแข็งและของเหลวของเด้าเจี้ยวน้ำ

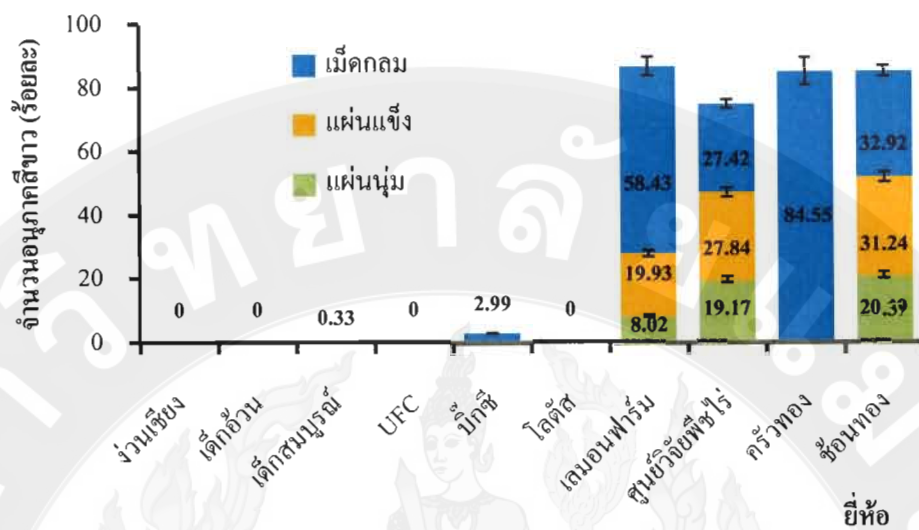
การศึกษาสัดส่วนของแข็งและของเหลวของเด้าเจี้ยวน้ำว่า เด้าเจี้ยวน้ำแต่ละชิ้นห่อ มีสัดส่วนของแข็งคือของเหลวที่แตกต่างกัน (ภาพ 30) โดยเด้าเจี้ยวยี่ห้อ ง่วนเชียง เด็กอ้วน เด็กสมบูรณ์ ศุนย์วิจัยพืชไร่ และครัวทอง มีลักษณะค่อนข้างข้นเล็กน้อยมีการแบ่งแยกชั้นของสัดส่วน ของแข็งและของเหลว ที่ใกล้เคียงกัน ซึ่งปริมาณของแข็งอยู่ในช่วงร้อยละ 34.68-48.18 และ ของเหลวอยู่ในช่วงร้อยละ 52.57-65.32 เด้าเจี้ยวยี่ห้อ UFC บีกซี และโลตัส มีลักษณะค่อนข้าง ข้นมีสัดส่วนของแข็งอยู่ในช่วงร้อยละ 55.28-60.04 และของเหลวอยู่ในช่วงร้อยละ 39.96-44.72 ส่วนเด้าเจี้ยวยี่ห้อ เเลมนอนฟาร์มและช้อนทอง มีลักษณะค่อนข้างข้นมาก มีสัดส่วนของแข็งอยู่ ในช่วงร้อยละ 73.42-71.99 และของเหลวอยู่ในช่วงร้อยละ 26.58-28.01 นอกจากนี้ยังมีข้อมูลของ ยุทธนาและจาڑูณ (2541) กล่าวว่าการที่ดกผลึกอาจเนื่องมาจากการทำเด้าเจี้ยวน้ำที่มีลักษณะ ข้นและการเตรียมวัดถูกต้องที่มีการนึ่งถักให้เหลืองที่ใช้เวลานานและความร้อนสูงเกินไป จนเมล็ดถัก เหลืองมีลักษณะและ



ภาพ 30 สัดส่วนของแข็งและของเหลวในผลิตภัณฑ์เต้าเจี้ยว

4.4 ชนิดและปริมาณของอนุภาคสีขาว

อนุภาคทั้ง 3 ชนิดถูกพบในสัดส่วนที่แตกต่างกัน ขึ้นกับยี่ห้อของเต้าเจี้ยวที่นำมาศึกษา โดยพบว่า เต้าเจี้ยว y ห้องวันเชียง เด็กอ้วน UFC และโลตัส ไม่พบอนุภาคสีขาวเลย ส่วน y ห้อเด็กสมบูรณ์ พบน้อยมากประมาณร้อยละ 0.33 ในขณะที่ y ห้อบิกซี่พบแต่อนุภาคสีขาวชนิดเม็ดเล็กๆ ร้อยละ 2.99 ยี่ห้อเล蒙ฟาร์ม ศูนย์วิจัย และช้อนทอง พบนุภาคสีขาวทั้ง 3 ชนิด แต่ y ห้อเล-มอนฟาร์ม และช้อนทอง พบนุภาคสีขาวชนิดเม็ดเล็กๆ มากที่สุดเท่ากับร้อยละ 58.43 และ 32.92 ตามลำดับ สำหรับ y ห้อครัวทองพบอนุภาคสีขาวชนิดเม็ดเล็กๆ แต่เพียงอย่างเดียว และมีค่าเท่ากับร้อยละ 84.55 (ภาพ 31)

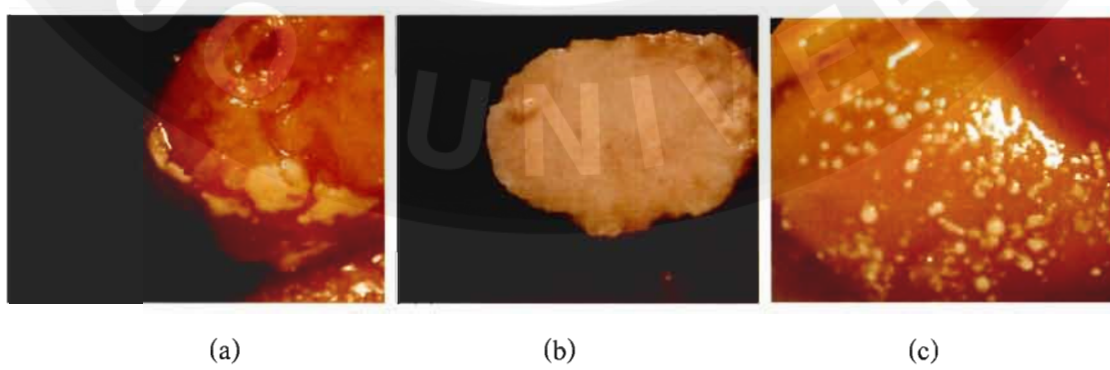


ภาพ 31 สัดส่วนของอนุภาคสีขาวชนิดต่างๆ ที่พบในตัวอย่างเต้าเจี้ยวที่จำหน่ายในห้องตลาด

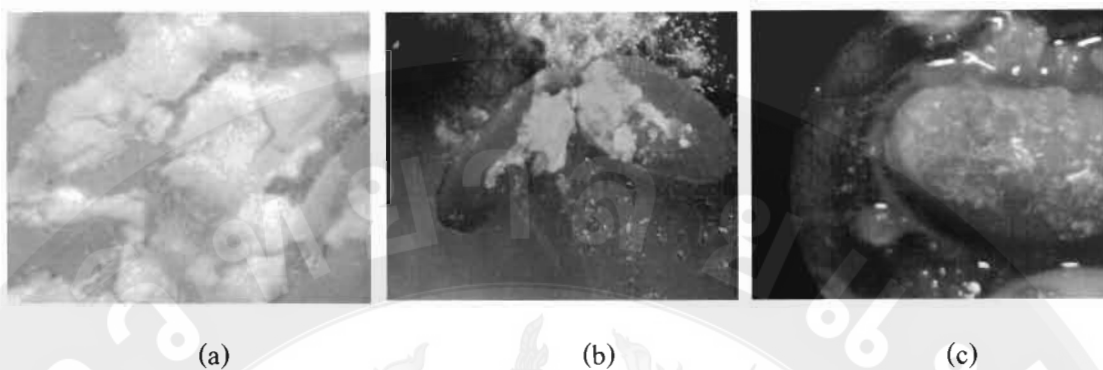
5. การระบุชนิดของอนุภาคสีขาว

5.1 โครงสร้างทางกายภาพของอนุภาคสีขาว

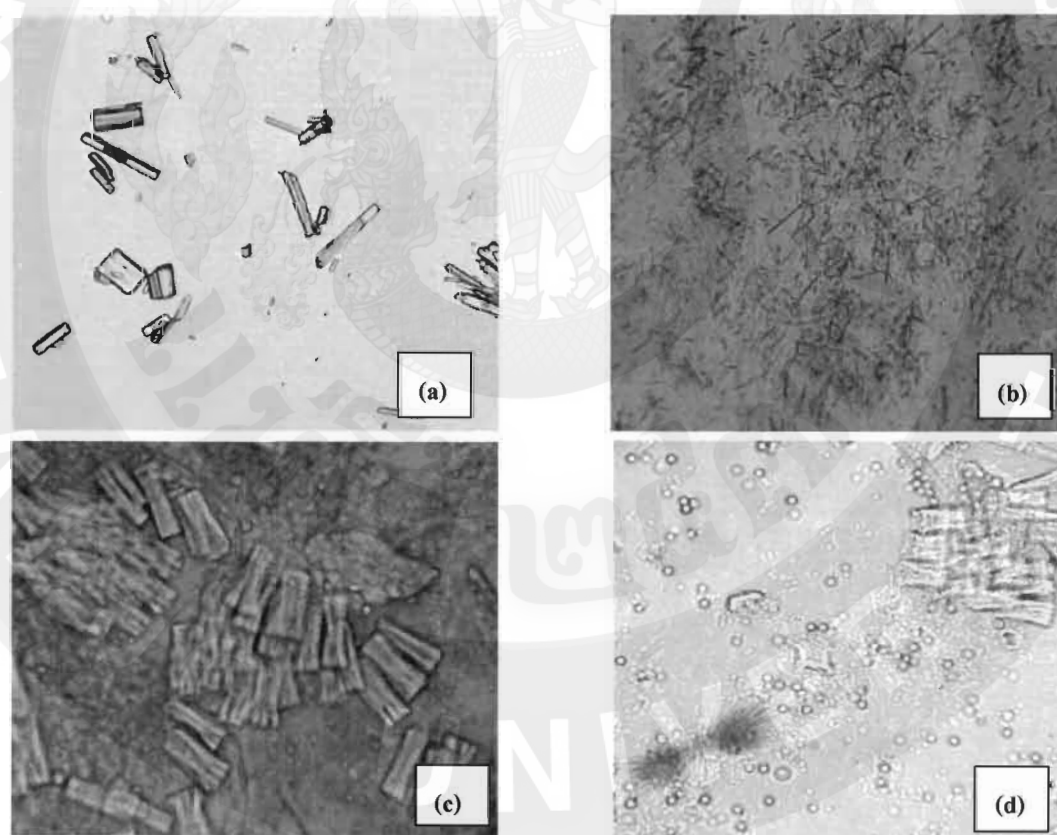
นำอนุภาคสีขาวจากผลิตภัณฑ์เต้าเจี้ยวที่หมักโดยใช้ปริมาณโโคจิร้อยละ 100 50 และ 30 (ภาพ 32) และเต้าเจี้ยวที่วางจำหน่ายห้องตลาดมาศึกษาโครงสร้างทางกายภาพด้วยตาเปล่า และกล้องจุลทรรศน์ชนิด 3 มิติ พบร่วม อนุภาคสีขาวทั้งหมดมีลักษณะที่แตกต่างกันที่เด่นชัด 3 รูปแบบ คือ แบบแผ่นนุ่ม แผ่นแข็ง และเม็ดเล็กๆ อนุภาคสีขาวแบบแผ่นแข็ง และเม็ดเล็กๆ มักเกาะคิดแน่นกับผิวถั่วเหลือง หรือพื้นผิวของบรรจุภัณฑ์ ปริมาณหรือสัดส่วนของอนุภาคสีขาวชนิดต่างๆ ที่พบมีความแตกต่างกัน



ภาพ 32 อนุภาคสีขาวของผลิตภัณฑ์เต้าเจี้ยวปริมาณโโคจิร้อยละ 100 50 และ 30 ภายใต้กล้องจุลทรรศน์ชนิด 3 มิติ (20X): แบบแผ่นนุ่ม (a), แบบแผ่นแข็ง (b) และแบบเม็ดเล็กๆ (c)



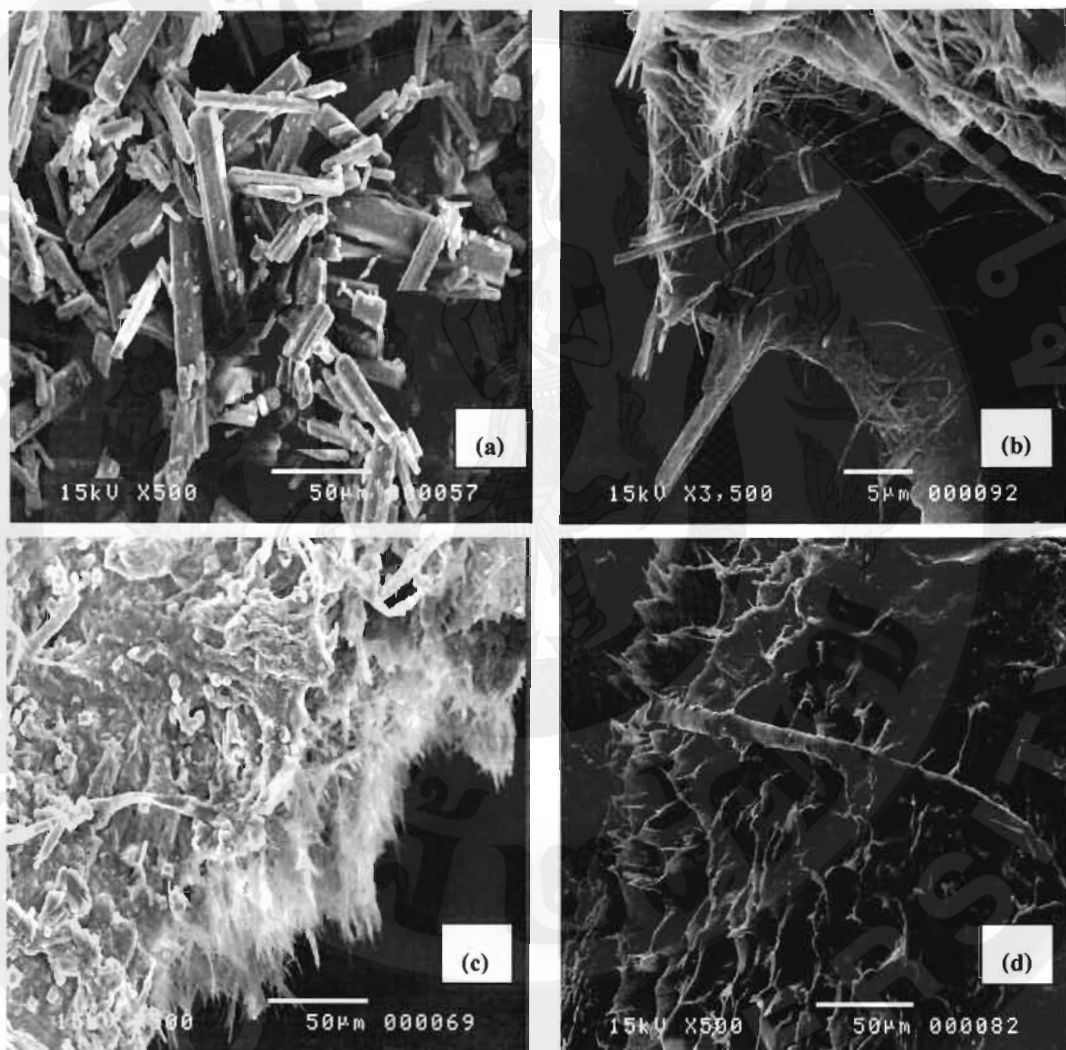
ภาพ 33 อนุภาคสีขาวของเต้าเจี้ยวที่วางจำหน่ายในห้องทดลองภายใต้กล้องจุลทรรศน์ชนิด 3 มิติ (20X): แบบแผ่นนุ่ม (a) แบบแผ่นแข็ง (b) และแบบเม็ดเล็กๆ (c)



ภาพ 34 ผลึกไทโตรเซ็นบริสุทธิ์และอนุภาคสีขาวชนิดต่างๆ ภายใต้กล้องจุลทรรศน์ (40X): ผลึกไทโตรเซ็นบริสุทธิ์ (a) แบบแผ่นนุ่ม (b) แบบแผ่นแข็ง (c) และแบบเม็ดเล็กๆ (d)

โครงสร้างอนุภาคสีขาวภายใต้กล้องจุลทรรศน์ (40X) พบว่าอนุภาคสีขาวแบบแผ่นนุ่ม จะประกอบด้วยผลึกไส้รูปคล้ายเข็มผอมยาวกระจายตัวอยู่ทั่วไป ส่วนอนุภาคสีขาวแบบ

แผ่นแข็ง จะประกอบด้วยพลีกไสรูปท่อนสันๆ รวมตัวกันอยู่ และสำหรับอนุภาคสีขาวชนิดเม็ดเล็กๆ จะประกอบด้วยพลีกไสคล้ายเข็มคมยาว แต่จะรวมตัวกันเป็นมัดๆ อย่างแน่นหนา (ภาพ 34) การพบอนุภาคสีขาวที่แตกต่างกัน 3 ชนิด อาจเนื่องมาจากวิธีการผลิตเต้าเจี๊ยวของแต่ละแหล่งผลิตที่ไม่เหมือนกัน



ภาพ 35 พลีกไสชีนบริสุทธิ์และอนุภาคสีขาวชนิดต่างๆภายในไดกล้องจุลทรรศน์อิเล็กตรอนชนิดส่อง粒光: พลีกไสชีนบริสุทธิ์ (500X) (a), แบบแผ่นนุ่ม(3500X) (b), แบบแผ่นแข็ง (3500X) (c) และแบบเม็ดเล็กๆ (500X) (d)

โครงสร้างอนุภาคสีขาวภายในได้กล้องจุลทรรศน์อิเล็กตรอนแบบส่องกราด (scanning electron microscope: SEM) พบว่า ขนาดของผลึกไทโรซินบริสุทธิ์ (กว้างขวาง) เท่ากับ $10.34-13.22 \times 35.06-127.59$ ในครอง ผลึกของอนุภาคสีขาวชนิดแผ่นนุ่ม (กว้างขวาง) เท่ากับ $0.25-1.17 \times 6.67-13.33$ ในครอง แผ่นแข็ง (กว้างขวาง) เท่ากับ $11.67-12.50 \times 36.67-62.50$ ในครอง และเม็ดเล็กๆ (กว้างขวาง) เท่ากับ $0.75-1.08 \times 0.67-12.08$ ในครอง (ภาพ 35) ลักษณะของผลึกที่พบคล้ายคลึงกับผลึกไทโรซินบริสุทธิ์ และมีลักษณะใกล้เคียงกับผลึกที่พบในรายงานของยุทธนาและชาญรุณี (2541) ที่ระบุว่า พบร ผลึกรูปเข็ม (raphide crystal หรือ fine silky needle) มีขนาดต่อแท่งยาว $25.2-51.5$ ในครอง กว้าง $2.0-2.5$ ในครอง ผลึกชนิดนี้พบเกาะติดแน่นกับเมล็ดถั่วเหลือง และมีเนื้อสัมผัสค่อนข้างนิ่ม และผลึกรูปปริซึมหรือแท่งหรือเข็มอ้วน (prismatic crystal หรือ stout needle) ผลึกชนิดนี้เนื้อสัมผัสค่อนข้างแข็ง มีขนาดต่อแท่งยาว $11.5-12.7$ ในครอง กว้าง $2.7-3.1$ ในครอง ซึ่งพบในเด้าเจี๊ยวของสถาบันวิจัยและฝึกอบรมการเกษตรลำปาง และเด้าเจี๊ยวบี๊ห้ออื่นที่วางจำหน่ายตามท้องตลาด

5.2 การทดสอบแป้งในอนุภาคสีขาว

นำอนุภาคสีขาวทุกชนิดมาทดสอบแป้งด้วยสารละลายไฮโอดีน พบร ว่า อนุภาคสีขาวทั้ง 3 แบบ คือ แบบแผ่นนุ่ม แบบแผ่นแข็ง และแบบเม็ดเล็กๆ ไม่ทำให้แป้งเปลี่ยนเป็นสีน้ำเงิน หรือน้ำด่างชั่งหมายถึงการไม่มีแป้งเป็นส่วนประกอบ

ตาราง 17 ผลการทดสอบแป้งของอนุภาคสีขาว

อนุภาคสีขาว	ผลทดสอบแป้ง
แบบแผ่นนุ่ม	ไม่พบร
แบบแผ่นแข็ง	ไม่พบร
แบบเม็ดเล็กๆ	ไม่พบร

5.3 การทดสอบการละลายในสารละลายกรดไฮโดรคลอริก

นำอนุภาคสีขาวในเด้าเจี๊ยวที่จำหน่ายในท้องตลาด และด้วอย่างผลิตภัณฑ์เด้าเจี๊ยวปริมาณโคจิรือบละ 100 50 และ 30 ไปทดสอบการละลายในสารละลายกรดไฮโดรคลอริก (IN HCl) ผลจากการทดสอบในตาราง 4 พบร ว่า ผลึกไทโรซินบริสุทธิ์ และอนุภาคสีขาวชนิดแผ่นนุ่ม แผ่นแข็ง และเม็ดเล็กๆ ละลายได้ในสารละลายกรดไฮโดรคลอริก ภายในระยะเวลา $3-15-15$ และ 9 นาทีตามลำดับ ณ อุณหภูมิห้อง ยกเว้นผลึกชนิดแผ่นนุ่มที่พบร ว่า ยังมีเศษเหลืออยู่เล็กน้อย

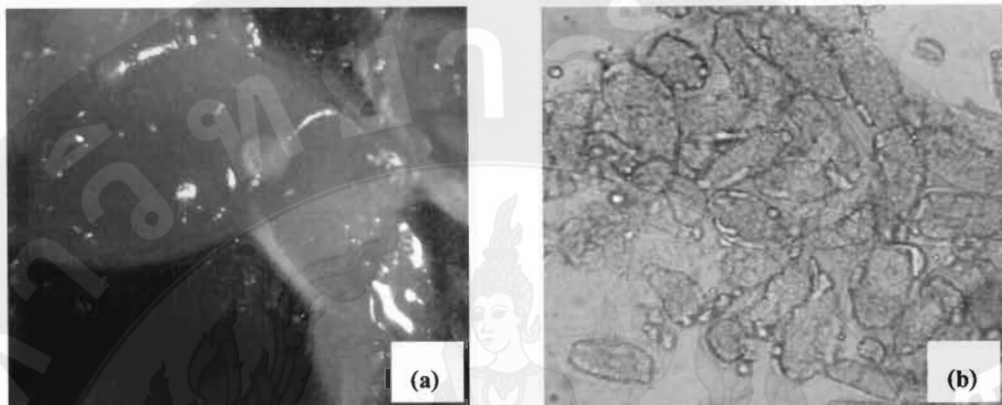
ในน้ำเดือดพบว่า พลีกไทรซินบริสุทธิ์ ละลายได้หมดภายใน 3 นาที อนุภาคสีขาวชนิดแผ่นนุ่ม ละลายได้เกือบหมดใน 15 นาที ชนิดเม็ดเล็กๆ ละลายได้หมดภายใน 9 นาที และแผ่นแข็งละลายได้หมดภายใน 15 นาที แต่ตัวอย่างทั้งหมดไม่ละลายในน้ำบริสุทธิ์ภายในระยะเวลา 15 นาที (ตาราง 18) ซึ่งมีความสอดคล้องกับรายงานของ Flegel (1981); ยุทธนาและชาญณี (2541) ที่พบว่า พลีกสีขาวที่พับในเดือดเข้า ละลายได้ดีใน 1M HCl ที่อุณหภูมิห้อง

ตาราง 18 ความสามารถในการละลายของอนุภาคสีขาว

สิ่งทดสอบ	ตัวทำละลาย	ระยะเวลา (นาที)		
		3	9	15
พลีกไทรซินบริสุทธิ์	น้ำบริสุทธิ์	-	-	-
	น้ำเดือด	+++		
	1N HCl	+++		
อนุภาคสีขาวแบบแผ่นนุ่ม	น้ำบริสุทธิ์	-	-	-
	น้ำเดือด	+	+	++
	1N HCl	+	+	++
อนุภาคสีขาวแบบแผ่นแข็ง	น้ำบริสุทธิ์	-	-	-
	น้ำเดือด	+	+	+++
	1N HCl	+	+	+++
อนุภาคสีขาวแบบเม็ดเล็กๆ	น้ำบริสุทธิ์	-	-	-
	น้ำเดือด	+	+++	
	1N HCl	+	+++	

หมายเหตุ:
 - = ไม่พับ
 + = พับเล็กน้อย
 ++ = พับมาก
 +++ = พับมาก

เมื่อทำการกรองเบเกเศษที่เหลือจากการละลายของอนุภาคสีขาวชนิดแผ่นนุ่ม ไปส่องกล้องจุลทรรศน์พบว่า เป็นเศษเปลือกหุ้มเม็ดถั่ว (ภาพ 36)



ภาพ 36 เศษชิ้นส่วนเปลือกถั่วเหลืองภายใต้กล้องจุลทรรศน์ 3 มิติ (a) และ ภายใต้กล้องจุลทรรศน์ (40X) (b)

5.4 การทดสอบการวัดค่าคุณค่าลีนแสงส่อง.graด

นำผลึกไหโรมีนบริสุทธิ์ และ อนุภาคสีขาวทั้งสามชนิด คือ แผ่นนุ่ม แผ่นแข็ง และเม็ดถั่วๆ ละลาย 1N HCl แล้วนำไปวัดค่าคุณค่าลีนแสงแบบส่อง.graด จากตาราง 5 พบร่วมผลึกไหโรมีนบริสุทธิ์ มีค่าคุณค่าลีนแสง (λ_{max}) เท่ากับ 270 นาโนเมตร ในขณะที่อนุภาคสีขาว ทั้งสามชนิดมีค่าคุณค่าลีนแสง (λ_{max}) เท่ากับ 229 247 และ 259 นาโนเมตร ตามลำดับ (ตาราง 19) ซึ่งมีค่าการคุณค่าลีนแสง (λ_{max}) ในช่วงเดียวกันกับไหโรมีนบริสุทธิ์ และสอดคล้องกับรายงานของบุญนาและจารุณี (2541) ที่พบร่วมผลึกไหโรมีนบริสุทธิ์ 2 ชนิด คือ ผลึกรูปเข็มข้าว และผลึกเข็มอ้วน ซึ่งมีค่าการคุณค่าลีนแสง (λ_{max}) 2 ค่า คือ 223 และ 275 ตามลำดับ และสันนิษฐานว่าเป็นผลึกไหโรมีน

ตาราง 19 ค่าคุณค่าลีนแสง (λ_{max}) ของอนุภาคสีขาว ทดสอบการวัดค่าคุณค่าลีนแสงสูงสุด

สิ่งทดลอง	ค่าคุณค่าลีนแสง (นาโนเมตร)
ผลึกไหโรมีนบริสุทธิ์	270 ± 0.21
อนุภาคสีขาวแผ่นนุ่ม	229 ± 0.51
อนุภาคสีขาวแผ่นแข็ง	247 ± 0.42
อนุภาคสีขาวเม็ดถั่วๆ	259 ± 0.37

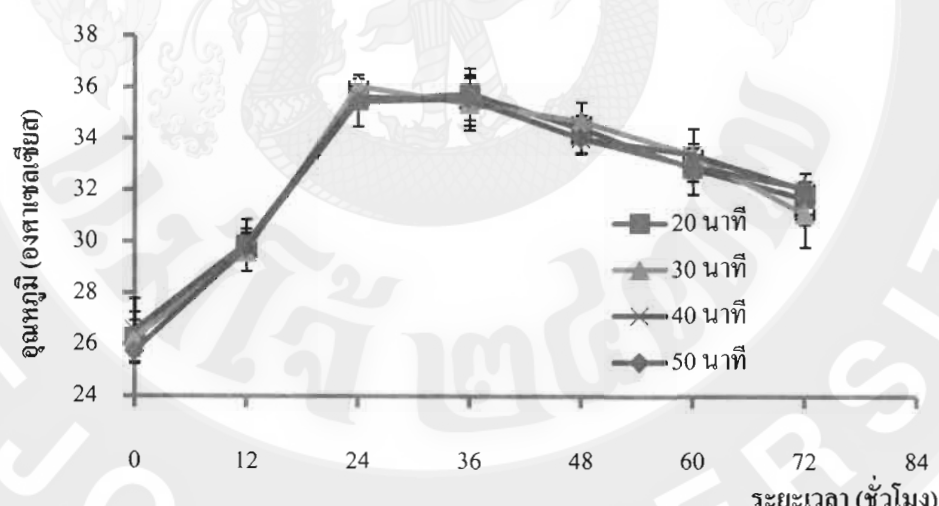
หมายเหตุ : ค่าของข้อมูลแสดงในรูปของค่าเฉลี่ย \pm ค่าเบี่ยงเบนมาตรฐาน

ตอนที่ 2 การผลิตเต้าเจี้ยวสารสกัดน้ำอ้อย

1. การเตรียมโภชนาการข้าวเหนียว

1.1 ระยะเวลาในการนึ่งข้าวเหนียวที่มีผลต่อสมบัติโภชนาการ

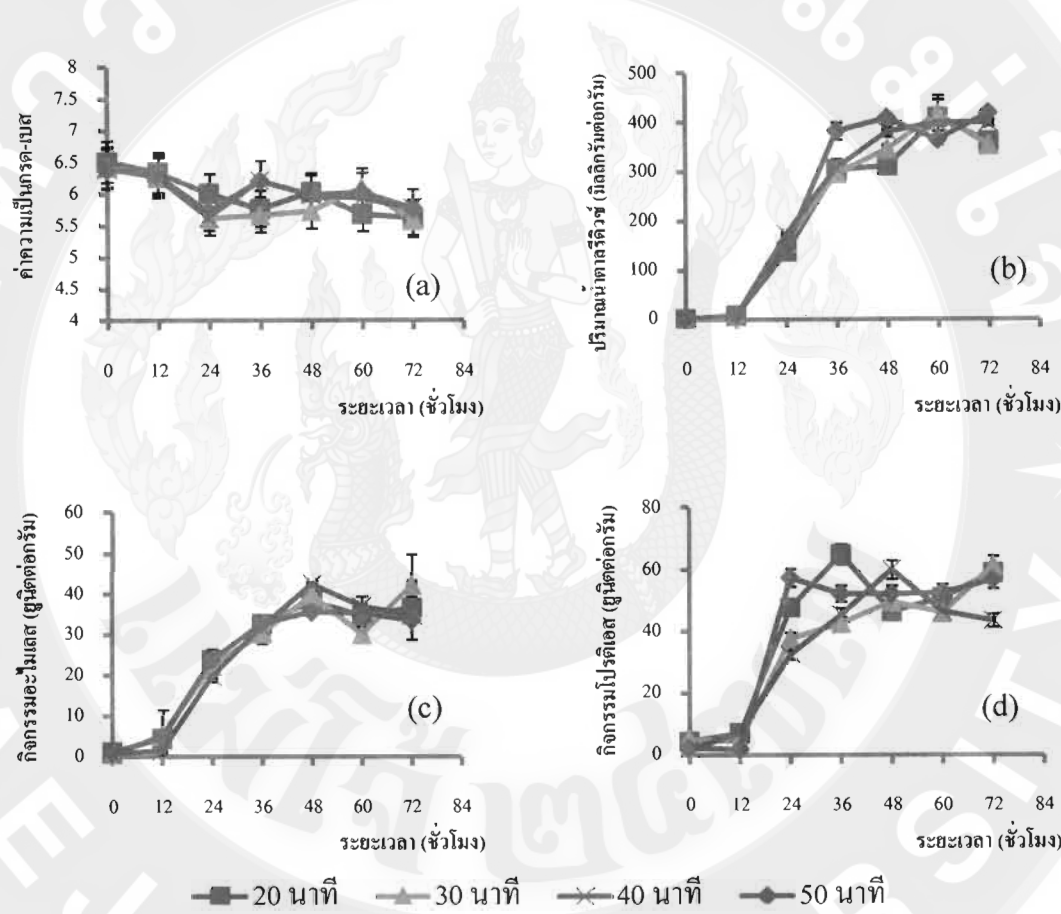
จากการนำข้าวเหนียวไปนึ่งให้สุกนาน 20 30 40 และ 50 นาที รวม 4 ทรีเมนท์ แล้วคุณภาพสปอร์ของรา *A. oryzae* M-01 ปริมาณร้อยละ 0.1 ของน้ำหนักข้าวเหนียวแห้ง พนว่ารานี รูปแบบการเจริญที่คล้ายคลึงกันในทุกทรีเมนท์ โดยที่สปอร์ร่าเริ่มออกเส้นไขจันมีขนาดที่สามารถสังเกตเห็นได้ด้วยตาเปล่าภายใน 12 ชั่วโมง และดำเนินกิจกรรมการเจริญอย่างต่อเนื่องจนถึงชั่วโมงที่ 24 เส้นไขของราจะมีปริมาณเพิ่มขึ้นจนเห็นเป็นปุ่มสีขาวปุกคุลมเมล็ดข้าวเกือบจะทั้งหมด เส้นไขจะเจริญและเริ่มน้ำอุดมขึ้นจนสร้างสปอร์ใหม่ขึ้นมา ทำให้มองเห็นเป็นหย่อนสีเหลือง กระจายตัวอยู่ในกองโภชนาการชั่วโมงที่ 36 หลังจากนี้การสร้างสปอร์ยังคงดำเนินต่อไปจนกระทั่งสุดการหมักในช่วงเวลาดังกล่าว สปอร์บางส่วนเริ่มเปลี่ยนเป็นสีเขียวเหลือง และเปลี่ยนเป็นสีเขียวเข้มทั้งหมดในที่สุด ซึ่งหมายถึงรามีอุดมแก่เติมที่แล้ว การเจริญของราส่งผลต่อการเปลี่ยนแปลงสมบัติของโภชนาการ



ภาพ 37 การเปลี่ยนแปลงของอุณหภูมิในโภชนาการที่ใช้ข้าวเหนียวที่ผ่านการนึ่งในเวลาที่แตกต่างกัน

ซึ่งมีผลจากการทดลอง (ภาพ 37) พนว่า โภชนาการทุกทรีเมนท์มีรูปแบบการเปลี่ยนแปลงของอุณหภูมิที่เป็นไปในทิศทางเดียวกัน คือ อุณหภูมิจะเพิ่มขึ้นแบบพื้นตามระยะเวลาการบ่มโภชนาการ 24 ชั่วโมงแรก และมีค่าใกล้เคียงกัน ค่าอุณหภูมิสูงสุดที่วัดได้ประมาณ 36.03 องศาเซลเซียส หลังจากนั้นอุณหภูมิในกองโภชนาการจะเริ่มลดลง การเพิ่มขึ้นของอุณหภูมิในกองโภชนาการเกิดขึ้นเนื่องจากกิจกรรมการเจริญของรา *A. oryzae* M-01 ดังที่กล่าวมาแล้วในตอนต้น ในช่วงเวลาที่รากลังเจริญ จะมีการผลิตความร้อนออกมามาก อันสืบเนื่องมาจากกระบวนการหายใจแบบใช้อากาศ

อุณหภูมิตรงบริเวณผิวน้ำแข็ง โโคจิจะมีค่าไกล์เคียงกับอุณหภูมิห้อง เนื่องจากความร้อนสามารถถ่ายเทให้แก่บรรยายภายนอกได้โดยตรง แต่ในทางตรงกันข้าม อุณหภูมิกายในแผ่น โโคจิกลับมีค่าสูงขึ้นกว่าสภาพแวดล้อมภายนอก เนื่องจากความร้อนภายในแผ่น โโคจิเคลื่อนที่ออกสู่บริเวณพื้นผิวได้ลำบากกว่า ด้วยสาเหตุนี้จึงทำให้อุณหภูมิกายในแผ่น โโคจิสูงขึ้น โดยลำดับ ซึ่งสอดคล้องกับการเจริญของรา



ภาพ 38 การเปลี่ยนแปลงทางเคมีของโโคจิที่ใช้ที่ใช้ข้าวเหนียวที่ผ่านการนึ่งในเวลาที่แตกต่างกัน:
ค่าความเป็นกรด-เบส (a) ปริมาณน้ำตาลรีดิวช์ (b) กิจกรรมอะไมแลส (c) และ กิจกรรมโปรตีโอส (d)

การเปลี่ยนแปลงที่เกิดขึ้นกับโโคจิ ผลดังภาพ 1 พ布ว่าค่าความเป็นกรด-เบสของโโคจิที่หนักจากข้าวเหนียวที่นึ่งสุกนานตั้งแต่ 30 นาที เป็นต้นไป ลดลงอย่างรวดเร็วภายในระยะเวลา 24 ชั่วโมงแรกของการหมัก โดยมีค่าต่ำสุดเท่ากับ 5.62 5.64 และ 5.72 ตามลำดับ ในขณะที่ข้าวเหนียวที่นึ่งนาน 20 นาที ค่าต่ำสุดที่พบเท่ากับ 5.76 จะเกิดขึ้นภายในระยะเวลา 36 ชั่วโมง (ภาพ 38a) การ

ลดลงของค่าความเป็นกรด-เบสตังกล่าว อาจเป็นผลเนื่องมาจากการดีอกิจิก (kojic acid) ที่รา *A. oryzae* M-01 ผลิตขึ้นในระหว่างการเจริญ

การเปลี่ยนแปลงปริมาณน้ำตาลรีดิวช์ของโคจิ จะเกิดขึ้นในช่วงแรกของการหมักที่ 0-12 ชั่วโมง สำหรับการทดลองทุกทรีทเม้นท์ เนื่องจากตราเริ่มมีการเจริญและสร้างเอนไซม์ อะไมเลส ออกมาย่อยแป้งให้กลายเป็นคาร์บอไฮเดรทที่มีโมเลกุลเล็กลง และน้ำตาลรีดิวช์ เพื่อใช้เป็นแหล่งคาร์บอนในการเจริญเติบโต ปริมาณน้ำตาลรีดิวช์จะเพิ่มขึ้นอย่างต่อเนื่องจนถึงค่าสูงสุดที่ 408.2 416.85 และ 398.39 มิลลิกรัมต่อกิโลกรัม ในช่วง 20-30 นาที ตามลำดับ ส่วนระยะเวลาการนึ่งข้าวเหนียวนาน 50 นาที จะให้ปริมาณน้ำตาลรีดิวช์สูงสุดเท่ากับ 417.38 มิลลิกรัมต่อกิโลกรัม เมื่อสิ้นสุดการหมักโคจินาน 72 ชั่วโมง(ภาพ 38b)

กิจกรรมอะไเมเลสของโคจิมีแนวโน้มเพิ่มขึ้นสอดคล้องกับปริมาณน้ำตาลรีดิวช์ที่พน เนื่องจากสร้างอะไเมเลสเพื่อย่อยสลายแป้งที่เป็นสับสเตรท ให้เป็นน้ำตาลรีดิวช์เพื่อใช้ในกิจกรรมการเจริญ โดยกิจกรรมอะไเมเลสมีค่าสูงสุดเท่ากับ 38.59 42.64 และ 36.49 ยูนิตต่อกิโลกรัม ในระยะเวลาการบ่มโคจินาน 48 ชั่วโมง ตามลำดับ สำหรับข้าวเหนียวที่นึ่งนาน 20 40 และ 50 นาที และมีค่าสูงสุดเท่ากับ 40.89 ยูนิตต่อกิโลกรัม สำหรับข้าวเหนียวที่นึ่งนาน 30 นาที (ภาพ 38c) ผลลัพธ์ที่ได้มีค่าใกล้เคียงกับรายงานของ Paranthaman (2009) ที่จากการคัดเลือกราที่เหมาะสมในการทำโคจิข้าว พบว่ารา *A. oryzae* มีกิจกรรมเอนไซม์อะไเมเลสสูงถึง 33.47 ยูนิตต่อกิโลกรัม เมื่อเทียบกับราสายพันธุ์อื่น นอกจาคนี้ อุณหภูมิของโคจิประมาณ 36 องศาเซลเซียส ยังเหมาะสมต่อการผลิตอะไเมเลสอีกด้วย ซึ่งสอดคล้องกับงานวิจัยของ Wood (1998) ที่อ้างว่าอุณหภูมิที่สูงกว่า 35 องศาเซลเซียส จะทำให้รา *A. oryzae* ผลิตอะไเมเลสได้ดี

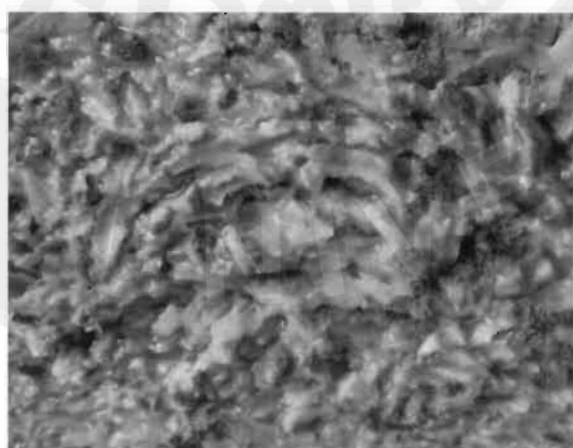
กิจกรรมโปรตีอีอสของโคจิมีรูปแบบการเปลี่ยนแปลงคล้ายคลึงกับกิจกรรมอะไเมเลส โดยกิจกรรมอะไเมเลสมีค่าสูงสุดเท่ากับ 64.74 61.11 59.79 และ 57.27 หน่วยต่อกิโลกรัม ในระยะเวลาการบ่มโคจินาน 36 72 48 และ 24 ชั่วโมง สำหรับข้าวเหนียวที่นึ่งนาน 20 30 40 และ 50 นาที ตามลำดับ (ภาพ 38d) อุณหภูมิของโคจิยังมีค่าใกล้เคียงกับอุณหภูมิสูงสุดที่รา ยังคงสามารถสร้างโปรตีอสได้ดี จากการศึกษาของ Wood (1998) ระบุว่าอุณหภูมิช่วง 20-35 องศาเซลเซียส จะส่งเสริมให้รา *A. oryzae* เกิดการสร้างโปรตีอสได้ดี กิจกรรมโปรตีอสที่ได้มีค่าใกล้เคียงกับรายงานของ Paranthaman (2009) ที่กล่าวว่ารา *A. oryzae* ให้กิจกรรมเอนไซม์โปรตีอสสูงสุดเท่ากับ 67.7 ยูนิตต่อกิโลกรัม ภายในระยะเวลา 96 ชั่วโมง ที่การบ่ม ณ อุณหภูมิ 35 องศาเซลเซียส

นำผลการนึ่งข้าวเหนียวที่เวลา 40 นาที ไปทดลองในขั้นตอนต่อไป เนื่องจากเป็นสภาพที่อะไเมเลสและโปรตีอีอสมีค่าสูงที่สุด และภายในระยะเวลา 48 ชั่วโมง

1.2 ความหนาของข้าวเหนียวที่มีผลต่อสมบัติโภชิ

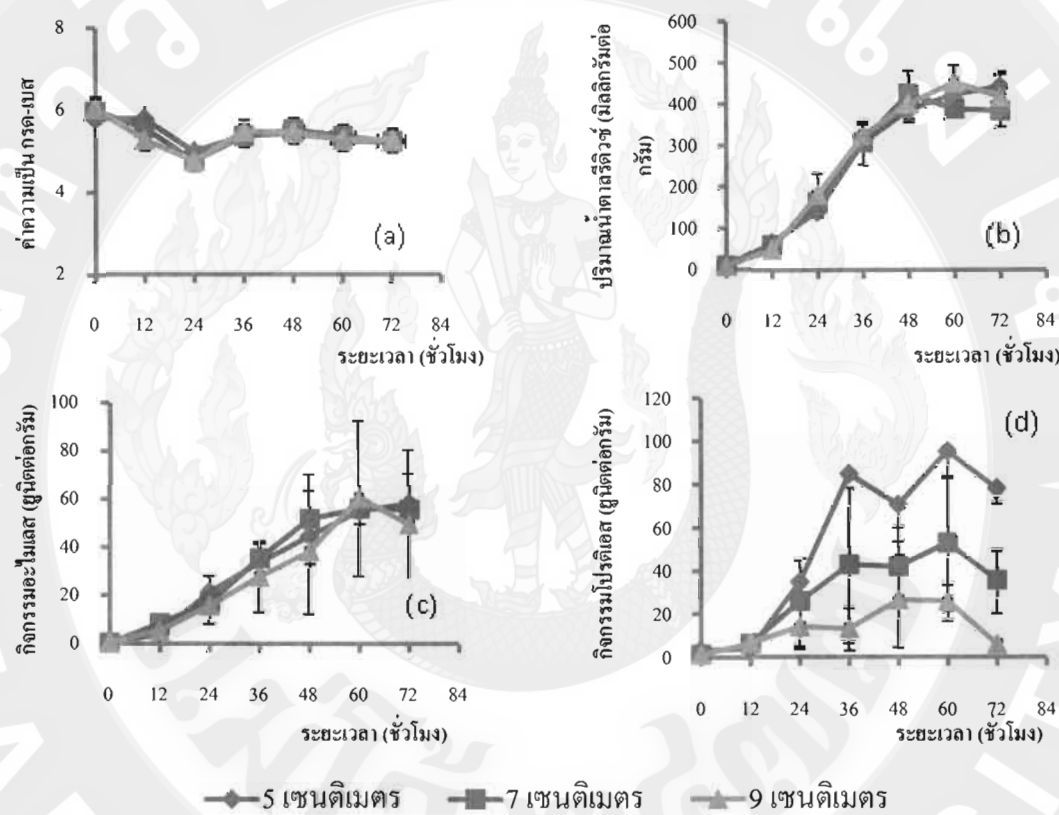
การหมักโภชิที่มีความหนาของข้าวเหนียวที่ระดับ 5, 7 และ 9 เซนติเมตร พบว่า การเปลี่ยนแปลงของอุณหภูมิกายในโภชิเป็นไปในลักษณะคล้ายกันทุกทรีเมนท์ คือ อุณหภูมิจะเพิ่มขึ้นแปรผันตามระยะเวลาการบ่ม โภชิในช่วง 24-48 ชั่วโมงแรก อุณหภูมิสูงสุดที่วัดได้เมื่อ 36 ชั่วโมง มีค่าประมาณ 37.25 40.33 และ 41.98 องศาเซลเซียส ตามลำดับ หลังจากนั้นอุณหภูมิในกองโภชิจึงเริ่มลดลง (ภาพ 39) การเพิ่มขึ้นของอุณหภูมิในกองโภชิ เกิดขึ้นเนื่องจากกิจกรรมการเจริญของรา *A. oryzae* M-01 ดังที่กล่าวมาแล้วในตอนต้น ความหนาของโภชิตั้งแต่ 7 เซนติเมตรขึ้นไป จะเป็น อุปสรรคต่อการถ่ายเทความร้อนที่สะสมอยู่ภายใน ทำให้อุณหภูมิของโภชิสูงประมาณ 40-41 องศาเซลเซียส ซึ่งอาจส่งผลต่อโอกาสการเกิดการปนเปื้อนของราและแบคทีเรียที่ชอบอุณหภูมิสูง สำหรับโภชิที่มีความหนา 5 เซนติเมตร การถ่ายเทอุณหภูมิจะเป็นไปอย่างรวดเร็วกว่า เนื่องจากระยะทางการเคลื่อนที่ของความร้อนสั้นกว่าความหนาที่ระดับอื่น นอกจากนี้ยังปล่อยให้อากาศได้แทรกตัวอยู่ในบริเวณช่องว่างของข้าวเหนียว ทำให้รา *A. oryzae* M-01 เจริญได้อย่างทั่วถึง

จากรายงาน (Ghildyal et al, 1994; Sangsurasak and Mitchell, 1995; Mitchell et al., 1999) เนื่องจากปฏิกิริยาส่วนใหญ่เป็นปฏิกิริยาควบคุมร้อน การจัดเรียงตัวของเชื้อกายในเบคค่อนข้างหนาแน่น จึงส่งผลต่อการถ่ายเทความร้อนเป็นไปได้ยาก บางครั้งอุณหภูมิในถังแพคเบคตรงส่วนบนอาจสูงกว่าอุณหภูมิของอากาศมากกว่า 20 องศาเซลเซียส (Ashley V.M. et al., 1999) ทำให้การทำงานของจุลินทรีย์ลดลงหรือตายได้ (มณีรัตน์, 2541) เช่น รา *A. oryzae* ต้องการอุณหภูมิในการเจริญประมาณ 30-35 องศาเซลเซียส (Biesebede R.T. et al., 2002)



ภาพ 39 การเจริญของรา *A. oryzae* M-01 ในโภชิข้าวเหนียวอายุ 72 ชั่วโมง ความหนา 5 เซนติเมตร(ภาพตัดขวาง)

การเปลี่ยนแปลงที่เกิดขึ้นกับโโคจิ พบว่าค่าความเป็นกรด-เบสของโโคจิที่หมักจากข้าวเหนียวลดลงอย่างรวดเร็วภายในระยะเวลา 24 ชั่วโมงแรกของการหมัก โดยมีค่าต่ำสุดเท่ากับ 5.00 4.77 และ 4.77 ตามลำดับ (ภาพ 40 a) และมีแนวโน้มเพิ่มขึ้นหลังจากนั้น แต่ยังมีค่าต่ำกว่าช่วงเริ่มต้น โดยมีค่าเท่ากับ 5.20 5.23 และ 5.27 ตามลำดับ



ภาพ 40 การเปลี่ยนแปลงทางเคมีของเต้าเจี้ยวในระหว่างการหมักโดยโโคจิที่หมักด้วยโโคจิข้าวเหนียว ที่มีความหนาแตกต่างกัน: ค่าความเป็นกรด-เบส (a) ปริมาณน้ำตาลรีดิวช์ (b) กิจกรรมอะไมเลส (c) และกิจกรรมโปรตีอีส (d)

การเปลี่ยนแปลงปริมาณน้ำตาลรีดิวช์ของโโคจิ จะเกิดขึ้นภายในระยะเวลา 12 ชั่วโมงแรกของการหมัก อัตราการเกิดน้ำตาลรีดิวช์จะเป็นไปอย่างรวดเร็วจนกระทั่งชั่วโมงที่ 36 แล้วจึงค่อย ๆ มีค่าลดลงเล็กน้อยจนสิ้นสุดการหมักที่ชั่วโมงที่ 72 ปริมาณน้ำตาลรีดิวช์สูงสุดที่ได้จะมีค่าเท่ากับ 438.53 421.15 และ 448.57 มิลลิกรัมต่อกรัม เมื่อเวลาการหมักผ่านไป 72 48 และ 60 ชั่วโมง สำหรับความหนาของโโคจิ เท่ากับ 5 7 และ 9 เซนติเมตร ตามลำดับ (ภาพ 40 b) การ

เปลี่ยนแปลงกิจกรรมอะไรมे�สของโภชทุกทรีทเม้นท์เกิดขึ้นใน 12 ชั่วโมงแรก และดำเนินต่อไปจนมีค่าสูงสุดเท่ากับ 58.01 55.47 และ 60.29 หน่วยต่อกรัม เมื่อโภชมีอายุได้ 72 60 และ 60 ชั่วโมง สำหรับโภชหนา 5 7 และ 9 เซนติเมตร ตามลำดับ (ภาพ 40c) ซึ่งอาจเป็นผลเนื่องมาจากอุณหภูมิของโภชทั้งสองทรีทเม้นท์หลังที่สูงกว่า 35 องศาเซลเซียส คือมีค่าเท่ากับ 38.08 และ 39.73 องศาเซลเซียส ซึ่งหมายความต่อการสร้างอะไรมे�สของรา *A. oryzae* (Wood, 1998)

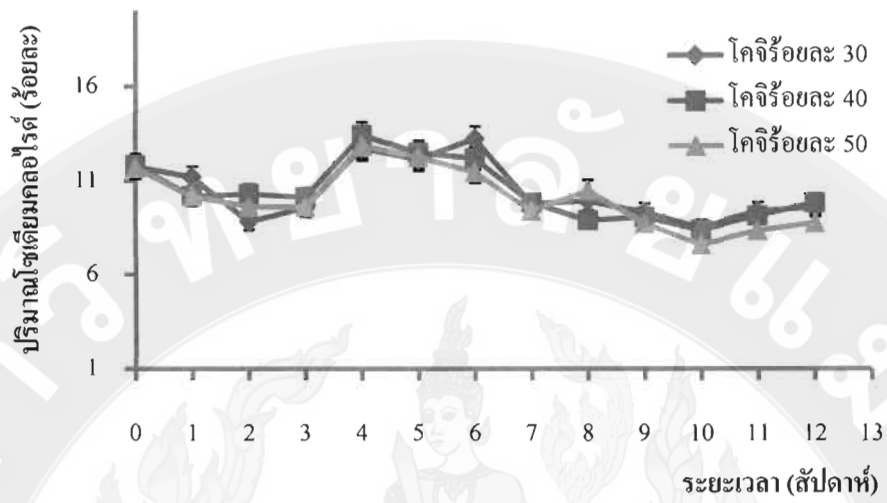
การเปลี่ยนแปลงกิจกรรมโปรดีอสของโภชทุกทรีทเม้นท์เกิดขึ้นอย่างรวดเร็วใน 24 ชั่วโมงแรก และดำเนินต่อไปจนมีค่าสูงสุดเท่ากับ 95.06 52.80 และ 26.22 หน่วยต่อกรัม เมื่อโภชมีอายุได้ 60 60 และ 48 ชั่วโมง สำหรับโภชหนา 5 7 และ 9 เซนติเมตร ตามลำดับ (ภาพ 40d) การที่โภชหนา 5 เซนติเมตร ให้ค่ากิจกรรมโปรดีอสสูงมากกว่าความหนาที่ระดับอื่น อาจเป็นผลเนื่องมาจากอุณหภูมิของโภชที่ต่ำกว่า 35 องศาเซลเซียส คือมีค่าเท่ากับ 33.27 องศาเซลเซียส ซึ่งหมายความต่อการสร้างโปรดีอสของรา *A. oryzae* (Wood, 1998)

จากการทดลองที่กล่าวมาได้คัดเลือกวิธีการเตรียมโภชโดยการใช้ความหนาของชั้นข้าวเหนียว 5 เซนติเมตร และทำการหมักนาน 60 ชั่วโมง เพื่อทำการทดลองในขั้นตอนต่อไป

2. การหมักโนโรมิ

2.1 ปริมาณโภชที่หมายความต่อการหมักโนโรมิ

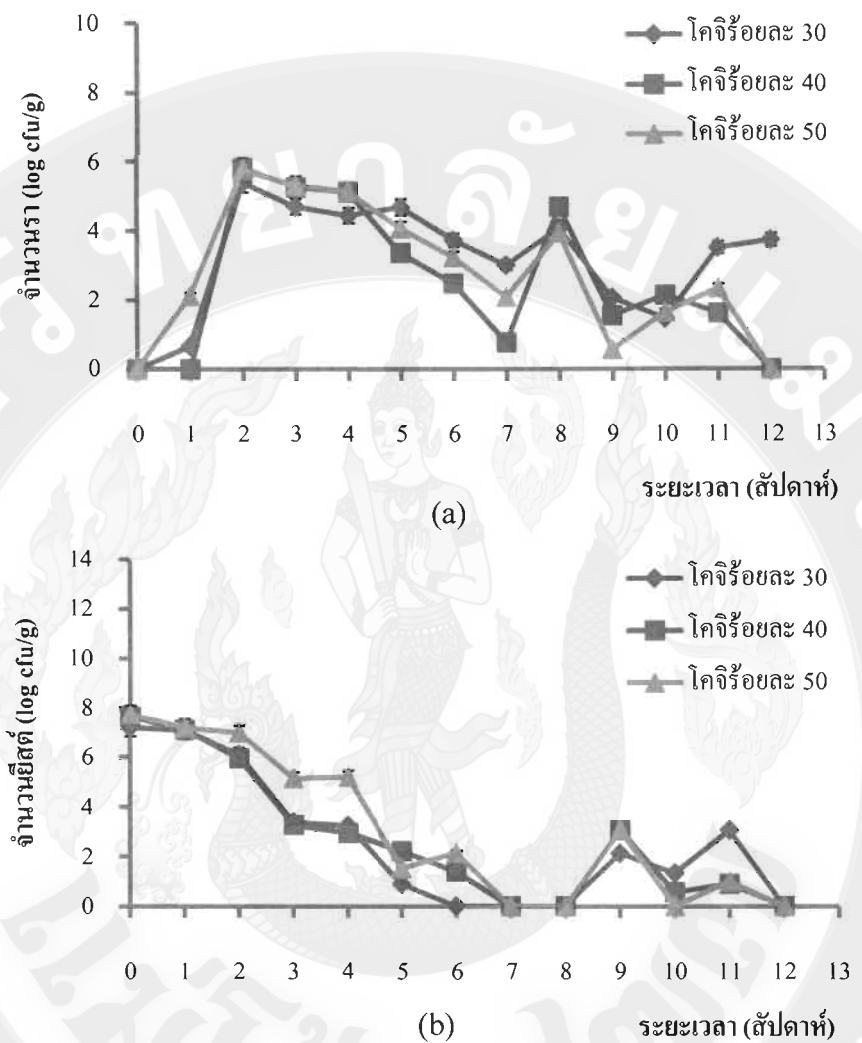
การหมักโภชผสมกับถั่วเหลืองต้มสุกในสัดส่วนร้อยละ 30 40 และ 50 โดยน้ำหนัก ในน้ำเกลือที่มีความเข้มข้นร้อยละ 18 บ่มที่อุณหภูมิห้องนาน 12 สัปดาห์ พบร่วงปริมาณโซเดียมคลอไรด์ในช่วงระยะเวลา 1-3 สัปดาห์แรก มีค่าลดลงจากร้อยละ 11 เหลือประมาณร้อยละ 9-10



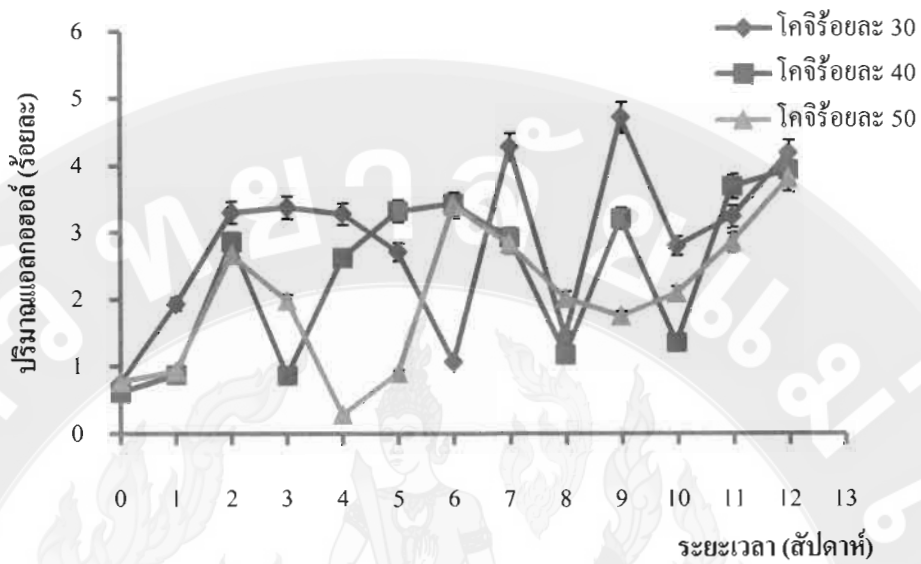
ภาพ 41 การเปลี่ยนแปลงของปริมาณโซเดียมคลอไรด์ในระหว่างการหมักโนโรมิที่ใช้โคจิข้าวเหนียวในปริมาณที่แตกต่างกัน

หลังจากนั้นโซเดียมคลอไรด์กลับมีปริมาณเพิ่มขึ้นร้อยละ 12 ในสัปดาห์ที่ 4-6 ก่อนที่จะมีค่าลดลงอีกครั้งหนึ่งในช่วงสุดท้ายของการหมักโดยมีค่าเท่ากับ 9.55 9.81 และ 8.74 ตามลำดับ (ภาพ 41)

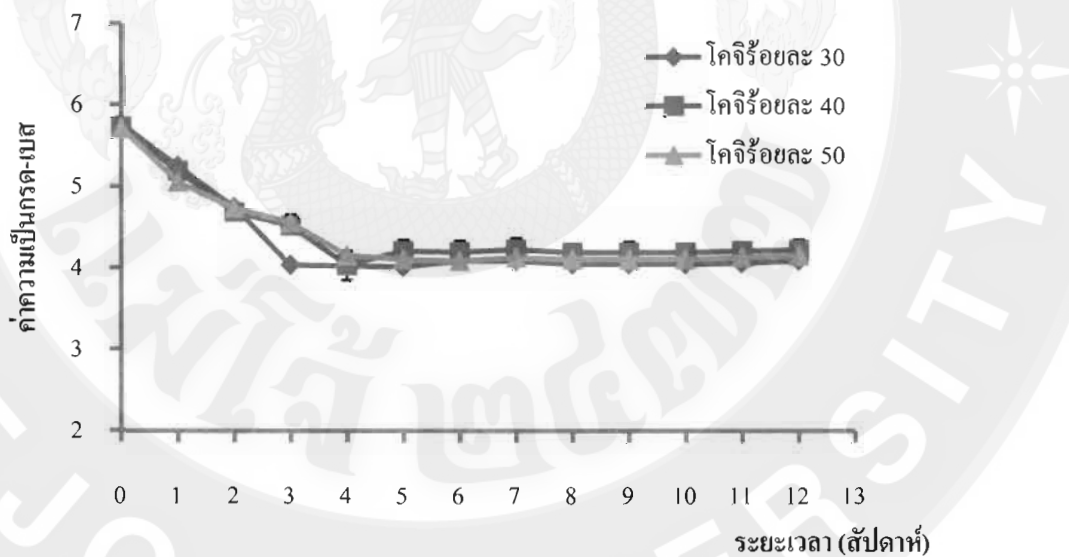
เนื่องจากการหมักในช่วงแรก ถ้าเหลืองต้มสุกและโคจิได้สูญเสียความชื้นบางส่วนให้กับน้ำเกลือเนื่องจากแรงดันอսโมติก (osmotic pressure) ที่ต่ำกว่า น้ำส่วนที่ถูกดูดซึมออกมานะจะทำให้ความเข้มข้นของโซเดียมคลอไรด์ในน้ำเกลือลดลงในช่วงระยะเวลาหนึ่ง และเมื่อกิจกรรมของจุลินทรีย์ยังคงดำเนินต่อไป โดยเฉพาะยีสต์ที่ก่อให้เกิดการหมักอัลกอฮอล์ (ภาพ 42b) พนว่าปริมาณอัลกอฮอล์มีแนวโน้มเพิ่มขึ้นบันทึกแต่สัปดาห์แรกของการหมัก (ภาพ 43)



ภาพ 42 การเปลี่ยนแปลงของจำนวนจุลินทรีย์ในระหว่างการหมักไม้โรมที่ใช้โคจิข้าวเหนียวในปริมาณที่แตกต่างกัน: ยีสต์ (a) และรา (b)



ภาพ 43 การเปลี่ยนแปลงของปริมาณอัลกอฟอล์ในระหว่างการหมักโนโรมิที่ใช้โคจิข้าวเหนียวในปริมาณที่แตกต่างกัน

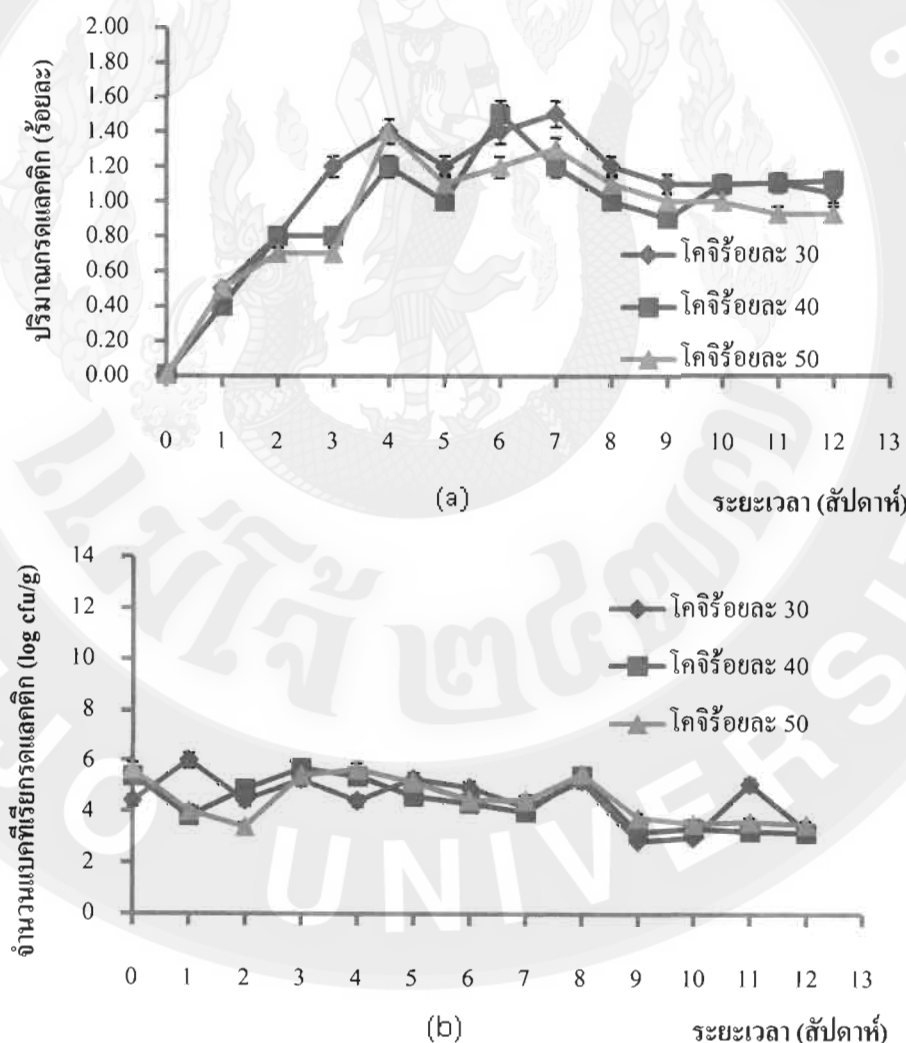


ภาพ 44 การเปลี่ยนแปลงของค่าความเป็นกรด-เบสในระหว่างการหมักโนโรมิที่ใช้โคจิข้าวเหนียวในปริมาณที่แตกต่างกัน

การเกิดอัลกอฟอล์ เป็นส่วนหนึ่งของการหมักอย่างแบบไม่ใช้อากาศของบีสต์ จึงส่งผลทำให้บีสต์ผลิตกําชาร์บอนไดออกไซด์ และความร้อนจำนวนมาก ซึ่งเพียงพอต่อการผลักดันน้ำบางส่วนในระบบให้ระเหยออกสู่บรรยายอากาศยก ทำให้โซเดียมคลอไรด์มีความเข้มข้นเพิ่มขึ้น (ภาพ 43) หลังจากนั้นโซเดียมคลอไรด์จำนวนหนึ่งในน้ำเกลือจะถูกดูดซึมเข้าสู่

ภายในเมล็ดถั่วเหลืองเป็นส่วนใหญ่ และมีส่วนน้อยที่เข้าสู่เมล็ดข้าวเหนียวที่ในขณะนี้กล้ายังคงเป็นของกึ่งแข็งกึ่งเหลว

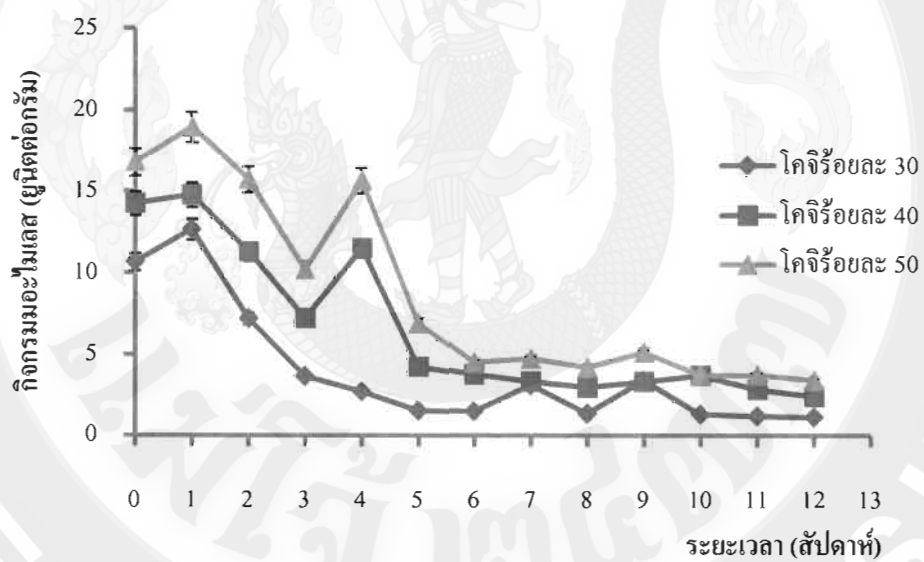
สำหรับราพนว่ามีการเจริญที่ลดลงตามลำดับ เนื่องจากสปอร์ราจำนวนมากไม่สามารถทนความเข้มข้นของน้ำเกลือที่สูงได้ และเจริญได้อย่างลำบากในสภาพแวดล้อมที่เป็นของเหลว โดยเฉพาะของเหลวที่มีความเข้มข้นของโซเดียมคลอไรด์ในปริมาณสูง ซึ่งแตกต่างจากยีสต์ที่ทนเกลือที่มีการเจริญที่ดีกว่า เนื่องจากเต้าเจี้ยวมีค่าความเป็นกรด-เบสที่ลดลง (ภาพ 44) จึงทำให้มีสภาพที่เหมาะสมต่อการเจริญของยีสต์



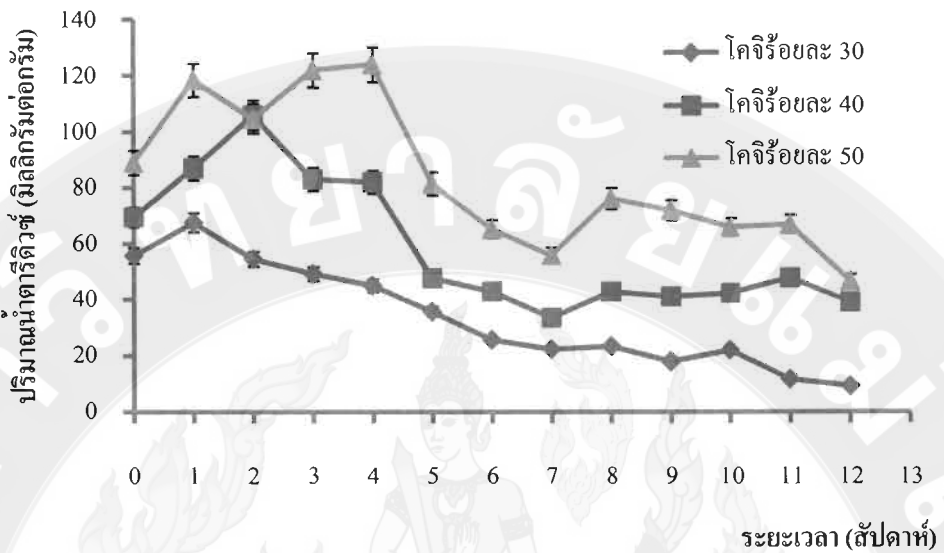
ภาพ 45 การเปลี่ยนแปลงของปริมาณกรดแลคติกและปริมาณแบคทีเรียกรดแลคติกในระหว่างการหมักโนโรมิที่ใช้โคจิข้าวเหนียวในปริมาณที่แตกต่างกัน: ปริมาณกรดแลคติก (a) และปริมาณแบคทีเรียกรดแลคติก (b)

ค่าความเป็นกรด-เบสที่ลดลงนี้ เป็นผลเนื่องจากแบคทีเรียกรดแลคติกที่มีการเพิ่มจำนวนอย่างมาก โดยเฉพาะในช่วง 1-8 สัปดาห์แรกของการหมักโไม่โรมิ (ภาพ 45) ทำให้เกิดการผลิตกรดแลคติกออกมายังเต้าเจียว (ภาพ 46) ปริมาณกรดแลคติกที่สะสม

กิจกรรมอะไเมเลสเกิดการเปลี่ยนแปลงตลอดระยะเวลาของการหมักโไม่โรมิ พบว่าอะไเมเลสที่เกิดขึ้นในขั้นตอนการหมักโคลิ ยังคงหลงเหลืออยู่ในขั้นตอนการหมักโไม่โรมิ ทำให้สามารถตรวจพบกิจกรรมดังกล่าวได้นับตั้งแต่สัปดาห์ที่ 0 แล้วมีแนวโน้มลดต่ำลงตลอดช่วงระยะเวลาของการหมัก (ภาพ 46) เนื่องจากความเข้มข้นของโซเดียมคลอไรด์ในเต้าเจียวมีค่าสูงมาก อะไเมเลสที่ยังคงมีกิจกรรมอยู่จะทำการย่อยแป้งในถัวเหลืองและในข้าวเหนียวให้ลายเป็นคราบใบไช่เครทที่มีโมเลกุลสั้นลง และนำต้าลารีดิวช์จำนวนหนึ่ง (ภาพ 47) ต้าลารีดิวช์ส่วนหนึ่งจะถูกใช้ไปในการเริญของจุลินทรีย์ในเต้าเจียว ทำให้มีค่าลดลงโดยลำดับจนสิ้นสุดอายุการหมัก

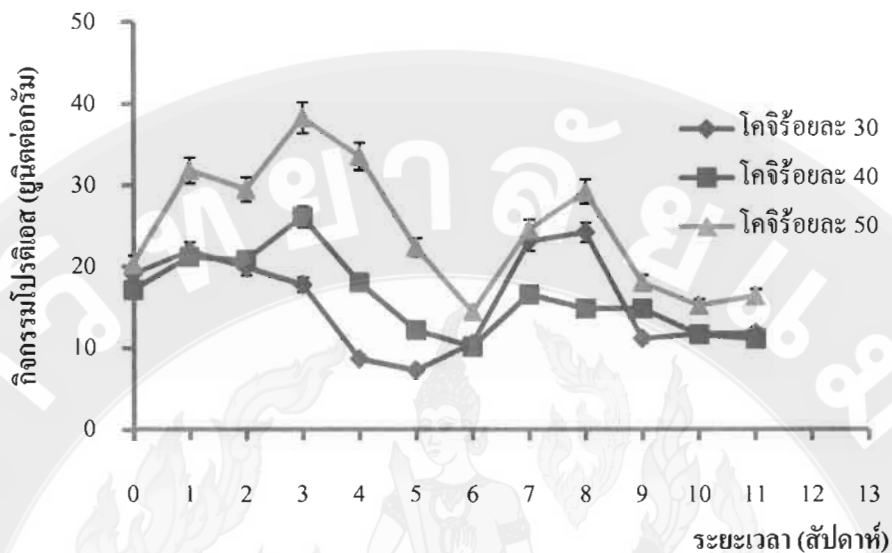


ภาพ 46 การเปลี่ยนแปลงของกิจกรรมอะไเมเลสในระหว่างการหมักโไม่โรมิที่ใช้โคจิข้าวเหนียวในปริมาณที่แตกต่างกัน

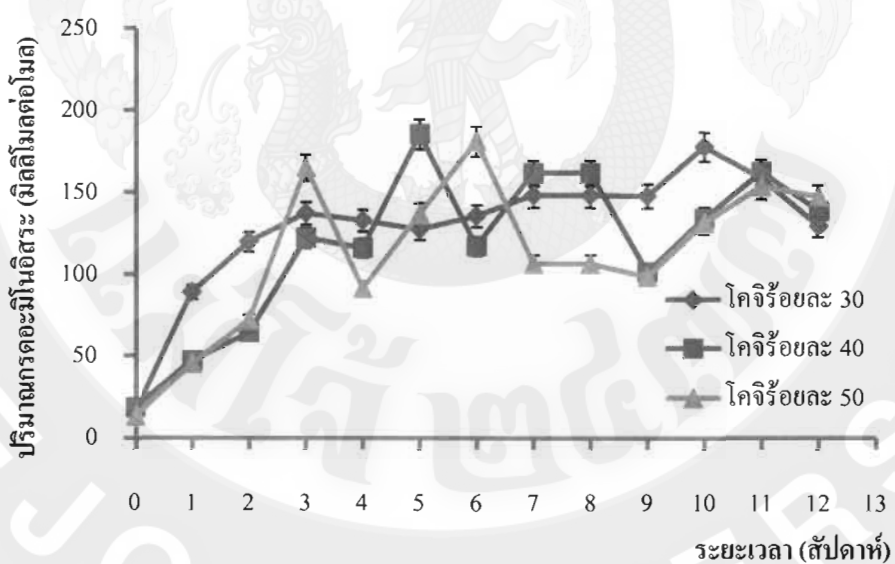


ภาพ 47 การเปลี่ยนแปลงของปริมาณน้ำตาลรีดิวซ์ในระหว่างการหมักโนโรมิที่ใช้โภชิรข้าวเหนียวในปริมาณที่แตกต่างกัน

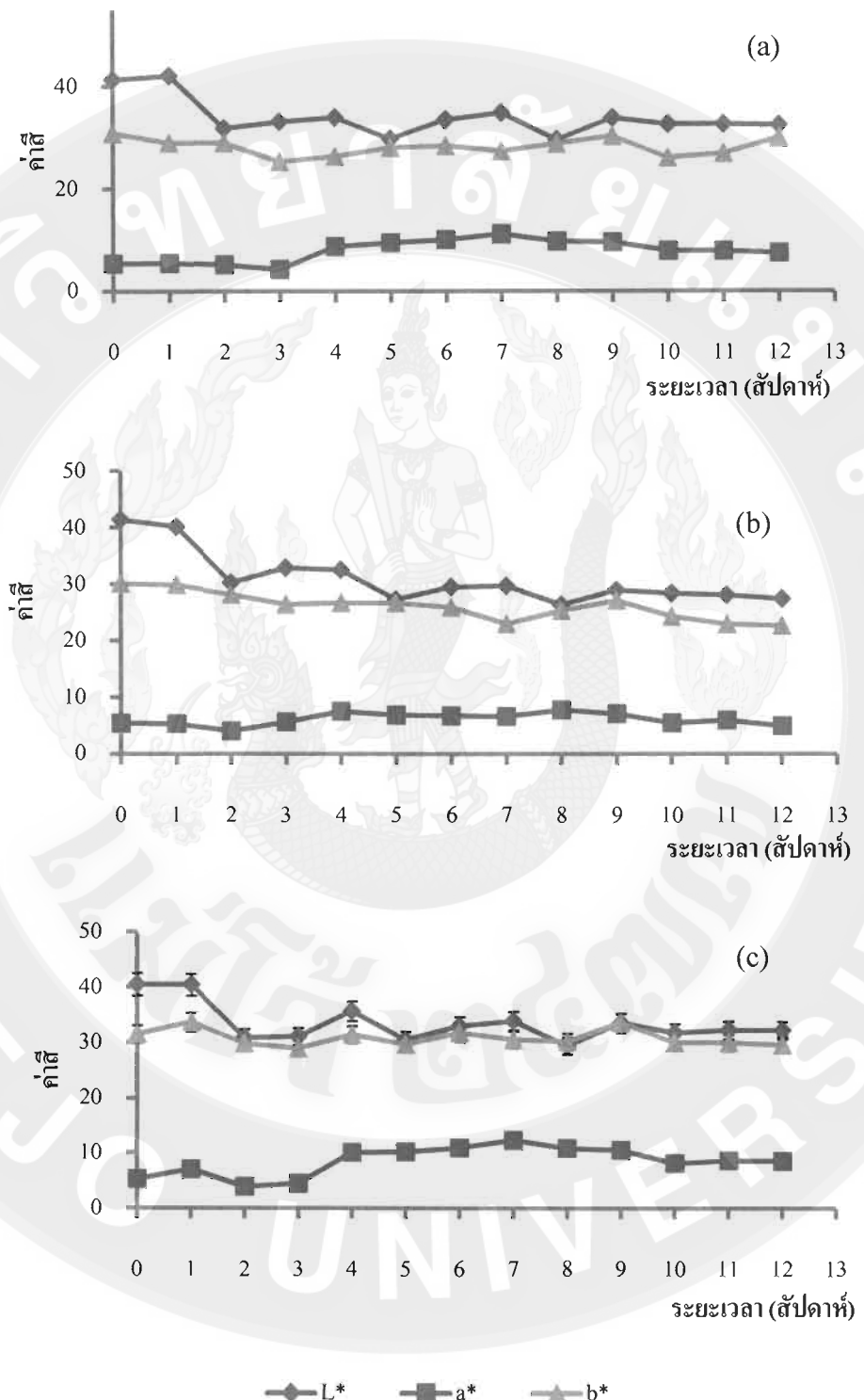
กิจกรรมโปรตีอส มีลักษณะการเปลี่ยนแปลงที่คล้ายคลึงกับกิจกรรมของไไมเดส พบว่า โปรตีอสที่เกิดขึ้นในขั้นตอนการหมักโภชิรขังคงหลงเหลืออยู่ในขั้นตอนการหมักโนโรมิ ทำให้สามารถตรวจพบกิจกรรมดังกล่าวได้นับตั้งแต่สัปดาห์ที่ 0 แล้วมีแนวโน้มลดต่ำลงตลอดช่วงระยะเวลาของการหมัก (ภาพ 48) เนื่องจากความเข้มข้นของโซเดียมคลอไรด์ในเต้าเจี้ยวมีค่าสูงมาก โปรตีอสในขั้นตอนการหมักโนโรมิจะย่อยโมเลกุลของโปรตีนในถัวเหลือง ให้กลาบรีเป็นเปปไทด์ที่มีสายสั้นลง (short chain peptides) และกรดอะมิโนจำนวนหนึ่งที่มีปริมาณเพิ่มขึ้นในเต้าเจี้ยวตลอดอายุการหมัก (ภาพ 49) การเพิ่มขึ้นของปริมาณกรดอะมิโนทั้งหมดสอดคล้องกับกิจกรรมโปรตีอส



ภาพ 48 การเปลี่ยนแปลงของกิจกรรมโปรดีอีสต์ในระหว่างการหมักโนร์มที่ใช้โภชนาคน้ำยาในปริมาณที่แตกต่างกัน



ภาพ 49 การเปลี่ยนแปลงของปริมาณกรดอะมิโนอิสระในระหว่างการหมักโนร์มที่ใช้โภชนาคน้ำยาในปริมาณที่แตกต่างกัน



ภาพ 50 การเปลี่ยนแปลงของค่า L^* , a^* และ b^* ในระหว่างการหมักโนโรมิที่ใช้โคจิข้าวเหนียวในปริมาณที่แตกต่างกัน (ร้อยละ): 30 (a) 40 (b) และ 50 (c)

การเปลี่ยนแปลงสีของเต้าเจี้ยวในระหว่างการหมักโนโรมิ ของเต้าเจี้ยวที่ใช้โคจิร้อยละ 30 พบว่า ค่า L* อยู่ในช่วง 41.29-29.78 ค่า a* อยู่ในช่วง 5.39-7.33 และ ค่า b* อยู่ในช่วง 30.91-29.96 (ภาพ 50 a) โคจิร้อยละ 40 พบว่า ค่า L* อยู่ในช่วง 41.35-27.46 ค่า a* อยู่ในช่วง 5.39-4.88 และ ค่า b* อยู่ในช่วง 30.04-22.72 (ภาพ 50b) และโคจิร้อยละ 50 พบว่า ค่า L* อยู่ในช่วง 40.51-32.16 ค่า a* อยู่ในช่วง 5.16-8.43 และ ค่า b* อยู่ในช่วง 31.49-29.53 (ภาพ 50c) การเปลี่ยนแปลงค่าสีดังกล่าว เนื่องมาจากชนิดของวัตถุดินที่ใช้ และปฏิกิริยาการเกิดสีน้ำตาลแบบเมลลาร์ด (maillard reaction) (Yokotsuka, 1986)

การทดสอบทางประสาทสัมผัสของเต้าเจี้ยวที่ผลิตได้ โดยผู้บริโภคจำนวน 100 คน ใช้วิธีการทดสอบแบบ Ranking for preference พบว่า ผลของการยอมรับของผู้ทดสอบต่อเต้าเจี้ยวทั้ง 3 สูตร มีความแตกต่างกันอย่างมีนัยสำคัญ ($p < 0.05$) พบว่า โคจิปริมาณร้อยละ 50 ได้รับการยอมรับมากที่สุด รองลงมาได้แก่ ปริมาณโคจิร้อยละ 30 และ 40 ตามลำดับ (ตาราง 20-21)

ตาราง 20 จำนวนผู้ทดสอบที่ให้คะแนนเรียงตามลำดับความชอบสำหรับเต้าเจี้ยวจำนวน 3 ตัวอย่าง

ปริมาณโคจิที่ใช้ (ร้อยละ)	ระดับความชอบ		
	1	2	3
30	30	38	32
40	8	36	48
50	62	26	20

หมายเหตุ : สเกลระดับ 1 = ชอบมากที่สุด 2 = ปานกลาง 3 = ไม่ชอบ

ตาราง 21 ผลสรุปของการเรียงลำดับความชอบผลิตภัณฑ์เต้าเจี้ยว จำนวน 3 ตัวอย่าง

ปริมาณโคจิ (ร้อยละ)	สเกล 3 ระดับ	
	ผลรวม	ลำดับ
50	62 ^a	1
30	30 ^b	2
40	8 ^c	3

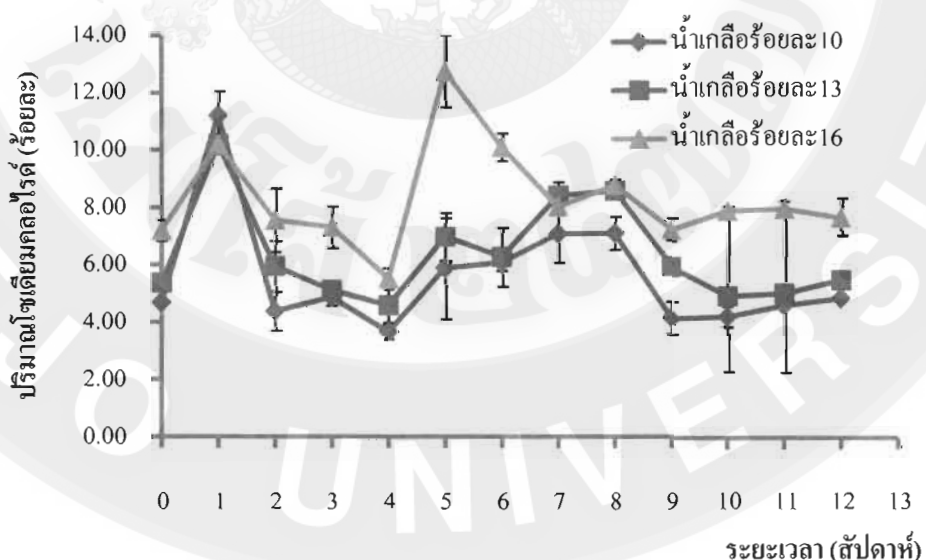
หมายเหตุ : ^{a,b,c} คือไม่แตกต่างกันอย่างมีนัยสำคัญ ($p > 0.05$) ในแนวสถมก

สเกลระดับ 1 = ชอบมากที่สุด 2 = ปานกลาง 3 = ไม่ชอบ

ผู้ทดสอบชินให้การยอมรับผลิตภัณฑ์เต้าเจี้ยวที่ใช้โโคจิร้อยละ 50 ของน้ำหนักรวมทั้งหมดมากที่สุด และระบุว่าเต้าเจี้ยวมีรสชาติที่เด่นน้อยกว่าผลิตภัณฑ์เต้าเจี้ยวที่จำหน่ายตามห้องตลาด

2.2 ความเข้มข้นน้ำเกลือที่เหมาะสมต่อการหมักโนโรมิ

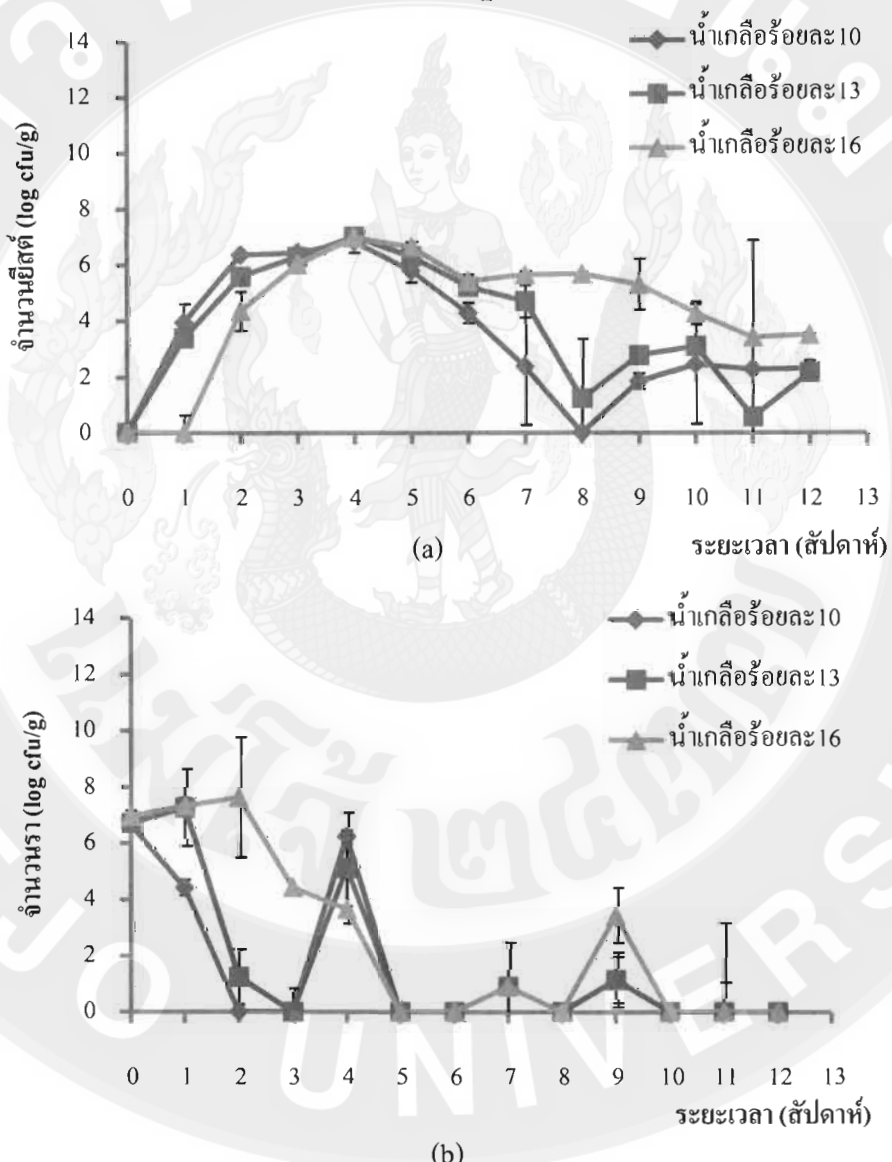
การหมักเต้าเจี้ยวโดยใช้โโคจิร้อยละ 50 ของน้ำหนักรวมทั้งหมด ในที่น้ำเกลือที่มีความเข้มข้นร้อยละ 10 13 และ 16 บ่มที่อุณหภูมิห้องน้ำ 12 สัปดาห์ พบร่วมกัน โไซเดียมคลอไรด์ในช่วงระยะเวลา 0-1 สัปดาห์แรก มีค่าเพิ่มขึ้นจากร้อยละ 4.68 5.36 และ 7.18 ตามลำดับ เป็นประมาณร้อยละ 11.2 10.2 และ 10.18 ตามลำดับ หลังจากนั้น โไซเดียมคลอไรด์จะมีปริมาณลดลงในสัปดาห์ที่ 2-4 ก่อนที่จะมีค่าเพิ่มขึ้นอีกเล็กน้อยในช่วงสัปดาห์ที่ 5-8 แล้วค่อยลดลงอีกเล็กน้อยจนเกือบจะคงที่โดยมีค่าเท่ากับ 4.14 5.94 และ 7.23 ตามลำดับ (ภาพ 52) ปริมาณเกลือที่เพิ่มขึ้นในช่วงแรก อาจ เนื่องมาจากเต้าเจี้ยวได้สูญเสียความชื้นไปบางส่วน ในระหว่างสัปดาห์แรกของการหมัก เนื่องจากต้องทำการกวนผสมทุกวัน ประกอบกับความเข้มข้นของโไซเดียมคลอไรด์ในน้ำเกลือมีค่าไม่สูงพอที่จะดึงโมเลกุลของน้ำได้เหมือนกับการทดลองที่ผ่านมา



ภาพ 51 การเปลี่ยนแปลงของปริมาณโไซเดียมคลอไรด์ในระหว่างการหมักโนโรมิที่ใช้น้ำเกลือที่มีความเข้มข้นแตกต่างกัน

ภายหลังจากนั้นมีโไซเดียมคลอไรด์มีปริมาณเพิ่มขึ้นในน้ำเกลือ จะก่อให้เกิดแรงดันอสโนมิสสูงขึ้น ทำให้ถัวเหลืองและโโคจิสูญเสียน้ำจำนวนหนึ่งออกสู่น้ำเกลือที่ใช้หมัก ใน

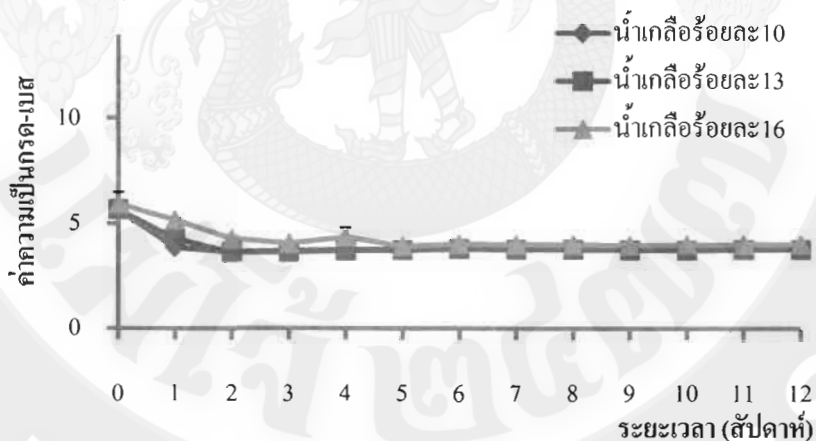
ขณะเดียวกัน โภเดิมคลอไพร็อคจะค่อยๆ ถูกดูดซึมเข้าสู่ภายในเมล็ดถ้วนเหลือและเข้าสู่โภชี ปรินาม โภเดิมคลอไพร็อคในตัวอย่างเดียวจึงลดลง และเมื่อกิจกรรมของจุลินทรีย์บังคับดำเนินต่อไป โดยเฉพาะยีสต์ (ภาพ 52a) ที่ก่อให้เกิดการหมักอัลกอฮอล์ พบว่าปริมาณอัลกอฮอล์มีแนวโน้มเพิ่มขึ้นนับตั้งแต่สัปดาห์แรกของการหมัก (ภาพ 52b) การลดลงของโภเดิมคลอไพร็อคในเดียวจึงได้ผลเช่นเดียวกับรายงานของ (พิมพาร และ กนิษฐา, 2522)



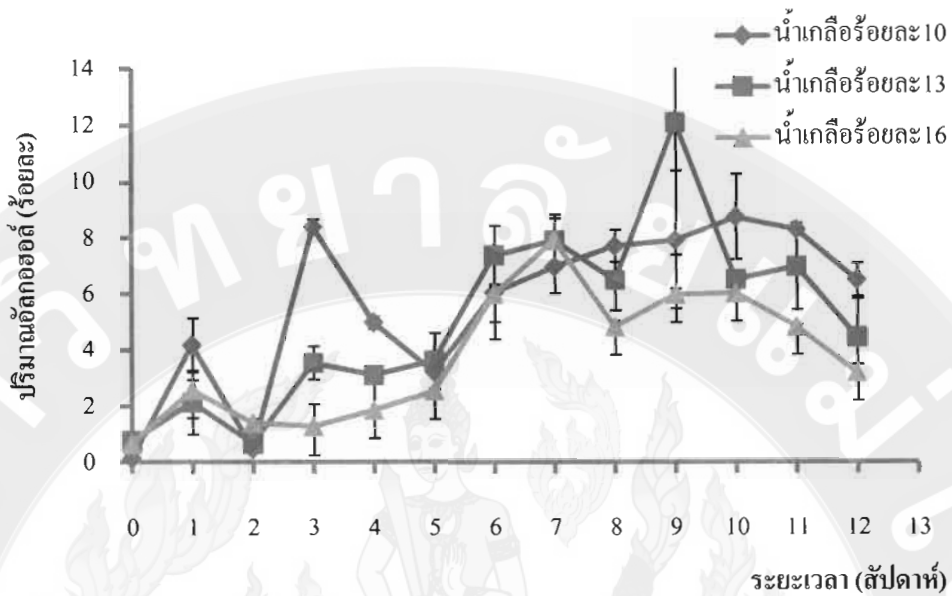
ภาพ 52 การเปลี่ยนแปลงของจำนวนจุลินทรีย์ในระหว่างการหมักโน โรมิที่ใช้น้ำเกลือที่มีความเข้มข้นแตกต่างกัน: ยีสต์ (a) และรา (b)

ยีสต์ผลิตก้าวครั้งนี้โดยอุ่นใจออกไซด์ และความร้อนจำนวนมาก ซึ่งเพียงพอค่อการผลักดันน้ำบางส่วนในระบบให้ระเหยออกสู่บรรยากาศภายนอก ทำให้โซเดียมคลอไรด์ในตัวอย่างเต้าเจี้ยวมีความเข้มข้นเพิ่มขึ้น การดูดซึมโซเดียมคลอไรด์เข้าสู่เม็ดถั่วเหลืองและข้าวเหนียวขังคงดำเนินต่อไป แต่การระเหยของน้ำกลับมีค่าลดลง เพราะกิจกรรมการหมักของยีสต์ก็ลดลงเป็นอย่างมาก ทำให้โซเดียมคลอไรด์ในตัวอย่างเต้าเจี้ยวมีค่าลดลงเล็กน้อยและมีระดับเกือบคงที่ในช่วงสุดท้ายของการหมัก

สำหรับรา พบร่วมกับการเจริญที่ลดลงตามลำดับ เนื่องจากสปอร์ราจำนวนมากไม่สามารถทนความเข้มข้นของน้ำเกลือที่สูงได้ และเจริญได้อย่างลำบากในสภาพแวดล้อมที่เป็นของเหลว โดยเฉพาะของเหลวที่มีความเข้มข้นของโซเดียมคลอไรด์ในปริมาณสูง ซึ่งแตกต่างจากยีสต์ที่ทนเกลือที่มีการเจริญที่ดีกว่า (ภาพ 51) เนื่องจากเต้าเจี้ยวมีค่าความเป็นกรด-เบสที่ 5.64 5.66 และ 5.94 ตามลำดับ ในสัปดาห์ที่ 1 ค่าความเป็นกรด-เบส ลดลงอยู่ที่ 3.84 4.26 และ 5.17 ตามลำดับ หลังจาก 1 สัปดาห์ มีค่าความเป็นกรด-เบส เกือบคงที่ตลอดอายุการหมัก (ภาพ 53) จึงทำให้มีสภาพที่เหมาะสมต่อการเจริญของยีสต์

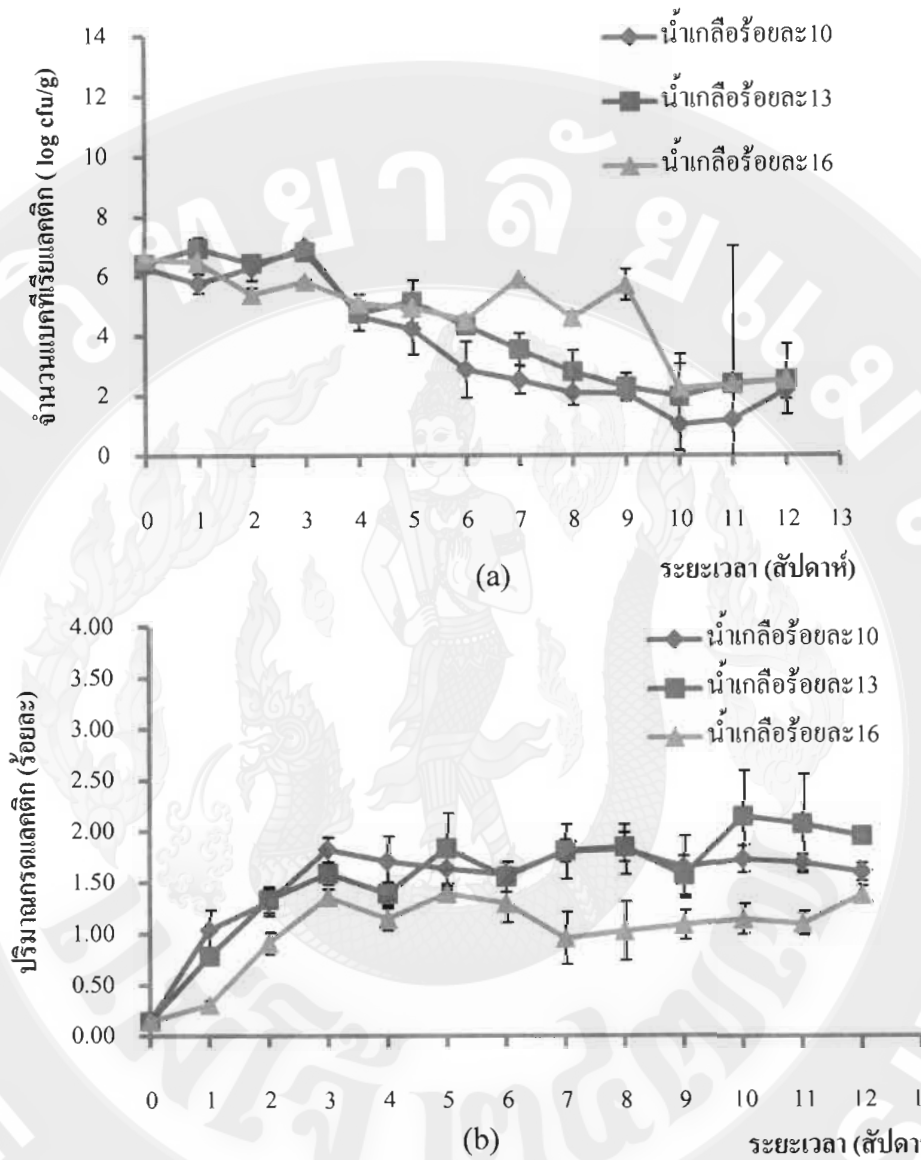


ภาพ 53 การเปลี่ยนแปลงของความเป็นกรด-เบสในระหว่างการหมักโนโรมิที่ใช้น้ำเกลือที่มีความเข้มข้นแตกต่างกัน



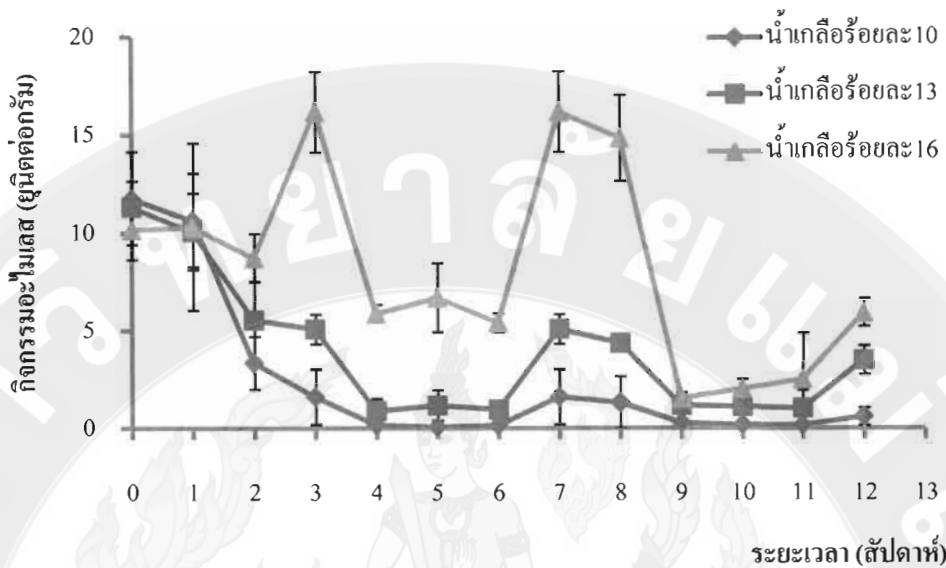
ภาพ 54 การเปลี่ยนแปลงของปริมาณอัลกอฮอล์ในระหว่างการหมักโนโรมิที่ใช้น้ำเกลือที่มีความเข้มข้นแตกต่างกัน

ค่าความเป็นกรด-เบสที่ลดลงนี้ เป็นผลเนื่องมาจากการแยกที่เรียกรคแลคติกที่มีการเพิ่มจำนวนอย่างมากโดยเฉพาะในช่วง 0-2 สัปดาห์แรกของการหมักโนโรมิ (ภาพ 55a) ทำให้เกิดการผลิตกรดแลคติกออกมานៅเต้าเจี้ยว (ภาพ 55b) ปริมาณกรดแลคติกที่สะสมมีค่าสูงสุดประมาณร้อยละ 1.82 1.83 และ 1.39 ในสัปดาห์ที่ 8 5 และ 5 ตามลำดับ



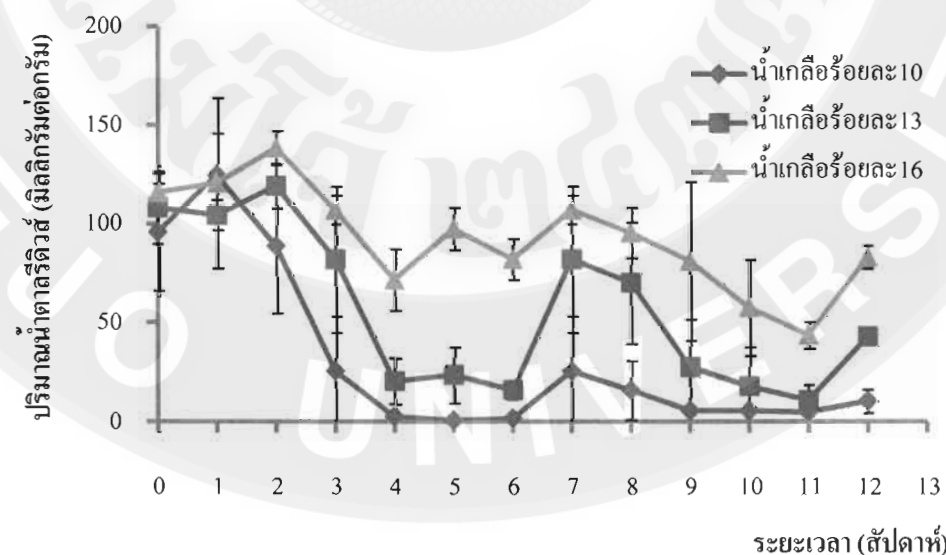
ภาพ 55 การเปลี่ยนแปลงของปริมาณกรดแผลติกและปริมาณแบคทีเรียกรดแผลติกในระหว่างการหมักโนโรมิที่ใช้น้ำเกลือที่มีความเข้มข้นแตกต่างกัน: ปริมาณกรดแผลติก (a) และจำนวนแบคทีเรียกรดแผลติก (b)

กิจกรรมจะไม่เลสก็การเปลี่ยนแปลงตลอดระยะเวลาของการหมักโนโรมิ พนว่าจะไม่เลสที่เกิดขึ้นในขั้นตอนการหมักโดย ยังคงหลงเหลืออยู่ในขั้นตอนการหมักโนโรมิ ทำให้สามารถตรวจพนกิจกรรมดังกล่าวได้นับตั้งแต่สัปดาห์ที่ 0 แล้วมีแนวโน้มลดลงต่อๆ กันไป ระยะเวลาของการหมัก กิจกรรมจะไม่เลสลดลงอย่างรวดเร็วในช่วง 0-4 สัปดาห์แรก และมีค่ากิจกรรมที่ระดับต่ำเก็บบกที่ตลอดสิ้นอายุของการหมัก (ภาพ 56)



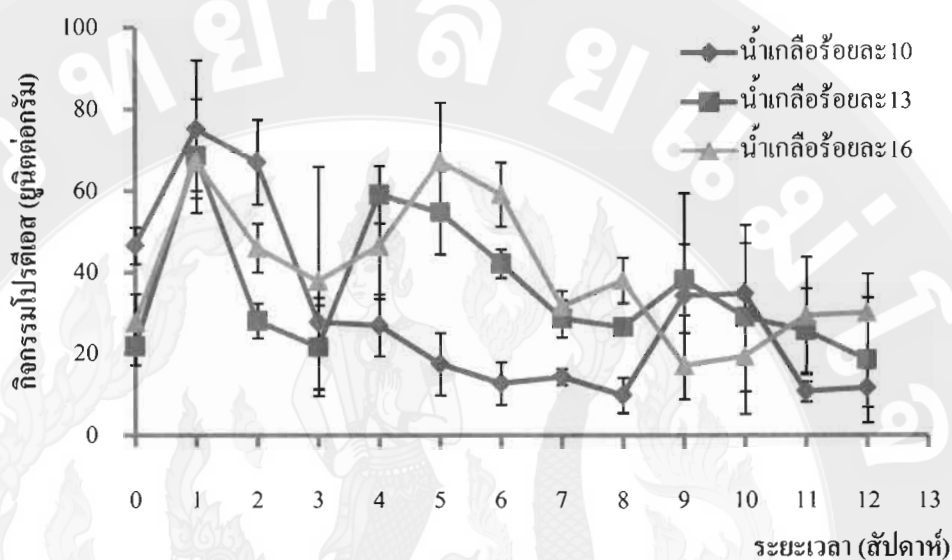
ภาพ 56 การเปลี่ยนแปลงของกิจกรรมอะไม้เลสในระหว่างการหมักโนโรมที่ใช้น้ำเกลือที่มีความเข้มข้นแตกต่างกัน

เนื่องจากความเข้มข้นของโซเดียมคลอไรด์ในเด็กเขี้ยวมีค่าสูงมาก อะไม้เลสที่บังคงมีกิจกรรมอยู่จะทำการย่อยแป้งในถัวเหลืองและในข้าวเหนียวให้กลাযเป็นคราร์โนไไซเดรทที่มีอะไม้เลกุลสันลง และน้ำตาลรีดิวซ์จำนวนหนึ่ง (ภาพ 57)



ภาพ 57 การเปลี่ยนแปลงของปริมาณน้ำตาลรีดิวซ์ในระหว่างการหมักโนโรมที่ใช้น้ำเกลือที่มีความเข้มข้นแตกต่างกัน

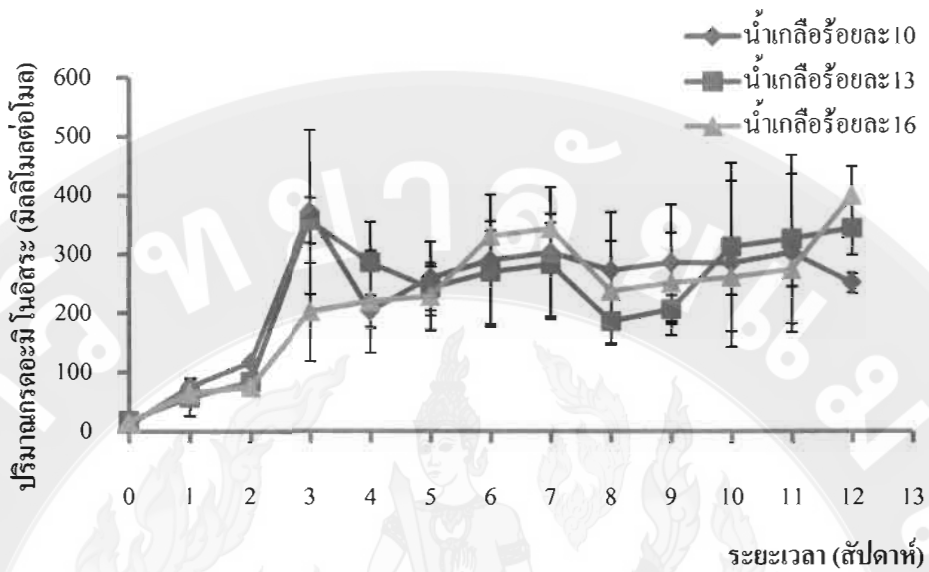
น้ำตาลรีดิวช์ส่วนหนึ่งจะถูกใช้ไปในการเจริญของจุลินทรีย์ในเต้าเจี๊ยว ทำให้มีค่าลดลง โดยลำดับจนสิ้นสุดอายุการหมัก Yong; Wood (1976) รายงานว่า น้ำตาลรีดิวช์จะเพิ่มขึ้นอย่างรวดเร็วในระยะเวลา 5-6 วันแรกของการหมักในน้ำเกลือ และมีปริมาณลดลงในเวลาต่อมา



ภาพ 58 การเปลี่ยนแปลงของกิจกรรมโปรตีอสในระหว่างการหมักโโน โรมิที่ใช้น้ำเกลือที่มีความเข้มข้นแตกต่างกัน

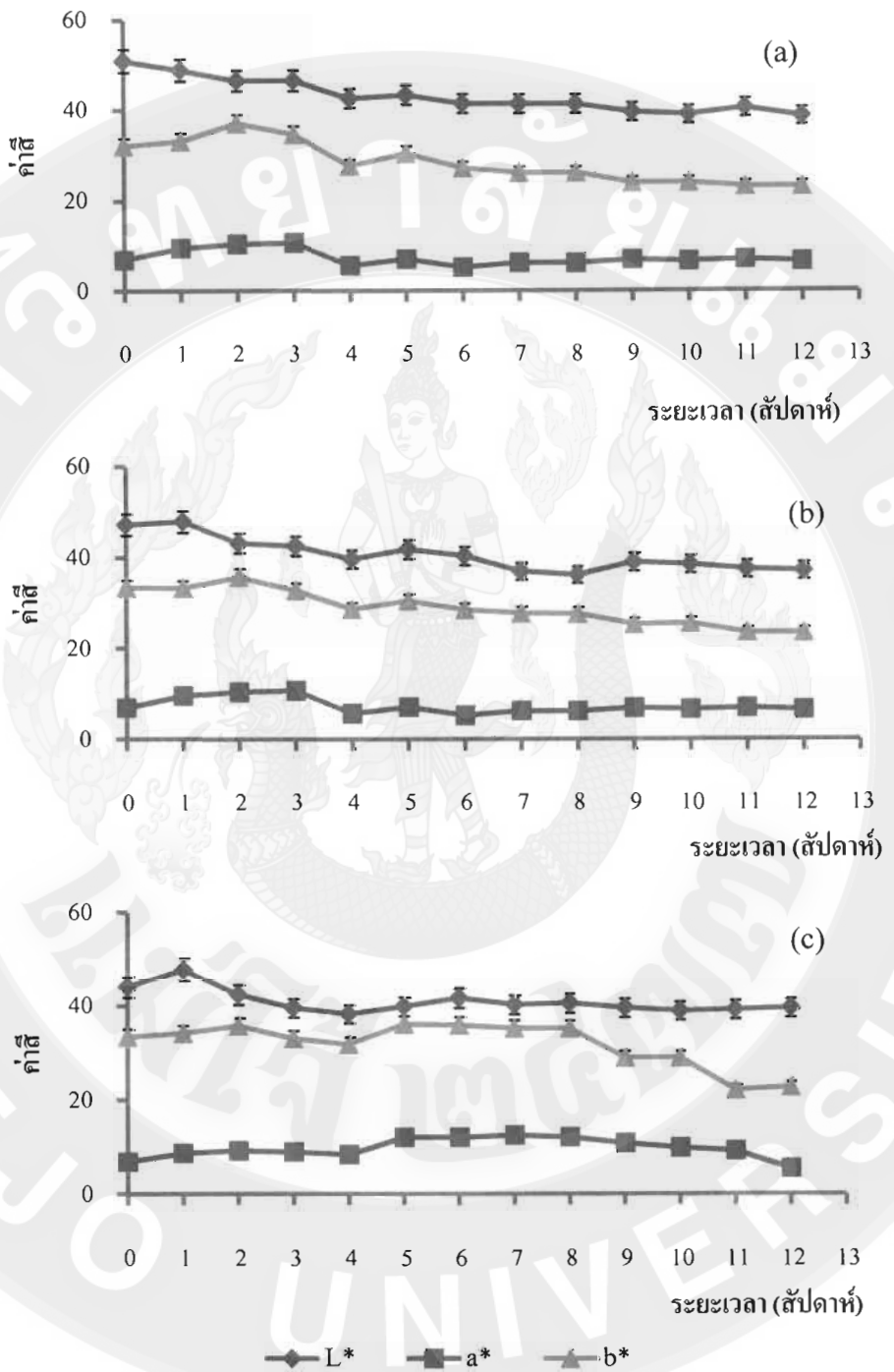
กิจกรรมโปรตีอส มีลักษณะการเปลี่ยนแปลงที่คล้ายคลึงกับกิจกรรมอะไเมเดส พนว่า โปรตีอสที่เกิดขึ้นในขั้นตอนการหมักโดยยังคงหลงเหลืออยู่ในขั้นตอนการหมักโโน โรมิ ทำให้สามารถตรวจสอบกิจกรรมดังกล่าวได้ดับตั้งแต่สัปดาห์ที่ 0 กิจกรรมโปรตีอสมีค่าสูงขึ้นในช่วง 0-1 สัปดาห์ แล้วมีแนวโน้มลดต่ำลงตลอดช่วงระยะเวลาของการหมัก (ภาพ 58)

โปรตีอสในขั้นตอนการหมักโโน โรมิจะย่อยโโนเลกูลของโปรตีนในถัวเหลือง ให้กลาญเป็นแปปไทด์ที่มีสายสั้นลง (short chain prpyides) และกรดอะมิโนจำนวนหนึ่งที่มีปริมาณเพิ่มขึ้นในเต้าเจี๊ยวตลอดอายุการหมัก (ภาพ 59) การเพิ่มขึ้นของปริมาณกรดอะมิโนทั้งหมด สอดคล้องกับกิจกรรมโปรตีอส



ภาพ 59 การเปลี่ยนแปลงของปริมาณกรดอะมิโนอิสระในระหว่างการหมักโนโรมิที่ใช้น้ำเกลือที่มีความเข้มข้นแตกต่างกัน

การเปลี่ยนแปลงค่า L^* , a^* และ b^* ในช่วงเวลาต่างๆของการหมักโนโรมิในน้ำเกลือร้อยละ 10 (ภาพ 60a) พบว่า ค่า L^* อยู่ในช่วง 50.98-38.44 ค่า a^* อยู่ในช่วง 6.89-6.48 และ ค่า b^* อยู่ในช่วง 32.19-23.09 น้ำเกลือร้อยละ 13 (ภาพ 60b) พบว่า ค่า L^* อยู่ในช่วง 47.20-36.98 ค่า a^* อยู่ในช่วง 7.20-6.53 และ ค่า b^* อยู่ในช่วง 33.38-23.34 น้ำเกลือร้อยละ 16 (ภาพ 60c) พบว่า ค่า L^* อยู่ในช่วง 44.07-39.56 ค่า a^* อยู่ในช่วง 6.86-5.45 และ ค่า b^* อยู่ในช่วง 33.40-22.73



ภาพ 60 การเปลี่ยนแปลงของค่าสี L^* , a^* และ b^* ในระหว่างการหมักโนรนิที่ใช้น้ำเกลือที่มีความเข้มข้นแตกต่างกัน (ร้อยละ) : 10 (a) 13 (b) และ 16 (c)

สีของเต้าเจี้ยวเปลี่ยนแปลงไปจากเดิม โดยจะมีสีเหลืองอมน้ำตาล จนกลายเป็นสีน้ำตาลเข้มปานกลาง (ภาพ 10) ค่า L^* และ a^* มีค่าลดลงเล็กน้อย

2.3 ผลของการเก็บรักษาผลิตภัณฑ์เต้าเจี๊ยว

เต้าเจี๊ยวที่หมักได้มีอ่อนน้ำดันให้เดือดนาน 30 นาที แล้วบรรจุในขวดแก้วที่สะอาด แล้วปิดฝาให้สนิท สามารถเก็บรักษาได้นานถึง 6 สัปดาห์โดยไม่พบรการเชริญของชุลินทรีย์ทั้งหมด (ตาราง 22) ทั้งนี้เนื่องมาจากค่าความเป็นกรด-เบสที่ต่ำ สามารถขับยุงการเชริญของแบคทีเรียส่วนใหญ่ และความร้อนที่ใช้ในการฆ่าเชื้อสามารถทำลายแบคทีเรียกรดแคลคติก อีสต์ และรา ที่อาจหลงเหลืออยู่ในเต้าเจี๊ยว ประกอบการบรรจุแบบร้อน (hot fill) ทำให้ที่ว่างเหนืออาหาร (head space) เป็นสุขลักษณะซึ่งไม่เหมาะสมต่อการเชริญของรา

ตาราง 22 การเปลี่ยนแปลงของเต้าเจี๊ยวระหว่างการเก็บรักษานาน 6 สัปดาห์

อายุการ เก็บรักษา (สัปดาห์)	น้ำเกลือ (ร้อยละ)	ปริมาณ ชุลินทรีย์ ทั้งหมด (log cfu/g)	ค่าสี		
			L*	a*	b*
0	10	ND	37.66 ± 0.02	10.63 ± 0.18	24.66 ± 0.57
	13	ND	37.48 ± 1.02	11.64 ± 0.43	26.53 ± 0.5
	16	ND	36.12 ± 0.44	12.16 ± 0.93	29.57 ± 0.27
2	10	ND	37.53 ± 0.46	10.46 ± 0.16	25.46 ± 0.16
	13	ND	39.29 ± 0.66	11.67 ± 0.50	26.34 ± 0.33
	16	ND	35.43 ± 0.44	11.89 ± 0.51	29.28 ± 0.04
4	10	ND	38.32 ± 0.37	10.61 ± 0.33	24.81 ± 0.26
	13	ND	37.53 ± 0.65	11.12 ± 0.08	26.29 ± 0.81
	16	ND	35.55 ± 0.12	11.81 ± 0.62	29.57 ± 0.33
6	10	ND	38.51 ± 1.36	11.14 ± 0.35	25.28 ± 0.76
	13	ND	38.22 ± 0.88	11.36 ± 0.06	26.88 ± 0.49
	16	ND	35.82 ± 0.20	12.61 ± 0.22	29.64 ± 0.49

หมายเหตุ : ค่าของข้อมูลแสดงในรูปของค่าเฉลี่ย ± ค่าเบี่ยงเบนมาตรฐาน

ND = ไม่พบ

เด็กเจี๊ยวที่มีอายุการเก็บรักษานาน 6 สัปดาห์ เมื่อนำมาทำการทดสอบทางประสาทสัมผัส โดยผู้บริโภคจำนวน 100 คน ใช้วิธีการทดสอบแบบ Ranking for preference พบว่า ผลของการยอมรับของผู้ทดสอบคือเด็กเจี๊ยบทั้ง 3 สูตร ไม่มีความแตกต่างกัน ($p > 0.05$) (ตาราง 23-24)

ตาราง 23 จำนวนผู้ทดสอบที่ให้คะแนนเรียงตามลำดับความชอบสำหรับเด็กเจี๊ยบจำนวน 3 ตัวอย่าง

ความเข้มข้นของน้ำเกลือ (ร้อบลํะ)	จำนวนผู้ทดสอบ (คน)		
	1	2	3
10	36	46	18
13	48	34	18
16	64	20	16

หมายเหตุ : สเกลระดับ 1 = ชอบมากที่สุด 2 = ปานกลาง 3 = ไม่ชอบ

ตาราง 24 ผลการทดสอบความชอบผลิตภัณฑ์เด็กเจี๊ยบจำนวน 3 ตัวอย่าง

ความเข้มข้นของน้ำเกลือ (ร้อบลํะ)	สเกล 3 ระดับ	
	ผลรวม ⁿ	ลำดับ
16	64	1
13	48	2
10	36	3

หมายเหตุ : “คือไม่แตกต่างกันอย่างมีนัยสำคัญ ($p > 0.05$) ในแนวสถิติ”

สเกลระดับ 1 = ชอบมากที่สุด 2 = ปานกลาง 3 = ไม่ชอบ

บทที่ 5

สรุปผลการวิจัยและข้อเสนอแนะ

สรุปผลงานวิจัย

ข้าวเจ้าเป็นวัตถุคุณที่เหมาะสมในการผลิตสปอร์ของรา *Aspergillus oryzae* M-01 หงส์ สปอร์ที่ได้จากการอบแห้งภายใต้ความดันสูญญากาศจะมีชีวภาพเหลือรอดสูงสุดถึง $10.15 \log \text{cfu/g}$ โดยถั่วเหลืองที่ความหนา 2.5 เซนติเมตร จะให้กิจกรรมอะไนเลสสูงสุดเท่ากับ 18.74 ยูนิตต่อกรัม ในระยะเวลา 24 ชั่วโมง และกิจกรรมโปรดีเอสสูงสุดเท่ากับ 52.89 ยูนิตต่อกรัม ในระยะเวลา 48 ชั่วโมง

การหมักไม่รมในน้ำเกลือเข้มข้นร้อยละ 22 นาน 8 สัปดาห์ แปรผันสัดส่วนของปริมาณโภชิตถั่วเหลืองต้มสุก 3 ระดับ คือ ร้อยละ 100 50 และ 30 กิจกรรมโปรดีเอสมีค่าลดลงที่ลดน้อยและมีค่าต่ำสุดประมาณ 12.19 8.34 และ 6.88 ยูนิตต่อกรัม ตามลำดับ ในระหว่างการหมักได้สังเกตพบอนุภาคสีขาวเกิดขึ้นภายในถังหมัก ปริมาณโภชิตที่ใช้หมักกับถั่วเหลืองต้มสุกร้อยละ 100 50 และ 30 เมื่อหมักนาน 8 สัปดาห์ จะก่อให้เกิดอนุภาคสีขาว และมีปริมาณเพิ่มขึ้นตามอายุการหมัก

เด้าเจี้ยวที่มีอายุการหมัก 8 สัปดาห์ ต้มที่ 30 นาที ที่มีอายุการเก็บรักษา 1-15 วัน มีอนุภาคสีขาวมากที่สุดคือเด้าเจี้ยวที่มีปริมาณโภชิตร้อยละ 100 ได้รับการยอมรับจากผู้ทดสอบชินในระดับชอบมากที่สุด ผลิตภัณฑ์เด้าเจี้ยวที่ได้จากการต้มเด้าเจี้ยว 20 30 และ 40 นาที และเก็บรักษานาน 15 สัปดาห์ ยังสามารถพบรุขชาวด้วยในปริมาณมาก แต่อนุภาคสีขาวมีจำนวน ชนิดที่แตกต่างกัน

ผลของการเจือจางเด้าเจี้ยวด้วยการเติมน้ำต้มสุกลงไป 0.5 เท่าของน้ำหมักเด้าเจี้ยวที่ใช้ปริมาณโภชิตปริมาณร้อยละ 100 พบว่าอนุภาคสีขาวมีปริมาณลดลงจากร้อยละ 100 เหลือร้อยละ 1.15 เด้าเจี้ยว และได้รับการยอมรับจากผู้ทดสอบชินในระดับชอบมากที่สุด

การศึกษาสมบัติอนุภาคสีขาวในผลิตภัณฑ์เด้าเจี้ยวบรรจุขวดที่ผลิตได้ อนุภาคสีขาวที่เกิดขึ้นสามารถแบ่งออกได้เป็น 3 ประเภท คือ ชนิดแผ่นนุ่ม ชนิดแผ่นแข็ง และชนิดเม็ดเล็กๆ ซึ่งมีสมบัติทางเคมีและทางกายภาพที่สามารถระบุได้ว่าอนุภาคสีขาวทุกชนิด ประกอบด้วยกรดอะมิโน ไฮโตรซินเป็นส่วนใหญ่หรือทั้งหมด เศษที่เหลือเล็กน้อย คือ เปลือกหุ้มเมล็ดถั่วเหลือง

การศึกษาเกี่ยวกับการหมักเด้าเจี้ยวสารเคมีน้อยโดยใช้โภชิตข้าวเหนียว พบว่าระยะเวลาที่ใช้ในการนึ่งข้าวเหนียวนาน 40 นาที และความหนาของข้าวเหนียวในตะกร้าบ่ม โภชิตเท่ากับ 5

เซนติเมตร จะให้กิจกรรมอะไมเลสสูงสุด 58.01 ยูนิตต่อกรัม ในขณะที่กิจกรรมโปรดีเอสสูงสุด 95.06 ยูนิตต่อกรัม ในระยะเวลา 60 ชั่วโมง

การหมักเต้าเจี้ยวโดยใช้โคจิข้าวเหนียวปริมาณที่แตกต่างกัน พบว่า โคจิปริมาณร้อยละ 50 ในน้ำเกลือเข้มข้นร้อยละ 18 นาan 12 สัปดาห์ แล้วผ่านการต้มนาน 30 นาที จะทำให้ได้ผลิตภัณฑ์เต้าเจี้ยวที่มีรสเปรี้ยว มีกลิ่นอัลกอฮอล์ แต่เป็นที่ยอมรับของผู้ทดสอบhim ในระดับของมากที่สุด มีรสเด็ดน้อย และสามารถเก็บรักษาได้นานไม่น้อยกว่า 6 สัปดาห์

การหมักเต้าเจี้ยวโดยใช้โคจิข้าวเหนียวร้อยละ 50 ในน้ำเกลือที่มีความเข้มข้นแตกต่างกัน พบว่า น้ำเกลือเข้มข้นร้อยละ 16 นาan 12 สัปดาห์ แล้วผ่านการต้มนาน 30 นาที จะทำให้ได้ผลิตภัณฑ์เต้าเจี้ยวที่มีรสเปรี้ยว มีกลิ่นอัลกอฮอล์ แต่เป็นที่ยอมรับของผู้ทดสอบhim ในระดับของมากที่สุด และสามารถเก็บรักษาได้นานไม่น้อยกว่า 6 สัปดาห์

ข้อเสนอแนะ

ควรทำการศึกษาสมบัติด้านเคมีของอนุภาคสีขาว โดยการใช้เครื่อง HPLC เพื่อยืนยันองค์ประกอบของผลึก

การหมักเต้าเจี้ยวรสเด็ดน้อยที่มีสามารถนำไปดัดแปลงทำเป็นน้ำจิ้มข้าวมันไก่ได้เนื่องจากมีความเปรี้ยว

บรรณานุกรม

กนิษฐา สุวรรณเมนะ. 2522. การศึกษาเชื้อรำในกระบวนการผลิตซีอิ๊ว. วิทยานิพนธ์ปริญญาโท.
จุลชีววิทยา มหาวิทยาลัยเกษตรศาสตร์.

กองโภชนาการ กรมอนามัย. 2530. ตารางแสดงคุณค่าอาหารไทยในส่วนที่กินได้ 100 กรัม.

กรุงเทพฯ: กองโภชนาการกรมอนามัย.

กุลวีดี ตระง พาณิชย์. 2517. น้ำปลาถั่วเหลือง. วารสารอาหาร 6(4): 11-13.

โครงสร้างทางเคมีของ ไทโรซีน. [ระบบออนไลน์] แหล่งที่มา

http://en.wikipedia.org/wiki/Tyrosine_sulfation#Function (6 August 2011).

คุณณี ธนาบริพัฒน์. 2537. จุลชีวอุตสาหกรรม. สถาบันเทคโนโลยีพระจอมเกล้าคุณทหาร
ลาดกระบัง, กรุงเทพฯ. น. 6-28 – 6-40.

ประไพครี ศิริจักรวาล. 2553. ถั่วเหลือง. [ระบบออนไลน์] แหล่งที่มา

<http://www.thaihealth.in.th> (26 August 2011).

ผลิตไทโรซีน. [ระบบออนไลน์] แหล่งที่มา <http://www.lemonfarm.com> (6 August 2011).

พิมพาพร เท华หลีดี. 2521. การศึกษายีสต์ในซีอิ๊วและเต้าเจี้ยว. วิทยานิพนธ์ปริญญาโท.

จุลชีววิทยา.กรุงเทพฯ: บัณฑิตวิทยาลัย มหาวิทยาลัยเกษตรศาสตร์.

ไฟโรมน์ วิริยะรี. 2545. การประเมินทางประสาทสัมผัส. เชียงใหม่: ภาควิชาเทคโนโลยีการ
พัฒนาผลิตภัณฑ์ คณะอุตสาหกรรมเกษตร มหาวิทยาลัยเชียงใหม่. 411 น.

ภาคีรา อุปจักร. 2550. การศึกษากระบวนการผลิตซีอิ๊วจากถั่วมะแ琬และถั่วเหลือง. สารนิพนธ์
ปริญญาโท. มหาวิทยาลัยศรีนครินทร์วิโรฒ.

มนีรัตน์ ศิรินันทกุล. 2542. การศึกษาทดลองหมักถั่วเหลืองแบบอาหารแห้งในระบบแพคเบด.
วิทยานิพนธ์ปริญญาโท. มหาวิทยาลัยเกษตรศาสตร์.

บุทธนา เข้าสุเมรุ และจารุณี มีสุข. 2541. ใน เอกสารการประชุมสัมมนาทางวิชาการ สถาบัน
เทคโนโลยีราชมงคล ครั้งที่ 15: เล่มที่ 3 สาขาอุตสาหกรรมเกษตร และคหกรรมศาสตร์.
กรุงเทพฯ. หน้า 165-177 (271 หน้า)

วรรูป ครุส่าง และรุ่งนภา พงศ์สวัสดิ์มานิต. 2532. เทคโนโลยีการหมักในอุตสาหกรรม.

กรุงเทพมหานคร:สำนักพิมพ์โอดีเยนส์ โปรด

วารุณี ประดิษฐ์ศรีกุล. 2545. ซีอิ๊ว. อาหาร. 19: 58-62.

วิเชียร ลือวัชรมาศ. 2526. กลิ่นหอมซีอิ๊วมาจากไหน. วิทยาศาสตร์การอาหาร. 14(2): 40-45, (3):

วิลาวัณย์ เจริญชีรตะกุล. 2536. จุลินทรีย์ที่มีความสำคัญด้านอาหาร. กรุงเทพ: โอเอสพринติ้ง เฮ้าส์.

ศิริพร เอื้ออังกูร. 2538. การปรับปรุงกระบวนการหมักชีว์ในขั้นตอนการหมักน้ำเกลือ.

วิทยานิพนธ์ปริญญาโท. มหาวิทยาลัยเกษตรศาสตร์.

สถาบันวิจัยข้าวกรมวิชาการเกษตร กระทรวงพาณิชย์. 2540. มาตราฐานข้าวไทย. รายงาน

ประจำปี 2540. กรุงเทพฯ: กรมวิชาการเกษตร กระทรวงพาณิชย์. 10 น.

สาironj ศิริศันสนียกุล และ ประวิท วงศ์คงคานเทพ. 2538. วิศวกรรมเคมีชีวภาพพื้นฐาน 1.

กรุงเทพฯ: สำนักพิมพ์จุฬาลงกรณ์มหาวิทยาลัย.. 251 หน้า.

สุทธิศักดิ์ สุขในศิลป์. 2520. การศึกษาเชื่อมโยงที่เรียบในขั้นตอนการหมักชีว์. วิทยานิพนธ์ปริญญา

โท.กรุงเทพฯ: มหาวิทยาลัยเกษตรศาสตร์.

อรอนงค์ นัยวิกุล. 2547. ข้าว: วิทยาศาสตร์และเทคโนโลยี. สำนักพิมพ์มหาวิทยาลัย

เกษตรศาสตร์. กรุงเทพฯ. 366 น.

Anson, M.L. 1938. The estimation of pepsin, trypsin, papain and cathepsin with hemoglobin. *J. Gen. Physiol.* 22: 79-89.

Ashley V, Mitchell D, Howes T .1999. Evaluating strategies for overcoming overheating problems during solid-statefermentation in packed-bed bioreactors. *Biochem Eng J.* 3:141–150.

Association of Official Analytical Chemistry (A.O.A.C). 1995. **Official Method of Analysis** 16th ed. Washington. D.C.: Geotage Banto.

Beuchat, 1987 lr Beuchat, **Food and Beverage Mycology**, Van Nostrand Reinhold, New York

1987. De La Torre et al., 1999 mj De La Torre, mc Millan, linkinghub.elsevier.com/retrieve/pii/S0168160505002710

Biesebeke R.T. et al. 2002. *Aspergillus oryzae* in solid-state and submerged fermentations progress report on a multi-disciplinary project. **FEMS Yeast Research.** 2: 245-248.

Bhumiratana, A., Flegel, T.W., Glinsukon, T. and Somporan, W. 1988. Isolation and analysis of molds from soy sauce koji in Thailand. **Applied and Environmental Microbiology.** 39(2): 430-435

Chiou R.Y.-Y., Ferng S. and Beuchat L.R. 1999. Fermentation of low-salt miso as affected by supplementation with ethanol. **International Journal of Food Microbiology.** 11-20

- Flegel, T.W., Bhumiratana A. and Srisutipruti A. 1981. Problematic occurrence of tyrosine crystals in Thai soybean paste TaoChieo. **Applied and Environmental Microbiology.** 41(3): 746-751
- Folin, O. and Ciocalteau, V .1929. **J. Biol. Chem.** 73, 627-715
- Ghildyal NP, Gowthaman MK, Raghava Rao KSMS, Kareth NG. 1994. Interaction between transport resistances with biochemical reaction in packed-bed solid state fermentors:effect of temperature gradients. **Enzyme Microb Technol.** 16:253–257
- Ingle, M. B., and R. J. Erickson. 1978. Bacterial α -amylase. **Advan. Appl. Microbiol.** 24:257-278.
- Jones. N.R. 1993. Browning reaction in dries fish products. **Rec.Adv. food sci.** 2:74-80
- Medda, G.L. and A.K. Chandra. 1980. New strains of *Bacillus licheniformis* and *Bacillus coagulans* producing thermostable α -amylase active at alkaline pH. **J. Appl. Bacteriol.** 48, 48-58.
- Miller, G.L. 1959. Use of dinitrosalicylic acid for es timation of reducing sugar. **Analytical Chemistry.** 31: 426-428.
- Mitchell DA, Pandey A, Sangsurasak P, Krieger N .1999. Scale-up strategies for packed-bed bioreactors for solidstate fermentation. **Process Biochem** 35:167–178
- Mohr V. 1980. Enzymes technology in meat and fish industries. **Process Biochem** 80:18-23.
- Nahar,S, F. Hossain, B. Feroza and M. A. Halim. 2008. Production of glucoamylase *Rhizopus* SP. In liquid culture. **Pak. J. Bot.**, 40(4): 1693-1698,
- Nakadai, T. & Nasuno, S. 1976. Enzymatic hydrolysis of protein by various enzyime preparation. **J. Ferment. Technol.** 54: 872-884.
- Okazaki, N., S. Sugama and T. Tanaka. 1980. Mathematical model for surface culture of koji mold. **J.Ferment. Technol.** 58 (5) : 471-476
- Oyashiki, H., M. Uchida, A. Obayashi and S. Oka. 1989. Evaluation of *koji* prepared with various molds for *mirin*making. **J. Ferment. Bioeng.** 67:163-168
- Paranthaman, R., K. Alagusundaram and J. Indhumathi. Production of Protease from Rice Mill Wastes by *Aspergillus niger* in Solid State Fermentation. **World Journal of Agricultural Science.** 5 (3): 308-312, 2009

- Raimbault, M. 1998. General and microbiological aspects of solid substrate fermentation. *Journal of Biotechnology.* 1(3) 174-188.
- Rehm HJ. and Reed G. 1983. Baked goods. In **Biotechnology: food and feed production with microorganism.** 5:1-80.
- Sangsurasak P, Mitchell DA. 1995. Incorporation of deathkinetics into a 2-D dynamic heat transfer model for solid state fermentation. *J Chem Technol Biotechnol.* 64:253–260
- Sasaki, M. 1996. Isolation and identification of precursor of 4-hydroxy-2(or 5)-ethyl-5(or 2)-methyl-3(2 H)- furanone from isolated soybean protein and shoyu. *J. Agric. Food Chem.* 44: 230-235.
- Smith, I. D., W. G. Hoekstra, R. H. Grummer and P. H. Phillips. 1960. Studies on serum proteins of normal and parakeratotic pigs. *J. Animal Sci.* 19:580.
- Sugiyama, S. 1984. Selection of microorganisms for use in the fermentation of soy sauce. *Food Microbiol.* 1: 339-347.
- Thongthai C, Sawyer WD. Studies on the virulence of Neisseria gonorrhoeae. 1973. I.Relation of colonial morphology and resistance to phagocytosis by polymorphonuclear leukocytes. *Infect Immun.* Mar;7(3): 373–379
- Upton, M.F. and W.M. Fogarty, 1977. Production and purification of thermostable amylase and protease of thermomonospora vridis. *Appl. Environ. Microbiol.*, 33: 59–64.
- Wood, B. J. B. 1998. Soy sauce and miso. In Rose, A. H. (ed.), **Fermented Food.**, pp. 39-85. London:Academic Press, Inc.
- Yokotsuka, T. 1986. Shoyu conversion and manufacture of Foodstuffs by Micro organisms, processing of the sixth. *Int.Symp.* 117-125.
- Yokotsuka T. 1960. Aroma and flavor of Japanese soy sauce. *Advanced Food Resource.* 10: 75-134.
- Yong, F.M. & Wood, B. J. B. 1974. Microbiology and biochemistry of soy sauce fermentation. *Adv. Appl. Microbiol.* 17: 157-194.





กระบวนการผลิตเต้าเจี้ยว





การวิเคราะห์คุณภาพทางกายภาพ

1. การวัดค่าสี

วัดค่าสีตัวอย่าง โดยใช้เครื่อง Colorimeter (JUKI, Tri-Stimulus Colorimeter JC801, Tokyo, Japan) โดยทำการวัดค่าสี L^* a^* และ b^* ทั้งหมด 10 ชิ้น ต่อการทดลอง ค่าที่ได้แสดงในรูปของค่าสี L^* a^* และ b^* โดย

ค่าสี L^* เป็นค่าที่แสดงถึงความสว่าง ถ้าค่าสี L^* เข้าใกล้ 0 หมายถึง ตัวอย่างสีเข้มมาก ถ้าค่าสี L^* เข้าใกล้ 100 หมายถึง ตัวอย่างสีเหลือง ถ้า L^* เท่ากับ 100 หมายถึง ตัวอย่างสว่าง

ค่าสี a^* เป็นค่าแสดงช่วงความแตกต่างของช่วงสีแดง และสีเขียว ถ้าค่าสี a^* เป็นบวก หมายถึง ตัวอย่างมีสีแดง ถ้าค่าสี a^* เป็นลบ หมายถึง ตัวอย่างมีสีเขียว โดยค่าสี a^* มีค่า -60 ถึง +60 และค่าสี a^* หากนี่ค่าเป็น 0 หมายถึง ตัวอย่างมีสีเทา

ค่าสี b^* เป็นค่าแสดงช่วงความแตกต่างของช่วงสีเหลือง และสีน้ำเงินของ ถ้าค่าสี b^* เป็นบวกมาก หมายถึง ตัวอย่างมีสีเหลือง ถ้าค่าสี b^* เป็นลบ หมายถึง ตัวอย่างมีสีน้ำเงิน โดยค่าสี b^* มีค่าตั้งแต่ -60 ถึง +60



วิธีวิเคราะห์คุณภาพทางเคมี

1. การวิเคราะห์หาค่าความเป็นกรด-เบส

วิธีการวิเคราะห์

ก่อนใช้เครื่องดึงทำการปรับตั้งค่ามาตรฐานของ เครื่องวัดความเป็นกรด-เบส (ความเป็นกรด-เบส meter) โดยใช้สารละลายน้ำฟเฟอร์นัมารฐานค่าความเป็นกรด-เบสเท่ากับ 7.0 และ 4.0 ตามลำดับ นำตัวอย่าง 10 กรัม เติมน้ำกลั่น 100 มิลลิลิตร ตั้งทิ้งไว้ให้ดักแดกอน นำส่วนใสไปวัดค่าความเป็นกรด-เบส

2. การทดสอบแพ้งด้วยไอโอดีน

2.1 การเตรียมสารละลายน้ำฟเฟอร์นัมารฐานความเข้มข้นร้อยละ 0.2

ชั่งไอโอดีน 0.2 กรัม และ potassium iodide (KI) 2 กรัม ละลายในน้ำกลั่นปรับปริมาตรสารละลายน้ำฟเฟอร์นัมารฐาน 100 มิลลิลิตร เก็บใส่ขวดสีชา

3. การวิเคราะห์ปริมาณกรดทั้งหมด (AOAC, 1995)

3.1 สารเคมี

3.1.1 สารละลายน้ำฟเฟอร์นัมารฐานโซเดียมไฮดรอกไซด์ (NaOH) ความเข้มข้น 0.1 นอร์มัล

3.1.2 สารละลายน้ำฟเฟอร์นัมารฐานโซเดียมไฮดรอกไซด์ (potassium hydroxide) ความเข้มข้น 0.1 นอร์มัล

3.1.3 เอทิลแอลกอฮอล์ (ethyl alcohol)

3.1.4 โพแทสเซียมไฮดรอกไซด์ (potassium hydrogen thalate : $KHC_8H_4O_4$)

3.2 การหาความเข้มข้นของสารละลายน้ำฟเฟอร์นัมารฐาน NaOH

3.2.1 ชั่ง potassium hydrogen thalate ที่ผ่านการอบที่อุณหภูมิ 105 องศา-เซลเซียส เป็นเวลา 3 ชั่วโมง ทิ้งให้เย็นในโดดดูดความชื้น 30 นาที จากนั้นนำมาชั่ง 0.5 กรัม ละลายด้วยน้ำกลั่นจำนวน 25 มิลลิลิตร

3.2.2 ชั่งฟีนอลฟ์ทาลีน 1 กรัม ผสมกับเอทิลแอลกอฮอล์ความเข้มข้นร้อยละ 95 ปริมาณ 50 มิลลิลิตร ปรับปริมาตรให้ครบ 100 มิลลิลิตร ด้วยน้ำกลั่น เพื่อใช้เป็นอินดิเคเตอร์

3.2.3 ชั่ง NaOH 4 กรัม และปรับปริมาตรให้ครบ 1000 มิลลิลิตร ด้วยน้ำกลั่นในขวดปรับปริมาตร

3.2.4 เติมอินดิเคเตอร์ในสารละลายน้ำ potassium hydrogen thalate จำนวน 2-3 หยด

3.2.5 ไตรเตรท์ด้วยสารละลายน้ำ NaOH จนถึงจุดยุติ โดยสารละลายนจะเปลี่ยนเป็นสีเข้มฟู คำนวณหาค่าความเข้มข้นของสารละลายน้ำ NaOH จากสูตร

$$\text{ความเข้มของสารละลายน้ำ NaOH (N)} = \frac{\text{น้ำหนักของ } \text{KHC}_8\text{H}_4\text{O}_4 \text{ (กรัม)}}{204.229 \times \text{ปริมาตรของ NaOH (มิลลิลิตร)}} \times 1000$$

$$\text{ปริมาณกรดแเดคติก (ร้อยละ)} = \frac{V_1 \times N \text{ NaOH} \times \text{น้ำหนักตัวอย่าง (กรัม)}}{V_2 \times \text{ปริมาณที่ใช้ไตรเตรท์}} \times 100 \times 90.08 \times 1000$$

V_1 = ปริมาตรโซเดียมไฮดรอกไซด์ที่ใช้ (มิลลิลิตร)

V_2 = ปริมาตรของตัวอย่างที่ใช้ (กรัม)

4. การหาปริมาณน้ำตาลรีดิวช์

4.1 การเตรียมสารละลายน้ำ DNS solution (Miller, 1959)

ละลายน้ำ NaOH 1.6 กรัม ในน้ำ 50 มิลลิลิตร แล้วเติม 3,5-dinitrosalicylic acid (DNS) 1 กรัม กวนผสมให้ละลายน้ำ แล้วจึงเติม potassium sodium tartrate 30 กรัม เมื่อทุกอย่างละลายน้ำตีแล้ว ให้ปรับปริมาตรสารละลายน้ำทั้งหมดเป็น 100 มิลลิลิตร เก็บใส่ขวดตี湘านานไม่เกิน 1 สัปดาห์

4.2 การเตรียมกราฟมาตรฐานของสารละลายนอลโทส

4.2.1 เตรียม stock solution ของนอลโทสความเข้มข้น 200 มิลลิกรัม โดยชั่งนอลโทส 0.2 กรัม ละลายน้ำในน้ำกลั่นประมาณ 50 มิลลิลิตร และปรับปริมาตรให้เป็น 100 มิลลิลิตร โดยใช้ขวดปรับปริมาตร สารละลายนอลโทสมีความเข้มข้น 2 มิลลิกรัมต่อมิลลิลิตร

4.2.2 เตรียมสารละลายนมาตรฐานนอลโทสที่ความเข้มข้นระหว่าง 0-200 มิลลิกรัม โดยถ่ายสารละลายน้ำ นอลโทส จาก stock solution ปริมาตร 0 1 2 4 5 6 8 และ 10 มิลลิลิตร ลงในหลอดทดลอง เติมน้ำกลั่นให้ได้ปริมาตรรวม 10 มิลลิลิตร จะได้ความเข้มข้นสารละลายนอลโทสเท่ากับ 0 0.2 0.4 0.8 1 1.2 1.6 และ 2 มิลลิกรัมต่อมิลลิลิตร ตามลำดับ

4.2.3 ถ่ายสารละลายนอลโทส ปริมาตร 2 มิลลิลิตร ลงในหลอดทดลอง

4.2.4 เติมสารละลายน้ำ DNS ปริมาตร 2 มิลลิลิตร ลงในหลอดทดลองในข้อ 4.2.3 ปิดฝาหลอดทดลอง แล้วเขย่าให้เข้ากันด้วยเครื่องผสม

4.2.5 ต้มหลอดทดลองในน้ำเดือดนาน 15 นาที นำไปทำให้เย็นทันทีในอ่างน้ำเย็น

4.2.6 เติมน้ำเกลี้ยงปริมาตร 10 มิลลิลิตร ลงในหลอดทดลองข้อ 4.2.5

4.2.7 เครื่องมือ *blank* โดยใช้น้ำเกลี้ยงแทนสารละลายนอลโทส แล้วทำการวิเคราะห์ เช่นเดียวกับข้อ 4.2.4-4.2.6

4.2.8 นำไปวัดค่าการดูดกลืนแสงของสารละลายที่ความยาวช่วงคลื่น 540 นาโนเมตร ด้วยเครื่องวัดการดูดกลืนแสง

4.2.9 สร้างกราฟมาตรฐานจากค่าการดูดกลืนแสงที่วัดได้

4.3 คำนวณหา $\text{น้ำตาลรีดิวช์} \times \text{กําลังต่อไปนี้}$

ปริมาณน้ำตาลรีดิวช์ทั้งหมด (มิลลิกรัมต่อกิโลกรัม) = $\text{น้ำตาลรีดิวช์ (กรัม)} \times \text{เท่าของการเจือจาง}$

5. การวิเคราะห์กิจกรรมเอนไซม์อะไมเลส

5.1 การเตรียมสารละลายน้ำ DNS solution (Miller, 1959)

เตรียมตามข้อ 4.1

5.2 การเตรียมสารละลายน้ำ acetate buffer 1 โนมล ความเป็นกรด-เบส 5.0 (AOAC, 1995)

5.2.1 เตรียมสารละลายน้ำ A (1 M acetic acid) น้ำ glacial acetic acid (CH_3COOH)

ปริมาตร 60.24 มิลลิลิตร ละลายน้ำเกลี้ยง แล้วปรับปริมาตรให้เป็น 1,000 มิลลิลิตร ในขวดปรับปริมาตร

5.2.2 เตรียมสารละลายน้ำ B (1 โนมล sodium acetate) น้ำ sodium acetate (CH_3COONa) 82.03 กรัม ละลายน้ำเกลี้ยง แล้วปรับปริมาตรให้เป็น 1,000 มิลลิลิตร ในขวดปรับปริมาตร

5.2.3 นำสารละลายน้ำ A ปริมาตร 29.2 มิลลิลิตร ผสมกับสารละลายน้ำ B ปริมาตร 70.8 มิลลิลิตร เติมน้ำเกลี้ยงไปประมาณ 700 มิลลิลิตร ปรับค่าความเป็นกรด-เบส ให้ได้เท่ากับ 5.0 ปรับด้วยกรดไฮโดรคลอริก (HCl) หรือโซเดียมไฮดรอกไซด์ (NaOH) จากนั้นปรับปริมาตรให้เป็น 1,000 มิลลิลิตร ด้วยน้ำเกลี้ยง

5.3 การเตรียมน้ำแป้งร้อยละ 2 (Bradshaw, 1963)

น้ำ soluble starch 2 กรัม ละลายน้ำ 1 โนมล acetate buffer ความเป็นกรด-เบส 5.0 ปริมาตร 100 มิลลิลิตร แล้วต้มให้เดือดจนแป้งละลายหมดลงเห็นเป็นของเหลวใส

5.4 การเตรียมกราฟมาตรฐานของสารละลายนอลโทส

5.4.1 เตรียม stock solution ของนอลโทสความเข้มข้น 200 มิลลิกรัม โดยชั่งนอลโทส 0.2 กรัม ละลายน้ำเกลี้ยงประมาณ 50 มิลลิลิตร และปรับปริมาตรให้เป็น 100 มิลลิลิตร โดยใช้ขวดปรับปริมาตร สารละลายนอลโทสมีความเข้มข้น 2 มิลลิกรัมต่อมิลลิลิตร

5.4.2 เตรียมสารละลายน้ำมอลトイส์ที่ความเข้มข้นระหว่าง 0-200 มิลลิกรัม โดยถ่ายสารละลายน้ำมอลトイส์จาก stock solution ปริมาตร 0 1 2 4 5 6 8 และ 10 มิลลิลิตร ลงในหลอดทดลอง เติมน้ำกลันให้ได้ปริมาตรรวม 10 มิลลิลิตร จะได้ความเข้มข้นสารละลายน้ำมอลトイส์เท่ากับ 0 0.2 0.4 0.8 1 1.2 1.6 และ 2 มิลลิกรัมต่อมิลลิลิตร ตามลำดับ

5.4.3 ถ่ายน้ำแข็งที่มีความเข้มข้นร้อยละ 2 ปริมาตร 2 มิลลิลิตร ลงในหลอดทดลองนำไปอุ่นในอ่างความคุณอุณหภูมิที่ 40 องศาเซลเซียส เป็นเวลา 5 นาที

5.4.4 ถ่ายตัวอย่างสารละลายน้ำมอลトイส์ ปริมาตร 1 มิลลิลิตร ลงในน้ำแข็งที่อยู่ในหลอดทดลอง

5.4.5 เติมน้ำสารละลายน้ำ DNS ปริมาตร 3 มิลลิลิตร ลงในหลอดทดลองในข้อ 5.4.4 ปิดฝาหลอดทดลอง แล้วเขย่าให้เข้ากันด้วยเครื่องผสม แล้วนำไปให้ความร้อนในอ่างน้ำความคุณอุณหภูมิที่ 40 องศาเซลเซียส นาน 10 นาที

5.4.6 นำหลอดทดลองในข้อ 5.4.5 ไปดับในน้ำเดือดนาน 15 นาที นำไปทำให้เย็นทันทีในอ่างน้ำเย็น

5.4.6 เติมน้ำกลันปริมาตร 10 มิลลิลิตร ลงในหลอดทดลองข้อ 5.4.6

5.4.7 เตรียม blank โดยใช้สารละลายน้ำ acetate buffer 1 มิล ความเป็นกรด-เบส 5.0 แทนตัวอย่าง

5.4.8 นำไปวัดค่าการดูดกลืนแสงของสารละลายน้ำที่ความยาวช่วงคลื่น 540 นาโนเมตร ด้วยเครื่องวัดการดูดกลืนแสง

5.4.9 นำค่าที่วัดได้จากเครื่องวัดการดูดกลืนแสงไปสร้างกราฟมาตรฐาน

5.5 คำนวณกิจกรรมเอนไซม์อะไมเลสจากสูตรดังต่อไปนี้

$$\text{กิจกรรมอะไมเลส (ยูนิตต่อมิลลิลิตร)} = \frac{\text{น้ำตาลรีดิวช์ (กรัม)}}{\text{จำนวนเทาของการเจือจาง}} \times 10$$

หมายเหตุ: 1 ยูนิต หมายถึง ปริมาณน้ำตาลน้ำมอลトイส์ 1 มิลลิกรัม ที่ได้จากการไฮโดรไลซ์สับสเตรทในระยะเวลา 1 นาที

6. การวิเคราะห์กิจกรรมโปรตีอส

6.1 เตรียมบัพเฟอร์ 50 มิลลิโมล Potassium phosphate buffer ความเป็นกรด-เบส 7.0

ซึ่ง Potassium phosphate buffer dibasic (K_2HPO_4) หนัก 8.709 กรัม แล้วเติมลงในน้ำกลันปรับปริมาตรให้ได้ 800 มิลลิลิตร ปรับค่าความเป็นกรด-เบส ให้ได้เท่ากับ 7.0 ด้วยกรดไฮโดร

คลอริก (HCl) หรือโซเดียมไฮดรอกไซด์ (NaOH) จากนั้นปรับปริมาตรให้เป็น 1000 มิลลิลิตร ด้วยน้ำกลั่น

6.2 สารละลายเคซีน (casein) ความเข้มข้น ร้อยละ 0.65

ชั้งเคซีนหนัก 0.65 กรัม มาละลายใน phosphate buffer ความเป็นกรด-เบส 7.0 ปริมาตร 50 มิลลิลิตร ในอ่างน้ำควบคุมอุณหภูมิที่ 80-85 องศาเซลเซียส นาน 10 นาที ปรับค่าความเป็นกรด-เบส ให้ได้เท่ากับ 7.0 ด้วยกรดไฮดรอกลอริก (HCl) หรือโซเดียมไฮดรอกไซด์ (NaOH) แล้วปรับปริมาตรให้ได้ 100 มิลลิลิตร โดยวัดปรับปริมาตร

6.3 เตรียมสารละลาย Trichloroacetic acid solution (TCA) ความเข้มข้น 110 มิลลิโมล

ชั้ง TCA 17.9727 กรัม ละลายในน้ำกลั่น ปรับปริมาตรให้ได้ 1000 มิลลิลิตร โดยวัดปรับปริมาตร

6.4 เตรียมสารละลาย Folin -Ciocalteau ความเข้มข้น 0.5 มิลลิโมล

ตวง Folin ปริมาตร 50 มิลลิลิตร ผสมในน้ำกลั่น 100 มิลลิลิตร

6.5 เตรียมสารละลาย Sodium Carbonate solution (Na_2CO_3) ความเข้มข้น 500 มิลลิโมล

ชั้ง Na_2CO_3 หนัก 52.995 กรัม แล้วนำมาละลายในน้ำกลั่นปรับปริมาตรให้ได้ 1000 มิลลิลิตร โดยวัดปรับปริมาตร

6.6 การเตรียมกราฟมาตรฐานของสารละลายไทโรเชิน

6.6.1 เตรียม stock solution ของไทโรเชินให้มีความเข้มข้น 1.1 มิลลิโมล โดยชั้งไทโรเชินหนัก 0.02 กรัม ละลายในน้ำกลั่นปริมาตรเป็น 100 มิลลิลิตร โดยวัดปรับปริมาตร

6.6.2 เตรียมสารละลายน้ำมาตรฐานไทโรเชินที่ความเข้มข้นระหว่าง 0-200 ไมโครกรัมต่อมิลลิลิตร โดยถ่ายสารละลาย ไทโรเชินความเข้มข้น 1.1 มิลลิโมล จาก stock solution ปริมาตร 0.2 0.4 0.8 1.0 1.2 1.6 และ 2 มิลลิลิตร ตามลำดับ เติมน้ำกลั่นให้ได้ปริมาตรรวม 10 มิลลิลิตร จะได้ความเข้มข้นสารละลายไทโรเชินเท่ากับ 0 20 40 80 100 120 160 และ 200 ไมโครกรัมต่อมิลลิลิตร

6.6.3 นำสารละลายน้ำมาตรฐานไทโรเชินแต่ละความเข้มข้น ไปข้อ 6.6.2 นำไป Na_2CO_3 5 มิลลิลิตร

6.6.4 นำสารละลายน้ำมาตรฐานไทโรเชินแต่ละความเข้มข้น ไปข้อ 6.6.3 นำไป Folin 1 มิลลิลิตร ผสมให้เข้ากันนำไป incubate ที่อุณหภูมิ 37 องศาเซลเซียส 30 นาที

6.6.5 นำไปวัดค่าการดูดกลืนแสงที่ 660 นาโนเมตร

6.7 คำนวณกิจกรรมเอนไซม์ໂປຣຕිເອສ

$$\text{กิจกรรมໂປຣຕිເອສ} = \frac{(E - E_0) \times 11 \text{ (มิลลิลิตร)}}{E_z \times 1 \text{ (มิลลิลิตร)} \times 2 \text{ (มิลลิลิตร)} \times 10 \text{ (นาที)}}$$

กิจกรรมໂປຣຕිເອສ (ยูนิตต่อกรัม) = กิจกรรมໂປຣຕිເອສ \times ปริมาณเอนไซม์ทั้งหมด (มิลลิลิตร)
น้ำหนักที่ใช้ในการสกัดเอนไซม์(กรัม)

กำหนดให้

$E = OD$ ที่วัดได้เมื่อให้อ่อนไชม์ทำปฏิกิริยากับสารตั้งต้นเคชินเป็นเวลา 10 นาที ที่ อุณหภูมิ 37 องศาเซลเซียส

$E_0 = OD$ ที่วัดได้เมื่อหดปฏิกิริยาของเอนไซม์ก่อนจะเริ่มสารตั้งต้นเคชิน

$E_z =$ ค่าคงที่ที่ได้จากความซันของกราฟมาตราฐานไทโรมีน

หมายเหตุ: กิจกรรมໂປຣຕිເອສ 1 ยูนิต หมายถึง ความสามารถของเอนไซม์ที่ไฮดรอลายสารละลายเคชินที่เป็นสับส黍ลดได้กรดอะมิโนในรูปของไทโรมีน 1 ไมโครโมล (μmol) ในเวลา 1 นาที ที่อุณหภูมิ 37 องศาเซลเซียส ค่าความเป็นกรด-เบสเท่ากับ 7.0

7. การวิเคราะห์ปริมาณกรดอะมิโนทั้งหมด โดยวิธี Photometric ninhydrin

7.1 Sodium-acetate buffer 4.0 โนล

เตรียมโดยคล้ายๆเดิมอะซิเดต (CH_3COONa) 32.81 กรัม และกรดอะซิติกเข้มข้น (CH_3COOH) 10 มิลลิลิตร ใน deionized water 60 มิลลิลิตร ผสมให้เข้ากัน ปรับค่าความเป็นกรด-เบสให้ได้ 5.2 ด้วยกรด HCl ปรับปริมาตรเป็น 100 มิลลิลิตร

7.2 Ninhydrin colour reagent

เตรียมโดยคล้าย ninhydrin 2 กรัม และ hydrindantin 0.3 กรัม ในสารละลาย DMSO ปริมาตร 75 มิลลิลิตร ปรับปริมาตรเป็น 100 มิลลิลิตร ด้วยสารละลาย 4M sodium-acetate buffer เก็บไว้ในทึบมีด

7.3 Stabilizing solvent

เตรียมโดยคล้าย เอทานอล 50 มิลลิลิตร ใน deionized water ปริมาตร 100 มิลลิลิตร

7.4 Amino-N stock solution ความเข้มข้น 10 มิลลิโนล

เตรียม โดยละลาย ไอกลีน (glycine) 0.075 กรัม ใน deionized water ปรับปริมาตรเป็น 100 มิลลิลิตร เก็บในที่มีคุณภาพภูมิ 4 องศาเซลเซียส

7.5 Amino-N standrad ความเข้มข้น 200 ไมโครโมล

เตรียม โดยเจือจางสารละลาย Amino-N stock solution 10 มิลลิโนล ปริมาตร 2 มิลลิลิตร ด้วยสารละลาย KCl ความเข้มข้น 2 โนล ปรับปริมาตรเป็น 100 มิลลิลิตร

7.6 KCl ความเข้มข้น 2 โนล

เตรียม โดยละลาย KCl 14.9 กรัม ใน deionized water ปรับปริมาตรเป็น 100 มิลลิลิตร

7.8 การสร้างกราฟมาตรฐานปริมาณกรดอะมิโนอิสระทั้งหมด

7.8.1 เตรียม amino-N standrad ให้มีความเข้มข้นอยู่ระหว่าง 0-200 ไมโครโมล

7.8.2 เติม ninhydrin colour reagent ปริมาตร 1 มิลลิลิตร ลงในหลอดทดลอง ที่มีสารละลาย จากข้อ 1 ปริมาตร 1 มิลลิลิตร บรรจุอยู่ ผสมให้เข้ากัน แล้วนำไปวางไว้ในอ่างน้ำควบคุมอุณหภูมิที่ 100 องศาเซลเซียส นาน 10 นาที

7.8.3 ทิ้งให้เย็น ณ อุณหภูมิห้อง เติม stabilizing solvent ปริมาตร 5 มิลลิลิตร ผสมให้เข้ากัน นำไปวัดค่าการดูดกลืนแสงที่ 570 นาโนเมตร โดยใช้สารละลาย KCl ความเข้มข้น 2 โนล เป็น blank

7.8.4 สร้างกราฟมาตรฐานจากความสัมพันธ์ระหว่างปริมาณกรดอะมิโนอิสระทั้งหมดและค่าความเข้มข้นของสารละลายกรดอะมิโน

7.9 คำนวณปริมาณกรดอะมิโนอิสระได้จากสูตรดังด่อไปนี้

ปริมาณกรดอะมิโนอิสระ

(มิลลิกรัมต่อกิโลกรัม) = $(OD \text{ กราฟมาตรฐาน} \times OD \text{ ตัวอย่าง}) \times \text{จำนวนเท่าของการเจือจาง}$

8. การวิเคราะห์ปริมาณเกลือ (ดัดแปลงจาก Mohr, 1999)

8.1 สารละลาย K_2CrO_4 เข้มข้นร้อยละ 5 ชั่ง K_2CrO_4 (potassium chromate) 5 กรัม ละลายด้วยน้ำกลั่นปรับปริมาตรให้ได้ 100 มิลลิลิตร ได้สารละลาย K_2CrO_4 เข้มข้นร้อยละ 5

8.2 สารละลาย $AgNO_3$

ชั่ง $AgNO_3$ หนัก 16.99 กรัม ปรับปริมาตรให้ได้ 1000 มิลลิลิตร

8.3 Standardization สารละลายน้ำ NaCl

ชั่ง NaCl (อบแห้งที่ 105 องศาเซลเซียส นาน 5 ชั่วโมง) เดิมสารละลายน้ำ NaCl จากข้อ 8.1 ปริมาตร 1 มิลลิลิตร เพื่อเป็นอินดิเกตอร์ลงในสารละลายน้ำ NaCl ให้เข้ากัน ได้ เพราะสารละลายน้ำ NaCl ด้วยสารละลายน้ำจุดบุศต์ สังเกตได้จากการเกิดตะกอนสีแดงอิฐ

คำนวณความเข้มข้นของสารละลายน้ำ NaCl จากสูตร

$$\text{AgNO}_3 (\text{M}) = \frac{\text{NaCl (g)} \times 1000}{\text{AgNO}_3 (\text{มิลลิลิตร}) \times 58.44}$$

8.4 คำนวณปริมาณเกลือ

ปริมาณ NaCl (ร้อยละ) = $\text{AgNO}_3 (\text{มิลลิลิตร}) \times 0.005844 \times 25 \times \text{จำนวนเท่าของสารเจือจาง}$

9. การวิเคราะห์ปริมาณอัลกอฮอล์ (Amerine and Ough, 1974; AOAC, 1990)

9.1 สารละลายน้ำ NaCl ไนโตรเมต

เติมกรดกำมะถัน (ขั้ลฟูริก) เข้มข้น 325 มิลลิลิตร ลงในน้ำกลั่น 400 มิลลิลิตร ผสมให้เข้ากันทำให้เย็นลงจนถึงอุณหภูมิ 80-90 องศาเซลเซียส เดิม $\text{K}_2\text{Cr}_2\text{O}_7$ (โพแทสเซียมไนโตรเมต) 33.768 กรัม ปรับปริมาตรให้เป็น 1000 มิลลิลิตร ด้วยน้ำกลั่น

9.2 สารละลายน้ำ FeSO₄ (FeSO₄.7H₂O)

สารละลายน้ำ FeSO₄ (FeSO₄.7H₂O) 0.695 กรัม ในน้ำกลั่น 50 มิลลิลิตร เดิมกรดกำมะถันเข้มข้น 30 มิลลิลิตร ปรับปริมาตรให้เป็น 1000 มิลลิลิตร ด้วยน้ำกลั่น

9.3 สารละลายน้ำ FeSO₄.7H₂O (FeSO₄.7H₂O)

สารละลายน้ำ FeSO₄.7H₂O (FeSO₄.7H₂O) 0.695 กรัม ในน้ำกลั่น 50 มิลลิลิตร เดิม o-phenanthroline.H₂O 1.48 กรัม ปรับปริมาตรให้เป็น 100 มิลลิลิตร ด้วยน้ำกลั่น

9.4 การคำนวณปริมาณอัลกอฮอล์

$$\text{อัลกอฮอล์ (ร้อยละ โดยปริมาตร)} = \frac{25.00 - (25 \times V/V')}{25.00}$$

(มิลลิลิตร/100 มิลลิลิตร)

กำหนดให้

V = มิลลิลิตรของสารละลายน้ำ FeSO₄.7H₂O ที่ทำปฏิกิริยาพอดี (ไทเทրต์) กับสารละลายน้ำ NaCl ไนโตรเมตที่เหลือจากการทำปฏิกิริยา กับตัวอย่าง (อัลกอฮอล์)

V' = มิลลิลิตรของสารละลายน้ำ FeSO₄.7H₂O ที่ใช้ไทเทรต์กับแบลล์ก



การวิเคราะห์คุณภาพทางชลน้ำวิทยา

1. การตรวจสอบสปอร์โดย counting chamber

ชั่งตัวอย่าง 10 กรัม ใส่ลงใน Erlenmeyer flask ขนาด 250 มล ที่มีน้ำกลั่นพสม tween 80 ร้อยละ 0.1 ปริมาตร 90 มิลลิลิตร แล้วเขย่าเพื่อให้สปอร์กระจายตัวในน้ำกลั่น ใช้ Pasteur pipette ถ่ายสปอร์ซึ่งส่วนใหญ่จะอยู่ในน้ำกลั่น ลงใน counting chamber ปิดทับด้วย cover glass และนับจำนวน สปอร์ภายใน counting chamber คำนวณจำนวนสปอร์ต่อหน่วยปริมาตร ทำ 2 ชั้้น เพื่อหาค่าเฉลี่ย

2. การเตรียมสารละลายน้ำเปปโตนขั้นร้อยละ 0.1

ชั่งเปปโตน 1 กรัม ใส่ในน้ำกลั่น 1000 มิลลิลิตร ในบีกเกอร์ขนาด 1000 มิลลิลิตร ภาชนะเดียวกัน ผสมจนเปปโตนละลายหมด แบ่งบรรจุสารละลายน้ำเปปโตนปริมาตร 9 มิลลิลิตร ใส่ในหลอดทดลอง ปิดปากหลอดด้วยฝาพลาสติกทันที นำไปผ่าเชื้อในหม้อนึ่งความดัน อุณหภูมิ 121 องศาเซลเซียส นาน 15 นาที

3. การวิเคราะห์จำนวนจุลทรรศน์ทั้งหมด (Total plate count) (AOAC, 2005)

3.1 การเตรียมอาหารเลี้ยงเชื้อ (Plate count agar: PCA)

ชั่งอาหารเลี้ยงเชื้อ PCA จำนวน 23.5 กรัม ละลายในน้ำกลั่น 1000 มิลลิลิตร นำไปผ่าเชื้อในหม้อนึ่งความดัน อุณหภูมิ 121 องศาเซลเซียส นาน 15 นาที

3.2 การเตรียมตัวอย่าง

ชั่งน้ำหนักตัวอย่างเดียวเท่านั้น ให้ได้ 10 กรัม ใส่ในถุงตีปัน ที่มีสารละลายน้ำเปปโตนร้อยละ 0.1 ปริมาตร 90 มิลลิลิตรนำมาทำการเจือจางตัวอย่างแบบอนุกรม จนได้ความเจือจางที่เหมาะสม

3.3 การเพาะเชื้อ

3.3.1 ใช้ micropipette ขนาด 1 มิลลิลิตร ที่ปราศจากเชื้อ ถ่ายสารละลายน้ำเปปโตนอาหารที่มีความเจือจางที่เหมาะสมลงในจานเพาะเชื้อ จำนวน 1 มิลลิลิตร ทำ 2 ชั้้น

3.3.2 เท PCA ที่หลอมเหลวแล้ว และมีอุณหภูมิประมาณ 45 องศาเซลเซียส ลงในจานเพาะเชื้อที่มีตัวอย่างอยู่ จำนวนประมาณ 20 มิลลิลิตร แล้วขับจานเพาะเชื้อไปในทิศทางต่างๆ กัน เพื่อให้จุลทรรศน์กระจายตัว

3.3.3 นำไปบ่มในคุ้นบ่มเชื้อที่อุณหภูมิ 37 องศาเซลเซียส นาน 48 ชั่วโมง

3.5 การตรวจนับโคลoni

นับจำนวนโคลoniในงานเพาะเชื้อที่มีจำนวนในช่วง 30 -300 โคลoni หากค่าเฉลี่ย แล้ว
คำนวณเป็นจำนวนโคลoniต่ออาหาร 1 กรัม (cfu/g)

4. การวิเคราะห์หาปริมาณยีสต์และราดังนมด (Yeast and mould) (AOAC, 2005)

4.1 การเตรียมอาหารเลี้ยงเชื้อ Dichloran Rose-Bengal Chloramphenicol Agar (DRBC)

ชั้งอาหารเลี้ยงเชื้อ DRBC จำนวน 30.9 กรัม ละลายน้ำกลัน 1000 มิลลิลิตร นำไปปั่นเชื้อใน
หม้อนึ่งความดัน อุณหภูมิ 121 องศาเซลเซียส นาน 15 นาที

4.2 การเตรียมตัวอย่าง

ทำการเตรียมตัวอย่างเช่นเดียวกับข้อ 3.2

4.3 การเพาะเชื้อ

4.3.1 เทอาหารเลี้ยงเชื้อ DRBC ลงในงานเพาะเชื้อ ประมาณ 20 มิลลิลิตร ปล่อยทิ้ง
ไว้ให้อาหารวุ่นแข็งดัว และผิวน้ำแห้ง

4.3.2 ถ่ายสารละลายอาหารที่มีความเข้มข้นที่เหมาะสม ปริมาตร 0.1 มิลลิลิตร ลง
ตรงกลางของผิวน้ำอาหาร ทำ 3 ช้ำ

4.3.3 ใช้เท่งแก้วปลายรูปสามเหลี่ยม ที่ปราศจากเชื้อเกลี่ยเชื้อให้ทั่วผิวน้ำอาหาร
เลี้ยงเชื้อ

4.4 การบ่มเชื้อ

นำไปปั่นในถุงบ่มเชื้อที่อุณหภูมิ 30 องศาเซลเซียส นาน 48 ชั่วโมง โดยหมายงานเพาะเชื้อ

4.5 การตรวจนับจำนวนโคลoni

ตรวจนับจำนวนโคลoniบนอาหารเลี้ยงเชื้อที่มีจำนวนโคลoniอยู่ระหว่าง 30 – 300 โคลoni
หากค่าเฉลี่ย แล้วคำนวณเป็นจำนวนโคลoniต่ออาหาร 1 กรัม (cfu/g)

5. การหาปริมาณแบคทีเรียแอลกอลิก โดยวิธี AOAC (1995)

5.1 การเตรียมอาหารเลี้ยงเชื้อ (Glucose Yeast extract and Peptone; GYP)

ชั้ง glucose, yeast extract, peptone และ calcium carbonate อย่างละ 10 กรัม และ agar
จำนวน 15 กรัม ละลายน้ำกลัน 1000 มิลลิลิตร นำไปปั่นเชื้อในหม้อนึ่งความดัน อุณหภูมิ 121
องศาเซลเซียส นาน 15 นาที

5.2 การเตรียมตัวอย่าง

ทำการเตรียมตัวอย่างเช่นเดียวกับข้อ 3.2

5.3 การเพาะเชื้อ

5.3.1 ใช้ micropipette ขนาด 1 มิลลิลิตร ที่ปราศจากเชื้อ ถ่ายสารละลายตัวอย่างอาหารที่มีความเจือจางที่เหมาะสมลงในจานเพาะเชื้อ จานละ 1 มิลลิลิตร ทำ 3 ช้อน

5.3.2 เทอาหารเลี้ยงเชื้อ GYP ที่หลอมเหลวแล้ว และมีอุณหภูมิประมาณ 45 องศาเซลเซียส ลงในจานเพาะเชื้อที่มีตัวอย่างอยู่ จานละประมาณ 20 มิลลิลิตร แล้วหันจานเพาะเชื้อไปในทิศทางต่าง ๆ กัน เพื่อให้จุลทรรศน์กระจายตัว

5.3.4 นำไปบ่มในตู้บ่มเชื้อที่อุณหภูมิ 37 องศาเซลเซียส นาน 48 ชั่วโมง

5.5 การตรวจนับโคโลนี

นับจำนวนโคโลนีในจานเพาะเชื้อที่มีจำนวนในช่วง 30 -300 โคโลนี หาค่าเฉลี่ย แล้ว คำนวณเป็นจำนวนโคโลนีต่ออาหาร 1 กรัม (cfu/g)



การวิเคราะห์ความแตกต่างการเรียงลำดับความชอบ (Preference Ranking Test) ด้วยวิธีการของ Friedman's Test

การทดสอบนี้ จะกำหนดให้ผู้บริโภคเรียงลำดับความชอบต่อผลิตภัณฑ์หลายๆ ผลิตภัณฑ์ เป็นการบอกรหัสทางความชอบต่อผลิตภัณฑ์ แต่ไม่ได้บอกรความสัมพันธ์หรือขานาคความชอบที่แตกต่างกันในแต่ละผลิตภัณฑ์

ผู้ทดสอบจะได้รับตัวอย่าง 1 ชุด ซึ่งประกอบด้วยตัวอย่าง 3 ตัวอย่างขึ้นไปที่ดีครั้งต่อไปทดสอบต้องเรียงลำดับความชอบจากมากที่สุด = 1 ไปน้อยที่สุด = n (n = จำนวนตัวอย่าง) ซึ่งควรเป็น 3-6 ตัวอย่าง โดยนำเสนอตัวอย่างแบบสุ่ม

นำผลการทดสอบไปคำนวณค่ารวมของ Rank (Rank Sum) ของแต่ละตัวอย่างแล้วนำค่าที่ได้ไปวิเคราะห์ผลซึ่งทำได้หลายวิธี ดังนี้

1. เปิดตารางสำหรับของ Kramer หรือของ Basker ตารางจะบอกรายละเอียดของความแตกต่างระหว่าง Rank sum
2. ใช้ Friedman's Test

$$\chi^2 = T = \frac{12}{[NK(K+1)]} \sum (T_k)^2 - [3(N)(K+1)]$$

K = จำนวนตัวอย่าง

N = จำนวนผู้ทดสอบตัวอย่าง

T_k = ผลรวมของ Rank สำหรับตัวอย่างที่ k

K-1 = df

ถ้าค่า T ที่คำนวณได้มีค่ามากกว่าค่าจากตารางที่ระดับความเชื่อมั่นที่กำหนด และค่า df = K-1 สรุปว่าผู้บริโภค มีความชอบต่อผลิตภัณฑ์แตกต่างกัน เมื่อต้องการทราบความแตกต่างของแต่ละตัวอย่าง สามารถหาได้โดยใช้สูตรหาค่า LSD สำหรับข้อมูล Rank ที่เรียกว่า LSRD หรือ “Least Significant Ranked Difference” ดังนี้

$$LSD_{rank} = (LSRD) = t \sqrt{NK(K+1)/6}$$

ที่ระดับความน่าจะเป็น P = 0.05

ค่า t คือ critical t-value ที่ 5 % และ degree of freedom = N-1

ถ้าค่า Rank Sum ของ 2 ตัวอย่างใดมีค่าแตกต่างกันมากกว่าค่า LSD_{rank} ที่คำนวณได้ให้สรุปว่า ผู้บริโภค มีความชอบต่อ 2 ตัวอย่างแตกต่างกันทางสถิติ

แบบทดสอบ			
ผลิตภัณฑ์.....			
ชื่อ.....	วันที่.....		
..... ชุดที่.....			
<p>คำแนะนำ : กรุณาซิมตัวอย่าง 3 ตัวอย่างนี้ตามลำดับที่นำเสนอด้วย และเขียนตัวเลขเรียงลำดับความชอบในด้านความหวานของตัวอย่างทั้ง 3 ตัวอย่าง โดย 1 = ชอบที่สุด 2 = ชอบปานกลาง และ 3 = ชอบน้อยที่สุด กรุณานำไปกระหว่างตัวอย่างทุกครั้ง</p>			
รหัสตัวอย่าง	434	102	936
ลำดับที่
ขอขอบคุณค่ะ			

การเปิดตารางค่าสถิติ Z

- จากระดับความเชื่อมั่นที่กำหนด $(1-\alpha)100\%$ หาค่า α
- นำค่า α ที่ได้หาร 2 จะได้ค่าพื้นที่ใต้ค่าสถิติ Z (Area beyond $\pm Z$)
- นำค่าพื้นที่ที่ได้จากข้อ 2 ไปเทียบค่าตัวเลขในตารางค่าสถิติ Z โดยให้ค่าพื้นที่ที่ได้ตรงกับค่าที่แสดงในคอลัมน์ Area beyond $\pm Z$ ค่าสถิติ $\pm Z$ ที่อยู่ด้านหน้าจะเป็นค่าสถิติ Z ที่ต้องการหาค่า Z ที่กำหนดระดับความเชื่อมั่น 95% ระดับความเชื่อมั่น $(1-\alpha)100\% = 95\% \rightarrow (1-\alpha) = .95 \rightarrow \alpha = .05$ ค่า Area beyond $\pm Z$ ที่ใช้จะเป็น $\alpha/2 = .05/2 = .025$



ตารางภาคผนวก 1 การเปลี่ยนแปลงของอุณหภูมิและค่าความเป็นกรด-เบสของโภชิถั่วเหลืองที่มีความหนาแนกต่างกัน

เวลา (ชั่วโมง)	อุณหภูมิ (องศาเซลเซียส)		ค่าความเป็นกรด-เบส	
	ความหนาของโภชิ (เซนติเมตร)		ความหนาของโภชิ (เซนติเมตร)	
	2.5	5	2.5	5
0	26.70 ± 1.61	29.61 ± 0.1	7.13 ± 0.12	7.23 ± 0.09
12	28.20 ± 0.09	29.21 ± 0.1	6.77 ± 0.13	7.140.03
24	31.31 ± 1.02	31.87 ± 0.16	6.33 ± 0.04	6.47 ± 0.04
36	33.35 ± 0.17	35.67 ± 0.44	6.57 ± 0.20	6.80 ± 0.10
48	33.60 ± 0.4	36.12 ± 0.06	6.70 ± 0.27	6.71 ± 0.02
60	33.20 ± 1.56	35.12 ± 0.1	6.80 ± 0.24	6.84 ± 0.01
72	31.08 ± 0.33	31.08 ± 0.33	6.86 ± 0.23	6.80 ± 0.04

หมายเหตุ : ค่าของข้อมูลแสดงในรูปของค่าเฉลี่ย ± ค่าเบี่ยงเบนมาตรฐาน

ตารางภาคผนวก 2 การเปลี่ยนแปลงของกิจกรรมอะไมเลสและโปรดีโอสของที่ใช้้น้ำเกลือที่มีความเข้มข้นแตกต่างกัน

เวลา (ชั่วโมง)	กิจกรรมอะไมเลส (ยูนิตต่อกรัม)		กิจกรรมโปรดีโอส (ยูนิตต่อกรัม)	
	ความหนาของโภชิ (เซนติเมตร)		ความหนาของโภชิ (เซนติเมตร)	
	2.5	5	2.5	5
0	3.63 ± 0.12	4.54 ± 1.08	24.66 ± 9.49	9.49 ± 3.0
12	11.84 ± 8.47	7.72 ± 3.77	43.91 ± 11.29	11.29 ± 16.5
24	18.74 ± 2.7	9.71 ± 3.34	48.22 ± 4.05	4.05 ± 18.8
36	15.38 ± 2.04	11.74 ± 4.77	50.05 ± 11.96	11.96 ± 21.6
48	14.45 ± 4.77	10.67 ± 1.56	52.89 ± 9.0	9.00 ± 3.6
60	7.32 ± 1.77	11.39 ± 5.14	15.58 ± 10.71	10.71 ± 9.7
72	7.44 ± 2.3	14.93 ± 1.75	17.23 ± 0.84	0.84 ± 10.3

หมายเหตุ : ค่าของข้อมูลแสดงในรูปของค่าเฉลี่ย ± ค่าเบี่ยงเบนมาตรฐาน

ตารางภาคผนวก 3 การเปลี่ยนแปลงของปริมาณโซเดียมคลอไรด์ ค่าความเป็นกรด-เบสและปริมาณกรดแลคติก ของเต้าเจียวในระหว่างการหมักโนโรมิที่ใช้โคจิถั่วเหลืองในปริมาณที่แตกต่างกัน

ระยะเวลา (สัปดาห์)	ปริมาณโซเดียมคลอไรด์ (ร้อยละ)			ค่าความเป็นกรด-เบส			ปริมาณกรดแลคติก (ร้อยละ)		
	ปริมาณโคจิ (ร้อยละ)			ปริมาณโคจิ (ร้อยละ)			ปริมาณโคจิ (ร้อยละ)		
	100	50	30	100	50	30	100	50	30
0	16.85 ± 0.42	18.09 ± 0.35	16.56 ± 0.26	5.38 ± 0.02	5.53 ± 0.02	5.57 ± 0.01	0.11 ± 0.04	0.11 ± 0.04	0.09 ± 0.02
1	21.23 ± 2.05	21.99 ± 3.26	20.72 ± 3.64	5.38 ± 0.02	5.53 ± 0.02	5.57 ± 0.02	0.51 ± 0.04	0.44 ± 0.04	0.37 ± 0.04
2	22.28 ± 2.44	21.74 ± 2.53	17.05 ± 0.72	5.01 ± 0.01	5.15 ± 0.02	5.27 ± 0.01	0.79 ± 0.02	0.58 ± 0.04	0.43 ± 0.04
3	23.91 ± 0.69	22.52 ± 0.59	17.39 ± 0.19	5.00 ± 0.01	5.10 ± 0.02	5.22 ± 0.03	0.71 ± 0.11	0.56 ± 0.06	0.40 ± 0.04
4	24.06 ± 0.36	22.62 ± 0.8	17.00 ± 0.04	4.98 ± 0.01	5.08 ± 0.02	5.15 ± 0.03	1.09 ± 0.05	0.81 ± 0.02	0.54 ± 0.02
5	24.06 ± 0.04	22.33 ± 0.22	17.17 ± 0.0	4.96 ± 0.01	5.06 ± 0.02	5.11 ± 0	1.15 ± 0.0	0.93 ± 0.04	0.59 ± 0.04
6	24.64 ± 0.21	22.69 ± 0.53	16.83 ± 0.36	4.93 ± 0.02	5.06 ± 0.02	5.14 ± 0.02	1.28 ± 0.11	1.19 ± 0.03	0.65 ± 0.17
7	24.59 ± 0.15	22.69 ± 0.54	16.58 ± 0.53	4.92 ± 0.01	5.09 ± 0.02	5.12 ± 0.01	1.30 ± 0.05	0.68 ± 0.04	0.71 ± 0.08
8	24.57 ± 0.48	22.55 ± 0.59	16.53 ± 0.4	4.91 ± 0.01	5.04 ± 0.03	5.0 ± 0.03	1.31 ± 0.08	0.66 ± 0.07	0.72 ± 0.05

หมายเหตุ : ค่าของข้อมูลแสดงในรูปของค่าเฉลี่ย ± ค่าเบี่ยงเบนมาตรฐาน

ตารางภาคผนวก 4 การเปลี่ยนแปลงของปริมาณน้ำตาลรีดิวช์ กิจกรรมอะไมเลสและโปรดีอีสของเด็กเข้าขวainระหว่างการหมักโนโรมิที่ใช้โภชิถั่วเหลืองในปริมาณที่แตกต่างกัน

ระยะเวลา (สัปดาห์)	น้ำตาลรีดิวช์ (มิลลิกรัมต่อกรัม)			กิจกรรมอะไมเลส (ยูนิตต่อกรัม)		
	ปริมาณโภชิ (ร้อยละ)			ปริมาณโภชิ (ร้อยละ)		
	100	50	30	100	50	30
0	15.61 ± 0.86	7.27 ± 0.2	9.44 ± 2.54	18.24 ± 2.36	12.28 ± 3.14	10.0 ± 0.65
1	18.03 ± 3.82	22.19 ± 1.84	16.16 ± 1.26	18.84 ± 0.44	11.29 ± 1.09	8.10 ± 0.58
2	19.14 ± 2.89	15.20 ± 0.41	15.27 ± 4.26	13.16 ± 2.14	6.63 ± 0.93	6.79 ± 0.4
3	22.62 ± 4.61	10.25 ± 2.69	9.46 ± 1.52	11.55 ± 1.92	5.95 ± 1.27	4.49 ± 0.15
4	21.33 ± 0.88	5.41 ± 1.77	8.39 ± 0.22	12.68 ± 1.0	5.04 ± 0.58	4.23 ± 0.44
5	19.72 ± 0.37	15.31 ± 0.57	9.53 ± 0.9	16.43 ± 1.5	15.14 ± 2.99	12.32 ± 0.78
6	13.41 ± 0.36	11.76 ± 1.52	9.23 ± 1.85	17.20 ± 2.6	14.52 ± 4.39	11.84 ± 2.92
7	16.38 ± 0.24	12.74 ± 0.88	10.38 ± 0.48	16.19 ± 1.68	15.13 ± 0.87	8.53 ± 1.26
8	14.20 ± 1.21	9.50 ± 2.76	10.29 ± 0.9	4.51 ± 0.67	2.83 ± 0.32	2.57 ± 0.13

หมายเหตุ : ค่าของข้อมูลแสดงในรูปของค่าเฉลี่ย ± ค่าเบี่ยงเบนมาตรฐาน

ตารางภาคผนวก 5 การเปลี่ยนแปลงของกิจกรรมโปรดีโอสและปริมาณกรดออกไซโน ของเต้าเจี้ยวในระหว่างการหมักไม่โรยที่ใช้โภชนาญาลีองในปริมาณ

ที่ แตกต่างกัน

ระยะเวลา (สัปดาห์)	กิจกรรมโปรดีโอส (ยูนิตต่อกรัม)			ปริมาณกรดออกไซโนอิสระ (มิลลิกรัมต่อกรัม)		
	ปริมาณโโคจิ (ร้อยละ)			ปริมาณโโคจิ (ร้อยละ)		
	100	50	30	100	50	30
0	102.12 ± 35.46	83.05 ± 28.63	95.98 ± 19.25	150.00 ± 97.87	150.00 ± 97.87	86.81 ± 48.43
1	50.51 ± 15.85	63.16 ± 25.08	37.58 ± 9.76	437.50 ± 95.29	437.50 ± 95.29	213.89 ± 25.20
2	63.62 ± 0.25	41.16 ± 3.9	32.91 ± 10.17	422.92 ± 97.78	422.92 ± 97.78	290.28 ± 17.96
3	62.98 ± 1.52	41.62 ± 1.29	29.15 ± 9.63	383.33 ± 110.10	383.33 ± 110.10	289.58 ± 108.33
4	72.05 ± 2.46	63.16 ± 4.84	38.133 ± 2.67	456.25 ± 43.35	456.25 ± 43.35	343.75 ± 139.96
5	79.93 ± 18.72	70.77 ± 6.63	73.794 ± 0.66	294.44 ± 10.69	294.44 ± 10.69	284.03 ± 39.87
6	74.62 ± 7.84	31.172 ± 6.09	11.37 ± 7.80	291.67 ± 9.55	291.67 ± 9.55	238.89 ± 50.01
7	16.32 ± 7.80	8.34 ± 6.96	11.46 ± 7.75	300.69 ± 27.11	300.69 ± 27.11	321.53 ± 47.93
8	12.19 ± 3.18	10.18 ± 4.53	6.88 ± 1.46	233.33 ± 21.14	233.33 ± 21.14	250.00 ± 48.99

หมายเหตุ : ค่าของข้อมูลแสดงในรูปของค่าเฉลี่ย ± ค่าเบี่ยงเบนมาตรฐาน

ตารางภาคผนวก 6 การเปลี่ยนแปลงของปริมาณ บีสต์ รา และ แบคทีเรียกรดแลคติก ของเต้าเจี๊ยะในระหว่างการหมักโไมโรมิที่ใช้โคจิถั่วเหลืองในปริมาณที่แตกต่างกัน

ระยะเวลา (สัปดาห์)	จำนวนบีสต์ (log cfu/g)			จำนวนรา (log cfu/g)			แบคทีเรียกรดแลคติก (log cfu/g)		
	ปริมาณโคจิ (ร้อยละ)			ปริมาณโคจิ (ร้อยละ)			ปริมาณโคจิ (ร้อยละ)		
	100	50	30	100	50	30	100	50	30
0	0.00 ± 0.0	0.56 ± 0.98	0.56 ± 0.98	8.32 ± 0.22	8.02 ± 0.29	7.88 ± 0.37	1.13 ± 0.98	1.13 ± 0.98	1.13 ± 0.98
1	0.0 ± 0.0	0.0 ± 0.0	0.00 ± 0.0	7.97 ± 0.18	7.76 ± 0.11	7.65 ± 0.15	1.31 ± 0.15	0.9 ± 0.18	0.46 ± 0.4
2	3.88 ± 0.07	2.92 ± 0.56	0.00 ± 0.0	7.4 ± 80.04	7.25 ± 0.07	7.34 ± 0.11	0.46 ± 0.4	0.46 ± 0.4	0.46 ± 0.4
3	3.94 ± 0.38	3.19 ± 0.20	4.20 ± 0.18	7.21 ± 0.2	7.29 ± 0.14	7.15 ± 0.02	2.00 ± 0.0	2.20 ± 0.17	1.98 ± 0.18
4	3.31 ± 0.25	3.58 ± 0.33	3.360 ± 32	7.14 ± 0.12	7.27 ± 0.38	7.02 ± 0.2	2.69 ± 0.0	1.79 ± 1.55	1.00 ± 1.73
5	3.23 ± 0.51	2.70 ± 0.01	2.47 ± 0.4	7.32 ± 0.27	7.30 ± 0.5	7.18 ± 0.17	0.56 ± 0.98	2.11 ± 0.1	1.33 ± 1.19
6	1.23 ± 2.14	0.00 ± 0.0	1.18 ± 2.04	4.66 ± 0.5	6.31 ± 0.12	6.29 ± 0.10	1.23 ± 1.08	1.13 ± 0.98	1.13 ± 0.98
7	3.92 ± 0.4	4.23 ± 0.20	4.58 ± 0.78	5.29 ± 0.12	5.38 ± 0.3	5.32 ± 0.13	1.13 ± 0.9	1.79 ± 0.18	1.59 ± 0.5
8	2.91 ± 0.2	2.76 ± 0.22	1.1 ± 0.47	3.79 ± 0.18	4.49 ± 0.7	5.30 ± 0.25	1.79 ± 0.18	1.29 ± 0.18	2.21 ± 0.08

หมายเหตุ : ค่าของข้อมูลแสดงในรูปของค่าเฉลี่ย ± ค่าเบี่ยงเบนมาตรฐาน

ตารางภาคผนวก 7 การเปลี่ยนแปลงของค่าสี ของโคลิในระหว่างการหมักโนรนที่ใช้โคลิถัวเหลืองในปริมาณที่แตกต่างกัน

ระยะเวลา (สัปดาห์)	ค่าสี								
	ปริมาณโคลิ (ร้อยละ)								
	100			50			30		
	L*	a*	b*	L*	a*	b*	L*	a*	b*
0	30.77 ± 0.84	8.87 ± 0.14	26.82 ± 1.69	30.08 ± 1.14	8.00 ± 0.42	25.45 ± 0.01	30.10 ± 0.44	6.01 ± 0.32	25.02 ± 0.30
1	25.00 ± 0.55	9.64 ± 0.39	31.31 ± 0.7	24.58 ± 0.37	7.64 ± 0.27	28.80 ± 2.28	25.27 ± 0.38	5.35 ± 0.56	25.70 ± 1.16
2	33.56 ± 0.15	11.12 ± 0.35	30.72 ± 0.9	23.78 ± 0.58	10.53 ± 0.91	25.84 ± 0.99	23.64 ± 0.34	9.470 ± .73	25.06 ± 0.33
3	35.59 ± 0.34	11.27 ± 0.24	30.75 ± 0.71	38.03 ± 0.08	10.74 ± 0.23	28.16 ± 0.18	39.10 ± 0.53	11.24 ± 0.39	29.26 ± 0.64
4	38.13 ± 0.59	12.43 ± 0.43	31.42 ± 1.08	39.28 ± 0.86	11.67 ± 0.48	30.22 ± 0.17	40.64 ± 0.4	10.22 ± 0.42	27.05 ± 0.47
5	38.61 ± 0.74	12.93 ± 0.67	31.77 ± 1.12	39.36 ± 1.12	11.37 ± 0.36	30.45 ± 0.42	41.62 ± 1.36	9.91 ± 0.20	27.66 ± 0.51
6	32.92 ± 8.43	11.20 ± 0.62	28.65 ± 0.55	39.31 ± 1.23	9.32 ± 0.55	28.33 ± 0.65	41.27 ± 0.91	8.40 ± 0.36	26.01 ± 0.67
7	37.50 ± 0.19	15.65 ± 0.79	31.51 ± 0.21	39.22 ± 0.49	12.22 ± 0.47	29.93 ± 0.73	42.26 ± 1.43	10.97 ± 0.57	27.06 ± 0.45
8	38.37 ± 0.11	14.62 ± 0.62	31.19 ± 1.07	39.80 ± 0.64	12.50 ± 0.66	30.28 ± 0.64	42.36 ± 1.51	11.00 ± 0.4	27.2 ± 70.45

หมายเหตุ : ค่าของข้อมูลแสดงในรูปของค่าเฉลี่ย ± ค่าเบี่ยงเบนมาตรฐาน

ตาราง 8 ค่าสี กิจกรรม โปรตีโอดส์ กรดอะมิโนอิสระ และปริมาณจุลินทรีย์ห้องหมด บีสต์ และ รา ในผลิตภัณฑ์เต้าเจี้ยว

ปริมาณโภช (ร้อยละ)	ค่าสี			กิจกรรม โปรตีโอดส์ (ยูนิตต่อกรัม)	กรดอะมิโนอิสระ (มิลลิกรัมต่อกรัม)	จำนวนจุลินทรีย์ (log cfu/g)		
	L*	a*	b*			จุลินทรีย์ ห้องหมด	บีสต์	รา
ร้อยละ 100	24.88 ± 0.14	11.62 ± 0.56	13.98 ± 0.52	54.18 ± 9.42	52.27 ± 0.73	ND	ND	ND
ร้อยละ 50	25.47 ± 0.19	12.62 ± 1.04	14.29 ± 0.32	52.17 ± 24.74	60.94 ± 1.03	ND	ND	ND
ร้อยละ 30	25.24 ± 0.22	11.21 ± 0.56	13.80 ± 0.3	70.49 ± 10.51	60.21 ± 1.16	ND	ND	ND

หมายเหตุ : ค่าของข้อมูลแสดงในรูปของค่าเฉลี่ย ± ค่าเบี่ยงเบนมาตรฐาน

ตาราง 9 ค่าสี กิจกรรมปอร์ตีโอดส์ กรดอะมิโนอิสระและปริมาณจุลินทรีย์ทั้งหมด บีสต์ และ รา ในผลิตภัณฑ์เต้าเจี้ยว

เวลาใน การต้ม (นาที)	ปริมาณ โภช (ร้อย ละ)	ค่าสี			กิจกรรม ปอร์ตีโอดส์ (ยูนิตต่อกรัม)	กรดอะมิโนอิสระ (มิลลิกรัมต่ogrัม)	จำนวนจุลินทรีย์ (log cfu/g)		
		L*	a*	b*			จุลินทรีย์ ทั้งหมด	บีสต์	รา
20	100	25.04 ± 0.14	10.77 ± 0.18	13.55 ± 0.24	13.93 ± 7.51	60.10 ± 0.92	ND	ND	ND
	50	23.26 ± 0.16	10.67 ± 0.69	11.73 ± 0.25	13.93 ± 9.23	58.13 ± 7.45	ND	ND	ND
	30	23.65 ± 0.19	11.85 ± 0.14	12.74 ± 0.43	18.61 ± 11.8	54.79 ± 1.46	ND	ND	ND
30	100	25.55 ± 0.13	10.36 ± 0.23	13.97 ± 0.68	20.81 ± 12.0	66.46 ± 0.76	ND	ND	ND
	50	26.23 ± 0.00	10.34 ± 0.58	14.47 ± 0.37	66.46 ± 4.76	48.44 ± 1.80	ND	ND	ND
	30	24.84 ± 0.18	10.11 ± 0.52	13.21 ± 0.31	18.43 ± 3.89	18.02 ± 19.75	ND	ND	ND
40	100	29.19 ± 0.51	9.61 ± 0.51	14.68 ± 0.65	14.58 ± 5.11	51.67 ± 0.51	ND	ND	ND
	50	28.68 ± 0.26	10.74 ± 0.63	14.87 ± 0.38	35.93 ± 2.92	61.77 ± 2.14	ND	ND	ND
	30	26.15 ± 0.23	11.09 ± 0.43	13.36 ± 0.76	31.63 ± 6.99	33.23 ± 0.47	ND	ND	ND

หมายเหตุ : ค่าของข้อมูลแสดงในรูปของค่าเฉลี่ย ± ค่าเบี่ยงเบนมาตรฐาน

ตาราง 10 ค่าสี กิจกรรม โปรตีอีส์ กรดอะมิโนอิสระและจำนวนจุลินทรีย์ทั้งหมด บีสต์ และ รา ในผลิตภัณฑ์เต้าเจี้ยวที่เพิ่มสัดส่วนของเหลา

เวลา ในการ ดูด (นาที)	ปริมาณ โภช (ร้อยละ)	ค่าสี			กิจกรรม โปรตีอีส์ (ยูนิตต่อกรัม)	กรดอะมิโนอิสระ (มิลิกรัมต่อกรัม)	จำนวนจุลินทรีย์ (log cfu/g)		
		L*	a*	b*			จุลินทรีย์ ทั้งหมด	บีสต์	รา
20	100	24.20 ± 0.15	11.79 ± 0.98	13.57 ± 0.32	31.53 ± 14.7	26.15 ± 0.61	ND	ND	ND
	50	24.81 ± 0.14	13.79 ± 0.49	14.38 ± 1.31	39.05 ± 12.0	14.69 ± 1.17	ND	ND	ND
	30	24.26 ± 0.00	15.34 ± 0.49	14.31 ± 1.15	94.69 ± 19.9	52.08 ± 0.94	ND	ND	ND
30	100	26.2 ± 70.09	13.30 ± 0.51	15.21 ± 0.61	19.71 ± 5.38	37.81 ± 0.86	ND	ND	ND
	50	23.94 ± 0.06	12.98 ± 0.65	13.07 ± 0.13	49.13 ± 14.0	43.02 ± 0.61	ND	ND	ND
	30	24.49 ± 0.18	15.39 ± 0.98	14.52 ± 0.76	83.14 ± 4.8	64.17 ± 0.76	ND	ND	ND
40	100	23.53 ± 0.00	11.78 ± 1.01	12.59 ± 0.36	41.62 ± 8.74	27.29 ± 0.94	ND	ND	ND
	50	22.54 ± 0.19	9.50 ± 0.46	10.39 ± 0.63	90.57 ± 15.4	67.92 ± 2.00	ND	ND	ND
	30	22.39 ± 0.00	9.97 ± 0.61	10.89 ± 0.50	58.48 ± 18.4	65.94 ± 1.57	ND	ND	ND

หมายเหตุ : ค่าของข้อมูลแสดงในรูปของค่าเฉลี่ย ± ค่าเบี่ยงเบนมาตรฐาน

ตาราง 11 สัดส่วนของของเหลวและของแข็งในผลิตภัณฑ์เด็กเจี๊ยะที่วางจำหน่ายในห้องตลาด

ตัวอย่างเด็กเจี๊ยะ	ปริมาณของเหลวในเด็กเจี๊ยะ (ร้อยละ)	ปริมาณของแข็งในเด็กเจี๊ยะ (ร้อยละ)
จันเชียง	53.82 ± 51.51	48.18 ± 21.65
เด็กอ้วน	65.32 ± 4.11	34.68 ± 22.59
เด็กสมบูรณ์	58.99 ± 46.98	41.01 ± 25.34
ขุนอพธี	44.72 ± 4.34	55.28 ± 4.21
บีกซี	41.94 ± 0.47	58.06 ± 0.7
โลดส์	39.96 ± 0.07	60.04 ± 0.16
เลมอนฟาร์ม	26.58 ± 6.31	73.42 ± 7.96
ศูนย์วิจัยพิชไร	62.31 ± 4.39	37.69 ± 0.60
ครัวทอง	52.57 ± 4.59	47.43 ± 15.26
ช้อนทอง	28.01 ± 0.50	71.99 ± 0.52

หมายเหตุ : ค่าของข้อมูลแสดงในรูปของค่าเฉลี่ย ± ค่าเบี่ยงเบนมาตรฐาน

ตารางภาคผนวก 12 การเปลี่ยนแปลงของอุณหภูมิและค่าความเป็นกรด-เบสของโโคจิที่ใช้ข้าวเหนียวที่ผ่านการนึ่งในเวลาที่แตกต่างกัน

เวลา (ชั่วโมง)	อุณหภูมิ (องศาเซลเซียส)				ค่าความเป็นกรด-เบส			
	เวลาที่ใช้ข้าวเหนียว (นาที)				เวลาที่ใช้ข้าวเหนียว (นาที)			
	20	30	40	50	20	30	40	50
0	26.25 ± 0.43	26.22 ± 0.78	26.55 ± 0.70	25.72 ± 1.23	6.51 ± 0.41	6.42 ± 0.34	6.40 ± 0.37	6.40 ± 0.31
12	29.85 ± 0.80	29.58 ± 0.66	29.90 ± 0.74	29.72 ± 0.59	6.33 ± 0.32	6.25 ± 0.29	6.27 ± 0.17	6.29 ± 0.13
24	35.48 ± 0.12	36.03 ± 0.30	35.62 ± 0.29	35.43 ± 0.08	6.01 ± 0.22	5.62 ± 0.33	5.64 ± 0.07	5.72 ± 0.11
36	35.73 ± 0.49	35.35 ± 0.82	35.50 ± 1.01	35.55 ± 0.97	5.76 ± 0.35	5.67 ± 0.34	6.20 ± 0.23	6.20 ± 0.41
48	34.42 ± 0.48	34.68 ± 0.49	34.02 ± 0.23	34.02 ± 0.56	6.02 ± 0.21	5.73 ± 0.25	5.99 ± 0.41	5.99 ± 0.12
60	32.83 ± 0.56	33.37 ± 0.24	33.38 ± 0.29	32.92 ± 1.03	5.68 ± 0.26	6.09 ± 0.35	5.93 ± 0.27	6.02 ± 0.27
72	31.67 ± 0.80	31.07 ± 0.58	32.03 ± 1.27	32.08 ± 0.25	5.62 ± 0.32	5.58 ± 0.25	5.77 ± 0.15	5.77 ± 0.19

หมายเหตุ : ค่าของข้อมูลแสดงในรูปของค่าเฉลี่ย ± ค่าเบี่ยงเบนมาตรฐาน

ตารางภาคผนวก 13 การเปลี่ยนแปลงของปริมาณน้ำตาลรีดิวช์และกิจกรรมอะไนแลสของโภชิที่ใช้ข้าวเหนียวที่ผ่านการนึ่งในเวลาที่แตกต่างกัน

เวลา (ชั่วโมง)	ปริมาณน้ำตาลรีดิวช์ (มิลลิกรัมต่อกรัม)				กิจกรรมอะไนแลส (ยูนิตต่อกรัม)			
	เวลาที่นึ่งข้าว (นาที)				เวลาที่นึ่งข้าว (นาที)			
	20	30	40	50	20	30	40	50
0	1.15 ± 0.31	2.11 ± 2.37	1.18 ± 0.37	1.15 ± 0.16	1.32 ± 0.72	0.51 ± 0.14	0.7 ± 0.23	0.76 ± 0.12
12	8.24 ± 0.31	7.17 ± 1.89	5.56 ± 3.41	7.89 ± 1.73	5.94 ± 4.83	3.10 ± 3.52	1.43 ± 0.01	3.34 ± 2.34
24	137.63 ± 4.48	155.20 ± 5.56	172.40 ± 2.24	146.42 ± 2.65	25.75 ± 6.47	21.25 ± 1.53	19.64 ± 0.67	32.37 ± 1.03
36	303.05 ± 6.60	295.70 ± 8.88	306.99 ± 4.40	381.72 ± 17.58	33.41 ± 2.27	30.05 ± 0.72	31.83 ± 2.53	32.94 ± 0.16
48	310.75 ± 3.23	344.44 ± 5.90	380.11 ± 7.47	407.35 ± 10.09	38.59 ± 1.33	36.69 ± 1.99	42.64 ± 0.43	36.49 ± 2.09
60	408.42 ± 6.11	416.85 ± 11.05	398.39 ± 35.72	363.62 ± 1.80	33.6 ± 2.75	32.40 ± 2.39	37.41 ± 1.67	35.76 ± 1.09
72	359.50 ± 9.02	351.79 ± 7.32	398.21 ± 7.16	417.38 ± 6.48	37.13 ± 1.74	40.89 ± 2.08	32.39 ± 6.47	35.48 ± 3.34

หมายเหตุ : ค่าของข้อมูลแสดงในรูปของค่าเฉลี่ย ± ค่าเบี่ยงเบนมาตรฐาน

ตารางภาคผนวก 14 การเปลี่ยนแปลงของกิจกรรมโปรดีโอสของโภชิที่ใช้ข้าวเหนียวที่ผ่านการนึ่งในเวลาที่แตกต่างกัน

เวลา (ชั่วโมง)	กิจกรรมโปรดีโอส (ชูนิตต่อกรัม)			
	เวลา nie ข้าว (นาที)			
	20	30	40	50
0	4.44 ± 2.73	5.04 ± 3.65	1.71 ± 0.97	2.22 ± 1.26
12	7.06 ± 1.52	4.34 ± 2.78	7.26 ± 2.58	1.92 ± 0.92
24	47.59 ± 32.39	37.61 ± 32.01	32.37 ± 22.19	57.27 ± 34.89
36	64.74 ± 34.40	42.45 ± 22.36	45.17 ± 13.29	52.13 ± 17.21
48	46.18 ± 3.05	49.51 ± 13.36	59.79 ± 18.39	52.03 ± 6.17
60	50.82 ± 12.05	45.88 ± 18.41	46.28 ± 8.49	52.43 ± 13.34
72	58.79 ± 18.88	61.11 ± 17.22	43.26 ± 17.70	56.57 ± 35.39

หมายเหตุ : ค่าของข้อมูลแสดงในรูปของค่าเฉลี่ย ± ค่าเบี่ยงเบนมาตรฐาน

ตารางภาคผนวก 15 การเปลี่ยนแปลงของอุณหภูมิ ค่าความเป็นกรด-เบสและปริมาณน้ำตาลรีดิวช์ ของโภชิที่มีความหนาடอกต่างกัน

เวลา (ชั่วโมง)	อุณหภูมิ (องศาเซลเซียส)			ค่าความเป็นกรด-เบส			ปริมาณน้ำตาลรีดิวช์ (มิลลิกรัมต่อกรัม)		
	ความหนาของโภชิ (เซนติเมตร)			ความหนาของโภชิ (เซนติเมตร)			ความหนาของโภชิ (เซนติเมตร)		
	5	7	9	5	7	9	5	7	9
0	26.63 ± 0.21	26.92 ± 0.39	27.12 ± 0.50	5.79 ± 0.27	5.97 ± 0.20	6.02 ± 0.19	9.32±3.33	9.09±1.06	7.29±1.51
12	26.72 ± 0.68	26.95 ± 0.87	27.38 ± 1.28	5.78 ± 0.13	5.56 ± 0.41	5.29 ± 0.19	63.98±5.30	59.68±3.23	48.75±13.92
24	36.4 ± 1.01	39.7 ± 0.81	41.62 ± 0.50	5.00 ± 0.08	4.77 ± 0.10	4.77 ± 0.09	139.61±5.39	161.83±28.80	179.21±53.25
36	37.25 ± 2.02	40.33 ± 1.05	41.98 ± 0.96	5.37 ± 0.11	5.37 ± 0.03	5.47 ± 0.17	303.76±12.15	305.20±53.46	321.86±30.68
48	36.63 ± 2.89	39.50 ± 0.53	40.88 ± 0.75	5.43 ± 0.05	5.51 ± 0.09	5.45 ± 0.14	381.72±28.41	421.15±60.54	397.67±18.64
60	33.27 ± 1.79	38.08 ± 0.86	39.73 ± 0.26	5.28 ± 0.03	5.36 ± 0.15	5.28 ± 0.12	419.71±16.52	385.13±10.33	448.57±46.54
72	35.20 ± 3.30	38.13 ± 1.64	39.65 ± 1.33	5.20 ± 0.17	5.23 ± 0.22	5.27 ± 0.23	438.53±35.61	380.47±38.41	413.62±54.62

หมายเหตุ : ค่าของข้อมูลแสดงในรูปของค่าเฉลี่ย ± ค่าเบี่ยงเบนมาตรฐาน

ตารางภาคผนวก 16 การเปลี่ยนแปลงกิจกรรมของรูปแบบเลสและกิจกรรมโปรดีโอส ของโโคจิที่มีความหนาแตกต่างกัน

เวลา (ชั่วโมง)	กิจกรรมของไไมเลส (ยูนิตต่อกรัม)			กิจกรรมโปรดีโอส (ยูนิตต่อกรัม)		
	ความหนาของโโคจิ (เซนติเมตร)			ความหนาของโโคจิ (เซนติเมตร)		
	5	7	9	5	7	9
0	0.46±0.31	0.27±0.07	0.47±0.05	3.12±0.88	1.28±1.11	1.19±0.42
12	3.66±0.43	8.32±1.44	5.30±1.57	4.03±4.86	6.23±3.85	6.33±4.05
24	21.04±7.30	16.77±3.28	15.43±7.14	34.56±11.78	25.76±19.92	13.93±9.40
36	33.53±8.88	35.29±6.25	27.63±14.49	84.61±0.69	42.81±35.50	13.11±10.19
48	44.44±9.36	51.61±18.66	37.99±25.66	70.58±16.19	41.89±18.80	26.22±20.97
60	54.80±5.28	55.82±3.44	60.29±32.14	95.06±11.53	52.80±31.57	25.85±8.43
72	58.01±12.46	55.47±2.90	49.14±31.16	77.92±6.05	35.57±14.45	5.96±0.97

หมายเหตุ : ค่าของข้อมูลแสดงในรูปของค่าเฉลี่ย ± ค่าเบี่ยงเบนมาตรฐาน

ตารางภาคผนวก 17 การเปลี่ยนแปลงของค่าความเป็นกรด-เบส ปริมาณกรดแลคติก ของเด็กเจ็บไข้ในระหว่างการหนักโน่นที่ใช้โภชนาหารเนื้อขาวในปริมาณที่แตกต่างกัน

ระยะเวลา (สัปดาห์)	ปริมาณโซเดียมคลอไรด์ (ร้อยละ)			ค่าความเป็นกรด-เบส			ปริมาณกรดแลคติก (ร้อยละ)		
	ปริมาณโภชนาหาร (ร้อยละ)			ปริมาณโภชนาหาร (ร้อยละ)			ปริมาณโภชนาหาร (ร้อยละ)		
	30	40	50	30	40	50	30	40	50
0	11.76 ± 0.07	11.83 ± 0.46	11.6 ± 0.28	5.77 ± 0.05	5.73 ± 0.06	5.71 ± 0.06	0.007 ± 0.0	0.007 ± 0.0	0.007 ± 0.0
1	11.20 ± 0.84	10.2 ± 0.35	10.18 ± 0.08	5.25 ± 0.05	5.19 ± 0.02	5.05 ± 0.01	0.50 ± 0.03	0.40 ± 0.00	0.50 ± 0.04
2	8.84 ± 0.07	10.32 ± 1.06	9.64 ± 0.79	4.75 ± 0.02	4.68 ± 0.04	4.73 ± 0.04	0.80 ± 0.05	0.80 ± 0.04	0.70 ± 0.10
3	9.57 ± 0.58	10.13 ± 0.66	9.62 ± 0.11	4.03 ± 0.00	4.51 ± 0.06	4.55 ± 0.10	1.20 ± 0.04	0.80 ± 0.02	0.70 ± 0.02
4	12.71 ± 0.76	13.39 ± 0.42	12.83 ± 1.24	4.02 ± 0.00	4.03 ± 0.18	4.15 ± 0.05	1.40 ± 0.08	1.20 ± 0.07	1.40 ± 0.08
5	12.13 ± 0.51	12.47 ± 0.04	12.25 ± 0.28	4.01 ± 0.01	4.20 ± 0.14	4.1 ± 0.02	1.20 ± 0.04	1.00 ± 0.05	1.10 ± 0.04
6	13.17 ± 1.42	12.18 ± 0.87	11.44 ± 1.46	4.08 ± 0.08	4.19 ± 0.14	4.08 ± 0.02	1.40 ± 0.00	1.50 ± 0.00	1.20 ± 0.16
7	9.79 ± 0.51	9.84 ± 2.20	9.40 ± 0.9	4.08 ± 0.01	4.22 ± 0.14	4.12 ± 0.01	1.50 ± 0.07	1.20 ± 0.06	1.30 ± 0.06
8	9.93 ± 0.46	8.91 ± 1.40	10.49 ± 0.62	4.04 ± 0.06	4.18 ± 0.1	4.10 ± 0.00	1.20 ± 0.11	1.00 ± 0.02	1.10 ± 0.04
9	9.33 ± 0.45	9.08 ± 0.22	8.76 ± 1.75	4.04 ± 0.00	4.18 ± 0.14	4.10 ± 0.01	1.10 ± 0.09	0.90 ± 0.16	1.00 ± 0.07
10	8.52 ± 1.09	8.40 ± 0.33	7.62 ± 0.23	4.04 ± 0.00	4.18 ± 0.02	4.10 ± 0.01	1.10 ± 0.07	1.10 ± 0.11	1.00 ± 0.07
11	9.37 ± 0.37	9.11 ± 0.30	8.33 ± 0.37	4.05 ± 0.00	4.20 ± 0.11	4.12 ± 0.01	1.11 ± 0.02	1.11 ± 0.09	0.93 ± 0.16
12	9.55 ± 0.11	9.81 ± 0.11	8.74 ± 0.08	4.08 ± 0.00	4.21 ± 0.13	4.14 ± 0.00	1.05 ± 0.07	1.12 ± 0.07	0.93 ± 0.02

หมายเหตุ : ค่าของข้อมูลแสดงในรูปของค่าเฉลี่ย ± ค่าเบี่ยงเบนมาตรฐาน

ตารางภาคผนวก 18 การเปลี่ยนแปลงของน้ำตาลรีดิวช์ กิจกรรมอะไมเลสและโปรตีอีส ของเต้าเจี้ยวในระหว่างการหมักโภณที่ใช้โคลิข้าวเหนียวในปริมาณที่แตกต่างกัน

ระยะเวลา (สัปดาห์)	น้ำตาลรีดิวช์ (มิลลิกรัมต่อกรัม)			กิจกรรมอะไมเลส (ยูนิตต่อกรัม)			กิจกรรมโปรตีอีส (ยูนิตต่อกรัม)		
	ปริมาณโโคจิ (ร้อยละ)			ปริมาณโโคจิ (ร้อยละ)			ปริมาณโโคจิ (ร้อยละ)		
	30	40	50	30	40	50	30	40	50
0	55.73 ± 7.78	69.53 ± 3.24	88.89 ± 5.39	10.65 ± 2.22	14.23 ± 1.61	16.76 ± 2.63	19.07 ± 4.64	17.14 ± 2.46	20.35 ± 2.35
1	67.56 ± 2.17	86.92 ± 3.96	118.46 ± 5.70	12.65 ± 2.48	14.75 ± 0.83	18.92 ± 1.49	21.91 ± 6.1	21.18 ± 3.45	31.81 ± 6.88
2	54.48 ± 5.30	105.91 ± 1.49	104.66 ± 1.35	7.17 ± 0.75	11.27 ± 0.95	15.7 ± 2.58	19.89 ± 2.22	20.81 ± 5.64	29.52 ± 13.46
3	49.14 ± 7.80	82.97 ± 8.98	121.94 ± 8.14	3.65 ± 0.39	7.19 ± 2.75	10.18 ± 2.06	17.78 ± 1.83	26.13 ± 8.1	38.32 ± 4.28
4	44.91 ± 7.60	81.90 ± 9.47	123.98 ± 9.43	2.72 ± 0.34	11.48 ± 1.85	15.64 ± 2.6	8.71 ± 3.09	18.06 ± 2.06	33.55 ± 1.8
5	35.59 ± 4.40	47.56 ± 7.05	81.33 ± 8.80	1.54 ± 0.08	4.23 ± 1	6.86 ± 1.61	7.33 ± 4.45	12.19 ± 3.71	22.37 ± 2.4
6	25.56 ± 3.64	42.80 ± 5.22	65.13 ± 5.75	1.45 ± 0.44	3.69 ± 1.29	4.42 ± 0.93	10.54 ± 2.4	10.18 ± 3.45	14.48 ± 2.67
7	22.26 ± 3.77	33.37 ± 2.73	55.73 ± 7.65	3.04 ± 1.82	3.26 ± 0.96	4.64 ± 0.55	23.1 ± 2.44	16.59 ± 1.95	24.57 ± 3.28
8	23.30 ± 1.34	42.65 ± 4.36	75.99 ± 6.70	1.31 ± 0.33	2.9 ± 0.7	4.1 ± 0.02	24.2 ± 0.78	14.85 ± 2.87	29.24 ± 6.59
9	17.85 ± 2.79	40.93 ± 8.72	71.83 ± 2.95	3.33 ± 3.31	3.25 ± 0.77	5.01 ± 0.51	11.18 ± 0.42	14.85 ± 6.12	18.06 ± 2.21
10	21.90 ± 9.13	42.11 ± 5.09	65.7 ± 4.26	1.28 ± 0.37	3.61 ± 0.72	3.63 ± 1.5	11.73 ± 4.89	11.64 ± 1.24	15.22 ± 4.78
11	11.61 ± 1.04	47.56 ± 2.97	66.67 ± 0.86	1.15 ± 0.1	2.77 ± 0.24	3.65 ± 0.85	11.83 ± 1.8	11.09 ± 3.39	16.41 ± 6.37
12	9.21 ± 1.10	38.85 ± 3.01	46.45 ± 0.39	1.1 ± 0.16	2.35 ± 0.03	3.34 ± 0.87	8.71 ± 1.11	9.35 ± 4.82	11 ± 4.69

หมายเหตุ : ค่าของข้อมูลแสดงในรูปของค่าเฉลี่ย ± ค่าเบี่ยงเบนมาตรฐาน

ตารางภาคผนวก 19 การเปลี่ยนแปลงของปริมาณกรดอะมิโนอิสระและปริมาณอัลกออล์ ของเด็กเจ็บในระหว่างการหนักโน้มที่ใช้
โภชนาหารในปริมาณที่แตกต่างกัน

ระยะเวลา (สัปดาห์)	ปริมาณกรดอะมิโนอิสระ (มิลลิกรัมต่อกรัม)			ปริมาณอัลกออล์ (ร้อยละ)		
	ปริมาณโภชนาหาร (ร้อยละ)			ปริมาณโภชนาหาร (ร้อยละ)		
	30	40	50	30	40	50
0	15.31 ± 4.60	18.44 ± 10.56	13.23 ± 5.96	0.75 ± 0.1	0.61 ± 0.05	0.77 ± 0.33
1	89.06 ± 26.03	46.88 ± 15.97	44.90 ± 18.66	1.93 ± 0.06	0.87 ± 0.13	0.93 ± 0.14
2	119.69 ± 14.12	63.96 ± 14.72	71.78 ± 23.37	3.3 ± 0.02	2.86 ± 3.74	2.66 ± 0.08
3	137.08 ± 33.49	122.08 ± 25.00	165.31 ± 31.10	3.38 ± 0.08	0.86 ± 0.55	1.98 ± 0.23
4	132.60 ± 13.31	115.94 ± 37.51	91.25 ± 27.18	3.28 ± 0.11	2.62 ± 0.33	0.28 ± 0.08
5	127.19 ± 39.92	185.63 ± 50.60	136.56 ± 37.74	2.71 ± 0.15	3.32 ± 0.93	0.9 ± 0.09
6	135.31 ± 56.67	116.88 ± 16.72	181.25 ± 61.17	1.06 ± 0.1	3.43 ± 0.89	3.4 ± 0.25
7	147.92 ± 5.90	161.67 ± 28.37	106.35 ± 25.57	4.28 ± 0.02	2.92 ± 0.8	2.82 ± 0.31
8	147.92 ± 5.90	161.67 ± 28.37	106.35 ± 25.57	1.44 ± 0.06	1.16 ± 0.33	2.01 ± 0.06
9	147.50 ± 62.43	101.25 ± 68.11	98.33 ± 20.32	4.72 ± 0.18	3.2 ± 0.12	1.74 ± 0.22
10	177.71 ± 18.46	133.85 ± 21.87	131.04 ± 17.96	2.79 ± 0.07	1.34 ± 0.12	2.08 ± 0.09
11	158.54 ± 15.32	162.40 ± 41.37	153.54 ± 15.72	3.23 ± 0.07	3.68 ± 0.6	2.85 ± 0.18
12	129.58 ± 22.93	138.65 ± 13.46	147.29 ± 11.53	4.18 ± 0.13	3.93 ± 0.27	3.8 ± 0.35

หมายเหตุ : ค่าของข้อมูลแสดงในรูปของค่าเฉลี่ย ± ค่าเบี่ยงเบนมาตรฐาน

ตารางภาคผนวก 20 การเปลี่ยนแปลงของจำนวนจุลินทรีย์ส์ต์ รา แบคทีเรียกรดแลคติก และ ของเต้าเจี๊ยะในระหว่างการหมักไม่โรมนิที่ใช้โคจิข้าวเหนียวในปริมาณที่แตกต่างกัน

ระยะเวลา (สัปดาห์)	ชีสต์ (log cfu/g)			รา (log cfu/g)			แบคทีเรียกรดแลคติก (log cfu/g)		
	ปริมาณโคจิ (ร้อยละ)			ปริมาณโคจิ (ร้อยละ)			ปริมาณโคจิ (ร้อยละ)		
	30	40	50	30	40	50	30	40	50
0	0 ± 0	0 ± 0	0 ± 0	7.18 ± 0.06	7.62 ± 0.14	7.72 ± 0.25	4.4 ± 0.13	5.35 ± 0.26	5.63 ± 0.15
1	0.67 ± 1.15	0 ± 0	2.11 ± 0.1	7.06 ± 0.07	7.08 ± 0.06	7.16 ± 0.08	5.98 ± 0.19	3.81 ± 0.07	4.01 ± 0.43
2	5.38 ± 0.02	5.8 ± 0.18	5.75 ± 0.07	6.06 ± 0.11	5.92 ± 0.15	6.96 ± 0.07	4.42 ± 0.65	4.85 ± 0.54	3.39 ± 0.27
3	4.7 ± 0.32	5.25 ± 0.62	5.3 ± 0.1	3.37 ± 0.61	3.27 ± 0.56	5.13 ± 0.43	5.23 ± 0.35	5.67 ± 0.16	5.39 ± 0.21
4	4.44 ± 0.5	5.11 ± 0.69	5.13 ± 0.23	3.24 ± 0.13	2.95 ± 0.24	5.19 ± 0.61	4.4 ± 0.13	5.35 ± 0.26	5.63 ± 0.15
5	4.67 ± 0.18	3.35 ± 0.63	4.05 ± 0.37	0.9 ± 1.55	2.23 ± 0.48	1.53 ± 1.33	5.25 ± 0.43	4.57 ± 0.1	5.13 ± 0.33
6	3.72 ± 0.12	2.47 ± 0.07	3.23 ± 0.04	0 ± 0	1.39 ± 1.21	2.16 ± 1.88	4.93 ± 0.07	4.3 ± 0.21	4.44 ± 0.16
7	3 ± 0.23	0.77 ± 1.33	2.08 ± 0.43	0 ± 0	0 ± 0	0 ± 0	4.16 ± 0.16	3.97 ± 0.19	4.42 ± 0.03
8	4.06 ± 0.28	4.68 ± 1.02	3.92 ± 0.11	0 ± 0	0 ± 0	0 ± 0	5.18 ± 0.18	5.38 ± 0.12	5.45 ± 0.17
9	2.06 ± 0.1	1.54 ± 1.47	0.56 ± 0.98	2.14 ± 1.93	3.06 ± 2.69	3.07 ± 2.67	2.84 ± 0.17	3.19 ± 0.24	3.76 ± 0.13
10	1.46 ± 1.28	2.13 ± 0.38	1.64 ± 1.43	1.33 ± 1.15	0.56 ± 0.98	0 ± 0	2.98 ± 0.14	3.33 ± 0.45	3.53 ± 0.44
11	3.5 ± 0.78	1.61 ± 1.4	2.34 ± 0.29	3.06 ± 0.1	0.9 ± 1.55	1 ± 1.73	5.06 ± 0.52	3.23 ± 0.08	3.61 ± 0.22
12	3.72 ± 0.44	0 ± 0	0 ± 0	0 ± 0	0 ± 0	0 ± 0	3.28 ± 0.03	3.17 ± 0.03	3.49 ± 0.16

หมายเหตุ : ค่าของข้อมูลแสดงในรูปของค่าเฉลี่ย ± ค่าเบี่ยงเบนมาตรฐาน

ตารางภาคผนวก 21 การเปลี่ยนแปลงของค่าสีของเด็กเจ้าในระหว่างการหมักโนโรมิที่ใช้โคจิขาวเหนียวในปริมาณที่แตกต่างกัน

ระยะเวลา (สัปดาห์)	ค่าสี								
	ปริมาณโคจิ (ร้อยละ)								
	30			40			50		
	L*	a*	b*	L*	a*	b*	L*	a*	b*
0	41.29 ± 0.19	5.39 ± 0.45	30.91 ± 1.19	41.35 ± 0.7	5.39 ± 0.59	30.04 ± 0.68	40.51 ± 0.51	5.16 ± 0.39	31.49 ± 0.57
1	42.08 ± 1.07	5.52 ± 0.74	29.06 ± 0.99	40.14 ± 0.75	5.31 ± 0.27	29.8 ± 0.08	40.43 ± 1.04	6.95 ± 0.32	33.65 ± 0.98
2	31.84 ± 0.4	5.13 ± 0.92	29.05 ± 1.42	30.33 ± 0.38	3.98 ± 0.48	28.23 ± 1.15	30.85 ± 0.4	3.83 ± 0.46	29.78 ± 1.49
3	33.1 ± 0.19	4.22 ± 0.47	25.44 ± 0.46	32.99 ± 0.66	5.57 ± 0.93	26.47 ± 0.26	31.03 ± 0.21	4.39 ± 0.66	28.92 ± 1.17
4	33.91 ± 1.03	8.61 ± 0.64	26.46 ± 0.85	32.62 ± 0.92	7.43 ± 0.69	26.74 ± 0.32	35.65 ± 0.88	9.99 ± 0.34	31.39 ± 0.46
5	29.78 ± 1.05	9.35 ± 0.42	28.09 ± 0.56	27.36 ± 0.56	6.78 ± 0.55	26.72 ± 1.26	30.44 ± 0.74	10.09 ± 0.5	29.64 ± 0.67
6	33.41 ± 0.09	9.91 ± 0.73	28.46 ± 0.4	29.52 ± 0.97	6.61 ± 0.41	25.96 ± 0.94	32.92 ± 0.95	10.8 ± 0.44	31.68 ± 0.72
7	34.82 ± 0.84	11.02 ± 0.55	27.44 ± 0.43	29.77 ± 1.09	6.52 ± 0.91	23.07 ± 1.06	33.85 ± 0.25	12.2 ± 0.69	30.51 ± 0.88
8	29.58 ± 0.57	9.6 ± 0.67	28.89 ± 0.4	26.36 ± 0.59	7.68 ± 0.97	25.36 ± 0.7	29.38 ± 0.38	10.74 ± 0.57	30.1 ± 0.41
9	33.79 ± 0.57	9.44 ± 0.43	30.31 ± 0.63	29 ± 0.61	7.00 ± 1.02	27.11 ± 0.96	33.5 ± 0.56	10.42 ± 0.35	33.57 ± 0.36
10	32.56 ± 0.27	7.76 ± 0.68	26.14 ± 0.83	28.41 ± 0.42	5.42 ± 1.25	24.37 ± 2.34	31.72 ± 0.1	8.02 ± 0.74	29.89 ± 0.18
11	32.55 ± 0.09	7.72 ± 0.44	26.95 ± 1.82	28.12 ± 0.89	5.91 ± 0.72	23 ± 0.53	32.17 ± 0.58	8.52 ± 0.29	29.88 ± 0.38
12	32.38 ± 0.07	7.33 ± 0.62	29.96 ± 0.44	27.46 ± 0.05	4.88 ± 0.68	22.72 ± 0.02	32.16 ± 0.43	8.43 ± 0.39	29.53 ± 1.12

หมายเหตุ : ค่าของข้อมูลแสดงในรูปของค่าเฉลี่ย ± ค่าเบี่ยงเบนมาตรฐาน

ตารางภาคผนวก 22 การเปลี่ยนแปลงของปริมาณโซเดียมคลอไรด์ ค่าความเป็นกรด-เบส และปริมาณกรดแอลกอติก ของเต้าเจี้ยว
ในระหว่างการหมักโโนโรมิโดยใช้ความเข้มข้นของน้ำเกลือที่แตกต่างกัน

ระยะเวลา (สัปดาห์)	ปริมาณโซเดียมคลอไรด์ (ร้อยละ)			ค่าความเป็นกรด-เบส			ปริมาณกรดแอลกอติก 6.48 (ร้อยละ)		
	ความเข้มข้นน้ำเกลือ (ร้อยละ)			ความเข้มข้นน้ำเกลือ (ร้อยละ)			ความเข้มข้นน้ำเกลือ (ร้อยละ)		
	10	13	16	10	13	16	10	13	16
0	4.68 ± 0.07	5.36 ± 0.11	7.18 ± 0.37	5.64 ± 0.10	5.66 ± 0.08	5.94 ± 0.57	0.14 ± 0.00	0.14 ± 0.00	0.14 ± 0.00
1	11.2 ± 0.84	10.2 ± 0.35	10.18 ± 0.08	3.84 ± 0.11	4.26 ± 0.06	5.17 ± 0.08	1.04 ± 0.19	0.78 ± 0.04	0.30 ± 0.04
2	4.38 ± 0.67	5.94 ± 0.88	7.55 ± 1.12	3.63 ± 0.05	3.61 ± 0.02	4.28 ± 0.08	1.31 ± 0.13	1.33 ± 0.13	0.91 ± 0.10
3	4.87 ± 0.30	5.11 ± 0.29	7.31 ± 0.73	3.68 ± 0.05	3.63 ± 0.03	4.03 ± 0.10	1.82 ± 0.12	1.59 ± 0.11	1.35 ± 0.08
4	3.65 ± 0.25	4.58 ± 0.61	5.50 ± 0.37	3.73 ± 0.04	3.68 ± 0.02	4.34 ± 0.51	1.70 ± 0.25	1.39 ± 0.11	1.14 ± 0.11
5	5.87 ± 1.76	6.96 ± 0.84	12.74 ± 1.26	3.75 ± 0.05	3.71 ± 0.02	3.91 ± 0.08	1.63 ± 0.17	1.83 ± 0.35	1.39 ± 0.04
6	6.06 ± 0.29	6.26 ± 1.03	10.08 ± 0.48	3.79 ± 0.04	3.77 ± 0.02	4.01 ± 0.04	1.58 ± 0.07	1.55 ± 0.15	1.30 ± 0.19
7	7.06 ± 1.00	8.40 ± 0.07	8.01 ± 0.86	3.77 ± 0.03	3.74 ± 0.04	3.99 ± 0.05	1.80 ± 0.27	1.81 ± 0.11	0.96 ± 0.25
8	7.09 ± 0.58	8.57 ± 0.04	8.77 ± 0.19	3.77 ± 0.03	3.74 ± 0.04	3.98 ± 0.04	1.82 ± 0.25	1.84 ± 0.14	1.03 ± 0.29
9	4.14 ± 0.57	5.94 ± 0.21	7.23 ± 0.39	3.75 ± 0.04	3.72 ± 0.03	3.95 ± 0.04	1.65 ± 0.30	1.56 ± 0.19	1.09 ± 0.14
10	4.21 ± 0.36	4.93 ± 2.67	7.89 ± 0.13	3.75 ± 0.03	3.71 ± 0.02	3.98 ± 0.05	1.73 ± 0.13	2.14 ± 0.44	1.14 ± 0.14
11	4.60 ± 0.07	5.01 ± 2.77	7.96 ± 0.26	3.76 ± 0.03	3.74 ± 0.03	3.99 ± 0.02	1.69 ± 0.08	2.07 ± 0.48	1.10 ± 0.11
12	4.85 ± 0.04	5.48 ± 0.15	7.65 ± 0.65	3.78 ± 0.03	3.74 ± 0.03	4.00 ± 0.03	1.60 ± 0.09	1.95 ± 0.05	1.38 ± 0.09

หมายเหตุ : ค่าของข้อมูลแสดงในรูปของค่าเฉลี่ย ± ค่าเบี่ยงเบนมาตรฐาน

ตารางภาคผนวก 23 การเปลี่ยนแปลงของน้ำตาลรีดิวช์ กิจกรรมอะไมเนลสและ โปรดตีอีส ของเต้าเจี้ยวในระหว่างการหมักโโน โนมิโดยใช้ความเข้มข้นของน้ำเกลือที่แตกต่างกัน

ระยะเวลา (สัปดาห์)	น้ำตาลรีดิวช์ (มิลลิกรัมต่อกรัม)			กิจกรรมอะไมเนลส (ยูนิตต่อกรัม)			กิจกรรมโปรดตีอีส (ยูนิตต่อกรัม)		
	ความเข้มข้นน้ำเกลือ (ร้อยละ)			ความเข้มข้นน้ำเกลือ (ร้อยละ)			ความเข้มข้นน้ำเกลือ (ร้อยละ)		
	10	13	16	10	13	16	10	13	16
0	95.81 ± 29.62	108.06 ± 18.35	115.84 ± 4.41	11.77 ± 2.37	11.36 ± 1.30	10.17 ± 1.52	46.57 ± 4.48	21.82 ± 4.61	27.68 ± 7.08
1	124.55 ± 21.21	104.44 ± 7.59	120.57 ± 43.17	10.67 ± 2.39	10.08 ± 1.97	10.30 ± 4.27	75.17 ± 16.90	68.66 ± 13.95	67.28 ± 7.23
2	88.67 ± 33.99	119.07 ± 11.30	138.39 ± 8.66	3.35 ± 1.36	5.55 ± 1.98	8.72 ± 1.24	67.10 ± 10.40	28.14 ± 4.26	46.02 ± 5.98
3	25.48 ± 27.53	81.86 ± 37.03	106.99 ± 7.23	1.60 ± 1.41	5.08 ± 0.76	16.15 ± 2.05	27.78 ± 6.03	21.63 ± 10.32	37.86 ± 28.14
4	2.58 ± 1.12	20.36 ± 11.58	71.58 ± 15.64	0.16 ± 0.04	0.88 ± 0.63	5.87 ± 0.46	27.04 ± 7.64	59.13 ± 7.07	46.38 ± 12.84
5	0.50 ± 0.87	23.51 ± 14.06	97.38 ± 10.68	0.06 ± 0.05	1.16 ± 0.78	6.68 ± 1.77	17.51 ± 7.61	54.82 ± 10.32	67.28 ± 14.39
6	1.54 ± 0.12	15.77 ± 4.73	81.90 ± 10.45	0.14 ± 0.01	0.96 ± 0.12	5.40 ± 0.48	12.74 ± 5.20	42.17 ± 3.48	59.13 ± 7.87
7	25.48 ± 27.53	81.86 ± 37.03	106.99 ± 7.23	1.60 ± 1.41	5.08 ± 0.76	16.15 ± 2.05	14.30 ± 1.98	28.69 ± 4.58	31.63 ± 3.88
8	15.73 ± 14.95	69.96 ± 30.72	95.30 ± 12.73	1.30 ± 1.34	4.35 ± 0.18	14.82 ± 2.18	9.81 ± 4.28	26.58 ± 2.14	38.04 ± 5.62
9	5.36 ± 2.22	27.37 ± 24.13	80.97 ± 39.99	0.25 ± 0.09	1.16 ± 0.41	1.53 ± 0.29	34.19 ± 25.31	38.23 ± 8.73	17.05 ± 8.10
10	5.35 ± 1.12	17.73 ± 19.76	57.45 ± 24.20	0.16 ± 0.06	1.10 ± 0.84	2.01 ± 0.49	34.74 ± 16.89	28.97 ± 18.19	19.34 ± 14.10
11	4.69 ± 0.85	10.68 ± 7.80	43.51 ± 6.60	0.17 ± 0.01	1.03 ± 0.92	2.53 ± 2.32	10.73 ± 2.44	25.67 ± 10.41	29.33 ± 14.47
12	10.22 ± 5.81	42.72 ± 1.25	82.94 ± 5.88	0.60 ± 0.45	3.48 ± 0.74	5.91 ± 0.70	11.64 ± 4.65	18.52 ± 15.34	30.07 ± 9.65

หมายเหตุ : ค่าของข้อมูลแสดงในรูปของค่าเฉลี่ย ± ค่าเบี่ยงเบนมาตรฐาน

ตารางภาคผนวก 24 การเปลี่ยนแปลงของปริมาณกรดอะมิโนอิสระ และปริมาณอัลกออล์ ของเต้าเจี๊ยะในระหว่างการหมักไม่โรมโดยใช้ความเข้มข้นของน้ำเกลือที่แตกต่างกัน

ระยะเวลา (สัปดาห์)	ปริมาณกรดอะมิโนอิสระ (มิลิกรัมต่อกิโลกรัม)			ปริมาณอัลกออล์ (ร้อยละ)		
	ความเข้มข้นน้ำเกลือ (ร้อยละ)			ความเข้มข้นน้ำเกลือ (ร้อยละ)		
	10	13	16	10	13	16
0	10.83 ± 2.66	18.02 ± 4.45	16.04 ± 3.13	0.12 ± 0.03	0.75 ± 0.06	0.64 ± 0.10
1	75.73 ± 14.74	57.81 ± 31.15	65.31 ± 16.10	4.18 ± 0.96	2.13 ± 1.13	2.57 ± 0.37
2	116.98 ± 3.46	84.48 ± 7.20	75.83 ± 10.52	0.47 ± 0.08	0.65 ± 0.08	1.39 ± 0.14
3	372.71 ± 139.11	358.02 ± 38.56	203.02 ± 83.21	8.39 ± 0.28	3.54 ± 0.60	1.27 ± 0.80
4	203.65 ± 27.36	286.25 ± 70.10	220.10 ± 85.50	4.97 ± 0.22	3.10 ± 0.21	1.85 ± 1.32
5	259.69 ± 62.69	242.71 ± 36.88	228.54 ± 56.72	3.21 ± 0.62	3.61 ± 0.99	2.53 ± 0.69
6	289.79 ± 111.59	269.69 ± 87.53	330.63 ± 10.16	6.04 ± 1.66	7.37 ± 1.05	5.99 ± 1.11
7	302.71 ± 111.39	282.71 ± 87.05	343.85 ± 10.34	6.96 ± 0.95	7.91 ± 0.78	7.92 ± 0.90
8	272.29 ± 99.73	185.52 ± 37.59	237.08 ± 86.54	7.70 ± 0.57	6.48 ± 1.09	4.81 ± 0.19
9	285.52 ± 99.87	206.04 ± 24.31	250.52 ± 86.85	7.91 ± 2.45	12.06 ± 4.69	5.97 ± 0.20
10	284.17 ± 139.99	312.40 ± 142.24	260.63 ± 28.69	8.73 ± 1.51	6.51 ± 0.31	6.02 ± 0.17
11	302.29 ± 133.66	325.63 ± 142.35	273.54 ± 28.82	8.28 ± 0.12	6.96 ± 1.55	4.83 ± 0.05
12	251.04 ± 17.04	344.48 ± 45.04	398.96 ± 49.68	6.48 ± 0.61	4.45 ± 1.36	3.19 ± 0.28

หมายเหตุ : ค่าของข้อมูลแสดงในรูปของค่าเฉลี่ย ± ค่าเบี่ยงเบนมาตรฐาน

ตารางภาคผนวก 25 การเปลี่ยนแปลงของจำนวนจุลินทรีย์ชีสต์ รา และ แบคทีเรียกรดแคลคติก ของเต้าเจี้ยวในระหว่างการหมักโน โรมิโดยใช้ความเข้มข้นของน้ำเกลือที่แตกต่างกัน

ระยะเวลา (สัปดาห์)	ชีสต์ ($\log \text{cfu/g}$)			รา ($\log \text{cfu/g}$)			แบคทีเรียกรดแคลคติก ($\log \text{cfu/g}$)		
	ปริมาณโภชิ (ร้อยละ)			ปริมาณโภชิ (ร้อยละ)			ปริมาณโภชิ (ร้อยละ)		
	10	13	16	10	13	16	10	13	16
0	0.00 ± 0.00	0.00 ± 0.00	0.00 ± 0.00	6.64 ± 0.22	6.71 ± 0.19	6.96 ± 0.15	6.30 ± 0.04	6.43 ± 0.04	6.58 ± 0.14
1	3.95 ± 0.66	3.39 ± 0.28	0.00 ± 0.63	4.41 ± 0.28	7.26 ± 0.28	7.32 ± 1.37	5.76 ± 0.33	6.94 ± 0.15	6.48 ± 0.84
2	6.37 ± 0.10	5.58 ± 0.32	4.35 ± 0.69	0.00 ± 0.00	1.23 ± 2.13	7.63 ± 0.98	6.27 ± 0.42	6.45 ± 0.23	5.39 ± 0.23
3	6.45 ± 0.18	6.29 ± 0.08	6.02 ± 0.14	0.00 ± 0.00	0.00 ± 0.00	4.42 ± 0.83	6.99 ± 0.10	6.83 ± 0.26	5.83 ± 0.06
4	6.85 ± 0.40	7.02 ± 0.14	6.99 ± 0.24	6.21 ± 0.24	5.11 ± 0.11	3.65 ± 1.98	4.67 ± 0.49	4.76 ± 0.27	5.10 ± 0.29
5	5.79 ± 0.42	6.30 ± 0.23	6.65 ± 0.18	0.00 ± 0.00	0.00 ± 0.00	0.00 ± 0.00	4.22 ± 0.86	5.14 ± 0.72	4.94 ± 0.12
6	4.28 ± 0.36	5.21 ± 0.14	5.43 ± 0.22	0.00 ± 0.00	0.00 ± 0.00	0.00 ± 0.00	2.86 ± 0.95	4.34 ± 0.07	4.53 ± 0.15
7	2.37 ± 2.09	4.70 ± 0.58	5.66 ± 0.11	0.90 ± 1.55	0.90 ± 1.55	0.90 ± 1.55	2.50 ± 0.47	3.54 ± 0.54	5.89 ± 0.03
8	0.00 ± 0.00	1.23 ± 2.13	5.68 ± 0.06	0.00 ± 0.00	0.00 ± 0.00	0.00 ± 0.00	2.08 ± 0.43	2.79 ± 0.71	4.59 ± 0.18
9	1.85 ± 0.28	2.77 ± 0.23	5.30 ± 0.91	1.13 ± 0.98	1.13 ± 0.98	3.42 ± 0.83	2.04 ± 0.23	2.27 ± 0.46	5.70 ± 0.52
10	2.45 ± 2.14	3.10 ± 0.14	4.27 ± 0.41	0.00 ± 0.00	0.00 ± 0.00	0.00 ± 0.00	1.02 ± 0.89	1.95 ± 1.08	2.25 ± 1.10
11	2.27 ± 0.11	0.56 ± 0.00	3.41 ± 3.46	0.00 ± 1.04	0.00 ± 0.00	0.00 ± 3.14	1.17 ± 1.21	2.40 ± 0.00	2.36 ± 4.62
12	2.31 ± 0.28	2.16 ± 0.27	3.51 ± 0.03	0.00 ± 0.00	0.00 ± 0.00	0.00 ± 0.00	2.16 ± 0.27	2.52 ± 1.17	2.52 ± 0.11

หมายเหตุ : ค่าของข้อมูลแสดงในรูปของค่าเฉลี่ย ± ค่าเบี่ยงเบนมาตรฐาน

ตารางภาคผนวก 26 การเปลี่ยนแปลงของค่าสีของเต้าเจี๊ยวในระหว่างการหมักโนน โรมิโดยใช้ความเข้มข้นของน้ำเกลือที่แตกต่างกัน

ระยะเวลา (สัปดาห์)	ค่าสี								
	ความเข้มข้นของน้ำเกลือ (ร้อยละ)								
	10			13			16		
	L*	a*	b*	L*	a*	b*	L*	a*	b*
0	50.98 ± 1.86	6.89 ± 0.48	32.19 ± 1.61	47.20 ± 2.53	8.77 ± 0.55	33.38 ± 1.59	44.07 ± 0.76	6.86 ± 0.30	33.40 ± 0.50
1	48.87 ± 0.78	9.51 ± 0.80	33.23 ± 0.34	47.86 ± 1.59	8.95 ± 1.30	33.22 ± 0.93	47.85 ± 0.85	8.72 ± 0.59	34.15 ± 0.36
2	46.47 ± 1.08	10.38 ± 0.72	37.07 ± 0.48	43.12 ± 2.22	8.44 ± 0.55	35.70 ± 0.87	42.40 ± 0.92	9.20 ± 0.60	35.70 ± 0.69
3	46.47 ± 0.56	10.66 ± 1.36	34.66 ± 2.39	42.45 ± 2.39	9.36 ± 0.27	32.69 ± 0.28	39.55 ± 0.93	8.96 ± 0.29	33.04 ± 1.17
4	42.48 ± 0.37	5.60 ± 0.78	27.72 ± 0.74	39.53 ± 3.55	5.44 ± 0.30	28.54 ± 0.27	38.25 ± 1.36	8.38 ± 0.15	31.78 ± 0.34
5	43.22 ± 1.28	7.03 ± 0.30	30.49 ± 3.32	41.69 ± 3.46	7.60 ± 0.45	30.32 ± 0.72	39.84 ± 1.01	12.07 ± 0.40	36.03 ± 1.07
6	41.32 ± 1.11	5.19 ± 0.26	27.26 ± 0.85	40.25 ± 2.20	6.28 ± 0.33	28.43 ± 0.48	41.66 ± 2.34	12.03 ± 0.80	35.84 ± 0.88
7	41.21 ± 0.81	6.19 ± 0.14	26.11 ± 0.65	36.83 ± 0.86	6.57 ± 0.67	28.43 ± 0.48	40.21 ± 0.99	12.50 ± 0.64	35.18 ± 1.44
8	41.21 ± 0.38	6.12 ± 0.17	26.19 ± 0.48	36.12 ± 0.64	6.56 ± 0.55	27.54 ± 0.06	40.55 ± 1.25	12.13 ± 0.79	35.15 ± 1.76
9	39.43 ± 0.73	6.85 ± 0.31	23.98 ± 0.54	38.87 ± 1.40	7.40 ± 0.60	25.25 ± 0.49	39.56 ± 0.23	10.86 ± 0.64	28.96 ± 0.52
10	38.86 ± 0.62	6.54 ± 0.61	24.00 ± 0.58	38.39 ± 2.48	6.83 ± 0.66	25.43 ± 0.16	38.93 ± 0.47	9.88 ± 0.65	28.96 ± 0.52
11	40.30 ± 0.56	6.90 ± 0.26	23.16 ± 0.41	37.35 ± 2.39	6.28 ± 0.38	23.39 ± 1.00	39.18 ± 0.36	9.24 ± 0.22	22.11 ± 0.43
12	38.44 ± 1.01	6.48 ± 0.11	23.09 ± 0.41	36.98 ± 1.79	6.53 ± 0.21	23.34 ± 0.59	39.56 ± 0.26	5.45 ± 0.49	22.73 ± 0.03

หมายเหตุ : ค่าของข้อมูลแสดงในรูปของค่าเฉลี่ย ± ค่าเบี่ยงเบนมาตรฐาน

ตารางภาคผนวก 27 การเปลี่ยนแปลงทางกายภาพ และจุลินทรีย์ ของผลิตภัณฑ์เต้าเจี๊ยะตลอดอายุการเก็บรักษา 6 สัปดาห์

ระยะเวลา (สัปดาห์)	ความเข้มข้นของ น้ำเกลือ (ร้อยละ)	ค่าสี			จำนวนจุลินทรีย์ (log cfu/g)		
		L*	a*	b*	จุลินทรีย์ทั้งหมด	บีตส์	รา
0	10	37.66 ± 0.2	10.63 ± 0.18	24.66 ± 0.57	ND	ND	ND
	13	37.48 ± 1.02	11.64 ± 0.43	26.53 ± 0.5		ND	ND
	16	36.12 ± 0.44	12.16 ± 0.93	29.57 ± 0.27		ND	ND
2	10	37.53 ± 0.46	10.46 ± 0.16	25.46 ± 0.16	ND	ND	ND
	13	39.29 ± 0.66	11.67 ± 0.50	26.34 ± 0.33		ND	ND
	16	35.43 ± 0.36	11.89 ± 0.51	29.28 ± 0.04		ND	ND
4	10	38.32 ± 1.37	10.61 ± 0.33	24.81 ± 0.26	ND	ND	ND
	13	37.53 ± 0.65	11.12 ± 0.08	26.92 ± 0.81		ND	ND
	16	35.55 ± 0.12	11.81 ± 0.62	29.57 ± 0.33		ND	ND
6	10	38.51 ± 1.36	11.14 ± 0.35	25.28 ± 0.76	ND	ND	ND
	13	38.22 ± 0.88	11.36 ± 0.06	26.88 ± 0.49		ND	ND
	16	35.82 ± 0.2	12.61 ± 0.22	29.64 ± 0.49		ND	ND

หมายเหตุ : ค่าของข้อมูลแสดงในรูปของค่าเฉลี่ย ± ค่าเบี่ยงเบนมาตรฐาน



ประวัติผู้วิจัย

ชื่อ-สกุล เกิดเมื่อ	นางสาวนันทรี จันทร์อนันต์ 31 พฤษภาคม 2528
ภูมิลำเนา	จังหวัดกาญจนบุรี
ประวัติการศึกษา	พ.ศ. 2546 มัธยมศึกษาตอนปลาย โรงเรียนกาญจนานุเคราะห์ พ.ศ. 2550 วท.บ. (วิทยาศาสตร์และเทคโนโลยีอาหาร) มหาวิทยาลัย เทคโนโลยีราชมงคลสุวรรณภูมิ
ผลงาน	พ.ศ. 2553 การผลิตโคจิข้าวเหนียวจากเชื้อ <i>Aspergillus oryzae</i> เพื่อใช้ผลิต เต้าเจี้ยว (PRODUCTION OF GLUTINOUS RICE KOJI FROM <i>Aspergillus oryzae</i>) นำเสนอในการประชุมวิชาการ “การเสนอผลงานวิจัยระดับบัณฑิตศึกษา ครั้งที่ 4” ณ ห้องพักชั่วคราวมิninทร์ อาคาร 25 ปี ธุรกิจการเกษตร คณะบริหารธุรกิจ มหาวิทยาลัยแม่โจ้ วันที่ 1 กันยายน พ.ศ. 2553 พ.ศ. 2553 ผลของเวลาในข้าวเหนียวต่อการผลิตเอนไซม์แลสและ โปรตีอสของรา <i>Aspergillus oryzae</i> ในระหว่างการหมักโคจิ เพื่อใช้ผลิตเต้าเจี้ยว (Effect of steaming time of glutinous rice on amylase and protease productions from <i>Aspergillus oryzae</i> during koji fermentation for production of Tao Chiew) นำเสนอในการประชุมวิชาการวิทยาศาสตร์และเทคโนโลยีแห่ง ประเทศไทย ครั้งที่ 36 (วทท 36) ในหัวข้อ “วิทยาศาสตร์และเทคโนโลยีเพื่อสังคมที่ดีขึ้น” ณ. ศูนย์นิทรรศการและการประชุมไนท์ฟอรั่ม กรุงเทพฯ วันที่ 26-28 ตุลาคม พ.ศ. 2553

ผลงาน

พ.ศ. 2554 EFFECT OF STEAMING TIME OF GLUTINOUS RICE ON
AMYLASE PRODUCTION FROM *ASPERGILLUS*
ORYZAE DURING KOJI FERMENTATION

The 4th Congress of the FEMS will be held in the international
city of Geneva from June 26 - 30, 2011

